

615.777
211 17

UNIVERSITATEA "POLITEHNICA" DIN TIMISOARA
Facultatea de Automatică și Calculatoare

ing. Voichita Muresan

MODELATOR DE SOLIDE PENTRU PROIECTAREA ASISTATĂ DE CALCULATOR

- TEZA DE DOCTORAT -

BIBLIOTECA CENTRALĂ
UNIVERSITATEA "POLITEHNICA"
TIMIȘOARA

Conducător științific:
Prof.Dr.Ing. George G. Savii

Timisoara
1996

Cuprinsul

1. INTRODUCERE	1
1.1. MODELAREA SI VIZUALIZAREA	1
1.2. VIZUALIZAREA	1
2. MODELAREA CORPURILOR 3D	5
2.1. INTRODUCERE	5
2.2. FUNDAMENTELE MODELĂRII SOLIDELOR	7
2.2.1. GEOMETRIA SI TOPOLOGIA SOLIDELOR	7
2.2.2. INCHIDEREA GEOMETRICĂ	8
2.2.3. TEORIA MULTIMILOR	9
2.2.4. CLASIFICAREA ELEMENTELOR MULTIMI	13
2.3. GENERAREA SOLIDELOR PRIN OPERATII BOOLEENE	13
2.4. TEHNICI DE REPREZENTARE A MODELELOR GEOMETRICE 3D	14
2.4.1. REPREZENTĂRI PRIN PUNCTE	14
2.4.2. REPREZENTĂRI PRIN SEGMENTE	15
2.4.3. REPREZENTĂRI PRIN POLIGOANE	16
2.4.4. REPREZENTĂRI PRIN VOLUME	19
3. VIZUALIZAREA MODELELOR 3D	20
3.1. TEHNICI DE VIZUALIZARE A MODELELOR 3D	20
3.2. REALISMUL VIZUAL	21
3.3. ÎNLĂTURAREA LINIILOR ASCUNSE	23
3.3.1. VIZIBILITATEA REPREZENTĂRIILOR OBIECTELOR	23
3.3.2. TEHNICI DE VIZIBILITATE	24
3.3.3. SORTAREA	25
3.3.4. COERENTA	26
3.3.5. EXEMPLE DE ALGORITMI PENTRU LINII ASCUNSE	27
3.3.5.1. Algoritmul cu priorități	27
3.3.5.2. Algoritmul orientat pe arii	29
3.4. ÎNLĂTURAREA SUPRAFETELOR ASCUNSE	32
3.4.1. ALGORITMUL BUFFER-ULUI Z	32
3.4.2. ALGORITMUL LUI WARNOCK	33
3.5. ELIMINAREA SOLIDELOR ASCUNSE	34
3.5.1. ALGORITMUL CU URMĂRIREA RAZEI	35
3.6. UMBRIREA	36
4. ALGORITMI UTILIZATI ÎN MODELAREA SOLIDELOR PRIN OPERATII BOOLEENE	37
4.1. ALGORITM PENTRU CLASIFICAREA ELEMENTELOR UNEI MULTIMI ÎN CAZUL INTERSECȚIEI EI CU UN SOLID	37

4.2. ALGORITMI DE VIZUALIZARE	39
4.2.1. TESTUL MINIMAX	39
4.2.2. TESTUL DE INTERIOR	40
4.2.3. TESTUL DE ADÂNCIME	41
4.2.4. CALCULUL SILUETELOR	43
4.2.5. INTERSECȚIILE MUCHILOR	45
4.2.6. COMPARAREA SEGMENTELOR	45
4.2.7. TESTUL DE OMOGENITATE	47
5. DIFICULTĂȚI GENERALE ÎN CADRUL ALGORITMILOR DE MODELARE ȘI REPREZENTARE A SOLIDELOR	50
5.1. INTRODUCERE	50
5.2. REDUCEREA NUMARULUI DE CALCULE	51
5.3. CAZURI DEGENERATE	54
5.4. TRATAREA ERORILOR NUMERICE	63
6. ALGORITMI UTILIZATI ÎN MODELAREA PRIN OPERAȚII BOOLEENE ȘI ÎN PROCESUL DE ELIMINARE A LINIILOR ȘI SUPRAFETELOR ASCUNSE	67
6.1. ALGORITMI PENTRU TESTELE DE BOUNDING-BOX	67
6.2. ALGORITM PENTRU AFLAREA UNUI PUNCT SITUAT PE UN SEGMENT DAT CÂND SE CUNOASTE RAPORTUL ÎN CARE PUNCTUL ÎMPARTE SEGMENTUL	69
6.3. ALGORITMI PENTRU CALCULUL DISTANTELOR	71
6.3.1. ALGORITM PENTRU CALCULUL DISTANȚEI DE LA UN PUNCT LA O DREAPTĂ	71
6.3.2. ALGORITM PENTRU CALCULUL DISTANȚEI DE LA UN PUNCT LA UN PLAN	72
6.4. ALGORITMI PENTRU DETERMINAREA POZITIEI RELATIVE A DOUĂ FIGURI GEOMETRICE	73
6.4.1. ALGORITM PENTRU DETERMINAREA POZITIEI RELATIVE A UNUI PUNCT FATĂ DE O DREAPTĂ	73
6.4.2. ALGORITM PENTRU DETERMINAREA POZITIEI RELATIVE A UNUI PUNCT FATĂ DE UN SEGMENT	74
6.4.3. ALGORITM PENTRU DETERMINAREA POZITIEI RELATIVE A UNUI PUNCT FATĂ DE UN PLAN	74
6.4.4. ALGORITM PENTRU DETERMINAREA POZITIEI RELATIVE A UNUI PUNCT FATĂ DE UN POLIGON	75
6.4.5. ALGORITM PENTRU DETERMINAREA POZITIEI RELATIVE A UNUI SEGMENT FATĂ DE UN PLAN	76
6.4.6. ALGORITM PENTRU DETERMINAREA POZITIEI RELATIVE A DOUĂ SEGMENTE	76
6.4.7. ALGORITM PENTRU DETERMINAREA POZITIEI RELATIVE A DOUĂ SEGMENTE COLINEARE	78
6.5. ALGORITMI PENTRU DETERMINAREA INTERSECȚIILOR DINTRE SEGMENTE ȘI PLANE	80
6.5.1. ALGORITM PENTRU DETERMINAREA PUNCTULUI DE INTERSECȚIE DINTRE DOUĂ SEGMENTE	80
6.5.2. ALGORITM PENTRU DETERMINAREA PUNCTULUI DE INTERSECȚIE DINTRE UN SEGMENT ȘI UN PLAN	81
6.5.3. ALGORITM PENTRU DETERMINAREA LINIEI DE INTERSECȚIE DINTRE DOUĂ PLANE	82
6.6. ALGORITM PENTRU SELECTIA UNEI MUCHII ÎN PROCESUL DE STABILIRE A CONTURURILOR POLIGONALE	83
6.6.1. ALGORITM ORIGINAL PENTRU SELECTIA UNEI MUCHII ÎN CAZUL STABILIRII CONTURULUI UNUI POLIGON ATOMIC	83

6.6.2. ALGORITM ORIGINAL PENTRU SELECTIA UNEI MUCHII ÎN CAZUL STABILIRII CONTURULUI UNUI POLIGON OBTINUT PRIN REUNIUNEA MAI MULTOR POLIGOANE	85
6.7. ALGORITMI PENTRU TESTUL DE INTERIOR	85
6.7.1. ALGORITM ORIGINAL PENTRU STABILIREA POZITIEI RELATIVE A UNUI PUNCT FATĂ DE UN POLIGON	85
6.7.2. ALGORITM ORIGINAL PENTRU STABILIREA POZITIEI RELATIVE A UNUI PUNCT FATĂ DE UN VOLUM	87
6.8. CALCULE DE ADINCIME	87
6.9. ALGORITM PENTRU COMPARAREA A DOUĂ DREPTE REZULTATE PRIN INTERSECȚII DE PLANE	89
6.10. ALGORITM PENTRU DETERMINAREA FEȚELOR POTENTIAL VIZIBILE	90
6.11. ALGORITM PENTRU DETERMINAREA CONTURURILOR UNUI SOLID	91
6.12. ALGORITMUL ORIGINAL DE CLASIFICARE	92
7. ALGORITM ORIGINAL PENTRU MODELAREA SOLIDELOR FOLOSIND OPERATIILE BOOLEENE	94
7.1. PRINCIPIUL DE BAZA AL ALGORITMULUI	94
7.2. STRUCTURILE DE DATE UTILIZATE ÎN PROGRAMUL PENTRU EFECTUAREA OPERATIILOR BOOLEENE ÎNTE SOLIDE	95
7.3. IMPLEMENTAREA ALGORITMULUI DE EFECTUARE A OPERATIILOR BOOLEENE ÎNTE SOLIDE	101
7.4. FUNCȚIA PRINCIPALĂ CARE IMPLEMENTEAZĂ ALGORITMUL DE EFECTUARE A OPERATIILOR BOOLEENE	103
7.5. FUNCȚIILE CARE IMPLEMENTEAZA ALGORITMII DIN CAPITOLUL 6	105
7.5.1. FUNCȚII CARE IMPLEMENTEAZĂ ALGORITMII PENTRU TESTELE DE BOUNDING-BOX	105
7.5.2. IMPLEMENTAREA ALGORITMULUI PENTRU AFLAREA UNUI PUNCT SITUAT PE UN SEGMENT DAT CÂND SE CUNOASTE RAPORTUL ÎN CARE PUNCTUL ÎMPARTE SEGMENTUL	105
7.5.3. IMPLEMENTAREA ALGORITMULUI PENTRU CALCULUL DISTANȚEI DE LA UN PUNCT LA O DREAPTĂ	105
7.5.4. FUNCȚIA CARE IMPLEMENTEAZĂ ALGORITMUL PENTRU DETERMINAREA POZITIEI RELATIVE A UNUI PUNCT FATĂ DE UN POLIGON DAT	106
7.5.5. FUNCȚIA CARE IMPLEMENTEAZĂ ALGORITMUL PENTRU DETERMINAREA POZITIEI RELATIVE A DOUĂ SEGMENTE	106
7.5.6. IMPLEMENTAREA ALGORITMULUI PENTRU DETERMINAREA LINIEI DE INTERSECȚIE DINTRE DOUA PLANE	107
7.5.7. IMPLEMENTAREA ALGORITMULUI PENTRU SELECTIA UNEI MUCHII ÎN PROCESUL DE STABILIRE A CONTURULUI UNUI POLIGON ATOMIC	107
7.5.8. IMPLEMENTAREA ALGORITMULUI PENTRU SELECTIA UNEI MUCHII ÎN CAZUL STABILIRII CONTURULUI UNUI POLIGON OBTINUT PRIN REUNIUNEA MAI MULTOR POLIGOANE	107
7.5.9. IMPLEMENTAREA ALGORITMULUI PENTRU DETERMINAREA POZITIEI RELATIVE A UNUI PUNCT FATĂ DE UN POLIGON	108
7.5.10. IMPLEMENTAREA ALGORITMULUI DE CLASIFICARE	108
7.6. FUNCȚIILE CARE IMPLEMENTEAZĂ CREAREA STRUCTURILOR DE DATE NECESARE PENTRU EFECTUAREA OPERATIILOR BOOLEENE	112
7.7. FUNCȚIILE CARE IMPLEMENTEAZA OPERATIILE DE INTERSECȚIE DINTRE CELE DOUA SOLIDE	114
7.8. FUNCȚII PENTRU TRATAREA CAZURILOR PARTICULARE	

MUCHIE/MUCHIE	118
7.9.FUNCTIILE CARE SELECTEAZA POLIGOANELE CE TREBUIE ELIMINATE	126
7.10.FUNCTIILE CARE IMPLEMENTEAZA OPERATIILE DE CONSTRUIRE A POLIGOANELOR REZULTATE	128
7.11.FUNCTIILE CARE IMPLEMENTEAZA OPERATIILE PENTRU CONSTRUIREA SOLIDELOR REZULTATE	129

8. ALGORITM ORIGINAL PENTRU ELIMINAREA LINIILOR SI SUPRAFETELOR ASCUNSE 136

8.1. INTRODUCERE	136
8.2. ETAPELE PARCURSE ÎN DEZVOLTAREA ALGORITMULUI	137
8.3. PRINCIPIUL DE BAZĂ AL ALGORITMULUI PENTRU ELIMINAREA LINIILOR SI SUPRAFETELOR ASCUNSE PENTRU MODELE DE SOLIDE	141
8.4. VARIANTE ALE ALGORITMULUI PREZENTAT	144
8.4.1. ALGORITMUL LINIILOR ASCUNSE PENTRU CORPURI SUPRAPUSE ÎN SPATIU	144
8.4.2. ALGORITMUL LINIILOR ASCUNSE CU COLORAREA FETELOR VIZIBILE	145
8.5. PRINCIPALELE PROBLEME ALE ALGORITMILOR LINIILOR ASCUNSE	145
8.6. STRUCTURILE DE DATE UTILIZATE ÎN PROGRAMELE DE LINII ASCUNSE	147
8.7. FUNCTIILE CARE IMPLEMENTEAZĂ ALGORITMI PREZENTATI ÎN CAPITOLUL 6	149
8.7.1. FUNCTII CARE IMPLEMENTEAZĂ ALGORITMI PENTRU TESTELE DE BOUNDING-BOX	149
8.7.2. IMPLEMENTAREA ALGORITMULUI PENTRU AFLAREA UNUI PUNCT SITUAT PE UN SEGMENT DAT CÂND SE CUNOASTE RAPORTUL ÎN CARE PUNCTUL PARTE SEGMENTUL	150
8.7.3. FUNCTII CARE IMPLEMENTEAZĂ ALGORITMI PENTRU CALCULUL DISTANTELOR	151
8.7.3.1. Functia care implementează algoritmiul pentru calculul distanței dintre două puncte	151
8.7.3.2. Implementarea algoritmului pentru calculul distanței de la un punct la o dreaptă	151
8.7.4. FUNCTII PENTRU IMPLEMENTAREA ALGORITMILOR PENTRU DETERMINAREA POZITIEI RELATIVE A DOUĂ FIGURI GEOMETRICE	152
8.7.4.1. Functia care implementează algoritmul pentru determinarea poziției relative a unui punct față de un plan	152
8.7.4.2. Functia care implementează algoritmul pentru determinarea poziției relative a două segmente	152
8.7.4.3. Functia care implementează algoritmul pentru determinarea poziției relative a două segmente coliniare	154
8.7.5. IMPLEMENTAREA ALGORITMULUI PENTRU DETERMINAREA PUNCTULUI DE INTERSECȚIE DINTRE DOUĂ SEGMENTE	155
8.7.6. IMPLEMENTAREA ALGORITMULUI PENTRU SELECTIA UNEI MUCHII ÎN CAZUL STABILIRII CONTURULUI UNUI POLIGON ATOMIC	155
8.7.7. IMPLEMENTAREA ALGORITMULUI PENTRU TESTUL DE INTERIOR	155
8.7.8. IMPLEMENTAREA FUNCTIILOR PENTRU CALCULELE DE ADÂNCIME	156
8.7.9. IMPLEMENTAREA ALGORITMULUI PENTRU DETERMINAREA FETELOR POTENTIAL VIZIBILE	157
8.7.10. IMPLEMENTAREA ALGORITMULUI PENTRU DETERMINAREA CONTURURILOR UNUI SOLID	157
8.8. FUNCTIILE NECESARE IMPLEMENTĂRII ALGORITMULUI PENTRU ELIMINAREA LINIILOR SI SUPRAFETELOR ASCUNSE	158

8.8.1. PRINCIPALELE FUNCȚII CARE STAU LA BAZA IMPLEMENTĂRII	158
8.8.2. FUNCȚII CARE IMPLEMENTEAZĂ CREAREA BAZEI DE DATE NECESARE ALGORITMULUI DE ELIMINARE A LINIILOR SI SUPRAFETELOR ASCUNSE	161
8.8.3. FUNCȚII CARE IMPLEMENTEAZĂ OPERATIILE DE INTERSECȚIE	163
8.8.4. FUNCȚII CARE IMPLEMENTEAZĂ TESTELE DE VIZIBILITATE	169
8.8.5. FUNCȚII CARE IMPLEMENTEAZĂ STABILIREA POLIGOANELOR ATOMICE SI TIPUL LOR	171
9. CONCLUZII	175
9.1. CONCLUZII ASUPRA PROGRAMULUI DE IMPLEMENTARE A ALGORITMULUI PENTRU EFECTUAREA OPERATIILOR BOOLEENE INTRE SOLIDE	175
9.2. CONCLUZII ASUPRA PROGRAMULUI DE IMPLEMENTARE A ALGORITMULUI PENTRU ELIMINAREA LINIILOR SI SUPRAFETELOR ASCUNSE	177
9.3. REZULTATE SI MASURATORI	178
9.4. PERSPECTIVE	182
9.5. CONTRIBUTII ORIGINALE	183
BIBLIOGRAFIA	186

CAPITOLUL I

INTRODUCERE

1.1. MODELAREA SI VIZUALIZAREA

Nucleul sistemelor CAD îl reprezintă modelarea geometrică și aplicațiile grafice. Modelarea geometrică permite abstractizarea sau reprezentarea obiectelor, înlocuind prototipurile utilizate în mod curent în practică, în timp ce simularea înlocuiește testele efectuate asupra prototipului.

Un model geometric este definit ca o reprezentare completă a unui obiect care conține atât informație grafică cât și negrafică. Construcția modelului implică crearea bazei de date a modelului, în timp ce vizualizarea afectează modul în care modelul este afișat pe ecran. Modelarea și vizualizarea sunt legate între ele, dar tehnicile de afișare și aproximările cu care se face aceasta nu afectează reprezentarea obiectului prin baza sa de date. Vederile sunt definite prin diferitele unghiuri sub care este observat modelul. Cel care privește își modifică poziția în sistemul de coordonate al modelului, pe când modelul își menține orientarea inițială. Pentru observator există senzația că modelul este cel care se mișcă. Unui model i se poate defini o infinitate de vederi. Cele mai multe sisteme CAD furnizează comenzi pentru obținerea vederilor standard (de sus, de jos, din stânga s.a.m.d) atât ca vederi bidimensionale cât și ca vederi tridimensionale [Zei91][Hof87].

1.2. VIZUALIZAREA

Una din cele mai utile facilități ale sistemelor CAD/CAM, recunoscută de marea majoritate a utilizatorilor, o reprezintă posibilitatea furnizării imaginilor vizuale ale obiectelor și scenelor pe care acestea le modelează. Vizualizarea a fost întotdeauna recunoscută ca fiind mijlocul cel mai eficient pentru comunicarea

de idei si proiecte noi între proiectanti, ingineri si altii. Se spune că întotdeauna o imagine are valoarea a o mie de cuvinte. Adevărul acestei afirmatii poate fi legat de faptul că un procent de 50% din neuronii creierului sunt asociati cu vederea. Virtual, toate programele de aplicatie legate de CAD/CAM își prezintă rezultatele utilizatorilor într-o formă grafică, convertind rezultatele numerice corespunzătoare la aceste forme [Coh93].

Vizualizarea cuprinde atât înțelegerea imaginii cât si sinteza imaginii; astfel, vizualizarea este un mijloc atât pentru interpretarea datelor introduse într-un calculator, cât si pentru generarea imaginilor din seturi de date complexe multidimensionale. De aceea pot fi identificate două tipuri de vizualizare: vizualizarea în modelarea geometrică si vizualizarea în calculul stiintific. Prima este legată de reprezentarea modelelor geometrice ale obiectelor, în timp ce a doua ia în considerare reprezentarea rezultatelor stiintifice, ingineresti [Ros89].

Cele mai obisnuite metode de vizualizare a modelelor geometrice ale obiectelor sunt proiectia si umbrirea. Proiectiile ortografice au fost utilizate mult timp în desenul tehnic pentru a reprezenta proiectele noi. Proiectiile izometrice si perspective sunt folosite si în CAD/CAM datorită usurintei cu care pot fi generate chiar si automat si datorită bogăției de informatii vizuale pe care le furnizează, informatii legate de proiecte si obiecte. Cu toate că proiectiile ortografice sunt cele mai vechi mijloace de comunicare legate de proiectele ingineresti, sunt greu de interpretat si cer o anumită experiență. De asemenea, ele nu prezintă nici o caracteristică legată de aspectul proiectelor, cum ar fi culoarea suprafetelor si textura. Imaginile umbrite cu un înalt grad de realism pot face utilizatorii să creadă că imaginile reprezintă obiecte reale si nu unele sintetice (modele matematice). Imaginile umbrite de o înaltă calitate, în multe exemple, furnizează un mod simplu, mai eficient si mai puțin scump de a vedea diferite alternative ale proiectului, decât constructia modelelor si prototipurilor. Proiectele mai multor părți mecanice, caroseriile automobilelor, părți ale avioanelor, carenele navelor si altele sunt mult îmbunătățite prin studiul imaginilor umbrite corespunzătoare.

Vizualizarea în calculul stiintific este văzută ca o metodă din cadrul modelării geometrice. Ea transformă datele numerice în reprezentări sub formă de imagini, permițând utilizatorilor să observe simulările si rezultatele calculului efectuate.

Multe aplicatii CAD/CAM existente utilizează una din formele prezentate de vizualizare. Astfel sunt simulatoarele de zbor si navigare, simularea mișcării diferitelor mecanisme efectuată prin generarea si animarea diferitelor cadre ale modelelor geometrice corespunzătoare, generate în concordantă cu ecuatiile cinematice si dinamice care guvernează mecanismele. Simularea robotilor si

planificarea și generarea traiectoriei în sistemele CAD/CAM pot fi obținute într-un mod asemănător. Verificarea traseelor sculelor mașinilor unelte cu comandă numerică este o altă aplicație de vizualizare utilă, în care descrierea prin date numerice a traseului sculei de tăiere este folosită la generarea și reprezentarea mișcării sculei pentru a-i verifica corectitudinea. Alte aplicații ale vizualizării în calculul științific includ reprezentarea rezultatelor analizei prin elemente finite, analizei transferului de căldură, calculului dinamicii fluidelor și dinamicii structurale și vibrațiilor.

Problema principală în vizualizare o constituie reprezentarea obiectelor și scenelor tridimensionale pe ecrane bidimensionale, adică modul în care poate fi sugerată a treia dimensiune pe ecran, adâncimea, și modul în care poate fi reprezentată, prin atribute ale imaginii, complexitatea realității înconjurătoare descrisă prin iluminare, culoare, umbre și textură. Ceea ce complică reprezentarea obiectelor tridimensionale și mai mult este natura centralizată a bazei de date a modelelor lor geometrice. Dacă proiectăm un model tridimensional complex pe ecran, obținem un labirint de linii și suprafețe. Pentru a interpreta acest labirint, liniile și suprafețele care nu pot fi văzute dintr-un anumit punct de observare, trebuie eliminate. Înlăturarea lor elimină ambiguitățile reprezentărilor simple ale modelelor tridimensionale și este considerată ca fiind primul pas spre obținerea realismului vizual.

Există diferite abordări pentru obținerea realismului vizual. Ele sunt legate direct de tipul de modele geometrice utilizate pentru reprezentările obiectelor tridimensionale. Astfel, ar fi de așteptat o tendință pozitivă în eficiența și nivelul de automatizare al acestor abordări pe măsură ce tehnicile de modelare geometrică au avansat de la reprezentări cadru, la suprafețe și solide. Printre abordările existente, se află proiecțiile paralele, proiecțiile perspective, înlăturarea liniilor ascunse, înlăturarea suprafețelor ascunse, înlăturarea solidelor ascunse și generarea imaginilor umbrite ale modelelor și scenelor. Proiecțiile paralele, în particular proiecțiile ortografice, reprezintă cea mai veche abordare. Ele sunt ușor de generat, folosesc cel mai puțin timp de calculator pentru generare și sunt mult folosite în desenul tehnic. Proiecțiile perspective sunt mult folosite în ingineria arhitecturii și construcțiilor. Imaginile umbrite pot fi generate numai pentru suprafețe și modele de solide. Umbrirea este un proces în doi pași. El începe prin eliminarea suprafețelor și solidelor ascunse și apoi se efectuează umbrirea părților vizibile. Imaginile umbrite reprezintă cel mai înalt nivel al realismului vizual.

Mărirea gradului realismului unui model prin dezvoltarea imaginilor umbrite de exemplu, duce la creșterea complexității lui. Procesul de creare și

întreținere a unui astfel de model devine, de asemenea, complex. De exemplu, generarea unei imagini umbrite de înaltă rezoluție a unui model complex cu diferite tipuri de iluminări, poate dura un timp CPU de câteva minute și poate reduce performanțele sistemului CAD/CAM (încetinește activitatea altor utilizatori curenti). Memorarea și/sau regăsirea modelelor cu aceste tipuri de imagini umbrite sunt de obicei lente. De altfel, generarea imaginilor în timp real, cere calculatoare puternice cu cât mai mulți algoritmi de umbrire încorporați în hardware. Pentru a îmbunătăți performanțele acestor algoritmi, anumite sisteme CAD/CAM sunt furnizate cu microprograme de umbrire.

Abordarea directă a înlăturării liniilor/suprafetelor/solidelor ascunse cere o cantitate mare de timp de calcul. Poziția fiecărei linii sau suprafețe trebuie comparată cu toate celelalte, lucru care conduce la o explozie combinatorială ce are la bază o lege de variație proporțională cu pătratul numărului de elemente de comparat. Din acest motiv s-au efectuat studii extensive asupra algoritmilor existenți, încercându-se stabilirea principiilor generale comune acestor algoritmi. Cele mai importante au fost identificate a fi coerența și sortarea. Obiectele și modelele lor geometrice sunt mai mult decât un set de discontinuități aleatoare. Ele au consistență atât în aria imaginii cât și în timp, de la un cadru la următorul. Astfel, folosind coerența între diferite cadre se poate îmbunătăți eficiența algoritmilor de vizualizare.

Similar, toți algoritmii de ascundere sortează sau caută prin colecțiile de suprafețe, muchii sau obiecte în funcție de diferite criterii, pentru a găsi elementele vizibile pe care să le reprezinte. De aceea, o tehnică de sortare eficientă reprezintă cheia unui bun algoritm de eliminare a liniilor/suprafetelor/solidelor ascunse [Zei91][Tan89].

CAPITOLUL 2

MODELAREA CORPURILOR 3D**2.1. INTRODUCERE**

Reprezentarea cu succes a modelelor solidelor în calculatoare și utilizarea lor în aplicațiile ingineresti depinde atât de proprietățile lor cât și de cele ale schemelor prin care sunt reprezentate. În contextul teoriei modelării solidelor, modelul solidului, model abstract, este considerat modelul matematic al obiectului real (solidul fizic). Proprietățile acestui model matematic determină comportarea lui în momentul în care algoritmi geometrici prelucrează structura de date asociată. Un model matematic al unui obiect stabilește clasa de algoritmi care pot fi aplicați asupra lui și nivelul automatizării lor.

Proprietățile pe care trebuie să le aibe un model al solidului, din punct de vedere matematic, ar putea fi enunțate în felul următor:

1. Rigiditatea. Aceasta implică faptul că forma modelului solidului este invariantă și nu depinde de poziția sau orientarea în spațiu a modelului.
2. Omogenitatea tridimensională. Frontierele solidului trebuie să fie în contact cu interiorul (să nu existe frontiere izolate ca în fig.2.1.).
3. Dimensiunea solidului să nu fie infinită și solidul să poată fi descris printr-o cantitate finită de informație.
4. Prin deplasare sau operații booleene regulate să se poată obține alte solide valide.
5. Determinismul frontierelor. Frontiera unui solid trebuie să conțină solidul și mai mult, trebuie să determine în mod clar interiorul solidului.

Implicația matematică a acestor proprietăți sugerează faptul că modelele solidelor sunt submultimi ale lui E mărginite, închise, regulate și semianalitice. Aceste submultimi se numesc multimi regulate "r-sets" (regularized sets). Multimea de puncte S care definește un model solid și care este dată prin relația (2.1) este totdeauna o mulțime regulată (r-set).

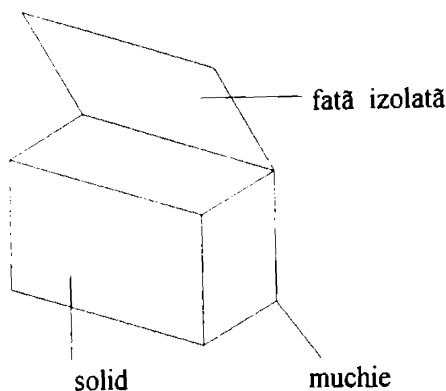


Figura 2.1. Exemplu de frontiere izolate

După cum s-au stabilit proprietățile necesare ale unui model de solid, se pot discuta și cele ale schemelor de reprezentare care operează de obicei asupra multimilor de puncte sau r -sets pentru a produce modele valide. O schemă de reprezentare este definită ca o relație care leagă o mulțime de puncte valide de un model valid. De exemplu, o schemă CSG (vezi 2.4.4) leagă primitivele valide de solidele valide prin intermediul operațiilor booleene. O schemă de reprezentare este neambiguă sau completă, dar nu unică, dacă obiectul poate fi reprezentat prin mai mult de un model. Pe de altă parte, o schemă este ambiguă sau incompletă, dacă un model poate reprezenta mai mult de un obiect, ca în cazul modelelor cadru [Zei91][Hof87].

Proprietățile schemelor de reprezentare care determină utilitatea lor în modelarea solidelor ar fi următoarele:

1. **Domeniul.** Domeniul unei scheme de reprezentare este clasa de obiecte pe care schema le poate reprezenta sau este acoperirea geometrică a schemei.

2. **Validitatea.** Validitatea schemei de reprezentare este determinată de mulțimea de reprezentări sau modele valide pe care le poate produce. Dacă o schemă de reprezentare produce un model invalid, sistemul CAD/CAM utilizat se poate bloca, sau baza de date grafice care conține modelul poate fi pierdută sau deteriorată dacă se încearcă introducerea ei într-un algoritm. Verificările pentru corectitudine pot fi efectuate în trei moduri: testarea bazei de date rezultate prin intermediul unui algoritm, introducerea verificărilor chiar în procesul de generare

a schemei sau proiectarea elementelor de schemă (cum ar fi primitivele) care pot fi manipulate prin intermediul unei sintaxe date.

3. **Neambiguitatea.** Această proprietate determină abilitatea schemei de a permite analiza și alte aplicații ingineresti. O schemă completă trebuie să furnizeze modele cu date suficiente pentru efectuarea oricăror calcule geometrice [Hof87].

4. **Unicitatea.** Această proprietate este utilă pentru determinarea egalității obiectelor. Este dificilă dezvoltarea algoritmilor pentru detectarea echivalenței a două obiecte și dacă acești algoritmi ar fi dezvoltati, ar consuma mult timp de calcul. Complexitatea problemei se datorează faptului că obiectele pot ocupa diferite poziții în spațiu, pot avea diferite orientări și pot fi obținute din aceleași elemente, cu aceleași operații, dar în ordine diferită.

Există și alte proprietăți ale schemelor de reprezentare cum ar fi conciziunea, ușurința în creare și eficiența în contextul aplicației. Aceste proprietăți însă nu pot fi formalizate. Conciziunea este o măsură a cantității de date de care are nevoie o schemă pentru a descrie un obiect. Schemele de reprezentare concise generează baze de date compacte care conțin puține date redundante, folosesc puțină memorie [Zei91].

2.2. FUNDAMENTELE MODELĂRII SOLIDELOR

Teoria modelării solidelor are la bază elemente de geometrie, topologie, închideri geometrice, teoria multimilor, regularizarea operațiilor cu mulțimi, clasificarea elementelor mulțimii și vecinătăți. Acestea furnizează fundamente matematice riguroase pentru dezvoltarea și analiza solidelor [Zei91] [Fla87].

2.2.1. Geometria și topologia solidelor

Reprezentarea unui obiect prin frontiere conține informația topologică și geometrică a solidului. Informația topologică se referă la conexiunile dintre cele trei entități de bază: fețe, muchii și vârfuri. Informația geometrică este folosită pentru a specifica informația metrică și tipul entității (un vârf, un tip de față sau muchie). Informația metrică, la rândul ei, conține parametrii configurației într-un sistem local de coordonate (cum ar fi raza unei suprafețe cilindrice sau semiunghiul unei suprafețe conice) și parametrii mișcării rigide prin care se

poziționează și se orientează entitatea geometrică în poziția dorită, relativ la un sistem de coordonate global.

Problema cea mai delicată a sistemelor pentru modelarea solidelor o reprezintă obținerea de solide corecte, oricât de sofisticate. Dacă acest lucru nu este realizat (solidul obținut este incorect) nu mai pot fi efectuate alte operații.

Modelatoarele de solide continuă să fie utilizate în ciuda faptului că se poate ajunge în situația în care este refuzată crearea anumitor forme, sau în situația în care încercarea de creare a unei forme duce la blocarea sistemului.

Conceptul principal în definirea modelelor de solide îl reprezintă frontiera unui volum, frontiera care din punct de vedere topologic împarte spațiul tridimensional în trei părți distincte: partea interioară, frontiera și partea exterioară a volumului dat.

Modelul solid al unui obiect este definit din punct de vedere matematic ca o mulțime S de puncte din spațiul euclidian tridimensional (\mathcal{E}). Dacă se notează interiorul și frontiera mulțimii prin iS și respectiv bS , se poate scrie:

$$S = iS \cup bS \quad (2.1)$$

și dacă definim exteriorul prin cS (complementul lui S), atunci:

$$W = iS \cup bS \cup cS \quad (2.2)$$

unde W este mulțimea totală, care în cazul lui \mathcal{E} reprezintă toate punctele tridimensionale posibile.

2.2.2. Inchiderea geometrică

Definiția solidului dată prin (2.1) introduce conceptul de închidere geometrică care implică faptul că interiorul solidului este geometric închis de frontiera sa. Astfel, relația (2.1) poate fi rescrisă sub forma:

$$S = kS \quad (2.3)$$

unde kS reprezintă închiderea geometrică a solidului sau mulțimii de puncte S , și este dată de membrul drept al relației (2.1), adică $kS = iS \cup bS$.

Figura 2.2 arată explicația geometrică a ecuațiilor (2.1) și (2.3).

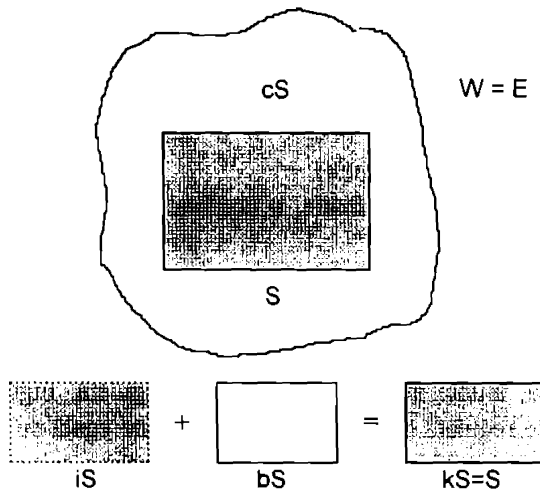


Figura 2.2. Definițiile solidului și închiderii geometrice

2.2.3. Teoria multimpilor

Operațiile cu mulțimi (complementare, reuniune, intersecție și diferență) se mai numesc și operații teoretice pentru a le deosebi de operațiile folosite în cazul modelării geometrice. Dacă operațiile teoretice ar fi folosite în modelarea geometrică pentru a construi obiecte complexe plecând de la unele primitive, operația de complementare ar esua, deoarece ar putea crea geometrii inacceptabile. Celelalte operații ar putea genera obiecte lipsite de închidere geometrică, neadecvate pentru alte aplicații.

Pentru a evita aceste probleme, mulțimea de puncte care reprezintă obiectele și operațiile cu mulțimi care operează asupra lor trebuie să fie regularizate. Mulțimile regularizate și operațiile cu mulțimi regularizate se consideră că fac parte din algebra booleană.

O mulțime regularizată este definită ca fiind o mulțime geometrică închisă (relația 2.3). Noțiunea de mulțime regularizată este introdusă în modelarea geometrică pentru a asigura validitatea obiectelor pe care le reprezintă și de aceea elimină obiectele fără sens. Sub închiderea geometrică, o mulțime regularizată

contine submultimile interior si frontieră. Frontiera închide interiorul si orice punct de pe frontieră este în contact cu un punct din interior. Cu alte cuvinte, frontiera se comportă ca un învelis ce acoperă interiorul. Multimea S din figura 2.2 este un exemplu de multime regulată, în timp ce figura 2.1 arată o multime neregulată deoarece contine o muchie si o față care nu sunt în contact cu interiorul multimii (în acest caz cutia).

Din punct de vedere matematic, o multime S este regulată dacă si numai dacă:

$$S = kiS \quad (2.4)$$

Această ecuatie arată că dacă închiderea interiorului unei multimii date este egală cu multimea, atunci această multime este regulată. Figura 2.3a arată că multimea S nu este regulată deoarece $S' = kiS$ nu este egală cu S . Unele sisteme de modelare folosesc multimii regulate care sunt deschise sau nu au frontiere. O multime S este regulată deschisă dacă si numai dacă:

$$S = ikS \quad (2.5)$$

Această ecuatie arată că o multime este regulată deschisă dacă interiorul

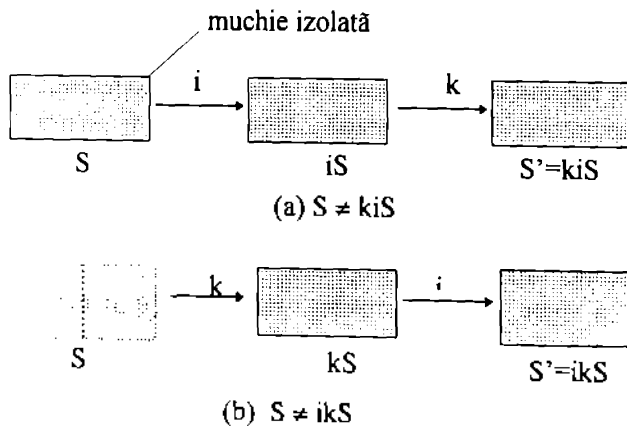


Figura 2.3. Regularitatea multimilor

închiderii sale este multimea inițială. Figura 2.3b arată că multimea S nu este regulată deschisă deoarece $S' = ikS$ nu este egală cu S .

Operațiile cu mulțimi, cunoscute și ca operații booleene, trebuie regularizate pentru a se asigura generarea întotdeauna de mulțimi regulate. Pentru modelarea geometrică, acest lucru înseamnă că modelele solidelor construite din primitive bine definite sunt totdeauna valide și reprezintă obiecte valide. Operațiile cu mulțimi regularizate păstrează omogenitatea și dimensionalitatea spațială, adică prin utilizarea acestor operații nu se pot obține elemente care să nu aibă contact cu interiorul și nici nu se pot obține obiecte având o dimensiune mai mică decât dimensiunea obiectelor folosite ca operanzi. Regularizarea operatorilor este în mod special utilă când utilizatorii au de lucru cu obiecte ale căror fețe se suprapun (obiecte tangente).

Bazat pe descrierea de mai sus, operatorii regularizați pot fi descriși după cum urmează:

$$P \cup^* Q = ki(P \cup Q) \quad (2.6)$$

$$P \cap^* Q = ki(P \cap Q) \quad (2.7)$$

$$P -^* Q = ki(P - Q) \quad (2.8)$$

$$c^* P = ki(cP) \quad (2.9)$$

unde simbolul $*$ din dreapta operatorilor marchează regularizarea. Mulțimile P și Q din ecuațiile de mai sus sunt mulțimi oarecare. Dacă două mulțimi X și Y sunt regulate (r -sets), cum este totdeauna cazul modelelor geometrice, atunci ecuațiile (2.6) - (2.9) devin:

$$X \cup^* Y = X \cup Y \quad (2.10)$$

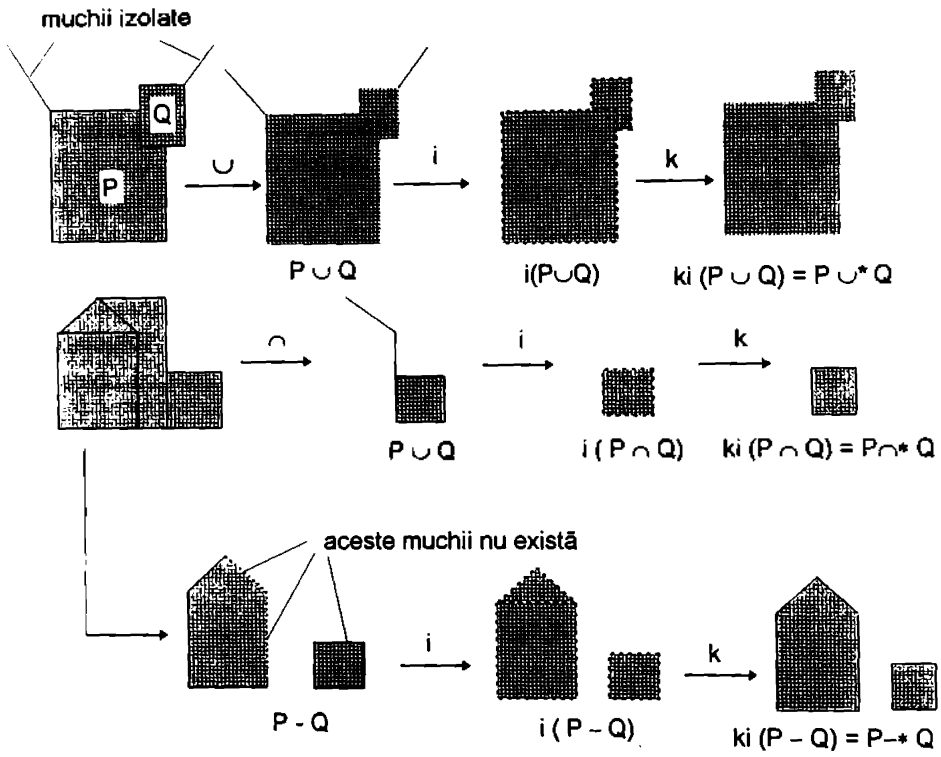
$$X \cap^* Y = X \cap Y \iff bX \text{ și } bY \text{ nu se suprapun} \quad (2.11)$$

$$X -^* Y = X - Y \quad (2.12)$$

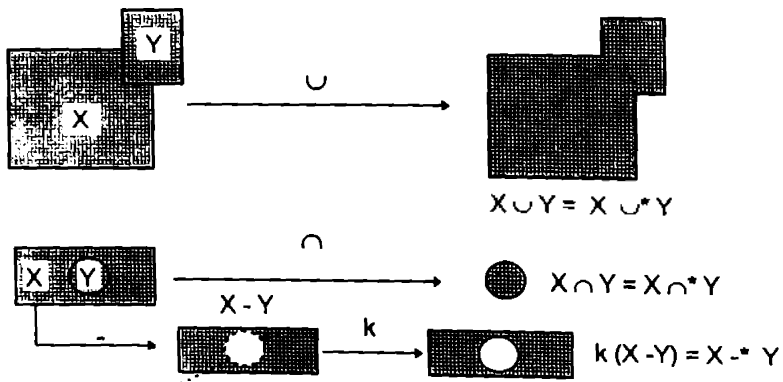
$$c^* X = k(cX)$$

(2.13)

Dacă bX și bY se suprapun în ecuația (2.11), se folosește ecuația (2.7) și rezultatul este obiectul nul. Figura 2.4 ilustrează geometric ecuațiile (2.6)-(2.13). Figura nu conține operația de complementare [Zei91].



(a) Multimi neregulate



această frontieră nu există

(b) Multimi regulate

Figura 2.4. Operatii pe multimi

2.2.4. Clasificarea elementelor multimii

În multe probleme geometrice ce implică modele ale solidelor este necesar să se cunoască ce punct, linie sau porțiune a unui alt solid intersectează un solid dat. În cazul intersecțiilor punct/solid, linie/solid sau solid/solid trebuie să se cunoască ce puncte, segmente sau porțiuni de solide se află înăuntru, în afară sau pe frontiera unui solid dat. Aceste probleme de intersecție geometrică au multe aplicații practice ingineresti utile.¹ De exemplu, intersecția linie/solid poate fi utilizată la umbrirea unui solid prin algoritmul de urmărire a razei, în timp ce intersecția solid/solid poate fi folosită pentru a verifica interferența dintre două solide [Zei91][Ben94].

2.3. GENERAREA SOLIDELOR PRIN OPERAȚII BOOLEENE

Utilizarea modelării solidelor este foarte complicată și de obicei este limitată fie de complexitatea, fie de precizia geometrică. Din această cauză, în anumite situații, construcția solidului nu poate avea loc sau ea duce la blocarea sistemului [Sav94] [Mu194] [Mu294][Mu394].

Modulul pentru modelarea geometrică reprezintă partea principală a unui sistem CAD. Modulele aplicației sunt direct legate și limitate de diversele moduri de reprezentare pe care sistemul le permite. Cele mai multe sisteme CAD furnizează modelarea "wire-frame", prin suprafețe și prin solide, și în fiecare caz trebuie luate în considerare diferitele entități ce stau la baza fiecărei reprezentări. De asemenea trebuie luată în considerare legătura ce trebuie asigurată între diferitele modalități de reprezentare și aplicațiile dorite [Zei91][Ben94].

Reprezentările prin frontiere conțin o componentă topologică și una geometrică. Este necesar să se poată verifica corectitudinea modelului obținut, adică faptul că elementele topologice sunt neambiguu legate de entitățile geometrice. În sistemele de modelare algebrică, o structură topologică neambiguă poate conduce la interpretări geometrice ambigue pentru coordonate identice de vertexi, ecuații ale planelor fetelor și descrieri de muchii (prin intersecția a două fete adiacente). Verificarea corectitudinii din punct de vedere topologic evită conversia unei descrieri neambigue a unui solid obținut prin utilizarea geometriei constructive într-o descriere ambiguă ce folosește reprezentarea prin frontiere. [Hof87][Ben94]

Ambiguitatea nu se datorează în general lipsei de informație topologică. De cele mai multe ori, ambiguitatea rezultă din faptul că muchiile se reprezintă ca intersecții de fețe adiacente. Acest lucru este corect în cazul solidelor poliedrale, dar nu și în cazul solidelor mărginite de suprafețe curbe.

Cele mai importante operații efectuate de un modelator de solide sunt operațiile booleene (reuniunea, intersecția și diferența). Aceste operații pot produce obiecte neregulate, ca de exemplu cele care conțin părți de dimensiuni diferite (un obiect tridimensional ce conține părți bidimensionale sau cu o singură dimensiune) sau cele nemultipluconexe (un obiect ce conține o muchie sau un vertex ce se sprijină pe interiorul unei fețe).

Se recomandă ca în cazul muchiilor care aparțin la mai mult de două fețe distincte să nu se efectueze operația booleană, iar cazurile de suprapunere muchie-muchie, muchie-fată sau fată-fată să fie tratate ca și cum entitățile geometrice se ating fără a avea puncte comune [Ben94] [Fla87].

2.4. TEHNICI DE REPREZENTARE A MODELELOR GEOMETRICE 3D

Informațiile necesare construirii unui obiect trebuie stocate într-o "bază de date", într-o structură ordonată de numere și caractere. Structura bazei de date influențează puternic viteza de lucru, memoria necesară, flexibilitatea și ușurința de scriere a programului care operează asupra obiectului.

Principalele moduri de reprezentare a informațiilor geometrice despre obiectele 3D în baza de date grafice pot fi clasificate în funcție de elementul geometric de bază utilizat în descrierea informației. Astfel pot fi folosite reprezentarea prin puncte, prin segmente, prin poligoane sau prin volume. Fiecare dintre ele prezintă avantaje și dezavantaje în funcție de contextul în care este folosită [Zei91][Dog88][Tan89].

2.4.1. Reprezentări prin puncte

În cazul corpurilor cu suprafețe plane, reprezentarea poate fi făcută prin punctele care reprezintă vârfurile fetelor. Dacă corpurile au suprafețe curbe, reprezentarea prin puncte poate fi făcută prin fatetare cu o precizie limitată, care să se încadreze în limita admisă pentru erori. Acest mod de reprezentare este

foarte simplu, dar în multe aplicații poate fi insuficient prin cantitatea de informații oferită.

Elementul de bază utilizat pentru reprezentarea prin puncte este lista de vertexi. Un vertex este un punct de pe suprafața unui model în care se întâlnesc sau din care pornesc - una sau mai multe linii folosite în reprezentarea corpului respectiv. Termenul s-a extins și pentru reprezentarea prin puncte, unde nu apar linii ca elemente ale desenului rezultat. O listă de vertexi conține numărul total de puncte și coordonatele 3D ale fiecărui punct.

Tot prin puncte se pot descrie corpurile reprezentate prin secțiuni transversale. Acestea decurg direct din reprezentările prin puncte situate în secțiuni transversale paralele între ele. Punctele situate într-o aceeași secțiune se unesc între ele, prin segmente de dreaptă, astfel încât să apară reprezentat conturul secțiunii respective [Dog88][Tan89].

2.4.2. Reprezentări prin segmente

Reprezentarea prin segmente, numită și reprezentarea wire-frame, nu folosește noțiunile de volum și suprafață. Un corp este reprezentat ca o mulțime de segmente de dreaptă sau porțiuni de curbă.

Memorarea datelor pentru realizarea unei reprezentări wire-frame a unui obiect se poate face sub forma de:

a) Segmente explicite, când obiectul este văzut ca o colecție de segmente, pentru care se cunoaște numărul total de elemente, iar pentru fiecare segment se precizează coordonatele extremităților.

b) Segmente implicite, când fiecare segment este precizat printr-o pereche de indici care identifică capetele acestuia într-o listă de vertexi.

Obiectul va fi descris prin numărul total de puncte, numărul total de segmente, lista de vertexi cu numărul curent și coordonatele fiecărui vertex și lista de segmente cu numărul curent și numărul vertexilor care corespund capetelor segmentului.

c) Linii date prin indici. Atunci când o linie poligonală poate fi descrisă prin concatenarea unui șir de segmente, este mult mai indicat să folosim tipul de structură de date ce conține numărul total de puncte, numărul total de linii, lista punctelor cu numărul curent și coordonatele vertexilor, lista liniilor cu numărul curent și sublista numerelor de vertexi care formează linia.

d) Sectiuni transversale si linii longitudinale. Aici se procedează ca în cazul liniilor date prin indici, dar curbele transversale sunt în marea lor majoritate chiar sectiunile transversale folosite la generarea corpului.

Deși reprezentarea wire-frame este oarecum simplistă și nu furnizează informații complete asupra geometriei corpului, datorită ușurintei de utilizare și a rapidității de afișare a reprezentării pe display ea este astăzi foarte mult folosită. Folosind tehnica wire-frame pentru vizualizare, se pot obține viteze mari de lucru și chiar efecte interesante de animație folosind un material puțin sofisticat [Dog88] [Tan89].

2.4.3. Reprezentări prin poligoane

Reprezentarea "wire-frame" a unui obiect 3D nu permite definirea unor suprafețe și deci calcularea ariilor, volumelor, maselor, centrelor de greutate sau afișarea pe ecran a porțiunii vizibile a obiectului analizat. Reprezentările simple care permit recunoașterea unor suprafețe și efectuarea de calcule relative la aceste suprafețe se obțin prin două procedee de modelare a corpurilor: modelarea suprafețelor și modelarea solidului. În primul caz, un corp este modelat prin precizarea frontierei sale, deci prin modelarea unei suprafețe. Aceasta din urmă poate fi obținută ca suprafață a unui poliedru, compusă dintr-o rețea de fețe poligonale plane sau ca suprafață strămbă în spațiu, compusă din porțiuni de suprafețe curbe [Tan89].

Reprezentarea prin poligoane se bazează pe modelarea obiectelor 3D prin una sau mai multe suprafețe de poliedre. Fiecare suprafață poliedrală este privită ca o colecție de fețe poligonale plane adiacente. Dacă obiectul real are suprafețe curbe, modelul său poligonal este evident aproximativ. Aproximarea poate fi făcută oricât de mică prin mărirea numărului de fețe poligonale plane care modelează o suprafață curbă. Apare dezavantajul unui necesar sporit de memorie, dar acesta este redus de faptul că algoritmi care procesează suprafețe poligonale plane sunt mult mai simpli decât cei pentru suprafețe curbe.

Din acest motiv, majoritatea aplicațiilor care nu implică prelucrarea efectivă a corpului analizat (CAM) apelează la modelarea poliedrală, făcând un compromis între precizie pe de o parte, memorie, simplitate și viteză de lucru pe de altă parte [Zei91].

Modelele 3D construite prin enumerarea fețelor ce separă obiectele de restul "lunii" (definite prin "coaja" lor) se numesc modele prin frontiere (B-rep). Modelul ar trebui să memoreze și poziția interiorului obiectului față de fețe.

Tehnica este avantajoasă pentru vizualizări, dar nu este bine adaptată pentru operații analitice, precum calculul centrului de greutate [Ben94].

Elementul topologic central al reprezentării prin frontiere este o entitate numită *flaps*, care poate fi imaginată ca o porțiune dintr-o față care se sprijină pe o muchie orientată. Formal, un *flaps* este o reprezentare explicită a vecinătății unei muchii 2D, o vecinătate relativă la o față f , formată din puncte din interiorul feței f ce conține muchia e .

Reprezentarea prin frontiere este alcătuită din două liste de muchii și fețe. O față este specificată printr-o listă de flaps-uri, în care fiecare flaps aparține unei singure fețe, și este incident unei singure muchii. Fiecare muchie are un număr par de flapsuri care sunt incidente ei.

Structura de date aleasă pentru solidele rationale conține următoarele articole:

Articolul Solid care conține lista tuturor fetelor solidului, lista tuturor muchiilor solidului și bounding-box-ul solidului.

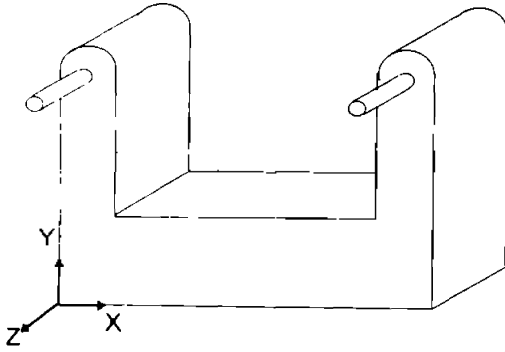
Articolul Față care conține coeficienții a, b, c și d , ai ecuației planului feței ($ax + by + cz + d = 0$), coeficienții exprimați prin numere rationale (se consideră plane orientate, astfel încât gradientul (a, b, c) să indice întotdeauna o normală cu sensul dinspre interiorul spre exteriorul solidului), lista tuturor flapsurilor feței și bounding-box-ul feței.

Articolul Muchie care conține două triplete p_1 și p_2 ale coordonatelor rationale care definesc cele două capete ale muchiei, în sensul că p_1 precede pe p_2 în ordine lexicografică (muchiiile sunt unice și sunt totdeauna memorate ca perechi ordonate $(p_1$ și $p_2)$), lista pointerilor la toate flapsurile incidente și o listă a punctelor de intersecție în care muchia este divizată în timpul algoritmului de intersecție.

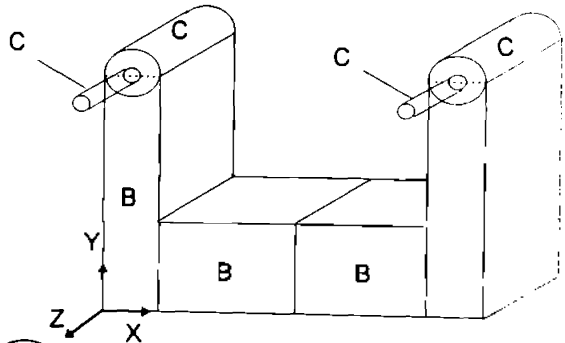
Articolul flaps care conține un pointer la muchia atașată e , un pointer la fața atașată f și latura s a flapsului, definită ca un întreg (± 1) , după cum este arătat mai jos.

Pentru ca o reprezentare prin frontiere să fie validă, trebuie să îndeplinească următoarele trei condiții:

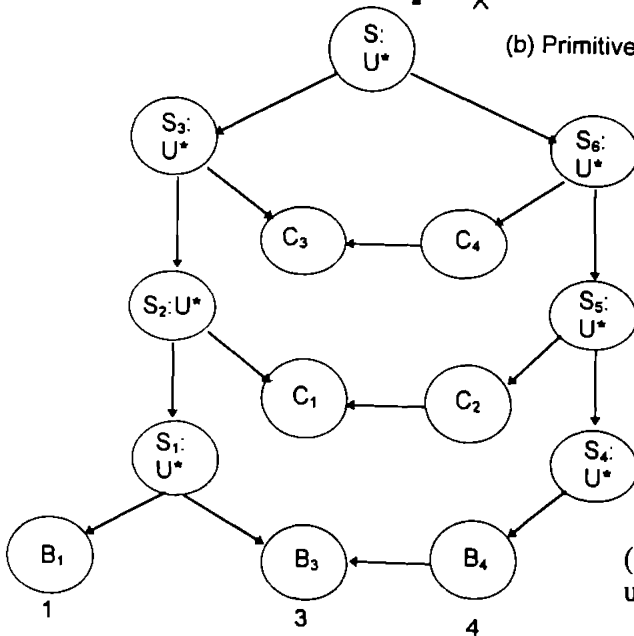
- Două muchii distincte nu trebuie nici să se suprapună, nici să se intersecteze în alt punct decât într-un capăt comun.
- Două fețe distincte se pot intersecta numai după muchii ce apar în lista de muchii.
- O muchie trebuie să aibă un număr par de flapsuri incidente ei. Muchiile inutile care au exact două flapsuri incidente în aceeași față trebuie șterse din reprezentarea prin frontiere.



(a) Solid tipic



(b) Primitive



(c) Graful CSG al unui solid tipic

Figura 2.5. Reprezentarea CSG a unui solid tipic

2.4.4. Reprezentări prin volume

Există mai multe modalități de reprezentare a obiectelor prin volume [Zei91].

Modelarea prin geometria constructivă a solidelor (CSG - Constructive Solid Geometry) permite crearea modelelor complexe prin gruparea componentelor mai simple, denumite sub-obiecte sau primitive. Exemple de sub-obiecte frecvente sunt: cuburi, conuri, cilindri, sfere. În tehnica CSG, modelul este reprezentat printr-un arbore (sau graf, pentru modele complexe). La capetele ramurilor arborelui se află obiecte primitive parametrabile, iar în noduri - operatori pe multimi. Fiecărui nod îi corespunde un sub-obiect (chiar dacă nu este calculat).

Tehnica CSG este avantajoasă în cazul modificării geometriei, dar nu este adaptată vizualizării. De aceea, uneori se păstrează în memorie două versiuni de model, una CSG și una B-rep, pentru vizualizare. În figura 2.5c este prezentat modelul CSG al obiectului din figura 2.5a [Maz94].

Modelarea prin enumerare spațială stochează modelul sub forma unei multimi de obiecte "atomice" volumice, asemănător stocării imaginilor 2D prin descrierea multimii de pixeli constituenți. Elementul volumic ce corespunde unui pixel este denumit voxel (volum element). Deoarece enumerarea tuturor punctelor volumice ar consuma memorie enormă, se utilizează obiecte unitare speciale. De aceea s-a dezvoltat o metodă de divizare recursivă, cunoscută sub numele de quadtree în 2D și "octree" în 3D. Un mare avantaj al acestei metode îl reprezintă posibilitatea de descriere a obiectelor complexe neregulate, de tipul celor existente în natură [Mu694].

Modelarea prin instantierea primitivelor se bazează pe reprezentarea analitică sau parametrică a obiectelor singulare. Un obiect va fi descris de modelul generator al întregii clase (familii) și de valorile parametrilor ce definesc obiectul particular. Pentru prelucrări mecanice sau operații analitice, metoda este avantajoasă pentru descrierea porțiunilor din obiecte, dar interfata cu utilizatorul este foarte complexă. Exemple ar fi petecele (poligoane spațiale generalizate) parametric cubice.

CAPITOLUL 3

VIZUALIZAREA MODELELOR 3D

3.1. TEHNICI DE VIZUALIZARE A MODELELOR 3D

Vizualizarea unui model este mijlocul cel mai convenabil de a recepta majoritatea caracteristicilor unui obiect virtual. Prin vizualizare se poate prezenta obiectul modelat operatorului (sub formă de vederi, secțiuni, izometric etc.) și se poate facilita interacțiunea dintre operator și model.

Problemele legate de vizualizarea modelelor au fost analizate și pe baza lucrărilor [Zei91][Dog88][Mu494][Mu694][MV194][MV394].

Vizualizarea obiectelor tridimensionale se poate face prin mai multe metode. Unele dintre acestea ar fi:

1. Afisarea de vederi ortogonale, ca în desenul tehnic.

2. Afisarea prin reprezentarea tuturor muchiilor (wire-frame). Vizualizarea în tehnica wire-frame are dezavantajul prezentei unor ambiguități privind forma reală a obiectului, nefiind furnizate suficiente informații privind forma spațială a obiectului. Are însă avantajul afisării tuturor liniilor constituente ale obiectului. Obiectul fiind transparent, se pot trage concluzii asupra corectitudinii sale și a corectei poziționări a elementelor interne. Ambiguitatea reprezentării wireframe poate fi rezolvată prin trecerea la reprezentarea hidden lines.

3. Afisarea cu efect de perspectivă, pentru care se definesc un punct de vedere și o direcție de privire, iar forma depinde de distanța față de observator.

4. Afisarea cu simularea adâncimii (depth cueing), în care intensitatea luminoasă scade cu creșterea distanței față de observator.

5. Afisarea cu părțile ascunse eliminate (hidden lines sau hidden surfaces).

6. Afisarea nuanțată (shading), în care fețele obiectelor sunt nuanțate în funcție de poziția și orientarea elementelor de suprafață relativ la sursele de

lumină și la punctul de privire (poziția simulată a ochiului), încercând să se simuleze efectele iluminărilor din lumea reală, inclusiv pe diferite culori și texturi ale suprafețelor.

7. Afisare stereoscopică în care se redau simultan două imagini, câte una pentru fiecare ochi, ce se privesc prin dispozitive speciale (ochelari, ecran polarizor sau cu microlentile cilindrice etc.).

8. Afisarea tip realitate virtuală în care se redau două imagini, pe două ecrane mici (câte unul pentru fiecare ochi) fixate de o cască, iar senzori speciali comandă modificarea punctului de vedere la calculul imaginii de afisat functie de mișcările capului.

3.2. REALISMUL VIZUAL

Încă de la începuturile graficii pe calculator s-a dorit obținerea de imagini cât mai bune ale obiectelor prin înlăturarea părților ascunse care nu ar putea fi văzute dacă în realitate obiectele ar fi construite de materiale opace. Muchiile și suprafețele unui obiect dat pot fi ascunse (invizibile) sau vizibile într-o imagine dată, în functie de direcția din care este privit. Determinarea muchiilor și suprafețelor ascunse este una din cele mai disputate din domeniul graficii pe calculator. Soluția ei cere de obicei o cantitate mare de timp de calculator și spațiu de memorie. Există o serie de tehnici pentru reducerea acestor necesități și pentru îmbunătățirea eficienței algoritmilor.

Soluția problemei de înlăturare a muchiilor și fetelor ascunse conduce la diferite concepte din domeniul calculatoarelor, în special sortarea, și din domeniul modelării geometrice, în special proiecții și intersecții. Această problemă poate fi văzută de asemenea ca o problemă de vizibilitate. De aceea, o înțelegere clară a problemei și a soluției ei este utilă și poate fi extinsă pentru a rezolva probleme ingineresti semnificative. Un exemplu ar fi problema vederii și planificării traiectoriei din aplicațiile robotilor. În problema vederii, poziționarea și orientarea camerei furnizează direcția vederii care la rândul ei poate fi folosită pentru a determina muchiile și fețele ascunse ale obiectelor întâlnite în mediul de lucru al robotului. În problema planificării traiectoriei, cunoașterea momentului în care o suprafață dată devine ascunsă din vizibilă (prin găsirea muchiilor și curbelor siluetei) poate fi folosită pentru a determina traiectoria minimă a capătului "mâinii" robotului. Punctele de pe suprafață în care se schimbă starea lor din

vizibile în invizibile sau invers, pot fi considerate ca puncte critice care pot fi folosite ca intrări de către algoritmul de planificare a traiectoriei.

În prezent există o varietate de algoritmi pentru înlăturarea liniilor și suprafețelor ascunse. Dezvoltarea lor este influențată de tipurile de dispozitive grafice de afisare folosite (dacă sunt vector sau raster) și de tipul structurilor de date sau a modelării geometrice cu care lucrează (modele prin cadre, suprafețe sau solide). Unii algoritmi utilizează prelucrarea paralelă în locul celei seriale tradiționale, pentru a le mări viteza de execuție. Formalizarea și generalizarea acestor algoritmi sunt utile și sunt cerute atunci când se încearcă proiectarea și construcția de hardware dedicat care să suporte înlăturarea liniilor și suprafețelor ascunse, care să nu fie limitat la un singur algoritm. Oricum, nu este o sarcină ușoară conversia diferitelor formulări ale algoritmilor într-o formă care să permită încadrarea lor într-o schemă generalizată.

Algoritmii care sunt aplicați unui set de obiecte pentru a înlătura părțile ascunse în scopul creării unei imagini mai realiste sunt de obicei clasificați în algoritmi pentru înlăturarea liniilor ascunse și algoritmi pentru înlăturarea suprafețelor ascunse. Primii folosesc dispozitive de trasare a liniilor cum ar fi display-urile de tip vector și plotter-ele, în timp ce cei din urmă folosesc display-uri de tip raster. Algoritmii de linii ascunse pot folosi display-uri de tip raster deoarece acestea permit trasarea liniilor. În schimb, algoritmii de suprafețe ascunse nu pot folosi display-uri de tip vector. Din punctul de vedere al modelării geometrice, această clasificare este confuză și înșelătoare. Înlăturarea liniilor ascunse nu înseamnă (după cum ar sugera numele) că este aplicabilă numai modelelor cadru. Analog, înlăturarea suprafețelor ascunse nu este aplicabilă numai modelării prin suprafețe simple. De fapt, algoritmii pentru înlăturarea părților ascunse dintr-o imagine nu pot fi aplicați direct modelelor ce folosesc cadre sau suprafețe. Ei au nevoie de o structură de date neambiguă care să reprezinte obiectul ca fiind format din fețe orientate. Aceasta înseamnă că fiecare față are o normală la suprafață cu o orientare consecventă (de exemplu pozitivă dacă muchiile sunt introduse în ordinea dată de sensul antiorar); deci, obiectele poliedrale sunt reprezentate prin poligoane pline orientate. Aceste poligoane pot fi obținute dintr-un model ce folosește reprezentarea prin cadre, suprafețe sau solide. Utilizatorii ar trebui să introducă informație suplimentară pentru a identifica fețele și orientarea în cazul modelelor ce folosesc cadre sau orientarea în cazul modelelor ce folosesc suprafețe. Modelele solide furnizează automat aceste informații. Această clasificare are drept scop prezentarea în ordine istorică a dezvoltării algoritmilor de vizibilitate.

Algoritmii pentru linii și suprafețe ascunse au fost clasificați în algoritmi spațiu - obiect, algoritmi spațiu - imagine și o combinație a lor (algoritmi hibridi). Algoritmii spațiu - imagine pot fi la rândul lor împărțiți în algoritmi raster și algoritmi vector. Algoritmii raster folosesc o reprezentare sub formă de matrice de pixeli a imaginii, iar algoritmi vector folosesc coordonatele capetelor segmentelor în reprezentarea imaginii. Un algoritm spațiu - obiect folosește relațiile spațiale și geometrice dintre obiectele din scenă pentru a determina părțile ascunse și părțile vizibile ale acestor obiecte. Un algoritm spațiu - imagine, pe de altă parte, se concentrează pe imaginea de pe ecran pentru a determina ceea ce este vizibil, de exemplu, în fiecare pixel în cazul algoritmilor raster. Cei mai mulți algoritmi de suprafețe ascunse folosesc metode spațiu - imagine raster, în timp ce cei mai mulți algoritmi de linii ascunse folosesc metodele spațiu - obiect.

Cele două abordări (spațiu - obiect și spațiu - imagine) pentru obținerea realismului vizual prezintă caracteristici diferite. Algoritmii spațiu - obiect sunt mai exacti decât algoritmi spațiu - imagine. Primii efectuează calcule geometrice (cum ar fi intersecțiile) folosind precizia virgulei flotante a hardware-ului calculatorului, în timp ce ultimii efectuează calcule cu precizia egală cu rezoluția ecranului display-ului folosit la reprezentare. De aceea, mărirea unei imagini prin algoritmi spațiu - obiect nu reduce calitatea reprezentării, așa cum se întâmplă în cazul mării imaginii prin algoritmi spațiu - imagine. Pe măsură ce complexitatea scenei crește (un număr mai mare de obiecte în scenă), timpul de calcul crește mai repede pentru algoritmi spațiu - obiect decât pentru cei spațiu - imagine.

3.3. ÎNLĂTURAREA LINIILOR ASCUNSE

3.3.1. Vizibilitatea reprezentărilor obiectelor

Vizibilitatea părților obiectelor dintr-o scenă depinde de poziția din care se privește (poziția ochiului), de tipul proiecției (ortogonale sau perspective) și de adâncimea sau distanța dintre diferitele fețe ale diferitelor obiecte din scenă, față de punctul de privire (ochi). Înlăturarea liniilor ascunse din vederile perspective este o problemă destul de complexă. Trebuie luate în considerare multe linii ce pleacă din punctul din care se privește (raze vizuale) și trebuie calculate intersecțiile lor cu fețele obiectelor. Complexitatea problemei se reduce considerabil dacă se folosesc vederile ortografice deoarece nu mai sunt necesare

intersecțiile. De aceea este o practică uzuală aplicarea transformărilor perspective tuturor punctelor din scenă și apoi aplicarea algoritmilor ortografici de vizibilitate pentru linii ascunse asupra setului de puncte rezultate (transformate). Aceasta este echivalent cu a spune că vederea ortografică a obiectelor transformate (perspective) este identică cu vederea perspectivă a obiectelor originale (netransformate). Din acest motiv, interesează numai algoritmi ortografici pentru linii ascunse.

Compararea adâncimilor este criteriul principal utilizat de algoritmi liniilor ascunse pentru determinarea vizibilității. Comparatiile de adâncime se fac de obicei după efectuarea transformărilor de vedere corespunzătoare pentru proiecțiile ortografice, respectiv perspective.

Compararea adâncimii determină dacă un punct proiectat $P_{1v}(x_{1v}, y_{1v})$ dintr-o vedere dată ascunde un alt punct $P_{2v}(x_{2v}, y_{2v})$. Acest lucru este echivalent cu a determina dacă cele două puncte originale corespunzătoare P_1 și P_2 se proiectează în același punct, adică dacă $x_{1v} = x_{2v}$ și $y_{1v} = y_{2v}$. În acest caz compararea lui z_{1v} și z_{2v} decide care punct este mai apropiat de ochi (figura 3.1) [Zei91] [Dog88].

3.3.2. Tehnici de vizibilitate

Dacă criteriul de comparare a adâncimilor este utilizat singur, fără alte îmbunătățiri, numărul de comparații crește rapid (pentru n puncte sunt necesare $2n$ teste), lucru care conduce la dificultăți de memorare și gestiune a rezultatelor obținute prin algoritmul de linii ascunse. Efectul este că algoritmul este încetinit din cauza calculelor pentru obținerea imaginii finale. Există diferite tehnici de vizibilitate care îmbunătățesc acești algoritmi. În general, aceste tehnici încearcă să stabilească relațiile dintre poligoane și muchii în planul de reprezentare. În mod normal, tehnicile verifică suprapunerea perechilor de poligoane (numite uneori și comparații laterale) în planul de reprezentare (ecran). Dacă apar suprapuneri, comparațiile de adâncime sunt folosite pentru a determina dacă un poligon întreg sau o parte a sa este ascunsă de un alt poligon. Atât comparațiile laterale cât și comparațiile de adâncime se fac în sistemul de coordonate al reprezentării [Zei91].

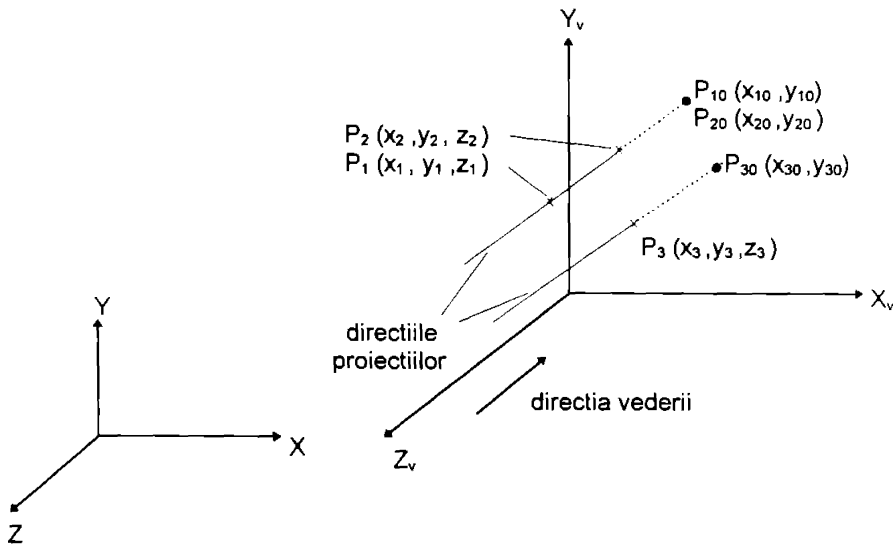


Figura 3.1. Compararea adâncimii pentru proiectii ortografice

3.3.3. Sortarea

Multi algoritmi de vizibilitate (algoritmi pentru linii, suprafețe și solide ascunse) utilizează mult operațiile de sortare. Pentru acești algoritmi, tehnicile de sortare și căutare operează asupra înregistrărilor din baza de date a scenei. Aceste înregistrări conțin de obicei informații geometrice, topologice și de vedere asupra poligoanelor și fetelor care alcătuiesc scena. Sortarea este o operație care ordonează o mulțime de înregistrări date în funcție de un criteriu selectat.

Timpul necesar pentru execuția sortării depinde de numărul de înregistrări de prelucrat, de algoritmul care efectuează sortarea și de ordinea inițială a înregistrărilor (dacă înregistrările sunt aleator sau semiordonat memorate). Există o mulțime de tehnici de sortare, dar acestea nu sunt prezentate aici [Zei91].

3.3.4. Coerenta

În mod natural, elementele unei scene sau imaginea ei au unele legături între ele. Ansamblul acestor legături este numit coerentă. Algoritmii liniilor ascunse care utilizează coerenta în tehnicile lor de sortare sunt mai eficienți decât algoritmii care nu o folosesc. Coerenta este o măsură a vitezei cu care se schimbă o scenă sau imaginea ei. Ea descrie gradul în care scena sau imaginea ei este local constantă.

Coerenta unui set de date poate îmbunătăți în mod semnificativ viteza sortării. Schimbările gradate în aparenta unei scene sau a imaginii ei de la un loc la altul poate reduce cu mult numărul operațiilor de sortare.

Pot fi identificate mai multe tipuri de coerentă atât în spațiul obiect cât și în spațiul imagine:

1. *Coerenta muchiilor.* Vizibilitatea unei muchii se schimbă numai când se întretaie cu altă muchie.

2. *Coerenta fetelor.* Dacă o parte a unei fete este vizibilă, probabil că întreaga față este vizibilă. Mai mult, penetrarea fetelor apare destul de rar, și de aceea nu este verificată în mod uzual în algoritmii de înlăturare a părților ascunse.

3. *Coerenta geometrică.* Muchiile care împart același vertex sau fetele care împart aceeași muchie au vizibilități similare în cele mai multe cazuri. De exemplu, dacă trei muchii împart același vertex, ele pot fi toate vizibile, toate invizibile sau două vizibile și una nu. Combinația potrivită depinde de unghiul dintre oricare două muchii (mai mic sau mai mare decât 180°) și de poziția oricărei muchii relativ la planul determinat de celelalte două.

4. *Coerenta cadrelor.* Un film (de exemplu animație) nu are schimbări foarte mari de la un cadru la altul.

5. *Coerenta liniilor de scanare.* Segmentele unei scene vizibile pe o linie de scanare sunt foarte probabil vizibile și pe următoarea linie.

6. *Coerenta ariilor.* Un element particular (arie) al unei imagini și vecinătățile lui au probabilistic aceeași vizibilitate și sunt influențate de aceeași față.

7. *Coerenta pe adâncime.* Diferitele suprafețe dintr-o anumită porțiune a ecranului sunt în general bine separate în adâncime, relativ la domeniul adâncimii fiecăreia.

Primele trei tipuri de coerentă au la bază reprezentarea spațiu-obiect, în timp ce restul se bazează pe reprezentarea spațiu-imagine. Dacă o imagine

prezintă o coerență particulară predominantă, ea va forma baza pentru algoritmul corespunzător de înlăturare a liniilor ascunse [Zei91].

3.3.5. Exemple de algoritmi pentru linii ascunse

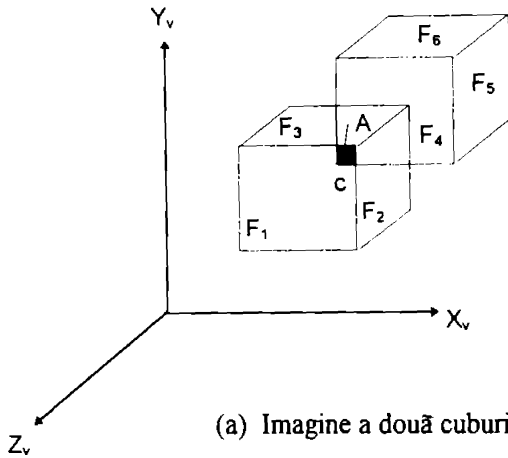
La baza unui algoritm de vizibilitate stă testul dacă un element al unui obiect este sau nu ascuns de un altul. Un algoritm de vizibilitate poate fi descris ca o funcție $va(H,C)$, unde H și C sunt multimile de muchii candidat, ascunse respectiv acoperitoare, din cadrul scenei considerate. De vreme ce fiecare muchie din multimea H trebuie testată pentru fiecare muchie din C , algoritmul necesită $H * C$ teste de vizibilitate. Diferenții algoritmi de vizibilitate sunt deosebiți în general prin strategia aplicată pentru testul de vizibilitate, care determină multimile H și C .

Algoritmii de înlăturare a liniilor ascunse pot folosi una din următoarele trei abordări: abordarea orientată pe muchii, abordarea orientată pe contururi sau abordarea orientată pe arii [Tan89] [Dog88].

Există o varietate de algoritmi pentru linii ascunse care utilizează una sau mai multe din tehnicile de vizibilitate discutate în 4.2 și urmează una din cele trei abordări. Aceștia includ algoritmul cu priorități, paradigma "plane-sweep", algoritmi pentru scene de mare complexitate, algoritmi pentru modele de elemente finite sau elemente plane, algoritmi orientați pe arii, algoritmul de suprapunere pentru suprafețe definite parametric (rețele $u-v$).

3.3.5.1. Algoritmul cu priorități

Acest algoritm mai este cunoscut și ca algoritmul în adâncime sau "algoritmul z ". Este bazat pe sortarea tuturor fetelor (poligoanelor) din scenă, în raport cu cea mai mare coordonată z a fiecăreia. Acest pas este cunoscut uneori ca și atribuire de priorități. Dacă o față intersectează mai multe fete sunt necesare și alte teste de vizibilitate pentru a rezolva orice ambiguitate. Acest pas constituie determinarea acoperirilor [Tan89] [Dog88].



Fete	Lista de priorități	Fete	Lista de priorități	Fete	Lista de priorități	Fete	Lista de priorități
F ₁	1	F ₁	1	F ₁	1	F ₁	4 2
F ₂	1	F ₂	1	F ₂	2	F ₂	4 2
F ₃	1	F ₃	2	F ₃		F ₃	4 2
F ₄	2	F ₄		F ₄		F ₄	1
F ₅		F ₅		F ₅		F ₅	1
F ₆		F ₆		F ₆		F ₆	1
Iteratia 1		Iteratia 2		Iteratia 3		Iteratia 4	

(b) Stabilirea priorităților

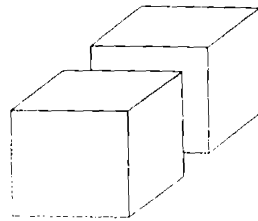


Figura 3.2. Algoritmul cu priorități

Pentru a ilustra cum poate fi implementat algoritmul cu priorități, se consideră o scenă ca cea din figura 3.2. Figura prezintă scena în sistemul de axe VCS (al vizualizării), unde ochiul este plasat la infinit pe direcția pozitivă a axei Z_v .

În cadrul acestui algoritm se utilizează proiecția ortografică potrivită pentru a obține vederea dorită (ale cărei linii ascunse urmează să fie îndepărtate) a scenei. Pentru a îmbunătăți eficiența algoritmului, se utilizează testul de suprafață pentru eliminarea fetelor din spate. Se obține astfel o listă de fete care va fi sortată pentru atribuirea priorităților, prin compararea a câte două fete. Se reordonează listele de fete și de priorități astfel încât prioritatea cea mai mare este în capul listei. În cazul unui afisaj de tip rastru, eliminarea liniilor ascunse este realizată prin hardware. Trebuie doar afisate fetele în ordinea inversă a priorității lor. Oricare fete care vor fi ascunse de către altele vor fi astfel afisate primele, dar vor fi acoperite mai târziu, parțial sau total, de fetele cu prioritate mai mare. În cazul unui afisaj vectorial, eliminarea liniilor ascunse trebuie făcută prin software, prin determinarea acoperirilor. În acest scop, muchiile unei fete sunt comparate cu toate celelalte muchii de prioritate mai mare. Poate fi creată o listă de muchii care păstrează lista tuturor segmentelor de dreaptă care vor fi desenate ca fiind vizibile. În acest caz sunt utile tehnicile de vizibilitate, cum ar fi testul de continut și intersecția de muchii.

În cazul anumitor scene pot apărea ambiguități după aplicarea testului de prioritate. Figura 3.3 prezintă un caz în care ordinea fetelor este ciclică. Fata F_1 acoperă fata F_2 , F_2 acoperă F_3 , și F_3 acoperă F_1 . Pentru a remedia această ambiguitate, algoritmului cu priorități trebuie să i se adauge software suplimentar pentru determinarea acoperirilor.

3.3.5.2. Algoritmul orientat pe arii

Algoritmul orientat pe arii divizează pas cu pas setul de date dintr-o scenă dată, până când sunt determinate și afisate toate ariile vizibile din cadrul scenei. În acest algoritm, ca și în algoritmul cu priorități, nu este permisă străpungerea fetelor. Considerând scena din figura 3.4a, algoritmul orientat pe arii poate fi descris după cum urmează:

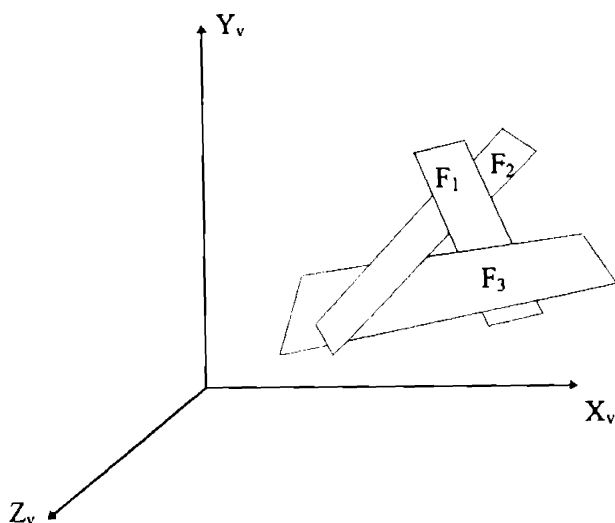


Figura 3.3. Exemplu cu ambiguități pentru algoritmul cu priorități

Se identifica contururile poligonale. (Pentru scena prezentată în figura 3.4 s-au identificat două contururi poligonale închise S_1 și S_2 .) Se atribuie valori de ascundere cantitativă (QH) muchiilor contururilor poligonale, prin intersectarea poligoanelor (poate fi utilizat mai întâi testul de conținut ca și test rapid). Punctele de intersecție definesc punctele în care valoarea lui QH se poate modifica. Aplicând testul de adâncime punctelor de intersecție (P_1 și P_2 în figura 3.4) se determină segmentele ascunse ale muchiilor de contur. De exemplu, dacă testul de adâncime în P_1 arată că z_v în P_1 al S_1 este mai mic decât pentru S_2 , muchia C_1C_2 este parțial vizibilă. Similar, testul de adâncime în P_2 arată că muchia C_2C_3 este de asemenea parțial vizibilă [Zei91].

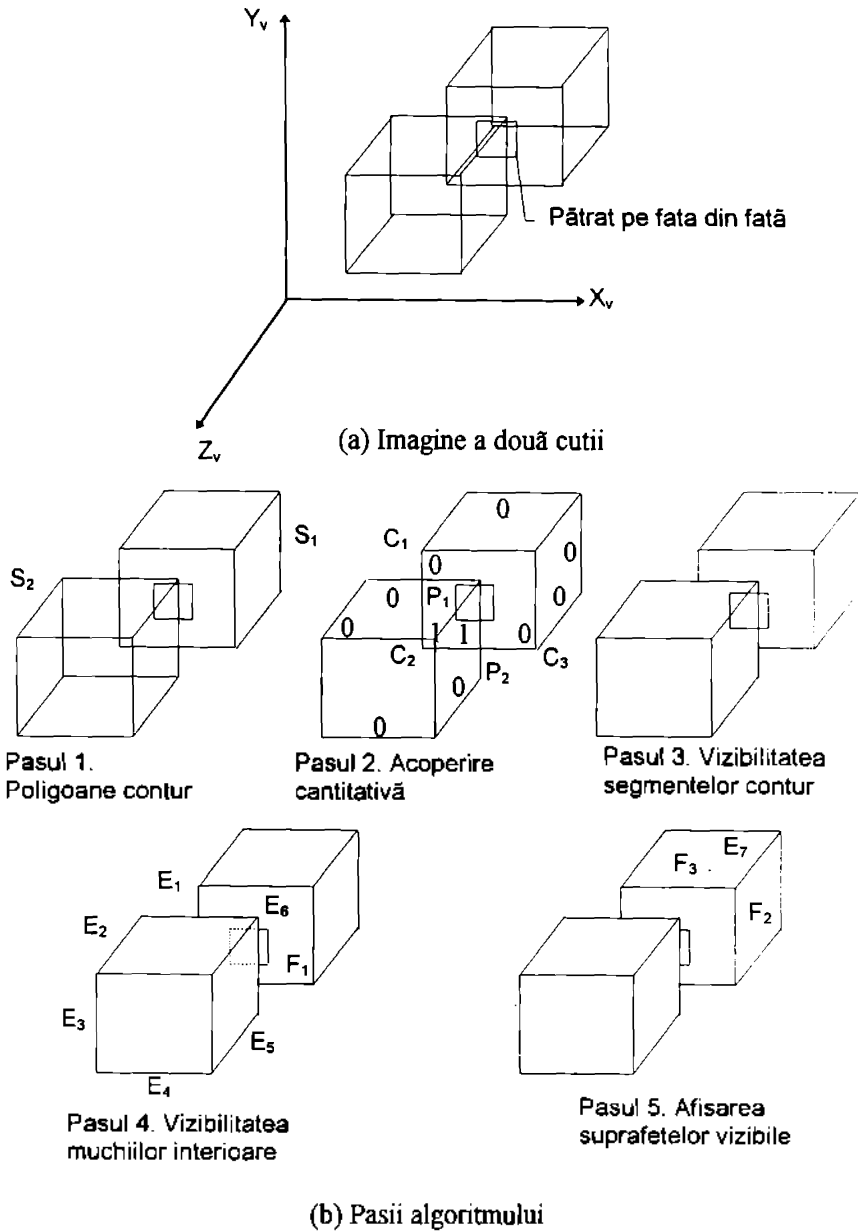


Figura 3.4. Algoritm orientat pe arii

Pentru a determina care segment al muchiei este vizibil poate fi utilizat testul de vizibilitate din 4.2.5. Determinarea valorilor QH pentru diferite muchii sau segmente de muchii ale conturilor poligonale este bazată pe testul de adâncime. Valoarea 0 indică faptul că o muchie sau segment este vizibilă și valoarea 1 faptul că această este invizibilă. Se determina segmentele de contur vizibile. Vizibilitatea segmentelor de contur poate fi determinată din valorile QH ținând cont de următoarele reguli. Dacă un contur poligonal închis este complet invizibil el nu trebuie luat în considerare în continuare. Altfel, sunt vizibile segmentele sale cu cele mai mici valori QH (pasul 3 în figura 3.3). Se intersectează segmentele de contur vizibile cu fetele partial vizibile, pentru a determina dacă segmentele de contur ascund (total sau partial) muchiile care nu sunt de contur în fetele partial vizibile. În figura 3.4 muchiile $E_1..E_6$ ale lui S_2 sunt intersectate cu muchiile interne (muchiiile pătratului din interiorul fetei) ale lui F_1 și sunt determinate segmentele vizibile ale muchiilor interne.

Algoritmul evită orice calcule în plus, prin accesarea doar a muchiilor de contur ale conturilor poligonale acoperitoare și doar a fetelor partial vizibile. În final se afișează interiorul poligoanelor vizibile sau partial vizibile. Acest pas poate fi realizat folosind o stivă și enumerând toate fetele care se găsesc în interiorul unui contur poligonal. Stiva este inițializată cu o față vizibilă care are o muchie de contur. Știm că această față aparține unei arii vizibile. Se începe extrăgând o față (F_2) de pe stivă. Se examinează toate muchiile fetei. Dacă o muchie (E_7) nu este complet vizibilă atunci fața vecină (F_3) are de asemenea muchii vizibile [Tan89] [Zei91].

3.4. ÎNLĂTURAREA SUPRAFETELOR ASCUNSE

Există o largă varietate de asemenea algoritmi. Ei includ algoritmul buffer-ului z , algoritmul lui Watkin, algoritmul lui Warnock și algoritmul pictorului. Algoritmul Watkin este bazat pe coerența liniilor de scanare, în timp ce algoritmul Warnock este bazat pe coerența suprafețelor. Algoritmul pictorului este un algoritm cu priorități [Zei91].

3.4.1. Algoritmul buffer-ului Z

Acesta este cunoscut și ca algoritmul buffer-ului de adâncime. În plus față de buffer-ul de construcție (cadru) acest algoritm necesită un buffer z în care pot

fi sortate valorile z pentru fiecare pixel. Buffer-ul z este initializat la cea mai mică valoare z , în timp ce buffer-ul de constructie (cadru) este initializat la valoarea pixelului de fond. Ambele buffere sunt indexate de coordonatele (x,y) ale pixelilor. Aceste coordonate sunt de fapt coordonatele ecranului. Algoritmul buffer-ului z functionează după cum urmează: Pentru fiecare poligon care face parte din scenă găsim toti pixelii (x,y) care se găsesc pe poligon sau în interiorul acestuia atunci când poligonul este proiectat pe ecran. Pentru fiecare din acesti pixeli calculează adâncimea z a poligonului la (x,y) . Dacă $z > \text{adâncime}(x,y)$ poligonul este mai apropiat de ochi decât altele deja memorate pentru pixelul respectiv. În acest caz, buffer-ul z este actualizat setând adâncimea (x,y) la z . În mod similar, intensitatea locatiei corespunzătoare pixelului din buffer-ului de constructie este actualizată la intensitatea poligonului de la (x,y) . După ce au fost prelucrate toate poligoanele, buffer-ul de constructie contine solutia [Tan89].

3.4.2. Algoritmul lui Warnock

Acesta este unul dintre primii algoritmi bazati pe coerența suprafetelor. Acest algoritm rezolvă problema suprafetelor ascunse divizând recursiv imaginea în subimagini. Mai întâi încearcă să rezolve problema pentru o fereastră care acoperă întreaga imagine. Cazurile simple cum ar fi un poligon sau niciunul în fereastră sunt rezolvate cu ușurință. Dacă poligoanele se suprapun algoritmul încearcă să analizeze relația dintre poligoane [Tan89].

Dacă algoritmul nu poate decide cu ușurință, subdivide fereastra în patru ferestre mai mici și aplică aceeași tehnică pentru fiecare dintre acestea. Dacă una dintre cele patru ferestre este încă complexă ea este divizată în continuare în patru ferestre mai mici. Procesul recursiv ia sfârșit dacă problema suprafetelor ascunse poate fi rezolvată pentru toate ferestrele sau dacă fereastra se reduce la mărimea unui pixel. În acest caz, intensitatea pixelului este aleasă egală cu a poligonului vizibil în acel pixel. Rezultă astfel o structură arborescentă de ferestre.

Figura 3.5 prezintă aplicarea algoritmului lui Warnock scenei din figura 3.2a. S-ar putea enunța o regulă conform căreia orice fereastră este divizată recursiv dacă nu contine două poligoane. Într-un asemenea caz, comparând adâncimea z a poligoanelor se determină care dintre ele îl ascunde pe celălalt.

3.5. ELIMINAREA SOLIDELOR ASCUNSE

Problema eliminării solidelor ascunse implică afisarea modelelor solidelor cu liniile sau suprafețele ascunse eliminate. Datorită complexității și lipsei de ambiguitate a modelelor solidelor, eliminarea solidelor ascunse este efectuată automat. De aceea, comenzile disponibile în sistemele CAD/CAM pentru eliminarea solidelor ascunse, cum ar fi comanda "ascunde solid", necesită un minim de intervenție din partea utilizatorului. De fapt, tot ceea ce este necesar pentru executarea comenzii este ca utilizatorul să identifice solidul care trebuie ascuns. Structura de date a unui model solid conține toate informațiile necesare pentru rezolvarea problemei liniilor sau suprafețelor ascunse. Toți algoritmi discutați mai sus (3.3 și 3.4) sunt aplicabili eliminării solidelor ascunse pentru modelele B-rep. Algoritmi cum ar fi cel al buffer-ului z au fost extinși la modele CSG. [Zei91]

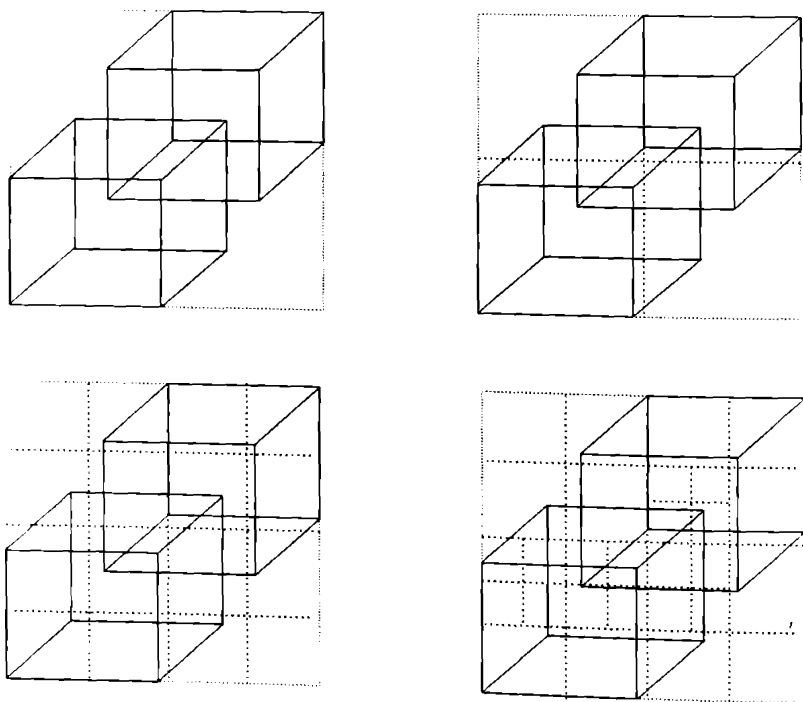


Figura 3.5. Algoritmii lui Warnock

Pentru afisarea modelelor CSG trebuie rezolvate atât problema vizibilității cât și problema combinării solidelor primitive într-un model compus. Există trei abordări pentru afisarea modelelor CSG. Prima abordare convertește modelul CSG într-un model B-rep ("boundary representation model") care poate fi interpretat pentru vizualizare cu algoritmi pentru suprafețe ascunse standard. A doua abordare utilizează o strategie de divizare spațială. Pentru a simplifica problemele combinatoriale, arborele CSG (semi-spații) este "tăiat" simultan cu divizarea. Această divizare reduce evaluarea CSG la o simplă preprocesare înainte ca semi-spațiile să fie procesate cu tehnicile standard de rendering.

A treia abordare utilizează un algoritm pentru suprafețe ascunse CSG care combină evaluarea CSG cu eliminarea suprafețelor ascunse pe baza clasificării razelor. Algoritmii de urmărire a razelor și de scanare a liniilor folosesc această abordare. Atractivitatea abordării stă în conversia problemei tridimensionale complexe a intersecției solid/solid într-un calcul unidimensional de intersecție rază/solid.

3.5.1. Algoritmul cu urmărirea razei

Principalele calități ale acestui algoritm sunt simplitatea și posibilitatea extinderii acestuia. Cea mai complicată problemă numerică a algoritmului este găsirea punctelor în care liniile (razele) intersectează suprafețele. Urmărirea razelor (*ray tracing*) a fost utilizată în realismul vizual al solidelor pentru a genera schițe cu eliminarea solidelor ascunse, animație de solide, și desene umbrite. A fost utilizată de asemenea în analiza solidelor, în principal pentru calculul proprietăților de masă. [Zei91]

Ideea urmăririi razei a fost folosită în anii 1970 de MAGI (Mathematic Applications Group, Inc.) pentru a genera solide umbrite. Pentru a genera aceste desene este simulat în sens invers procesul fotografic. Prin fiecare pixel al ecranului este trecută o rază de lumină către scenă pentru a identifica suprafața vizibilă. Prima suprafață intersectată de rază, găsită prin urmărirea razei, este cea vizibilă. În punctul de intersecție rază/suprafață este calculată normala la suprafață, și cunoscând poziția sursei de lumină poate fi calculată luminozitatea pixelului.

Urmărirea razei este considerată o metodă brută de rezolvare a problemelor. Algoritmul de bază este foarte simplu, dar totuși încet. Gradul de utilizare a CPU de către algoritm crește odată cu complexitatea scenei luate în

considerare. Algoritmul a fost rafinat pentru a i se îmbunătăți eficiența. Mai mult, algoritmul a fost implementat hardware pentru a fi mai rapid.

3.6. UMBRIREA

Desenele cu ajutorul liniilor, cele mai obișnuite modalități de comunicare a geometriei părților mecanice, sunt limitate în posibilitatea lor de a reprezenta forme complicate. Imaginile color umbrite contin informații asupra formelor care nu pot fi reprezentate doar prin desenarea liniilor. Ele pot să contină și alte caracteristici cum ar fi finisarea suprafețelor sau tipul de material (plastic, metal sau lemn).

Algoritmii pentru imagini umbrite filtrează informația afișând doar suprafețele vizibile. Multe relații spațiale nerezolvate prin afișările wire-frame devin clare prin această metodă. Imaginile umbrite sunt mai ușor de interpretat, deoarece obiectele seamănă mai mult cu cele reale. Ele prezintă și probleme de vedere care nu apar în reprezentările wire-frame. Obiecte de interes pot fi ascunse sau parțial ascunse, caz în care diferite imagini umbrite pot fi obținute din diferite puncte de vedere. Tehnici binecunoscute, cum ar fi imagini umbrite peste wireframe, transparența și secțiuni pot fi utilizate la rezolvarea acestor probleme.

Una din cele mai provocatoare probleme în grafica pe calculator este generarea imaginilor realiste. Cererea pentru imagini umbrite a început în primii ani ai deceniului opt, când preturile memoriei au scăzut suficient de mult pentru a face costul tehnologiei raster atractiv. În umbrirea unei scene (interpretarea unei scene) se pleacă de la rezolvarea problemei de eliminare a suprafețelor ascunse pentru determinarea obiectelor sau porțiunilor de obiecte care sunt vizibile în scena. Odată găsite suprafețele vizibile, ele trebuie descompuse în pixeli și umbrite corect. Acest proces trebuie să ia în considerare poziția și culoarea surselor de lumină și poziția, orientarea și proprietățile obiectelor vizibile [Zei91].

CAPITOLUL 4

ALGORITMI UTILIZATI ÎN MODELAREA SOLIDELOR PRIN OPERATI BOOLEENE

4.1. ALGORITM PENTRU CLASIFICAREA ELEMENTELOR UNEI MULTIMI ÎN CAZUL INTERSECȚIEI EI CU UN SOLID

În fiecare din problemele de intersecție punct/solid, linie/solid sau solid/solid, se dau două mulțimi de puncte: o mulțime de referință S și o mulțime candidat X . Mulțimea de referință este de obicei solidul dat al cărui interior și frontieră sunt iS și respectiv bS . Exteriorul lui S este complementul său cS . Mulțimea candidat este entitatea geometrică care trebuie clasificată relativ la S . Procesul prin care diferite părți ale lui X (puncte, segmente de dreaptă sau porțiuni de solid) sunt atribuite lui iS , bS și/sau cS se numește clasificarea elementelor mulțimii.

Funcția de clasificare a elementelor mulțimii, notată $M[X, S]$, furnizează o abordare unitară pentru studiul comportării mulțimii candidat X relativ la mulțimea de referință S . Funcția este definită cu relația:

$$M[X, S] = (X \text{ in } S, X \text{ on } S, X \text{ out } S) \quad (4.1)$$

Această ecuație implică faptul că intrarea funcției o reprezintă două mulțimi X și S și că ieșirea o reprezintă clasificarea lui X relativ la S prin in, on

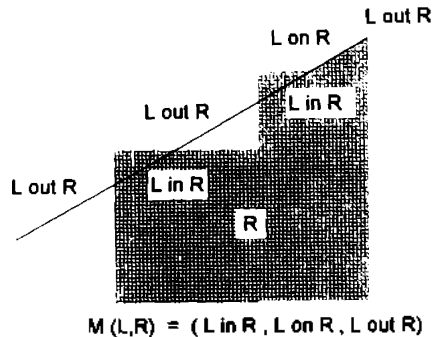


Figura 4.1. Clasificarea elementelor multimii în cazul linie/polygon

sau out S . Figura 4.1 arată un exemplu de clasificare a unei porțiuni de linie L relativ la polygonul R .

Implementarea funcției de clasificare date de ecuația (4.1) depinde în mare măsură de reprezentările lui X și S și de structurile lor de date. Considerând problema clasificării linie/polygon din figura 4.2 când polygonul (solidul de referință) este memorat prin reprezentarea prin frontiere, iar linia L , pentru simplificare nu se suprapune pe nici o porțiune cu muchiile polygonului, algoritmul clasificării ar fi următorul:

1. Folosind o rutină pentru intersecția linie/muchie, se găsesc punctele de intersecție cu frontiera P_1 și P_2 .

2. Se sortează intersecțiile cu frontiera după direcția lui L și să presupunem că lista sortată ar fi (P_0, P_1, P_2, P_3) .

3. Se clasifică L relativ la R . În acest exemplu se știe că intersecțiile impare (cum este P_1) marchează segmentele "in" și cele pare (cum este P_2)

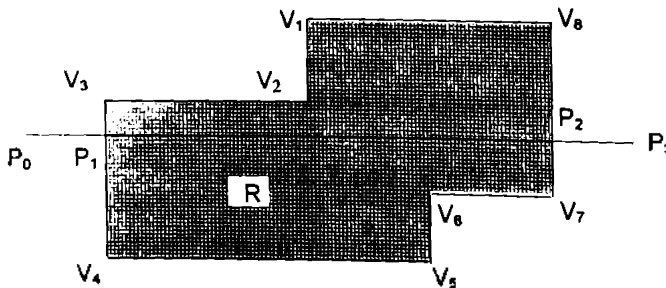


Figura 4.2. Clasificarea linie/polygon pentru B-rep

marchează segmentele "out". Astfel, clasificarea lui L relativ la R devine

$$[P_0, P_1] \subset L \text{ out } R$$

$$[P_1, P_2] \subset L \text{ in } R$$

$$[P_2, P_3] \subset L \text{ out } R$$

Dacă linia L conține o muchie a poligonului, criteriul de clasificare de mai sus nu mai este valabil, și trebuie folosit altul.

Algoritmii pentru clasificarea multimilor candidate relativ la solide tridimensionale pot urma pași similari celor de mai sus, dar cu detalii mai elaborate [Kri87] [Zei91].

4.2. ALGORITMI DE VIZUALIZARE

4.2.1. Testul MINIMAX

Acest test (numit și test de suprapunere sau test de bounding-box) verifică dacă două poligoane se pot suprapune sau nu. Testul furnizează o metodă rapidă pentru a determina dacă două poligoane se suprapun sau nu. Se încadrează fiecare poligon cu un dreptunghi (bounding-box BB) căutându-i extremele (minimul și maximul coordonatelor x și y) și se verifică intersecția oricăror două astfel de dreptunghiuri atât pe direcția X cât și pe direcția Y . Dacă două dreptunghiuri nu se intersectează, poligoanele corespunzătoare lor nu se suprapun (Fig.4.3). În astfel de cazuri, nu mai sunt necesare altfel de teste asupra muchiilor poligoanelor.

Dacă testul MINMAX eșuează (două dreptunghiuri se intersectează), cele două poligoane pot să se suprapună sau nu. Atunci, fiecare muchie a unui poligon se compară cu toate muchiile celui alt poligon pentru a determina intersecțiile. Pentru a mări viteza procesului, se poate mai întâi aplica testul MINMAX asupra fiecărei perechi de muchii.

Testul MINMAX poate fi aplicat în direcția Z pentru a verifica dacă există suprapuneri pe această direcție. Partea cea mai critică a testului, care consumă cel mai mult timp, o reprezintă găsirea punctelor extreme. De obicei, acestea se obțin parcurgând lista coordonatelor vertexilor fiecărui poligon și înregistrând valoarea cea mai mică și cea mai mare pentru fiecare coordonată [Zei91].

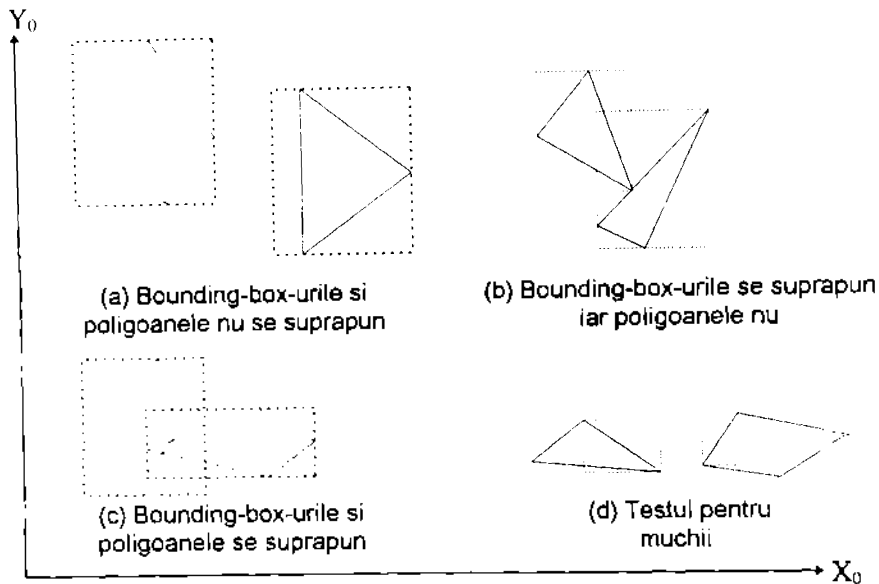


Figura 4.3. Testul MINIMAX pentru poligoane si muchii

4.2.2. Testul de interior

Unii algoritmi de linii ascunse trebuie să cunoască dacă un anumit punct este interior unui poligon. Există trei metode pentru a stabili dacă un punct se găsește în interiorul sau exteriorul unui poligon. Pentru un poligon convex, se pot substitui coordonatele x , și y , în ecuația liniei fiecărei muchii. Dacă toate substituțiile dau același semn, punctul se găsește de aceeași parte a fiecărei muchii și deci este interior. Testul necesită ca semnele coeficienților ecuațiilor liniilor să fie corect alese [Sav94] [Mu194] [Mu294][Mu294].

Pentru poligoane concave, pot fi folosite alte două metode. În prima metodă, se trasează o semidreaptă cu originea în punctul de testat și se intersectează cu toate muchiile poligonului. Dacă numărul punctelor de intersecție este par, punctul este exterior poligonului. Dacă numărul este impar, punctul este interior. Dacă vreuna din muchiile poligonului se găsește pe semidreaptă, cazul trebuie tratat în mod deosebit pentru a garanta corectitudinea rezultatului (Fig.4.4).

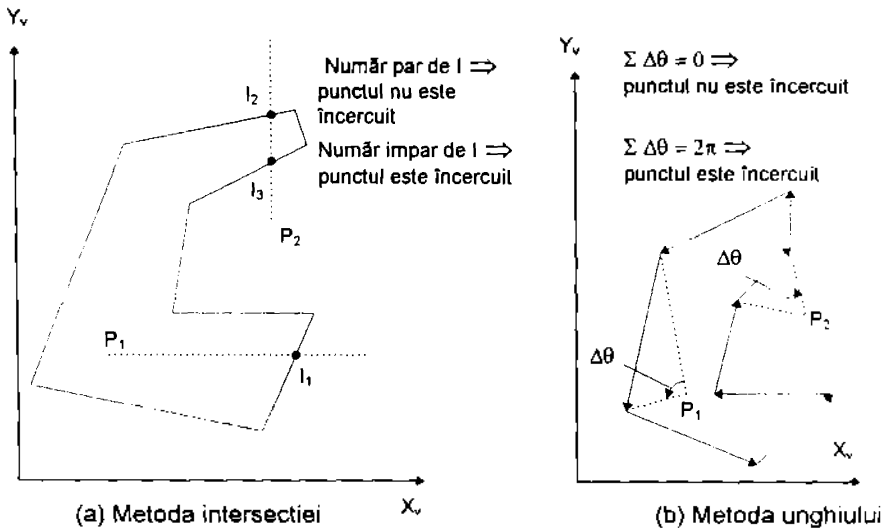


Figura 4.4. Testul de interior pentru poligoane concave

A doua metodă pentru poligoane concave calculează suma unghiurilor subînținse de fiecare muchie orientată, așa cum este văzută din punctul considerat. Dacă suma este zero, punctul este exterior poligonului. Dacă suma este π sau $-\pi$ rad, punctul este în interior. Semnul minus indică dacă vertexii poligonului sunt parcurși în sens orar în loc de sens antiorar [Zei91].

4.2.3. Testul de adâncime

Acest test (numit și test al suprafețelor) furnizează o metodă eficientă pentru implementarea comparației de adâncime. Fig.4.5a arată că fața B ascunde o parte a feței A. În acest caz este folosită ecuația planului:

$$ax_v + by_v + cz_v + d = 0$$

Dacă un punct dat (x_v, y_v, z_v) nu este conținut în plan, semnul membrului stâng al ecuației de mai sus este pozitiv dacă punctul se găsește de o parte a planului și negativ dacă se găsește de cealaltă parte a planului. Coeficienții

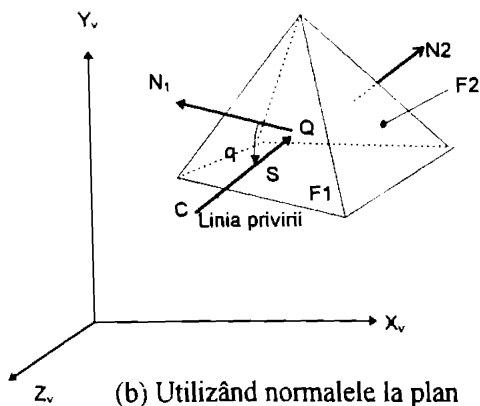
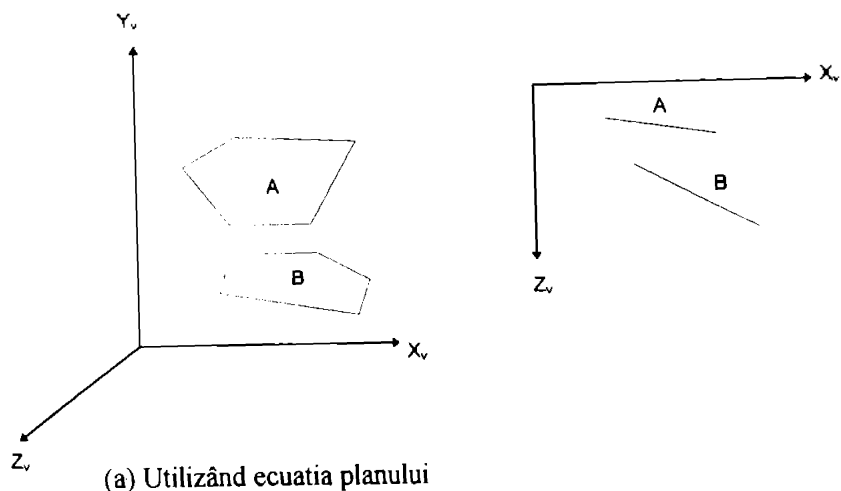


Figura 4.5. Testarea suprafețelor

ecuațiile a, b, c și d pot fi luate astfel încât o valoare pozitivă să indice că punctul de găsește în afara planului. Deci testul folosește ecuația planului pentru a stabili poziția relativă a unui punct dat față de plan. De asemenea, ecuația planului poate fi folosită pentru a calcula adâncimea z_v a unui punct dat (x_v, y_v) . În acest fel se poate stabili care punct din două este mai apropiat de ochi.

O altă utilizare importantă a ecuației planului în algoritmi de linii ascunse este obținută prin utilizarea vectorului normal la plan. Cu ajutorul lui se poate decide vizibilitatea unei fețe. Ideea de bază a testului constă în faptul că fețele ale

căror normale sunt îndreptate spre ochi sunt vizibile, iar celelalte sunt invizibile. Acest test este implementat prin calculul produsului scalar dintre vectorul normală N și vectorul rază vizuală S (Fig.4.5.b):

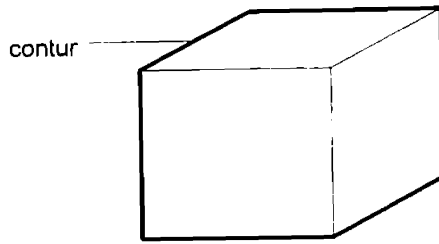
$$N \cdot S = |N| |S| \cos a$$

Dacă produsul scalar este pozitiv, înseamnă că normala este îndreptată spre ochi, deci componenta ei pe direcția razei vizuale este îndreptată în sensul pozitiv al axei Z_v a sistemului de coordonate al reprezentării. Acest test de suprafață nu poate rezolva singur problema liniilor ascunse decât în cazul unui singur poliedru convex. Testul poate să esueze chiar în cazul poliedrelor convexe dacă sunt prezente mai multe în scenă.

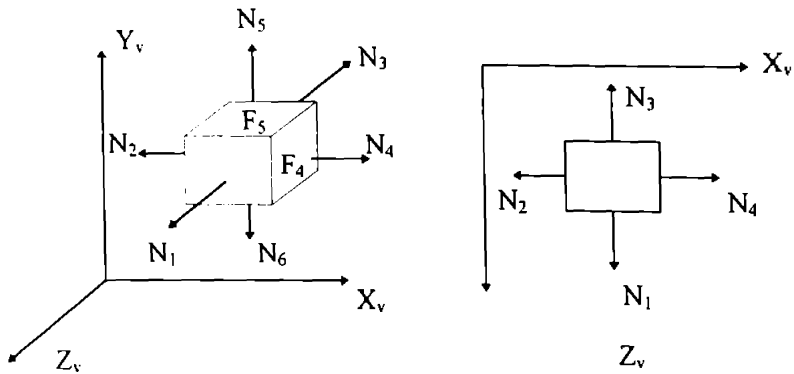
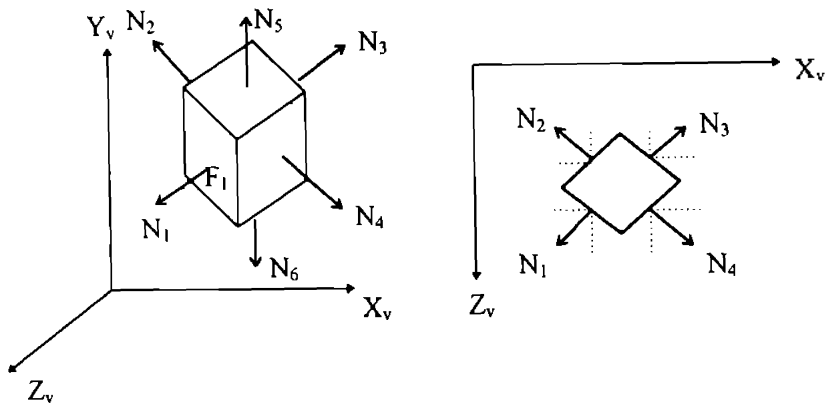
4.2.4. Calculul siluetelor

Se numesc muchii de siluetă (sau siluete) acele muchii care separă fețele vizibile de cele invizibile ale unui obiect, relativ la o anumită direcție din care se privește. Semnele componentelor pe direcția Z_v a vectorilor normali la fețele obiectului pot fi folosite la determinarea siluetei. O muchie care face parte din siluetă se caracterizează prin faptul că este intersecția dintre o față vizibilă și una invizibilă. O muchie care este intersecția dintre două fețe vizibile este vizibilă dar nu face parte din siluetă. Intersecția dintre două fețe invizibile produce o muchie invizibilă. În Fig.4.6 este prezentată silueta unui cub.

Pentru a stabili silueta unui corp se calculează componentele pe axa Z_v a fiecărei normale. Dacă o normală nu are componentă pe această axă, este nevoie de informație suplimentară pentru a calcula silueta. O față a cărei normală nu are componentă pe Z_v este paralelă cu această axă și cu X_v sau Y_v și perpendiculară pe cealaltă axă. De aceea normala este paralelă cu una din axele sistemului de reprezentare. Dacă această normală este îndreptată în sensul pozitiv al axei, fața este vizibilă [Zei91].



(a) Muchii de contur



(b) Determinarea muchiiilor de contur

Figura 4.6. Muchiile siluetei unui obiect poliedral

4.2.5. Intersecțiile muchiilor

Nici una din tehnicile de vizibilitate prezentate nu poate determina care părți ale muchiilor partial ascunse sunt vizibile și care nu. Pentru a ști acest lucru, algoritmi de linii ascunse calculează mai întâi intersecțiile muchiilor în 2D, adică în planul X, Y , al sistemului de reprezentare. Aceste intersecții sunt folosite pentru determinarea vizibilității muchiilor. În Fig.4.7. se consideră muchia AB și fața F. Muchiile fetei sunt parcurse în sens antiorar. Muchia AB se intersectează cu CD în punctul I. Vizibilitatea muchiei AB relativ la fața F poate fi în una din următoarele trei situații: complet vizibilă, punctul I indică dispariția muchiei AB, sau punctul I indică apariția muchiei AB.

În primul caz, se calculează adâncimile z_v în punctele corespunzătoare lui I, situate pe muchia AB și pe fața F, după care se compară. Pentru a găsi adâncimea z_v a punctului de pe fața F, se înlocuiesc coordonatele x_v și y_v în ecuația planului în care se găsește fața. Pentru punctul de pe AB, se folosește ecuația dreptei pentru a calcula adâncimea. Dacă adâncimea punctului de pe linie este mai mare, AB este complet vizibilă (Fig.4.7a). Dacă adâncimea punctului de pe față este mai mare, muchia este parțial vizibilă. Dacă muchia orientată CD subîntinde din A un unghi orientat în sens orar, atunci în I muchia devine invizibilă (Fig.4.7b). În caz contrar muchia devine vizibilă din punctul I (Fig.4.7c). Dacă muchiile fetei sunt date în sens orar și criteriul unghiului se inversează [Kri87] [Zei91].

4.2.6. Compararea segmentelor

Această clasă de tehnici este folosită pentru a rezolva problema suprafețelor ascunse în spațiul imaginii (raster). Pot fi aplicate atât algoritmilor de suprafețe cât și celor de solide ascunse. Segmentele ce se compară se obțin prin intersecția liniilor de scanare cu fețele din imagine. Aceste linii sunt aranjate pe ecranul dispozitivului de afișare de sus în jos și de la stânga la dreapta. De aceea, în loc să se calculeze întreaga imagine corectă dintr-o dată, ea poate fi calculată linie cu linie de scanare, adică pe segmente, și apoi segmentele sunt afișate în aceeași ordine cu liniile de scanare.

Din punct de vedere al calculelor, planul de scanare definește segmente acolo unde întâlnește fețele imaginii (Fig.4.8). Calculul imaginii corecte pentru o linie de scanare este destul de simplu [Zei91].

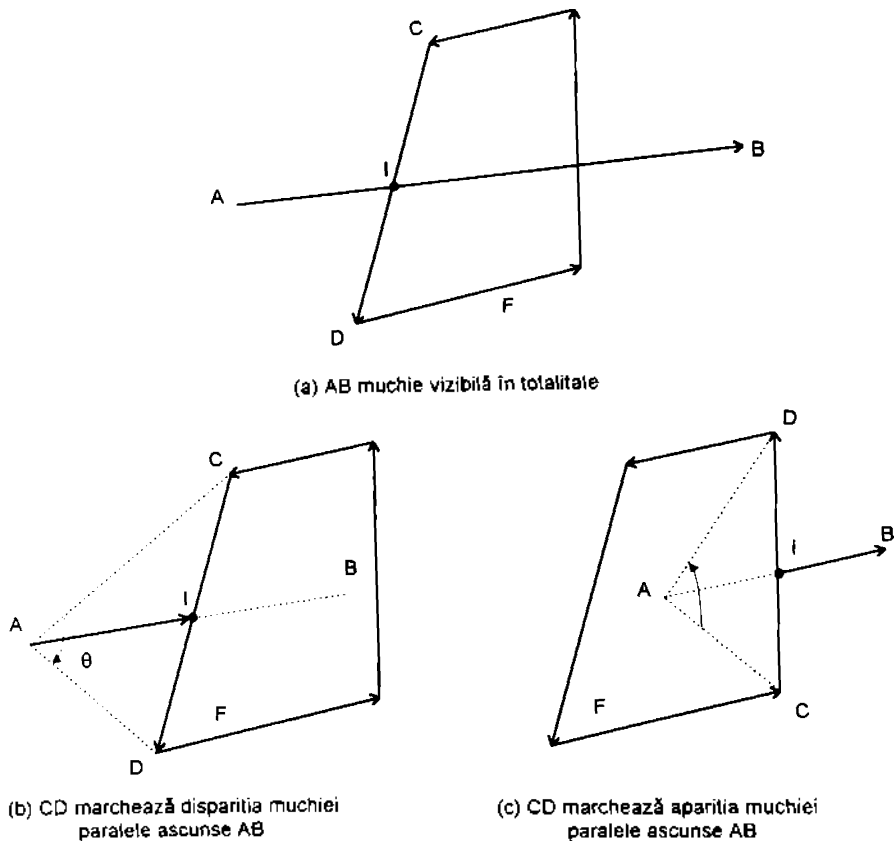


Figura 4.7. Calculul vizibilității muchiilor

Compararea segmentelor se face în planul X, Z_v (Fig.4.8). Linia de scanare este împărțită în porțiuni (delimitate de liniile punctate din partea de jos a figurii 4.8). Vizibilitatea este determinată pentru fiecare porțiune comparând adâncimile muchiilor aflate pe porțiuni. Pentru calculul acestor adâncimi se folosesc ecuațiile planelor. Segmentele cu adâncimea maximă sunt vizibile.

Strategia de a împărți o linie de scanare în porțiuni este o caracteristică distinctă a oricărui algoritm de suprafețe ascunse. O strategie evidentă constă în împărțirea liniei de scanare în fiecare capăt al fiecărei muchii (liniile A, B, C și D din Fig.4.8). O strategie mai bună constă în alegerea a cât mai puține porțiuni. În Fig.4.8, optim ar fi să se împartă linia de scanare prin C doar în două porțiuni.

4.2.7. Testul de omogenitate

Testul de adâncime din 4.2.3. se referă la compararea adâncimilor punctelor pentru determinarea vizibilității. Calculul omogenității punctelor este un

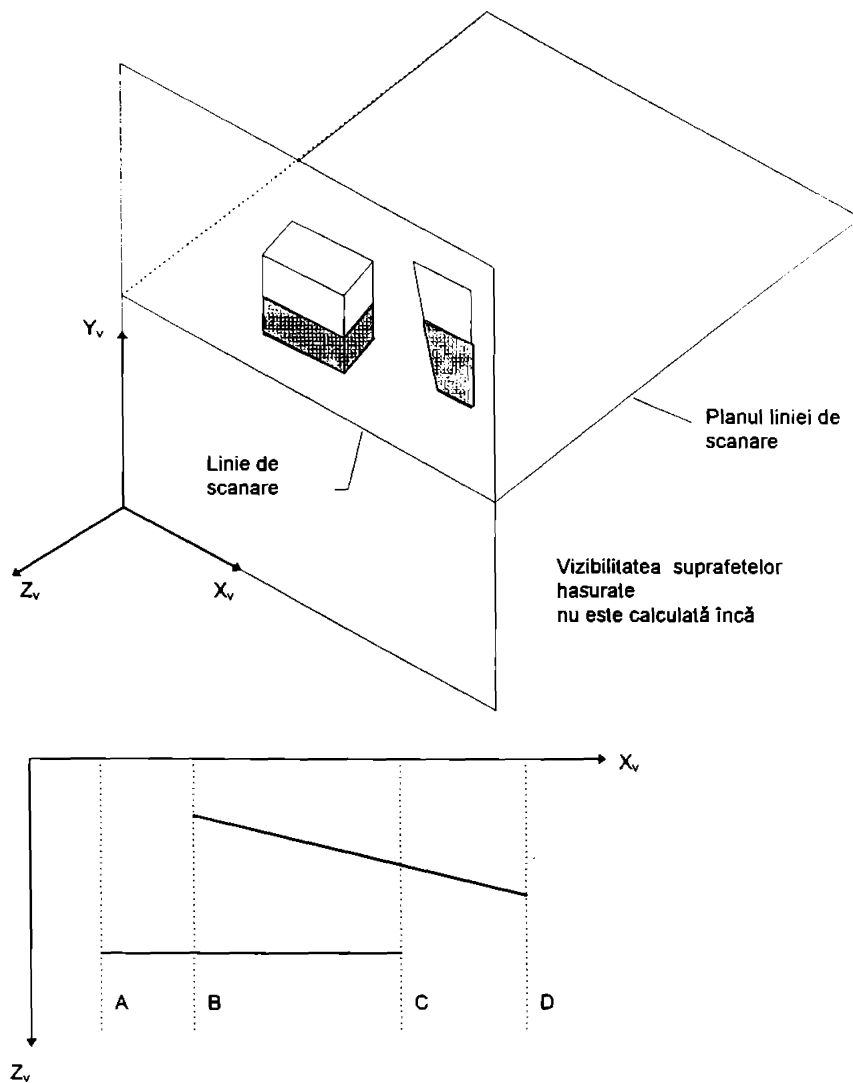


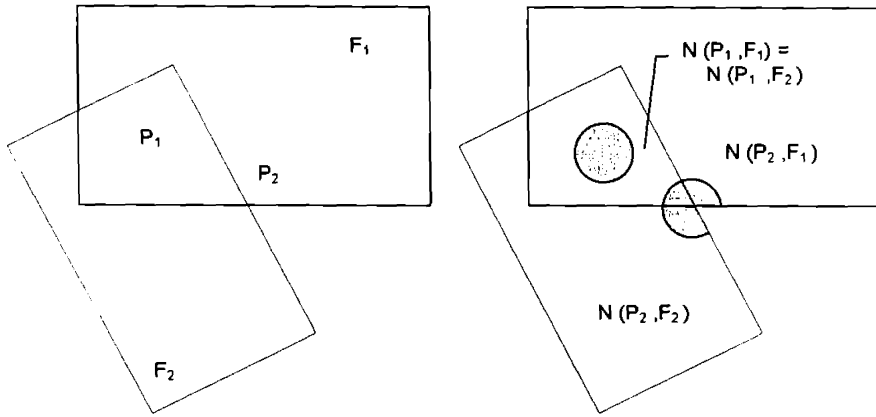
Figura 4.8. Calculul vizibilității folosind linii de scanare

alt test pentru determinarea vizibilității. Pentru determinarea omogenității este folosită notiunea de vecinătate. Vecinătatea unui punct P , notată $V(P)$, este mulțimea de puncte situate în interiorul unei sfere (sau al unui cerc în $2D$) cu centrul în P .

Pentru calculul omogenității, se disting trei tipuri de puncte: omogen vizibile, omogen invizibile și neomogen vizibile. Dacă o vecinătate a unui punct P poate fi bijectiv proiectată într-o vecinătate a proiecției punctului, atunci vecinătatea lui P este vizibilă sau invizibilă și P este numit omogen vizibil respectiv invizibil. Dacă se notează proiecția lui P cu $pr(P)$, P este omogen vizibil sau invizibil dacă $pr(V(P)) = V(pr(P))$ și neomogen vizibil sau invizibil dacă $pr(V(P)) \neq V(pr(P))$. Folosind acest test, punctele interioare ale scenei sunt omogen vizibile (acoperitoare) sau invizibile (ascunse) și punctele de pe contur sunt neomogen vizibile. În Fig.4.9 este prezentat un exemplu.

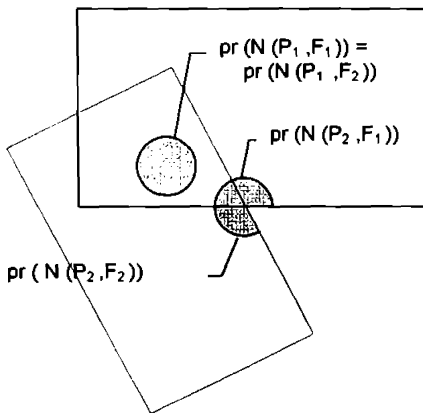
S-a notat cu $V(P, F)$ vecinătatea punctului P care aparține feței F . Este evident că punctele de pe contur (P_2) sunt neomogen vizibile și punctele interioare sunt omogen vizibile (P_1 pe fața F_2) sau invizibile (P_1 pe fața F_1).

Omogenitatea este importantă atât pentru acoperire cât și pentru ascundere. Nici un punct de lângă punctele omogen vizibile nu trebuie testate și nici punctele omogen invizibile de lângă alte puncte nu trebuie testate deoarece ele sunt omogen invizibile în ambele cazuri. Mai mult, punctele omogen invizibile nu prezintă interes pentru problema vizibilității. Punctele omogen vizibile pot fi reprezentate fără să fie nevoie de alte teste relativ la alte puncte. De aceea, determinarea punctelor omogene reduce calculele următoare. Unii algoritmi de arii orientate folosesc acest test pentru a-și îmbunătăți eficiența.

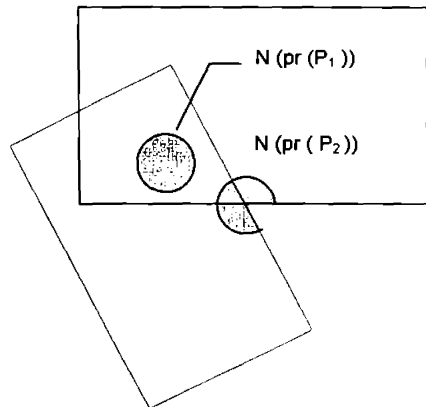


Două fete suprapuse F_1 și F_2

Vecinătăți



Proiecțiile vecinătăților punctelor



Vecinătățile punctelor proiectate

Figura 4.9. Testul de omogenitate

CAPITOLUL 5

DIFICULTATI GENERALE IN CADRUL ALGORITMILOR DE MODELARE SI REPREZENTARE A SOLIDELOR

5.1.INTRODUCERE

Există mai multi algoritmi pentru rezolvarea operatiilor booleene pe solide poliedrale, ca si pentru reprezentarea solidelor, dar nu toti iau in considerare in mod satisfăcător problema crucială a erorilor numerice care sunt inerente in calculele cu virgulă flotantă.

Erorile numerice pot fi evitate prin utilizarea unui nou tip de aritmetică, numită "aritmetică lenesă", care efectuează cu precizie doar calculele necesare, fără ca algoritmul să trebuiască să prevadă aceste calcule [Ben94].

Principalele dificultati intilnite in aceste tipuri de algoritmi sunt urmatoarele:

1.Numărul mare de calcule geometrice

Pentru a evita calculele geometrice nenecesare (intersectiile si clasificările), algoritmi caută rapid într-o listă de perechi de fete sau muchii candidate, lista care include perechile care se intersectează efectiv. De obicei, solidele si fetele au calculate bounding-box-urile si fetele potential intersectabile sunt determinate prin testarea intersectiilor bounding-box-urilor.

2. Tratarea cazurilor degenerate

Problemele deosebite în algoritmi geometrici sunt date de elementele care nu se găsesc în poziții generale. Fiecare caz particular trebuie reprezentat și tratat în mod special, ceea ce conduce la structuri de date și algoritmi complexi. Mai mult, trebuie să se țină seama de faptul că degenerările conduc adesea la apariția inconsistentelor [Fla87][Hof87].

3. Tratarea erorilor numerice

O primă încercare în eliminarea erorilor constă în utilizarea unor valori empirice pentru precizia de calcul "epsilon". Această metodă însă nu poate garanta întotdeauna rezultate consistente.

O altă abordare a problemei eliminării erorilor o reprezintă analiza intervalelor. Acest domeniu al matematicii aplicate este utilizat și în modelarea geometrică și în cadrul algoritmilor ce stau la baza reprezentării solidelor [Sny92].

5.2. REDUCEREA NUMARULUI DE CALCULE

În cadrul algoritmilor de modelare geometrică prin operații booleene sunt necesare o multime de calcule care au drept scop determinarea segmentelor de intersecție dintre fețele solidelor care intervin ca operanți. Indiferent de operația care trebuie efectuată (reuniune, intersecție sau diferență) trebuie calculate punctele de intersecție dintre muchiile unui solid și fețele celui alt și pe baza lor se vor stabili segmentele de intersecție. Multe din aceste calcule s-ar putea să fie efectuate degeaba deoarece duc la concluzia inexistenței punctului de intersecție. De aceea, o reducere a numărului de intersecții se poate face pe baza testului de bounding-box aplicat la nivelul solidelor, al fetelor și chiar al muchiilor.

Abordarea directă a înlăturării liniilor/suprafetelor/solidelor ascunse cere o cantitate mare de timp de calcul. Poziția fiecărei linii sau suprafețe trebuie comparată cu toate celelalte, lucru care conduce la o explozie combinatorială ce are la bază o lege de variație proporțională cu pătratul numărului de elemente de comparat. Din acest motiv s-au efectuat studii extensive asupra algoritmilor existenți, încercându-se stabilirea principiilor generale comune acestor algoritmi. Cele mai importante au fost identificate a fi coerența și sortarea. Obiectele și modelele lor geometrice sunt mai mult decât un set de discontinuități aleatoare. Ele au consistență atât în aria imaginii cât și în timp, de la un cadru la următorul.

Astfel, folosind coerența între diferite cadre se poate îmbunătăți eficiența algoritmilor de vizualizare.

Similar, toți algoritmi de ascundere sortează sau caută prin colecțiile de suprafețe, muchii sau obiecte în funcție de diferite criterii, pentru a găsi elementele vizibile pe care să le reprezinte. De aceea, o tehnică de sortare eficientă reprezintă cheia unui bun algoritm de eliminare a liniilor/suprafețelor/solidelor ascunse [Dog88].

Eficiența unui **algoritm de vizibilitate** depinde de alegerea multimilor H și C , ale multimilor de muchii candidat ascunse și acoperitoare. Algoritmi de înlăturare a liniilor ascunse pot folosi una din următoarele trei abordări: abordarea orientată pe muchii, abordarea orientată pe contururi sau abordarea orientată pe arii. Pentru a examina eficiența fiecărei abordări, fie E și S numărul de muchii, respectiv contururi, ale unui desen. Abordarea orientată pe muchii stă la baza majorității algoritmilor pentru linii ascunse. Strategia de bază stă în calculul explicit al segmentelor vizibile ale tuturor muchiilor individuale. Calculul de vizibilitate constă din testarea tuturor muchiilor relativ la toate suprafețele. Ca urmare, $H = E$ și $C = E$. Astfel sunt necesare $E \cdot E$ teste de vizibilitate. Această abordare este ineficientă deoarece verifică fiecare muchie cu toate celelalte, indiferent dacă se intersectează sau nu, nu recunoaște informațiile structurale ale unui desen. Sortarea tuturor muchiilor îmbunătățește eficiența acestui algoritm.

În abordarea orientată pe contururi sunt calculate mai întâi muchiile conturilor. Calculul de vizibilitate constă în testarea tuturor muchiilor relativ doar la muchiile de contururi. Astfel, toate muchiile sunt candidate pentru multimea H , dar doar conturile sunt candidate pentru multimea C , adică $H = E$ și $C = S$. Astfel sunt necesare $E \cdot S$ teste de vizibilitate. Această abordare este mai eficientă decât prima. Totuși, unele muchii (după sortare) vor fi totuși testate relativ la unele contururi cu care nu se intersectează. Mai mult, sunt calculate fără a fi necesar intersecțiile, relativ la muchii de contururi, ale unor muchii complet ascunse. Totuși, sunt complet evitate testele muchiilor complet vizibile între ele.

Abordarea orientată pe arii are ca scop recunoașterea ariilor vizibile ale unui desen. Această abordare determină muchiile conturilor și le conectează pentru a forma poligoane închise (arii). Conectarea poate fi realizată în $S \cdot S$ pași. Calculele de vizibilitate încep cu testarea tuturor muchiilor de contur între ele. Astfel, $H = S$ și $C = S$, și sunt necesare $S \cdot S$ teste. Această abordare este mai eficientă decât cea orientată pe contururi. Sortarea este redusă doar la muchiile de contur. Doar conturile sunt testate relativ la contururi cu care nu se

intersectează. Este evitat calculul punctelor de intersecție al muchiilor complet vizibile, respectiv complet ascunse.

Algoritmul orientat pe arii este mai eficient decât **algoritmul cu priorități** deoarece presupune foarte rar o intersecție muchie / față care să nu fie necesară.

În **algoritmul Warnock**, dacă divizarea ferestrei originale este guvernată de complexitatea scenei din figura 3.4, divizarea oricărei ferestre în patru ferestre egale face ca algoritmul să fie ineficient. Mai eficientă ar fi împărțirea unei ferestre în funcție de complexitatea scenei din fereastră, adică divizarea unei ferestre în patru subferestre inegale.

Algoritmul cu urmărirea razei este foarte încet și gradul de utilizare a memoriei și a CPU este direct proporțional cu complexitatea scenei, adică cu numărul de primitive din solid. În practică, nu atât gradul de utilizare a memoriei este o problemă, cât viteza de lucru a algoritmului.

Prin folosirea de **bounding-box-uri (BB)** minime în jurul solidelor din arborele CSG, căutarea exhaustivă a intersecțiilor rază/solid devine o căutare binară eficientă. Aceste **bounding-box-uri** permit algoritmului să detecteze cazurile evidente de disjuncție dintre rază și solid. Arborele CSG poate fi văzut ca o reprezentare ierarhică a spațiului ocupat de solid. Astfel, nodurile arborelui vor avea închideri ("enclosures boxes") care sunt poziționate în spațiu. Atunci teste rapide de intersecție rază/inchidere ghidează căutarea în ierarhie. Când testul esuează într-un nod intermediar din arbore, raza poate fi în mod sigur clasificată ca fiind afară din compus; astfel, nu mai este necesară parcurgerea recursivă în jos a subarborilor solidului.

Algoritmul cu urmărirea razei are câteva avantaje. El elimină găsirea, parametrizarea, clasificarea și memorarea muchiilor curbe formate de intersecția suprafețelor. Determinarea conturilor suprafețelor curbe este un produs secundar și poate fi găsită ori de câte ori vederea se schimbă.

Principalul dezavantaj al algoritmului este viteza. Aceasta este deosebit de importantă pentru a afișa desene umbrite într-un mediu interactiv. Dacă utilizatorul creează un arbore echilibrat al solidului din scenă eficiența algoritmului crește. Coerența suprafețelor vizibile (este mai degrabă probabil ca suprafețele vizibile în doi pixeli vecini să fie aceleași, decât diferite) poate mări de asemenea viteza algoritmului. În plus, muchiile solidului sunt doar căutate pentru a genera desenele. De aceea, urmărirea razei trebuie să se concentreze în jurul muchiilor și nu în regiunile deschise. Acest lucru poate fi implementat esanționând în mod împrăștiat ecranul cu raze și localizând apoi (când razele vecine identifică suprafețe vizibile diferite) muchiile prin căutări binare. Pasul de esanționare este

controlat de utilizator. Pe măsură ce esantionarea devine mai împrăștiată, cresc șansele de a nu fi luate în considerare muchii sau aschii ale solidului [Dog88].

Mărirea gradului realismului unui model prin dezvoltarea imaginilor umbrite de exemplu, duce la creșterea complexității lui. Procesul de creare și întreținere a unui astfel de model devine de asemenea complex. De exemplu, generarea unei imagini umbrite de înaltă rezoluție a unui model complex cu diferite tipuri de iluminări, poate dura un timp CPU de câteva minute și poate reduce performanțele sistemului CAD/CAM (încetinește activitatea altor utilizatori curenti). Memorarea și/sau regăsirea modelelor cu aceste tipuri de imagini umbrite sunt de obicei lente. De altfel, generarea imaginilor în timp real, cere calculatoare puternice cu cât mai mulți algoritmi de umbrire încorporați în hardware. Pentru a îmbunătăți performanțele acestor algoritmi, anumite sisteme CAD/CAM sunt furnizate cu microprograme de umbrire.

5.3. CAZURI DEGENERATE

Pentru a evita generarea obiectelor neregulate în procesul de modelare, se recomandă neefectuarea operației booleene în cazul în care o muchie nouă aparține la mai mult de două fețe distincte (figura 5.1) precum și considerarea suprapunerilor de tip muchie-muchie, muchie-fata sau fata-fata ca și cum entitățile geometrice se ating una cu alta fără a avea puncte în comun (figura 5.2) [Fla87][Hof87].

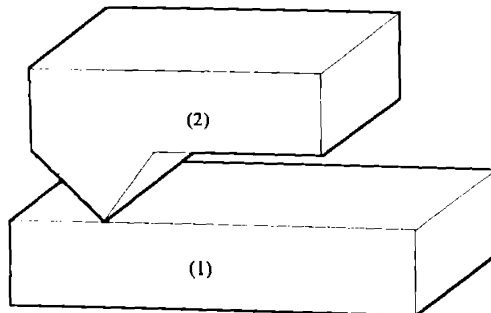


Fig.5.1. Reuniune interzisă

În această abordare, obiectele rezultate nu mai trebuie să fie regularizate, dar trebuie acordată atenție noilor frontiere utilizând regulile exacte de formare a lor (figura 5.3).

Deoarece pentru construcția solidelor rezultate este necesară cunoașterea tipului muchiilor suprapuse, stabilirea acestora trebuie să aibă loc în timpul procesului de intersecție. Muchiile ale căror poligoane învecinate formează diedre ascuțitunghice vor fi de tip "vale" (*Valley*), iar cele corespunzătoare diedrelor obtuzunghice vor fi de tip "deal" (*Hill*). Cunoscând capetele muchiei și normalele

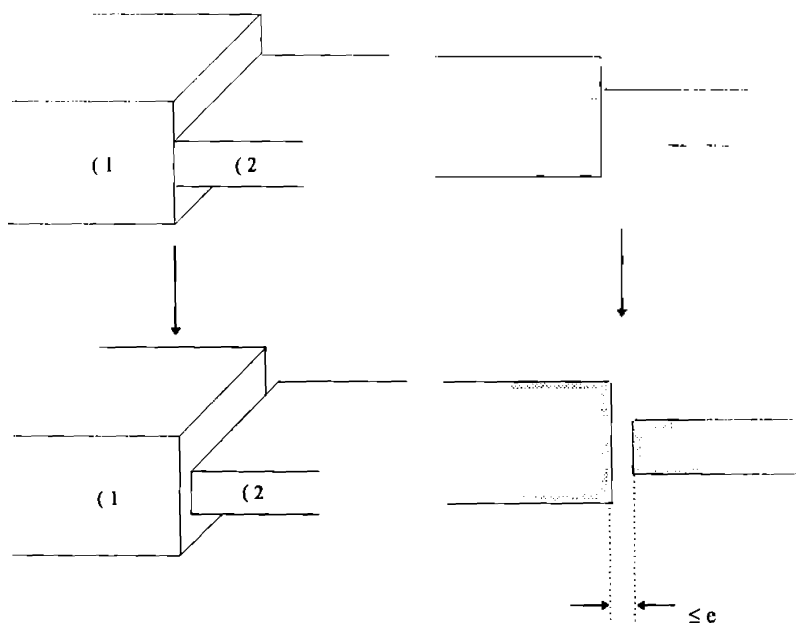


Fig.5.2. Frontiere fără puncte comune

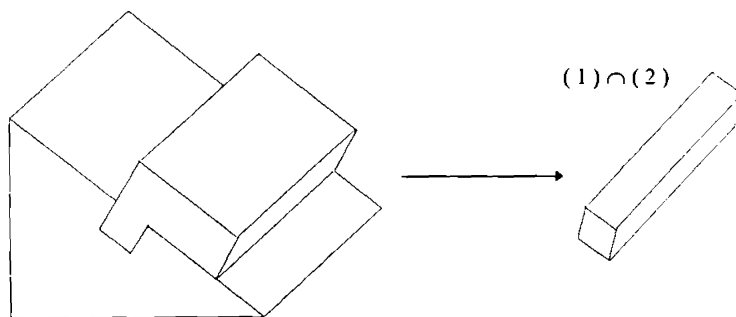


Figura 5.3. Intersecție fără necesitatea regularizării

planelor în care se găsesc fețele alăturate ei, prin calcul vectorial (produsul mixt între normala poligonului din stânga și dreapta muchiei și vectorul muchiei respective) se poate stabili tipul muchiei (figura 5.4).

Diferitele situații particulare care pot să apară sunt prezentate în figura 5.5. În astfel de cazuri în care solidele sunt prost poziționate, operația booleană este

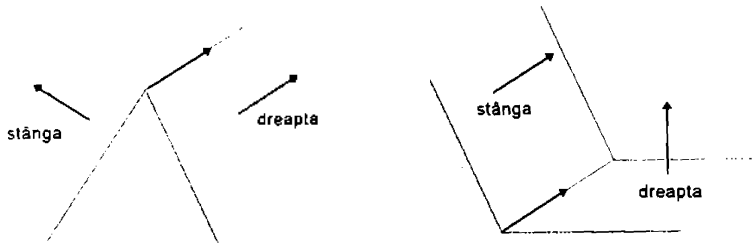


Fig. 5.4. Muchii de tip "deal" și de tip "vale"

evitată

Muchii suprapuse pot să apară însă și în situații în care operația trebuie efectuată, cum este cazul din figura 5.6. Aici, din multimea muchiilor care aparțin doar unui solid și cea a muchiilor care aparțin ambelor solide (muchii suprapuse total sau parțial) trebuie eliminate acelea care nu vor exista în solidul rezultat (figura 5.7). De exemplu, în cazul reuniunii, trebuie eliminate muchiile din fiecare solid care se găsesc pe frontierele celuilalt.

Atunci când două muchii a și b se suprapun, trebuie luată decizia asupra segmentelor care se păstrează, în funcție de operația booleană care se efectuează, de modul în care sunt situate fețele asociate muchiei și de contactul dintre muchii. În acest scop, se disting cinci acțiuni diferite legate de suprapunerea a două muchii, notate A , B , C , C' și D (figura 5.8). Figura 5.9 arată efectele fiecărei acțiuni, când se iau în considerare contactele dintre muchii, notate de la 0 la 6.

Contactele dintre fețe se clasifică în patru grupe, de câte treisprezece clase fiecare, conform celor patru posibilități de combinare a muchiilor: *hill-hill*, *valley-valley*, *hill-valley* și *valley-hill*.

Figura 5.10 prezintă acțiunile ce se efectuează în funcție de contactul dintre fețe și de operația booleană de efectuat. Q și Q^+ indică câte normale coincid și respectiv câte sunt opuse. Coloanele corespund celor patru modele diferite X , Y , Z și T , după cum sunt indicate în partea de jos a figurii.

Simetria dintre operațiile booleane și cele patru posibilități pentru muchii pot fi observate în figura 5.11. Această simetrie provine din faptul că intersecția a două mulțimi se poate obține din complementul reuniunii complementelor mulțimilor inițiale, iar diferența mulțimilor se obține din complementul reuniunii dintre complementul primei mulțimi și a doua mulțime.

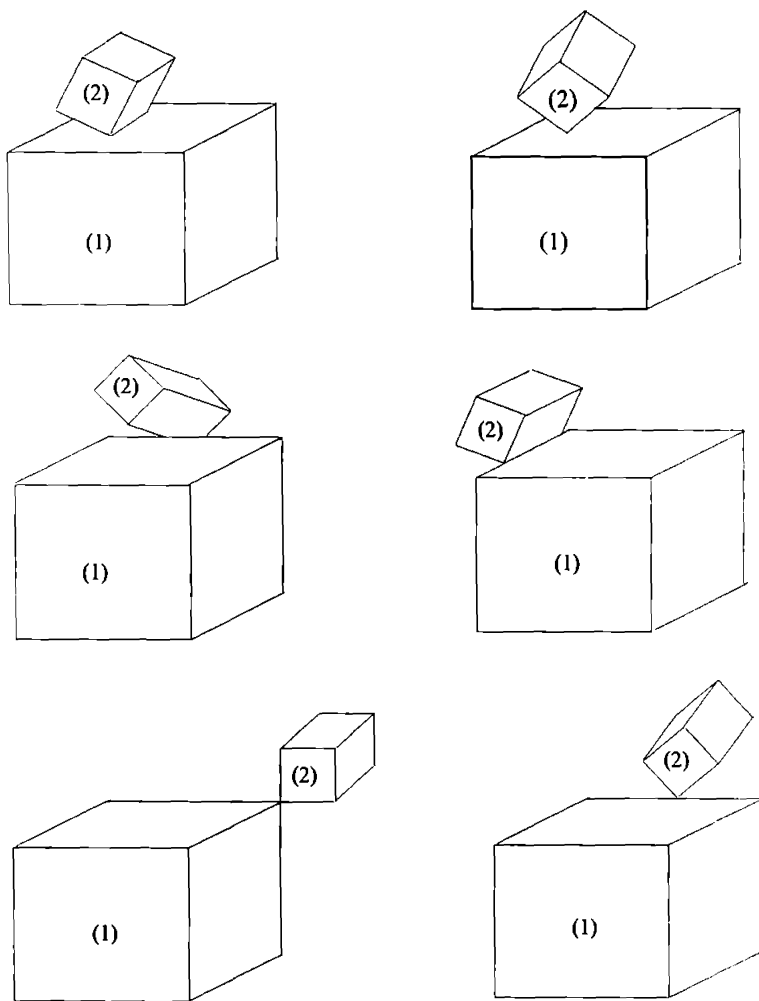


Figura 5.5. Obiecte prost pozitionate

Pentru fiecare grup se pot recunoaste usor cele treisprezece clase mentionate. Este necesar sa se cunoasca valorile lui Q^- si Q^+ si deasemenea care este relatia dintre cei patru vectori nou introdusi.

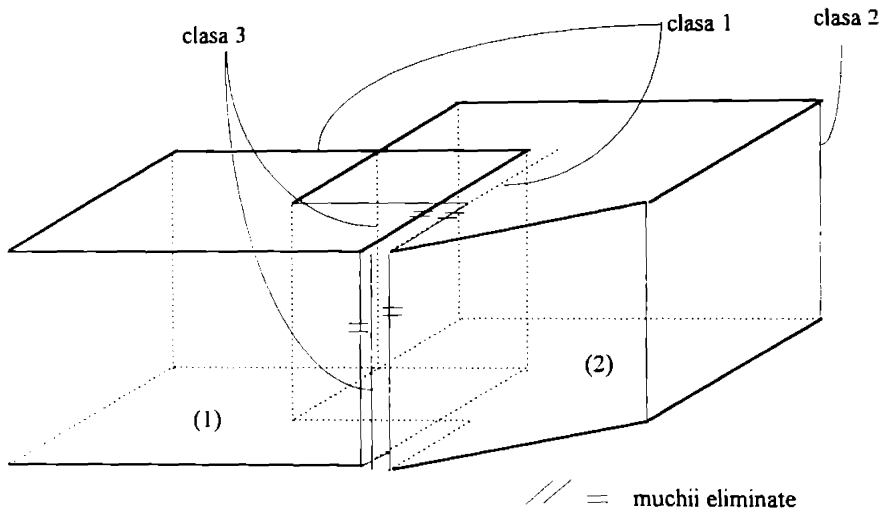


Figura 5.6. Diferite clase de muchii înainte de reuniune

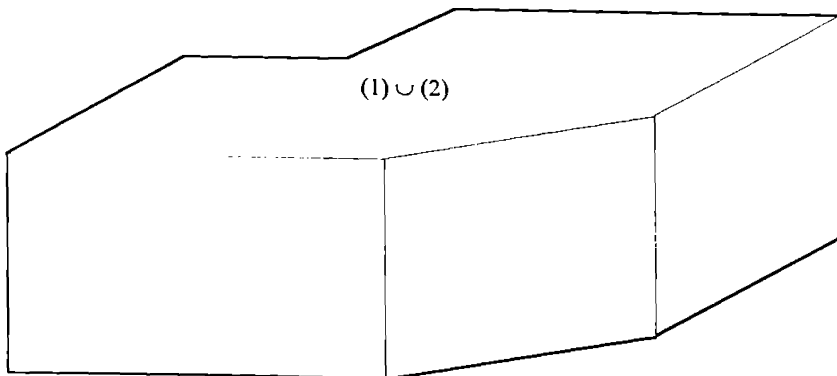


Figura 5.7. Muchiile selectate pentru reuniune

Actiuni	Segmente rezultante			
A	a-b		b-a	
B	a-b	a-(a-b)		b-a
B'	b-a	b-(b-a)		a-b
C	a-b	a-(a-b)	b-(b-a)	b-a
D	a-b	$a \cap b$		b-a

Figura 5.8. Actiuni asupra unei perechi de muchii suprapuse

O muchie *hill* sau *valley* are o pereche de vectori $L \cap E$ si $E \cap R$ (vezi figura 5.12). Există patru relatii posibile in cazul unei perechi de muchii, notate (a) - (d) in figura 5.13. Figura 5.14 arată cum se recunosc cele treisprezece clase pentru cele patru cazuri de combinare a muchiiilor.

Dacă cele două muchii nu se suprapun perfect, ele trebuie divizate in punctele de intersectie, dacă există [Fla87].

Actiuni \ Contacte	0	1	2	3	4	5	6
Actiuni							
A							
B							
B							
C							
D							

Fig. 5.9. Efectele fectării actiuni indicând clasele obiectelor obtinute

Clase	H-H				V-V				H-V				V-H			
	Q	Q'	U	-	Q	Q'	U	-	Q	Q'	U	-	Q	Q'	U	-
1																
2																
3																
4																
5																
6																
7																
8																
9																
10																
11																
12																
13																
	Modele				Modele				Modele				Modele			
		X	Y	T		Y	X	Z		Z	T	Y		T	Z	X

Fig.5.10. Actiuni de efectuat

	H-H	V-V	H-V	V-H
\cup	X	Y	Z	T
\cap	Y	X	T	Z
—	T	Z	Y	X

Fig. 5.11. Operatii booleene si grupe de contact

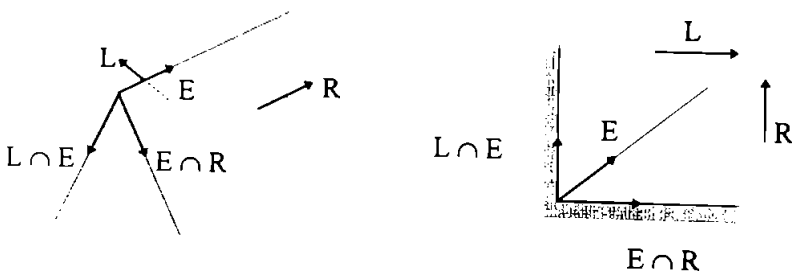


Fig. 5.12. Vectorii asociati

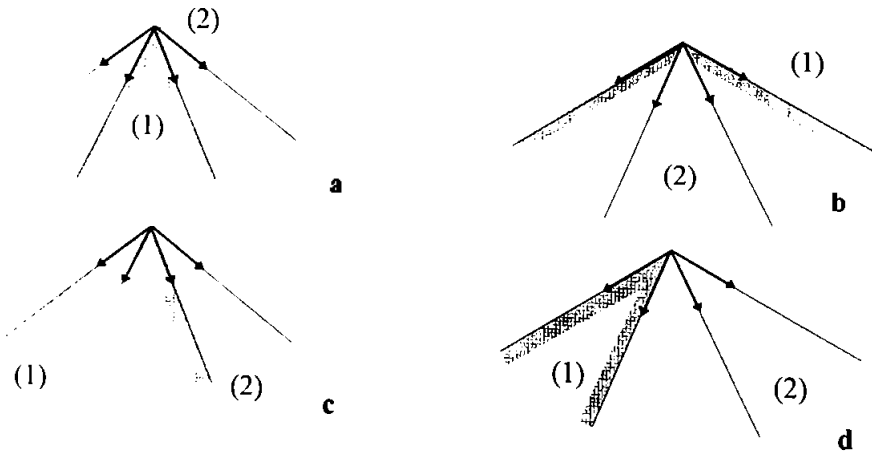


Fig. 5.13. Relatii dintre două perechi de vectori asociati

H-H sau V-V												
1 1	2 0	0 2	1 0				0 1		0 0			
			(d)	(c)	(b)	(a)	(d)	(c)	(d)	(c)	(b)	(a)
1	2	3	4	7	10	11	5	9	6	8	12	13

H-V sau V-H												
1 1	0 2	2 0	0 1				1 0		0 0			
			(d)	(c)	(b)	(a)	(d)	(c)	(d)	(c)	(b)	(a)
1	2	3	4	7	10	11	5	9	6	8	12	13

Figura 5.14. Clasificarea celor 13 clase

5.4. TRATAREA ERORILOR NUMERICE

Există o multime de abordări ale problemei eliminării erorilor datorate preciziei cu care lucrează calculatoarele numerice. Cateva din ele sunt prezentate mai jos.

Guibas, Salesin și Stolfi descriu un cadru teoretic care permite menținerea în siguranță a intervalelor în care se pot lua deciziile, dar este o problemă stabilirea acestor intervale.

Segal și Sequin impun o separare minimă între elementele unei perechi de primitive (fete, muchii sau vertexi). Oricare două primitive care se găsesc la o distanță mai mică decât o valoare minimă aleasă, trebuie fie unite ca să coincidă, fie îndepărtate pentru a menține separarea minimă.

Hoffman, Hopcroft și Karasick impun deasemenea o separare minimă, dar ei recurg la un raționament simbolic suplimentar pentru a se asigura că o decizie nu va contrazice niciodată pe cele anterioare.

Milenkovic acordă deasemenea o prioritate mai mare topologiei. El descrie o implementare verificabilă a unui algoritm de aranjare a liniilor care păstrează o bază de date consistentă din punct de vedere geometric.

Măntilă și Sulonen asigură consistența topologică a modelatorului lor de solide prin utilizarea strictă a operatorilor lui Euler. Oricum, acești operatori nu evită contradicțiile dintre datele numerice și topologice.

Sughara și Iri observă că dacă datele geometrice originale sunt reprezentate cu o precizie finită, configurația topologică relativă a două elemente geometrice poate fi calculată exact în cadrul preciziei finite. Ei arată cum se poate construi un modelator poliedral fără erori bazat pe primitive triedrale.

Karasick, Lieber și Nakman se bazează pe o aritmetică rațională, o utilizare inteligentă a intervalelor (de întregi) și o proiectare atentă pentru implementarea triangularizării Delaunay fără erori.

Benouamer, Michelucci și Peroche se bazează de asemenea pe o aritmetică rațională, dar spre deosebire de abordările anterioare, modul în care sunt evitate erorile numerice este total transparent din punct de vedere al algoritmului. Mai mult, aritmetica rațională utilizată este mult mai puțin costisitoare din punctul de vedere al calculelor, decât aritmeticile raționale pure tradiționale, deoarece se efectuează doar calculele precise necesare, fără ca algoritmul să trebuiască să presupună aceste calcule particulare [Ben94].

În cazul în care algoritmi sunt implementați folosind o aritmetică rațională pură, execuția programului este foarte lentă. Acest lucru se datorează cantității mari de calcule precise efectuate, chiar dacă ulterior nu mai sunt folosite. Două ar fi dezavantaje utilizării directe a aritmeticii raționale:

1. Multe date numerice (de exemplu distanța cu semn, determinanți) sunt calculate exact pentru că deciziile geometrice pot fi luate pe baza determinării unui semn (de exemplu testul care stabilește dacă un punct se găsește într-un plan dat). Oricum, valoarea calculată nu este necesară să fie cunoscută dacă presupunem că există o modalitate prin care semnul să poată fi obținut corect.

2. Multe date geometrice (de exemplu coordonate de vârfuri și coeficienții ecuațiilor planelor) sunt calculate și memorate în structuri de date, deși la sfârșit sunt eliminate (se ajunge la concluzia că nu sunt necesare pentru obținerea rezultatului final).

Luând în considerare aceste aspecte, se poate recurge la întârzierea calculelor precise până în momentul în care ele devin fie inutile, fie indispensabile. Pentru aceasta, fiecare număr va avea două reprezentări: un interval (dat de exemplu prin două numere în virgulă flotantă) care conține valoarea exactă (probabil necunoscută) și definiția simbolică care permite calculul valorii exacte atunci când este necesar.

O definiție este fie un număr rațional pur (reprezentat într-un mod oarecare), fie o expresie neevaluată care reprezintă suma, produsul, opusul sau inversul unor numere lenese. Mai precis, numerele lenese formează un graf aciclic direct și nu un arbore, căci anumite noduri pot fi distribuite.

Fiecare operație este efectuată într-un timp constant. Ea constă din adăugarea unui nou nod în graful aciclic direct care memorează operatorul, pointerii la operanzi și un interval corect care conține rezultatul. Acest interval se

obține din cele ale operanzilor prin reguli simple de compoziție fixate în aritmetica intervalelor [Sny92].

În cele mai multe cazuri, intervalele sunt suficiente pentru a compara numere lenese. Valoarea exactă a unui număr nu este niciodată calculată, cu excepția cazurilor următoare:

(a) cînd este nevoie să determinăm semnul unui număr lenes al cărui interval conține zero sau, mai general, cînd trebuie să comparăm două numere ale căror intervale se suprapun,

(b) cînd este nevoie să se calculeze inversul unui număr lenes al cărui interval conține zero;

(c) cînd este nevoie să se calculeze un predecesor din graful aciclic direct al numărului lenes considerat.

O astfel de aritmetică rațională lenesă nu consumă mai mult timp de calculator decît o aritmetică rațională pură. În cel mai rău caz se vor efectua exact toate calculele și în cel mai bun caz nu se va efectua nici un calcul. Se vor efectua numai calculele exacte necesare, fără ca algoritmul să le prevadă. Ca rezultat, evitarea erorilor numerice (care duc la evitarea inconsistențelor) este tratată în mod transparent la un nivel scăzut care este total independent de algoritm.

Abordarea analizei intervalelor pentru rezolvarea problemelor globale poate fi rezumată după cum urmează:

1. Sunt construite funcții de incluziune care limitează funcțiile folosite în ecuațiile și inegalitățile cu restricții și funcția obiectiv (funcția care trebuie minimizată).

2. Aceste funcții de incluziune sunt folosite într-un algoritm "branch and bound". O regiune inițială a spațiului parametrilor este divizată recursiv în regiuni mai mici. Funcțiile de incluziune sunt folosite pentru a testa dacă o anumită regiune poate fi o soluție pentru problema globală. De exemplu, pentru a testa dacă o regiune X poate include o soluție a ecuației $f(x) = 0$ este evaluată o funcție de incluziune pentru f peste regiunea X . Dacă granița care rezultă nu conține 0 , atunci regiunea X poate fi respinsă. Similar, o graniță a unei funcții de incluziune pentru funcția obiectiv poate respinge o regiune dacă funcția obiectiv este prea întinsă pentru a conține un minim global. Divizarea continuă pînă cînd toate regiunile sunt fie respinse, fie acceptate ca și regiuni soluție.

În plus, astfel de metode de divizare pot fi îmbunătățite prin tehnici locale (de exemplu, metodele Newton și cvasi-Newton pentru probleme cu restricții, metode de gradient conjugate pentru probleme de minimizare). Încorporarea acestor tehnici poate deseori îmbunătăți simțitor performanțele algoritmului soluție.

Abordarea prin intermediul analizei intervalelor prezintă câteva avantaje față de celelalte abordări ale soluționării problemelor globale. Analiza intervalelor controlează erorile de aproximare care rezultă din efectuarea pe un calculator numeric a unor calcule în virgulă flotantă imprecise. Controlul erorii este realizat prin asigurarea că funcțiile de incluziune sunt granițe valide, chiar dacă aceste granițe trebuie reprezentate folosind setul discret de numere în virgulă flotantă al calculatorului. Analiza intervalelor este o tehnică exhaustivă, adică pentru găsirea soluțiilor sunt examinate toate regiunile spațiului de intrare al problemei. Abordarea prin analiza intervalelor permite astfel găsirea minimelor globale, nu doar a unui minim local care poate fi apropiat de minimul global. Mai mult, pot fi găsite toate minimele sau toate soluțiile unui sistem cu restricții, mai degrabă decât o singură soluție [Ben94][Sny92].

CAPITOLUL 6

ALGORITMI UTILIZATI ÎN MODELAREA PRIN OPERATII BOOLEENE SI ÎN PROCESUL DE ELIMINARE A LINIILOR SI SUPRAFETELOR ASCUNSE

6.1. ALGORITMI PENTRU TESTELE DE BOUNDING- BOX

Bounding-box-ul unei figuri geometrice poate fi un dreptunghi sau un paralelipiped, după cum prelucrarile geometrice se efectuează în plan sau în spatiul tridimensional [Zei91][MV294][MV394].

Prin **bounding-box-ul unei figuri geometrice plane** se înțelege dreptunghiul cu laturile paralele cu axele sistemului de coordonate atasat planului de (proiecție) perspectivă, laturi care trec prin punctele extreme ale figurii geometrice în cauză. În cazul algoritmilor pentru înlăturarea liniilor și suprafețelor ascunse, aceste figuri geometrice pot fi muchii ale poligoanelor ce formează fețele unui corp, contururile unui corp sau întregul corp, toate proiectate în planul de perspectivă.

Determinarea punctelor extreme ale unei figuri geometrice plane presupune utilizarea algoritmilor de aflare a minimumului și maximumului dintr-un sir de valori reale. Aceste valori sunt coordonatele de pe axa Ox a sistemului de coordonate al

planului de perspectivă, și respectiv coordonatele de pe axa Oy a aceluiași sistem, ale punctelor ce definesc figura geometrică.

O primă categorie de calcule geometrice se referă la testele de suprapunere, în planul de perspectivă, a bounding-box-urilor diferitelor elemente ale corpurilor ce trebuie reprezentate. Plecând de la nivelul cel mai de sus, s-au folosit teste de suprapunere a bounding-box-urilor proiecțiilor în planul de perspectivă a corpurilor, a bounding-box-urilor suprafețelor determinate de contururile unui corp, a bounding-box-urilor a două muchii aparținând unui corp sau la două corpuri diferite, precum și situarea unui punct în interiorul bounding-box-ului unui poligon ce definește o față a unui corp.

Aceste teste au drept scop evitarea operațiilor de intersecție în planul de perspectivă în cazul în care bounding-box-urile elementelor de intersecțat nu au puncte comune. Operațiile de intersecție pentru care se iau în considerare aceste bounding-box-uri sunt intersecțiile proiecțiilor a două volume, a două contururi, a două muchii, precum și intersecția dintre o semidreaptă și un poligon, necesară în cazul testului de interior efectuat asupra unui punct dat, relativ la proiecția unui poligon dat.

Câștigul obținut prin utilizarea acestor teste a fost considerabil, timpul de execuție a algoritmului reducându-se în mod evident.

Deoarece în aceste operații de intersecție fiecare element este luat în considerare de mai multe ori, o dată pentru fiecare element dintr-o anumită categorie considerată, și valorile care definesc bounding-box-ul elementului respectiv trebuie utilizate de mai multe ori. Calculul lor repetat, ori de câte ori este necesar, ar duce la creșterea nejustificată a timpului de execuție. De aceea s-a preferat efectuarea calculului o singură dată pentru fiecare element ce ar putea intra într-o operație de intersecție, și memorarea valorilor ce definesc bounding-box-ul în structura atașată acestui element. Pierderea ce rezultă prin ocuparea memoriei alocate pentru fiecare bounding-box este compensată de câștigul mare obținut prin reducerea timpului de execuție a algoritmului în ansamblu.

În algoritmul pentru eliminarea suprafețelor ascunse, testele de bounding-box efectuează comparațiile între valorile extreme ale elementelor ce urmează a fi intersecțate. Dacă este necesară stabilirea corpurilor ale căror proiecții se pot suprapune, testul se face la nivelul bounding-box-urilor lor. În cazul în care se ajunge în etapa de stabilire a intersecțiilor dintre două contururi, testul se face la nivelul bounding-box-urilor acestora. Ultimul nivel la care se utilizează testul este cel al bounding-box-urilor muchiilor, pentru a evita eventualele calcule de

intersecție, precum și la nivelul algoritmului prin care se stabilește dacă un punct ar putea să se găsească în interiorul unui poligon.

Bounding-box-ul unei figuri geometrice cu trei dimensiuni este folosit în algoritmi corespunzători modelării solidelor prin operații booleene.

În acest caz, un rol important în reducerea timpilor de calcul îl au testele ce pot fi efectuate pentru reducerea numărului de operații de intersecție. Aceste teste pot fi făcute la nivelul solidelor, al poligoanelor sau chiar al muchiilor care formează solidele.

Deoarece intersecțiile se efectuează în spațiul tridimensional, determinarea bounding-box-ului unui element spațial presupune determinarea punctului având drept coordonate minimele coordonatelor pe cele trei direcții ale sistemului de axe al modelului solidului, precum și a punctului cu coordonate maxime. Bounding-box-ul unui element geometric spațial va fi paralelipipedul cu fețele paralele cu planele sistemului de coordonate ce trece prin cele două puncte extreme.

Testul de bounding-box se face prin comparații între coordonatele punctelor extreme. Intersecția a două bounding-box-uri este posibilă dacă cel puțin una din coordonatele unui punct extrem al primului bounding-box se găsește în intervalul definit de aceeași coordonată a punctelor extreme ale celui alt bounding-box.

Deoarece efectuarea acestor teste este necesară în diferite momente ale algoritmului operațiilor booleene, fiecare element geometric va păstra în structura lui de date informațiile referitoare la bounding-box-ul propriu. În acest fel comparațiile pentru stabilirea coordonatelor extreme se efectuează o singură dată, dar prin memorarea lor, pot fi folosite ori de câte ori este cazul.

6.2. ALGORITM PENTRU AFLAREA UNUI PUNCT SITUAT PE UN SEGMENT DAT CÂND SE CUNOASTE RAPORTUL ÎN CARE PUNCTUL ÎMPARTE SEGMENTUL

Algoritmul este util în situația în care se dorește aflarea punctului de intersecție dintre două segmente definite în plan sau în spațiu [MV294][MV394].

Dându-se segmentul cu capetele $P_1(x_1, y_1)$ și $P_2(x_2, y_2)$, se cere găsirea punctului $P(x, y)$ situat pe segmentul dat, dacă se cunoaște raportul în care punctul împarte segmentul. Acest raport este subunitar și poate fi interpretat

ca distanța de la punct la un capăt al segmentului raportată la lungimea segmentului.

Determinarea punctului P presupune determinarea coordonatelor x și y ale punctului. Ele pot fi stabilite bazat pe faptul că raportul în care punctul împarte segmentul este același cu raportul în care proiecția punctului pe axele de coordonate împarte proiecțiile segmentului pe aceste axe.

Dacă

$$r = \frac{P_1P}{P_1P_2} \quad \begin{array}{c} P_1 \quad P \quad P_2 \\ | \quad | \quad | \\ \hline \end{array}$$

atunci

$$r = \frac{x - x_1}{x_2 - x_1} \quad \text{și} \quad r = \frac{y - y_1}{y_2 - y_1}$$

De aici rezultă că:

$$\begin{aligned} x &= x_1 + r * (x_2 - x_1) \\ y &= y_1 + r * (y_2 - y_1) \end{aligned}$$

Acest algoritm este utilizat în programul liniilor și suprafețelor ascunse în cazul în care se dorește aflarea punctului de intersecție dintre două segmente, caz în care raportul se determină pe baza distanțelor de la capetele unui segment la celălalt.

În ipoteza că segmentul are capetele în punctele de coordonate (x_1, y_1, z_1) și (x_2, y_2, z_2) , punctul de intersecție de coordonate (x, y, z) se va obține prin intermediul relațiilor:

$$\begin{aligned} x &= x_1 + r * (x_2 - x_1) \\ y &= y_1 + r * (y_2 - y_1) \\ z &= z_1 + r * (z_2 - z_1) \end{aligned}$$

unde r este raportul în care punctul de intersecție împarte muchia dată.

6.3. ALGORITMI PENTRU CALCULUL DISTANTELOR

6.3.1. Algoritm pentru calculul distantei de la un punct la o dreaptă

Calculul distantei de la un punct la o dreaptă se face în mod distinct pentru cazul în care se lucrează în 2D sau în 3D. De obicei dreptele sunt specificate prin două puncte [MV294][MV394].

În plan, distanța de la un punct $P(a, b)$ la dreapta ce trece prin punctele $P_1(x_1, y_1)$ și $P_2(x_2, y_2)$ se obține prin raportul dintre valoarea obținută înlocuind coordonatele punctului P în ecuația dreptei și radicalul sumei patratelor cosinusilor directori din ecuația dreptei.

Dacă ecuația dreptei ce trece prin două puncte este dată de relația

$$\frac{x_2 - x_1}{x_1 - x} = \frac{y_2 - y_1}{y_1 - y}$$

atunci forma standard este:

$$x * (y_1 - y_2) - y * (x_1 - x_2) + x_1 * y_2 - x_2 * y_1 = 0$$

Valoarea distantei se va calcula cu relația:

$$d = \frac{a * (y_1 - y_2) - b * (x_1 - x_2) + x_1 * y_2 - x_2 * y_1}{\sqrt{((y_1 - y_2)^2 + (x_1 - x_2)^2)}}$$

În cazul dreptei și punctului din spațiu, algoritmul folosește ecuația dreptei dată prin două puncte (x_1, y_1, z_1) și (x_2, y_2, z_2) , în forma parametrică :

$$\begin{aligned} x &= x_1 + t * (x_2 - x_1) \\ y &= y_1 + t * (y_2 - y_1) \\ z &= z_1 + t * (z_2 - z_1) \end{aligned}$$

Distanța de la punctul de coordonate (a, b, c) la dreaptă se calculează cu relația:

$$d = \frac{\sqrt{((b - y_1) * (z_2 - z_1) - (c - z_1) * (y_2 - y_1))^2 + ((c - z_1) * (x_2 - x_1) - (a - x_1) * (z_2 - z_1))^2 + ((a - x_1) * (y_2 - y_1) - (b - y_1) * (x_2 - x_1))^2}}{\sqrt{(x_1 - x_2)^2 + (y_1 - y_2)^2 + (z_1 - z_2)^2}}$$

Facând substituțiile:

$$\begin{aligned} \text{rad} &= \sqrt{(x_1 - x_2)^2 + (y_1 - y_2)^2 + (z_1 - z_2)^2} \\ \text{cx} &= (x_2 - x_1) / \text{rad} \\ \text{cy} &= (y_2 - y_1) / \text{rad} \\ \text{cz} &= (z_2 - z_1) / \text{rad} \end{aligned}$$

relația de calcul a distanței devine:

$$d_1 = \frac{\sqrt{((y - y_1) * \text{cz} - (z - z_1) * \text{cy}) * ((y - y_1) * \text{cz} - (z - z_1) * \text{cy}) + ((z - z_1) * \text{cx} - (x - x_1) * \text{cz}) * ((z - z_1) * \text{cx} - (x - x_1) * \text{cz}) + ((x - x_1) * \text{cy} - (y - y_1) * \text{cx}) * ((x - x_1) * \text{cy} - (y - y_1) * \text{cx})}}{\text{rad}}$$

6.3.2. Algoritm pentru calculul distanței de la un punct la un plan

Valoarea distanței de la un punct la un plan folosește ecuația planului dată sub forma:

$$a * x + b * y + c * z + d = 0$$

Dacă punctul are coordonatele x_1, y_1, z_1 , atunci distanța se calculează cu relația

$$\text{dist} = \frac{a * x_1 + b * y_1 + c * z_1 + d}{\sqrt{a^2 + b^2 + c^2}}$$

Dacă planul este specificat prin trei puncte ale sale (x_1, y_1, z_1) , (x_2, y_2, z_2) și (x_3, y_3, z_3) atunci ecuația este poate fi scrisă sub forma:

$$\begin{vmatrix} x - x_1 & y - y_1 & z - z_1 \\ x_2 - x_1 & y_2 - y_1 & z_2 - z_1 \\ x_3 - x_1 & y_3 - y_1 & z_3 - z_1 \end{vmatrix} = 0$$

Calculul coeficienților ecuației se face cu relațiile:

$$\begin{aligned} a &= (y_2 - y_1) \cdot (z_3 - z_1) - (y_3 - y_1) \cdot (z_2 - z_1) \\ b &= -[(x_2 - x_1) \cdot (z_3 - z_1) - (x_3 - x_1) \cdot (z_2 - z_1)] \\ c &= (x_2 - x_1) \cdot (y_3 - y_1) - (x_3 - x_1) \cdot (y_2 - y_1) \end{aligned}$$

după care se folosește expresia de mai sus pentru calculul distanței [MV294][MV394].

6.4. ALGORITMI PENTRU DETERMINAREA POZITIEI RELATIVE A DOUĂ FIGURI GEOMETRICE

Acești algoritmi sunt necesari atât în procesul de eliminare a liniilor și suprafețelor ascunse cât și în cazul operațiilor booleene. Prin stabilirea poziției relative a două figuri geometrice se pot evita o serie de calcule complexe consumatoare de timp, dar și posibile surse de erori.

Prin stabilirea poziției relative a două segmente se poate evita calculul punctului de intersecție dintre dreptele suport ale segmentelor [Sav94] [Mu194] [Mu294][MV294][MV394].

6.4.1. Algoritm pentru determinarea poziției relative a unui punct față de o dreaptă

Acest algoritm este folosit de algoritmul pentru determinarea poziției relative a două segmente sau a poziției relative a unui segment față de un plan.

Pozitia relativă a unui punct față de o dreaptă poate fi stabilită prin calculul distanței de la punct la dreaptă. Dacă distanța este zero, punctul se găsește pe dreaptă. O valoare diferită de zero indică faptul că punctul nu se găsește pe dreaptă [Per74].

6.4.2. Algoritm pentru determinarea poziției relative a unui punct față de un segment

O primă estimare a poziției relative a unui punct față de un segment se face folosind algoritmul pentru determinarea poziției relative a unui punct față de dreaptă pe care se găsește segmentul. Dacă punctul nu se găsește pe dreaptă, evident că nu se poate găsi nici pe segment.

În cazul în care punctul se găsește pe suportul segmentului, trebuie să se stabilească situarea punctului între capetele segmentului sau pe prelungirea lui. Acest lucru se poate face calculând raportul în care punctul împarte segmentul. Situarea punctului în interiorul segmentului impune o valoare subunitară a raportului.

Dacă segmentul este definit prin punctele (x_1, y_1, z_1) și (x_2, y_2, z_2) , iar punctul dat este de coordonate (a, b, c) , atunci raportul în care punctul împarte segmentul poate fi calculat cu relația (dacă $x_2 \neq x_1$):

$$r = \frac{a - x_1}{x_2 - x_1}$$

O valoare subunitară a raportului indică situarea punctului între capetele segmentului [Per74].

6.4.3. Algoritm pentru determinarea poziției relative a unui punct față de un plan

Algoritmul pentru stabilirea poziției relative a unui punct față de un plan dat este necesar atât în stabilirea poziției relative a unui segment față de un plan cât și în algoritmul pentru eliminarea liniilor ascunse în momentul în care se stabilesc muchiile ce pot lăsa linii de umbra.

Pozitia unui punct dat prin coordonatele lui în sistemul de referință al modelului solidului de reprezentat, relativ la un plan determinat prin ecuatia sa, poate fi stabilită prin semnul expresiei obtinute înlocuind coordonatele punctului în ecuatia planului. O valoare pozitivă înseamna că punctul este situat în semispatiul indicat de normala planului, în timp ce o valoare negativă înseamna situarea în semispatiul opus. Valoarea zero a expresiei indică apartenență punctului la planul considerat.

Dacă ecuatia planului este

$$a * x + b * y + c * z + d = 0$$

si punctul are coordonatele (p_1, p_2, p_3) , atunci expresia al carui semn interesează este:

$$E = a * p_1 + b * p_2 + c * p_3 + d$$

Dacă $E = 0.0$ atunci punctul se găseste în planul considerat. Dacă $E > 0.0$ atunci punctul se găseste în semispatiul indicat de normala la plan, iar dacă $E < 0.0$ punctul se găseste în semispatiul opus [Per74].

6.4.4. Algoritm pentru determinarea pozitiei relative a unui punct față de un poligon

Acest algoritm poate fi utilizat si în cazul stabilirii pozitiei relative a unui segment față de un poligon dat, deoarece pozitiiile capetelor segmentului pot da informatii legate de posibilitatea situării acestuia în interiorul sau exteriorul poligonului, sau de intersectia cu conturul acestuia.

Relativ la un poligon, un punct se poate situa în interiorul, exteriorul sau pe frontiera poligonului.

Suprapunerea unui punct peste unul din virfurile poligonului se poate stabili prin comparatii directe ale coordonatelor lor. Situarea punctului pe una din muchii, poate fi verificată folosind algoritmul pentru determinarea pozitiei relative a unui punct față de un segment, în timp ce situarea punctului în interiorul poligonului trebuie verificată printr-un algoritm de interior [Per74].

6.4.5. Algoritm pentru determinarea pozitiei relative a unui segment față de un plan

Acest algoritm utilizează algoritmul pentru stabilirea pozitiei relative a unui punct față de un plan dat.

Dacă ambele capete ale segmentului se găsesc de aceeași parte a planului, rezultă inexistența unui punct de intersecție între segment și plan.

Dacă extremitățile segmentului se găsesc de o parte și de alta a planului, există un punct de intersecție ce poate fi calculat dacă este cazul [Per74].

6.4.6. Algoritm pentru determinarea pozitiei relative a două segmente

Acest algoritm este utilizat în procesul de eliminare a liniilor și suprafețelor ascunse când segmentele în cauză sunt plasate în planul de perspectivă, dar și în cazul operațiilor boolene când segmentele sunt definite prin perechi de puncte din spațiul 3D.

În primul caz, acest algoritm este necesar deoarece duce la evitarea calculelor pentru aflarea punctului de intersecție dintre două segmente, în cazul în care acest punct nu există. Dacă testul asupra bounding-box-urilor celor două segmente de intersecțat nu constată disjuncția lor, algoritmul pentru determinarea pozitiei relative a celor două segmente poate stabili existența sau inexistența punctului de intersecție.

Algoritmul se bazează pe faptul că valoarea nulă sau semnul distanței de la un punct la un segment dă informații asupra pozitiei punctului relativ la segment. Dacă distanța este nulă, punctul se găsește pe suportul segmentului. Dacă valoarea ei este pozitivă se găsește într-un semiplan, iar dacă este negativă se găsește în celălalt semiplan. Folosind distanțele de la capetele fiecărui segment la celălalt segment, se poate stabili poziția relativă a celor două segmente.

Dacă unul din segmente este definit prin punctele $P_1 (x_1, y_1)$ și $P_2 (x_2, y_2)$, atunci ecuația dreptei pe care se găsește segmentul se scrie ca fiind:

$$\frac{x_2 - x_1}{x_1 - x} = \frac{y_2 - y_1}{y_1 - y}$$

De aici rezultă forma ecuației:

$$x * (y_1 - y_2) - y * (x_1 - x_2) + (x_1 * y_2 - x_2 * y_1) = 0$$

Distanța de la un punct $P(a, b)$ la dreapta ce trece prin punctele P_1 și P_2 se obține prin raportul dintre valoarea obținută înlocuind coordonatele punctului P în ecuația dreptei și radicalul sumei patratelor cosinusilor directori din ecuația dreptei:

$$d = \frac{a * (y_1 - y_2) - b * (x_1 - x_2) + x_1 * y_2 - x_2 * y_1}{\sqrt{((y_1 - y_2) * (y_1 - y_2) + (x_1 - x_2) * (x_1 - x_2))}}$$

Segmentele a căror poziție relativă trebuie stabilită pentru ca în final să se găsească eventualele puncte comune, sunt fie proiecțiile în planul de perspectivă a două muchii sau porțiuni de muchii, fie proiecția unei muchii sau porțiuni de muchie și un segment auxiliar definit în conformitate cu anumite cerințe.

În cazul algoritmilor pentru efectuarea operațiilor booleene interesează poziția relativă a două segmente definite prin două puncte din spațiu.

Acest algoritm este utilizat în procesul de stabilire a poziției relative a unei muchii față de o dreaptă obținută prin intersecția a două sau mai multe plane. Se evită calculele complexe pentru rezolvarea sistemului format din ecuațiile celor două drepte, prin calculul distanțelor de la capetele muchiei la suportul dreptei. Dreapta este reprezentată prin două puncte situate la o distanță mare relativ la punctele care formează corpurile, pentru a putea fi considerată ca fiind o linie infinită. De aceea și dreapta poate fi considerată ca fiind un segment de dreaptă.

Algoritmul determină poziția relativă a muchiei față de dreaptă prin pozițiile relative ale capetelor ei față de dreaptă, deci prin calculul distanțelor de la capetele ei la suportul dreptei.

Pentru a evita erorile de calcul datorită preciziei cu care se pot reprezenta numerele reale în calculator, cele două segmente de dreaptă sunt proiectate pe rând în cele trei plane ale sistemului de coordonate, astfel încât calculul distanțelor se va realiza în plan.

Formula de calcul folosită în planul xOy pentru calculul distanței este următoarea:

$$d_1 = ((y_f - y_1) * (x_2 - x_1) - (x_f - x_1) * (y_2 - y_1)) / \text{rad}$$

în care

$$\text{rad} = \text{sqrt}((x_2 - x_1) * (x_2 - x_1) + (y_2 - y_1) * (y_2 - y_1))$$

iar d_1 reprezintă distanța de la un capăt al muchiei (dat prin coordonatele x_f și y_f) la dreapta pe care se afla punctele de coordonate (x_1, y_1) , respectiv (x_2, y_2) . În cazurile particulare, când x_1 și x_2 sunt identice sau y_1 și y_2 sunt identice, distanța va avea valoarea $d_1 = x_f - x_1$ sau $d_1 = y_f - y_1$.

Folosind aceleasi formule se calculează și distanța de la celalalt capăt al muchiei la dreapta.

Dacă ambele distante sunt diferite de zero și au același semn (produsul lor este pozitiv), punctele sunt de aceeași parte a drepte, deci muchia nu intersectează dreapta.

Dacă ambele distante sunt diferite de zero, dar au semne diferite (produsul lor este negativ), capetele muchiei sunt de o parte și de alta a drepte, deci muchia intersectează suportul drepte.

Dacă una dintre distanțele calculate sau chiar amândouă sunt nule, se repetă operațiile și în planele yOz și xOz .

În funcție de valorile obținute pentru distanțe, rezultă situații distincte:

- dacă distanța de la un capăt al muchiei la suportul drepte este zero, muchia se sprijină cu acel capăt pe dreapta. (Se notează de la 1 la 4 cazurile de sprijin ale primului segment cu începutul, respectiv sfârșitul pe al doilea segment, și cazurile de sprijin ale celui de-al doilea segment cu începutul, respectiv sfârșitul pe primul segment.)

- dacă toate cele șase valori calculate sunt nule, suporturile celor două segmente se suprapun. (Se notează de la 5 la 12 cazurile distincte de dispunere a celor două segmente pe suportul comun, ca în figura 6.1.)

În concluzie, algoritmul poate preciza dacă muchia se găsește pe suportul drepte, dacă se sprijină cu unul din capete pe suportul drepte sau dacă intersectează sau nu suportul drepte [MV294][MV394].

6.4.7. Algoritm pentru determinarea poziției relative a două segmente coliniare

Dacă algoritmul pentru determinarea poziției relative a două segmente stabilește că ele se suprapun pe același suport, atunci rămâne de stabilit dacă au

sau nu puncte comune. Pentru aceasta se pot folosi operatii simple de comparare a coordonatelor capetelor celor două segmente, dar pentru a cunoaște perechile între care se efectuează comparațiile, este necesar să se cunoască dispunerea segmentelor pe suportul comun. Segmentele fiind date prin coordonatele capetelor lor într-o ordine oarecare și nu în ordinea crescătoare a valorilor, este necesar să se cunoască sensurile segmentelor relativ la un sens ales al suportului [MV294][MV394].

Coordonata după care se face ordonarea punctelor ce determină segmentele (numită coordonată de ordonare), se alege ca fiind aceea care are o variație nenulă pentru capetele primului segment.

Relativ la primul segment, coordonata de ordonare cea mai mică se notează cu "a", iar cea mai mare cu "b". Relativ la al doilea segment, coordonata de ordonare cea mai mică se notează cu "c", iar cea mai mare cu "d". Astfel se pot distinge cazurile posibile de plasare a celor două segmente pe suportul comun prezentate în figura 6.1.

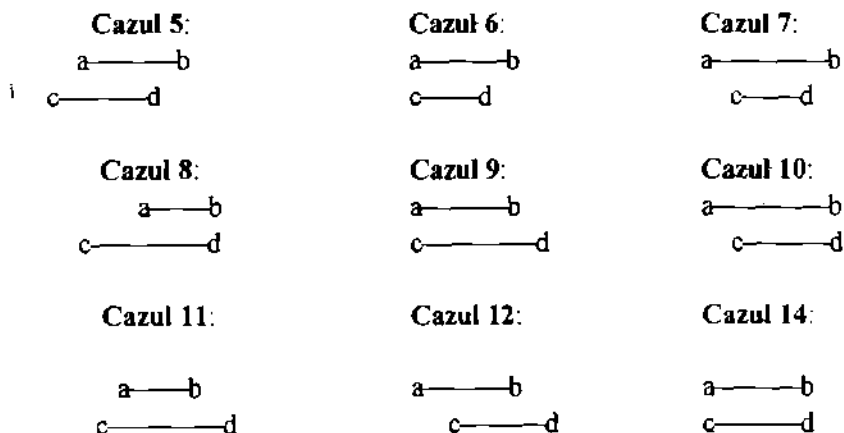


Figura 6.1. Pozitii relative ale segmentelor de dreaptă

6.5. ALGORITMI PENTRU DETERMINAREA INTERSECȚIILOR DINTRE SEGMENTE SI PLANE

6.5.1. Algoritm pentru determinarea punctului de intersecție dintre două segmente

Acest algoritm este necesar atât în cazul în care segmentele sunt definite în plan (planul de perspectivă în problema eliminării liniilor și suprafețelor ascunse), cât și în cazul segmentelor definite în spațiu (pentru operațiile booleene dintre solide) [Kri87][Per74][MV294][MV394].

Algoritm pentru intersecția a două segmente folosește algoritmi pentru testul de bounding-box aplicat celor două segmente și algoritmul pentru determinarea poziției relative a două segmente. Prin utilizarea acestor algoritmi se poate stabili existența posibilă sau inexistența punctului de intersecție a celor două segmente, fără a efectua în mod inutil calculele de intersecție. În acest mod se reduce timpul total necesar rezolvării operației de intersecție din cadrul operațiilor booleene sau a problemei liniilor și suprafețelor ascunse.

În cazul în care testul de bounding-box semnalează o posibilă intersecție între cele două segmente, se execută algoritmul pentru stabilirea poziției relative. Dacă se constată că este vorba de sprijinul unui segment cu un capăt pe celălalt segment, punctul de intersecție este deja cunoscut ca fiind acel capăt al segmentului. Dacă se constată că suporturile celor două segmente se intersectează, este necesar să se calculeze raportul în care punctul de intersecție împarte unul din segmente. Interesează situația în care acest raport este subunitar, ceea ce înseamnă că punctul de intersecție se afla în interiorul segmentului respectiv. În acest caz, punctul de intersecție se calculează cu ajutorul algoritmului pentru aflarea unui punct pe un segment dat, cunoscând raportul în care punctul împarte segmentul. Acest raport se determină pe baza distanțelor de la capetele unui segment la celălalt, distanțe deja calculate în algoritmul pentru stabilirea poziției relative a celor două segmente.

În procesul de determinare a liniilor și suprafețelor ascunse algoritmul este necesar pentru aflarea punctelor de intersecție dintre proiecția unei muchii a unui poligon și proiecția unui alt poligon, problema ce poate fi redusă la aflarea punctului de intersecție dintre proiecțiile a două muchii.

În cazul operațiilor booleene, algoritmul este necesar în procesul de intersecție dintre două poligoane, proces ce reprezintă o etapă în operația de intersecție dintre două solide. După ce prin testul de bounding-box se stabilește faptul că există posibilitatea intersecției celor două poligoane după dreapta de intersecție a planelor ce le conțin, algoritmul pentru stabilirea poziției relative a două segmente poate furniza mai multe informații referitoare la modul în care se intersecțiază fiecare muchie a fiecărui poligon cu dreapta de intersecție: dacă intersecția se face într-un punct de pe muchie, în unul din capetele ei sau dacă muchia este suprapusă pe dreaptă.

În cazul în care punctul de intersecție este situat în interiorul muchiei, se efectuează calculele pentru determinarea lui. Poziția lui pe segment se determină pe baza raportului în care punctul împarte segmentul, raport calculat cu relația:

$$s = d_1 / (d_2 - d_1)$$

În acest scop se determină distanțele d_1 și d_2 de la capetele muchiei la dreaptă folosind algoritmul pentru calculul distanței de la un punct la o dreaptă, după care se determină coordonatele punctului de intersecție, folosind algoritmul pentru aflarea unui punct când se cunoaște raportul în care împarte segmentul.

6.5.2. Algoritm pentru determinarea punctului de intersecție dintre un segment și un plan

După ce algoritmul pentru determinarea poziției relative a unui segment față de un plan furnizează informația că cele două se intersecțiază, în anumite situații este necesar ca punctul să fie determinat [Per74][MV294][MV394].

Dacă planul este cunoscut prin ecuația

$$a * x + b * y + c * z + d = 0$$

iar segmentul este dat prin capetele lui (x_1, y_1, z_1) și (x_2, y_2, z_2) , atunci coordonatele (p_1, p_2, p_3) ale punctului de intersecție se vor calcula cu relațiile:

$$p_1 = [b(x_1 y_2 - x_2 y_1) + c(x_1 z_2 - x_2 z_1) - d(x_2 - x_1)]/n$$

$$p_2 = [c(y_1 z_2 - y_2 z_1) + a(y_1 x_2 - y_2 x_1) - d(y_2 - y_1)]/n$$

$$p_3 = [a(z_1 x_2 - z_2 x_1) + b(z_1 y_2 - z_2 y_1) - d(z_2 - z_1)]/n$$

în care [Per74]:

$$n = a(x_2 - x_1) + b(y_2 - y_1) + c(z_2 - z_1)$$

6.5.3. Algoritm pentru determinarea liniei de intersecție dintre două plane

Cele două plane determinate prin normalele lor li se va calcula linia de intersecție doar după ce se verifică faptul că ele nu sunt paralele [Per74][MV294][MV394].

Ecuatiile celor două plane sunt de forma:

$$\begin{aligned} a_1 * x + b_1 * y + c_1 * z + d_1 &= 0 \\ a_2 * x + b_2 * y + c_2 * z + d_2 &= 0 \end{aligned} \quad (1)$$

unde a_1, b_1, c_1 respectiv a_2, b_2, c_2 sunt cosinusii directori ai normalelor celor două plane, iar d_1 și d_2 reprezintă distanța de la originea sistemului de coordonate la planul corespunzător.

Linia de intersecție este definită prin direcția ei (un set de cosinusi directori) și printr-un punct prin care trece.

Un set de cosinusi directori ai liniei de intersecție dintre planele date prin ecuațiile (1) este:

$$(b_1 * c_2 - b_2 * c_1), (c_1 * a_2 - c_2 * a_1), (a_1 * b_2 - a_2 * b_1) \quad (2)$$

Pentru simplificare se utilizează un set de cosinusi directori normalizat, în care unul din ei are valoarea 1. Acest set se poate obține împărțând valorile din (2) la una dintre ele care este nenula.

Dacă toți cosinusii directori sunt nuli, intersecția planelor nu poate fi efectuată (este nedefinită).

Se testează pe rând care din valorile din (2) este nenula. Cu valoarea găsită se împart cosinusii directori din (2), iar valorile obținute reprezintă direcția dreptei de intersecție.

Pentru a simplifica calculele, punctul de pe dreaptă cu coordonatele notate (x_1, y_1, z_1) se alege ca fiind cel cu coordonata corespunzătoare cosinusului

director 1.0, nulă. Celelalte 2 coordonate ale punctului se calculează rezolvând ecuațiile (1) în care s-a înlocuit coordonata cu valoarea zero.

Pentru cazul în care $a_1 \cdot b_2 - a_2 \cdot b_1$ este nenul, se alege $z_1 = 0.0$ și ecuațiile (1) devin:

$$\begin{aligned} a_1 \cdot x_1 + b_1 \cdot y_1 + d_1 &= 0 \\ a_2 \cdot x_1 + b_2 \cdot y_1 + d_2 &= 0 \end{aligned} \quad (3)$$

Se rezolvă sistemul format de aceste două ecuații în raport cu x_1 și y_1 . Se determină astfel coordonatele punctului de pe dreaptă de intersecție dintre plane:

$$\begin{aligned} x_1 &= -(b_1 \cdot d_2 - b_2 \cdot d_1) / (a_1 \cdot b_2 - a_2 \cdot b_1) \\ y_1 &= -(a_1 \cdot d_2 - a_2 \cdot d_1) / (a_1 \cdot b_2 - a_2 \cdot b_1) \end{aligned}$$

Analog se determină punctul de pe dreaptă în cazurile în care $a_1 \cdot c_2 - a_2 \cdot c_1$, respectiv $c_1 \cdot b_2 - c_2 \cdot b_1$ sunt nenule și se aleg ca referințe [Per74].

6.6. ALGORITM PENTRU SELECTIA UNEI MUCHII ÎN PROCESUL DE STABILIRE A CONTURURILOR POLIGONALE

6.6.1. Algoritm original pentru selectia unei muchii în cazul stabilirii conturului unui poligon atomic

Si acest algoritm este necesar atât în procesul de eliminare a liniilor și suprafețelor ascunse, cât și în efectuarea operațiilor booleene dintre solide [Per74][MV294][MV394].

În urma procesului de intersecție dintre două solide, pe poligoanele lor inițiale pot să apară noi muchii, iar în procesul de eliminare a liniilor și suprafețelor ascunse, pe proiecțiile poligoanelor potențial vizibile apar muchii noi ce vor delimita porțiunile vizibile de cele ascunse. Poligoanele formate din muchiile, segmentele de muchii inițiale sau muchiile noi, care nu mai pot fi descompuse în poligoane mai mici, se vor numi poligoane atomice. În procesul de construcție a solidului rezultat în urma operațiilor booleene, precum și în procesul

de stabilire a porțiunilor ascunse, sunt necesare poligoanele atomice rezultate în urma intersecției, respectiv ascunderii. Obținerea conturului unui poligon atomic reprezintă o problemă în cazul în care există mai multe muchii ce pleacă din același punct. În acest moment este necesar algoritmul de selecție care va fi prezentat mai jos.

Dându-se un astfel de poligon, o muchie a sa și o listă de muchii cu capătul de început comun identic cu sfîrșitul muchiei date, trebuie aleasă muchia cea mai la stînga. Această problemă ar putea fi rezolvată foarte simplu dacă muchia cea mai la stînga ar putea fi aleasă ca fiind cea care formează cu muchia dată unghiul cel mai mic. Calculul unghiurilor prin funcții trigonometrice ridică însă probleme din cauza periodicității lor. De aceea sunt necesare mai multe operații care să înlocuiască (să modeleze) procesul de recunoaștere a muchiei celei mai din stînga, proces pe care omul îl poate efectua foarte simplu. [Kri87]

Muchia situată în poziția cea mai din stînga se determină prin intermediul valorilor produselor mixte și scalare dintre vectorii atașați muchiei date și muchiilor din listă.

Algoritmul efectuează următoarele operații:

Se construiește versorul a corespunzător muchiei date. Se iau în considerare primele două muchii din listă și se construiesc versorii b și c corespunzători. Muchia selectată va fi apoi luată în considerare cu următoarea din listă, dintre ele alegându-se cea mai la stînga. Procesul continuă pînă la atingerea sfîrșitului listei, moment în care muchia selectată va fi utilizată în procesul de închidere a conturului poligonal curent.

Pentru alegerea muchiei cea mai din stînga din cele două muchii luate în considerare, se determină proiecția fiecăreia din ele pe muchia inițială, calculând produsul scalar al vectorilor (versorilor) corespunzători lor:

$$c_1 = a \cdot b$$

$$c_2 = a \cdot c$$

În plus mai este necesar calculul proiecțiilor pe direcția normalei a produselor mixte dintre vectorul muchiei inițiale cu fiecare din vectorii corespunzători muchiilor în discuție și dintre vectorii celor două muchii de selectat:

$$db = (a \times b) \cdot \text{normala_poligon}$$

$$dc = (a \times c) \cdot \text{normala_poligon}$$

$$\text{mixt} = (b \times c) \cdot \text{normala_poligon}$$

Pe baza valorilor obtinute se selectează muchia corespunzătoare vectorului c dacă una din condițiile de mai jos este îndeplinită:

1. $db * dc \geq 0$ și $mixt > 0$ și ($dc \neq 0$ sau ($dc = 0$ și $c2 > 0$))
2. $db * dc \geq 0$ și $mixt < 0$ și $db = 0$ și $c1 = 0$
3. $db < 0$ și $dc > 0$

În caz contrar se selectează muchia corespunzătoare vectorului b [Mu194] [Mu294] [Mu394].

6.6.2. Algoritm original pentru selecția unei muchii în cazul stabilirii conturului unui poligon obținut prin reuniunea mai multor poligoane

În cazul în care mai multe poligoane disjuncte coplanare de același tip au muchii în comun, este necesar să se construiască un poligon al cărui contur să fie format din muchiile poligoanelor inițiale, prin eliminarea muchiilor sau porțiunilor de muchii comune [MV294][MV394].

În această situație se pune problema alegerii muchiei celei mai din dreapta dintr-un set de mai multe muchii care au punctul de început comun, relativ la o muchie care are ca punct de sfârșit punctul comun al celorlalte muchii.

Principiul de selecție a muchiei este același cu cel din algoritmul anterior, cu deosebirea că stânga se înlocuiește cu dreapta și invers.

6.7. ALGORITMI PENTRU TESTUL DE INTERIOR

6.7.1. Algoritm original pentru stabilirea poziției relative a unui punct față de un poligon

O operație aparent banală pentru om, dar a cărei implementare presupune veritabile calcule matematice, o reprezintă testul de interior. În algoritmul pentru eliminarea liniilor ascunse interesează poziția proiecției unui capăt al unei muchii de pe o linie lăsa linie de umbra relativ la proiecția unei fețe ce poate fi umbrată. În cazul algoritmilor pentru efectuarea operațiilor booleene interesează poziția unui

punct relativ la o față a unui solid pentru a se stabili dacă un anumit contur poligonal se găsește în interiorul altuia (primul este sau nu gaura a celui de al doilea), precum și poziția unui punct relativ la interiorul unui solid pentru a stabili dacă solidul conține cavități [MV294][MV394].

Algoritmul folosește metoda bazată pe numărul punctelor de intersecție dintre o semidreaptă ce trece prin punctul dat și poligonul sau volumul față de care se face testul. Dacă numărul punctelor de intersecție este par, punctul se afla în exterior, iar dacă numărul este impar, punctul se afla în interior. Pentru a evita complicațiile în cazul în care semidreapta aleasă se suprapune peste o muchie a poligonului sau volumului, algoritmul permite schimbarea pantei semidreptei alese inițial.

În cazul algoritmului de eliminare a liniilor și suprafețelor ascunse, punctul este considerat prin coordonatele sale în planul de perspectivă, la fel cum este considerat și poligonul față de care se efectuează testul de interior.

Deoarece semidreapta poate fi oarecare, se va alege (pentru început) una care trece prin punctul dat și este paralela cu prima muchie a poligonului. Semidreapta va fi definită prin două puncte: primul este punctul dat, iar al doilea este un punct situat pe direcția aleasă la distanță suficient de mare, astfel încât să poată fi considerat la infinit.

Semidreapta aleasă va fi intersectată cu toate muchiile poligonului, inclusiv muchiile ce formează contururile de gaură. Pentru aceasta se folosește algoritmul pentru determinarea poziției relative a două segmente, în care nu interesează efectiv punctul de intersecție, ci doar dacă cele două segmente se intersectează. Intersecțiile semidreptei cu acestea vor fi contorizate ținând cont și de faptul că semidreapta intră sau iese din suprafața poligonului. Orice punct de intrare incrementează contorul, în timp ce punctele de ieșire îl decrementează. Cazurile de suprapunere dintre semidreaptă și muchii nu vor influența valoarea contorului. În acest fel, în final contorul poate fi doar 0 sau 1, 0 pentru cazul în care punctul este exterior și 1 pentru cazul în care punctul este interior poligonului.

Stabilirea faptului că într-un punct de intersecție semidreapta intră sau iese din suprafața poligonului, se face prin calcul vectorial. Dacă prin produsul vectorial al vectorilor definiți de muchia curentă și semidreaptă rezultă un vector ce intră în planul de perspectivă, contorul este decrementat, iar dacă vectorul iese din planul de perspectivă, contorul este incrementat. Intersecția semidreptei se face cu muchii consecutive parcurse în sensul în care suprafața interioară a poligonului rămâne la stânga muchiilor.

În cazul în care ar fi fost folosit un algoritm care ar lua în considerare doar numărul punctelor de intersecție, fără a se efectua calculul produsului vectorial dintre cele două segmente care se intersectează la un moment dat, ar fi necesară ordonarea acestor puncte pe direcția semidreptei și marcarea porțiunilor în care semidreapta se suprapune peste o muchie a poligonului. Complicațiile ce apar în astfel de situații au condus la adoptarea variantei prezentate mai sus.

6.7.2. Algoritm original pentru stabilirea poziției relative a unui punct față de un volum

În cazul operațiilor booleene punctul este considerat prin coordonatele sale spațiale, la fel ca și poligonul față de care se efectuează testul. Principiul este același ca și în cazul testului efectuat în planul de perspectivă, doar că semidreapta aleasă trebuie să se găsească în planul poligonului considerat.

Pentru testul de interior efectuat asupra unui punct relativ la un volum dat, semidreapta se alege pe baza informațiilor furnizate de bounding-box-ul volumului. În acest caz semidreapta se intersectează cu toate fețele volumului, iar numărul intersecțiilor este interpretat în mod asemănător testului de interior aplicat relativ la un poligon. Acest test folosește algoritmul pentru stabilirea poziției relative a unui segment față de un plan dat, iar în cazul în care se ajunge la concluzia că segmentul intersectează planul, este necesar să se cunoască coordonatele punctului de intersecție pentru a se efectua testul de interior relativ la conturul poligonal al feței curente. Punctul de intersecție este luat în considerare doar în cazul în care se găsește în interiorul poligonului [MV294][MV394].

6.8. CALCULE DE ADANCIME

În procesul de stabilire a liniilor de umbra (segmentele care separă părțile vizibile de cele ascunse) trebuie să se cunoască mai multe date referitoare la un punct dat, cum ar fi: distanța față de punctul de privire; poziția sa relativă față de un plan (de aceeași parte sau de parte opusă cu punctul de privire); coordonatele sale spațiale, atunci când se cunosc coordonatele proiecției sale în planul de perspectivă și planul în care se găsește.

Pentru determinarea suprafețelor ascunse, este necesar să se stabilească muchiile ce lasă linii de umbra, precum și poligoanele pe care apar aceste linii. O muchie poate lăsa linie de umbra pe un poligon dacă se găsește de aceeași parte

cu punctul de privire față de planul poligonului, dacă cel puțin un segment al proiectiei sale cade în interiorul proiectiei poligonului și dacă nu există un alt poligon interpus între cel considerat și punctul de privire.

Dacă din multimea poligoanelor care conțin în interiorul proiectiei lor proiectia unui capăt al muchiei în discuție, există cel puțin un poligon care se interpune între punctul de privire și muchia considerată, atunci muchia nu poate lăsa umbra, deoarece ea însăși este ascunsă.

Cunoscând că normala oricărui poligon potențial vizibil este îndreptată înspre punctul de privire, înlocuind coordonatele unui capăt al muchiei în ecuația planului în care se găsește poligonul, se obține o valoare pozitivă dacă punctul este de aceeași parte cu punctul de privire, respectiv o valoare negativă în caz contrar. Valoarea zero marchează apartenența punctului la planul considerat. În situația în care se obține cel puțin o valoare negativă, muchia în cauză va fi marcată ca fiind ascunsă.

Algoritmul pentru ordonarea punctelor din spațiu proiectate în același loc în planul de perspectivă este necesar pentru a stabili poligonul cel mai apropiat de ochi, pe care o muchie dată poate lăsa linie de umbra. Evident că din multimea poligoanelor vizibile sunt luate în considerare doar acelea care conțin în interiorul lor proiectia unuia din capetele muchiei în cauză. Punctele din spațiu, pe baza cărora se vor ordona poligoanele, sunt punctele în care raza vizuală ce trece printr-un capăt al muchiei intersectează poligoanele.

În acest scop se calculează o valoare egală cu patratul distanței unui punct față de punctul de privire, valoare egală cu suma patratelor diferentelor coordonatelor celor două puncte pe cele trei direcții ale sistemului de coordonate. Această valoare va reprezenta elementul după care se efectuează ordonarea în lista de poligoane. Ordonând crescător lista după această valoare, se obține poligonul umbrat ca fiind acela care corespunde primului element din listă, adică cel corespunzător punctului cel mai apropiat de punctul de privire.

Dacă din multimea poligoanelor care conțin în interiorul proiectiei lor proiectia unui capăt al muchiei în discuție există cel puțin un poligon care se interpune între punctul de privire și muchia considerată, atunci muchia nu poate lăsa umbra, deoarece ea însăși este ascunsă.

Cunoscând că normala oricărui poligon potențial vizibil este îndreptată înspre punctul de privire, înlocuind coordonatele unui capăt al muchiei în ecuația planului în care se găsește poligonul, se obține o valoare pozitivă dacă punctul este de aceeași parte cu punctul de privire, respectiv o valoare negativă în caz

contrar. Valoarea zero marchează apartenența punctului la planul considerat. În situația în care se obține cel puțin o valoare negativă, muchia în cauză va fi marcată ca fiind ascunsă.

Algoritmul pentru determinarea coordonatele spațiale ale unui punct atunci când se cunosc coordonatele proiecției perspective și planul în care se găsește punctul, este necesar în procesul de stabilire a segmentelor ce separă porțiunile vizibile de cele ascunse. În situația în care s-a stabilit că o anumită muchie lasă linie de umbra pe un poligon, extremitățile muchiei trebuie proiectate pe acel poligon. Coordonatele de perspectivă ale capetelor muchiei coincid cu coordonatele de perspectivă ale proiecției ei. În procesul de stabilire a poligoanelor vizibile și ascunse, sunt însă necesare coordonatele spațiale ale capetelor proiecției muchiei.

6.9. ALGORITM PENTRU COMPARAREA A DOUĂ DREPTE REZULTATE PRIN INTERSECȚII DE PLANE

Algoritmul este necesar în cazul în care fiecărei linii de intersecție dintre două sau mai multe plane trebuie să i se asocieze o singură structură de date.

În ipoteza că fiecare linie de intersecție este descrisă prin direcție și un punct, și că se cunosc planele prin a căror intersecție a rezultat, compararea trebuie făcută în două etape [MV294].

În primul rând se compară vectorii ce descriu direcțiile liniilor. Egalitatea lor duce la concluzia că liniile sunt sau paralele sau identice. A doua etapă a comparației are sens doar în cazul în care prima comparație a reușit, și ea constă în verificarea suprapunerii liniilor. Acest lucru se poate face verificând faptul că punctul prin care este definită una din linii aparține planelor care au determinat cealaltă linie.

Pentru a verifica dacă punctul aparține celor două plane se înlocuiesc coordonatele punctului în ecuațiile planelor. Dacă coordonatele punctului verifică ambele ecuații, atunci punctul aparține drepteii, și deci liniile de intersecție sunt identice.

6.10. ALGORITM PENTRU DETERMINAREA FETELOR POTENTIAL VIZIBILE

În algoritmul pentru stabilirea caracterului vizibil sau invizibil al unei fete a unui solid dat, se tine seama de normala planului în care se găsește fata, precum și de poziția punctului din care este privit solidul [MV394].

O față situată într-un plan care are normala îndreptată înspre observator poate fi vizibilă dacă nu este ascunsă de alte fete ale aceluiași sau altui solid. De aceea pentru a se stabili orientarea fetei relativ la poziția observatorului, se poate folosi orientarea normalei planului relativ la vectorul determinat de punctul de privire și un punct al fetei în cauză. Distanța relativ mare la care este situat punctul de privire face ca alegerea punctului de pe fata considerată să nu influențeze esențial orientarea vectorului folosit.

Proiecția normalei planului pe direcția vectorului ales dă informații în legătură cu orientarea planului relativ la poziția observatorului. Dacă proiecția are sensul înspre observator, atunci fata poate fi vizibilă. În caz contrar, fata nu poate fi văzută de către observatorul plasat în acel punct.

Notând cu N versorul normalei planului ce conține fata în cauză și cu V versorul direcției care uneste punctul de observare cu un vîrf al fetei, produsul scalar al celor doi vectori este dat de relația:

$$p = |N| \cdot |V| \cdot \cos(\alpha)$$

Semnul valorii lui p poate fi folosit în stabilirea vizibilității fetei: o valoare pozitivă corespunde unui plan vizibil, în timp ce o valoare negativă corespunde unui plan invizibil.

Pentru ca acest algoritm să poată fi folosit și în varianta în care porțiunile de fete vizibile sunt reprezentate cu diferite nuanțe în funcție de înclinarea lor relativ la punctul de observare, este necesar să se ia în considerare valoarea unghiului α , prin cosinusul sau. Astfel, cu cât cosinusul este mai mare (unghiul α este mai mic) cu atât mai deschisă trebuie să fie nuanța cu care este colorată fata respectivă. S-a ales această regulă în ipoteza că punctul de observație coincide cu punctul în care se găsește sursa de lumină. Intervalul $[0, 1]$ în care cosinusul poate lua valori în cazul fetelor vizibile a fost împărțit în cinci subintervale, carora le corespund cinci nuanțe.

Deoarece în stabilirea poziției relative a celor doi vectori interesează unghiul format de direcțiile lor, în calcule se pot folosi versorii acestora.

$$\rho = |N| \cdot |V| \cdot \cos(a) = \cos(a)$$

Deoarece funcția cosinus este monotona pe intervalul $[0, \pi/2]$, divizarea acestui interval în subintervale poate fi înlocuită cu divizarea intervalului $[0, 1]$ în subintervale.

Valoarea produsului scalar este chiar valoarea cosinusului unghiului α format de cele două direcții, deoarece modulele versorilor sunt unitare.

6.11. ALGORITM PENTRU DETERMINAREA CONTURURILOR UNUI SOLID

Conturul unui solid este o secvență închisă de muchii, numite muchii exterioare, având proprietatea că se învecinează într-o parte cu o față potențial vizibilă și în cealaltă parte cu una invizibilă [MV294][MV394].

Plecând de la această definiție, rezultă că operația de stabilire a caracterului vizibil sau invizibil al fiecărei fețe, trebuie efectuată anterior operației de determinare a conturilor.

În mod obișnuit, muchiile exterioare ale unui solid închid un singur contur. În cazul în care solidele contin gauri pot exista două sau mai multe conturi.

Din punct de vedere al proiecției solidului în planul de perspectivă, conturul poate conține sau nu bucle. O încrucișare a proiecțiilor unei perechi de muchii de contur produce schimbarea vizibilității unei din ele. Pe această proprietate se bazează anumiți algoritmi folosiți în eliminarea liniilor ascunse. Tot din cauza posibilității existenței buclelor formate de conturile solidelor, este necesar să se aplice algoritmul de determinare a poziției relative a două segmente, iar în cazul în care se stabilește că segmentele se intersectează, trebuie calculat punctul de intersecție. Cu toate că intersecție se face în planul de perspectivă la nivelul proiecțiilor muchiilor de contur, este necesar să se stabilească coordonatele spațiale ale punctelor de pe muchii corespunzătoare punctului de intersecție din proiecție.

Fiind cunoscută mulțimea muchiilor exterioare ale unui solid, algoritmul determină succesiunea muchiilor care formează fiecare contur al solidului.

Plecând de la prima muchie exterioară întâlnită, se caută o muchie următoare care are capătul de început identic cu capătul de sfârșit al muchiei curente. Identitatea se stabilește la nivelul coordonatelor spațiale ale punctelor în cauză. Procedura continuă până în momentul în care capătul de sfârșit al muchiei

curente coincide cu capătul de început al primei muchii a conturului. În cazul solidelor cu mai multe contururi, după închiderea primului contur rămân muchii exterioare neutilizate. De aceea procedeul se reia până când toate muchiile exterioare au fost cuprinse într-un astfel de contur. Efectuarea acestor operații presupune marcarea fiecărei muchii utilizate într-un contur, deoarece doar în momentul în care nu mai există muchii nemarcate se poate lua decizia de încheiere a procesului de stabilire a conturilor solidului.

6.12.ALGORITMUL ORIGINAL DE CLASIFICARE

Algoritmul de clasificare se referă la stabilirea tipului muchiilor sau porțiunilor de muchii în funcție de poziția lor relativă la un poligon sau volum dat [MV294][MV394].

Astfel de operații de clasificare sunt necesare atât în algoritmul pentru efectuarea operațiilor booleene dintre solide, cât și în cel pentru eliminarea liniilor ascunse.

În urma procesului de intersecție dintre o dreaptă și un poligon, rezultă o mulțime de puncte care pot fi ordonate pe direcția dreptei. Fiecare pereche de puncte consecutive determină un segment a cărui poziție relativă la poligon determină tipul: segment interior, exterior sau suprapus pe o muchie a poligonului. Există o multitudine de metode pentru stabilirea tipului, dar luând în considerare avantajele și dezavantajele fiecăreia, s-a ajuns la următoarea soluție utilizată în ambii algoritmi.

În ipoteza că fețele solidelor sunt descrise prin muchii specificate în ordinea parcurgerii conturului feței cu materialul la stânga, se va putea determina dacă un segment orientat intră sau iese din suprafața închisă de poligonul feței sau se suprapune peste o muchie a acesteia. Considerând atât segmentele de pe dreapta de intersecție cât și muchiile poligonului ca vectori, se poate calcula câte un produs vectorial pentru fiecare pereche de vectori formată dintr-un segment și muchia pe care se sprijină. (În momentul în care se efectuează această operație, toate muchiile au fost segmentate în muchii atomice. De aceea toate intersecțiile dintre muchii sunt de tip sprijin cu unul din capetele segmentelor atomice.) Sensul acestui vector dă informații în legătură cu poziția relativă a primului vector față de poligon: dacă vectorul rezultat are sensul normalei la poligon, segmentul iese din interiorul poligonului, iar dacă vectorul rezultat are sens opus normalei, segmentul intră în interiorul poligonului. Fiecarui segment i se asociază un fanion care va primi valoarea *IN*, *OUT* sau *ON* în funcție de situația concretă.

În algoritmul pentru eliminarea liniilor și suprafețelor ascunse, această operație este suficientă deoarece interesează poziția segmentelor unei muchii relativ la un poligon. În cazul algoritmului pentru efectuarea operațiilor booleene dintre solide, când interesează poziția relativă a segmentelor față de două poligoane, clasificarea trebuie făcută ținând seama de faptul că un segment de intersecție trebuie să fie interior ambelor poligoane [Zei91].

CAPITOLUL 7**ALGORITM ORIGINAL PENTRU
MODELAREA SOLIDELOR
FOLOSIND OPERATIILE
BOOLEENE****7.1. PRINCIPIUL DE BAZA AL ALGORITMULUI**
[MV194] [MV294][MV394]

Algoritmul pentru efectuarea operatiilor booleene având ca operanzi solide permite tratarea singularităților de tip suprapunere de muchie - muchie, muchie - față, față - față, vertex - vertex sau vertex - muchie. Algoritmul poate stabili numărul obiectelor rezultate și tipul fiecăruia și reușește să construiască obiecte regulate din punct de vedere topologic. Acest lucru este obținut prin modul în care se efectuează operațiile.

În prima fază, se intersectează fiecare față a unui obiect cu fiecare față a celuiălalt obiect. Acest lucru se face de fapt prin intersecțiile muchiilor perechilor de fețe luate pe rând în considerare, precum și prin intersecțiile muchiilor unei fețe cu planul în care se găsește cealaltă față. Ca urmare a acestei operații, se obțin muchii atomice, care nu mai pot fi divizate prin altă operație. Acelor muchii le sunt asociate toate atributele topologice necesare construcției obiectelor rezultante.

Se folosește un arbore de decizie pentru a se face distincție între intersecții și suprapuneri ale muchiilor atomice, luând în considerare precizia calculelor și

erorile de aproximare. 99% din erorile detectate se datoresc acestor tipuri de probleme.

Descompunerea elementelor unui obiect în entități atomice (multimea fetelor plane intersectabile descompuse în fete neintersectabile mărginite de muchii atomice) se face în patru etape logice: găsirea fetelor potential intersectabile, calcularea intersecțiilor și definirea muchiilor atomice; împărțirea fetelor intersectate și definirea noilor fete atomice; redefinirea noilor muchii sau perechi multiple de muchii dintre doi vertexi asociind perechi de fete atomice după cum se impune din punct de vedere topologic. Toate singularitățile sunt tratate într-o manieră uniformă. Pe baza acestor informații se poate construi obiectul sau obiectele rezultate.

Indiferent de numărul operanzilor care intervin într-o sesiune de lucru, algoritmul ia în considerare la un moment dat o singură pereche. Între cei doi operanzi nu trebuie făcută nici o distincție dacă ei intervin în operația de reuniune sau intersecție, deoarece acestea sunt operații comutative. În cazul diferenței însă, trebuie stabilită cu precizie ordinea operanzilor, deoarece diferența nu este comutativă. În acest caz, primul operand se va numi corp moale, iar al doilea tare, deoarece rezultatul diferenței reprezintă acea parte din primul operand care nu are puncte comune cu al doilea (din primul operand se detasează acele părți care sunt situate în exteriorul celui de-al doilea).

Algoritmul pentru efectuarea operațiilor booleene tratează în mod unitar cazul intersecției, reuniunii și diferenței. Indiferent ce operație trebuie efectuată este necesară stabilirea părților comune ale solidelor operanzi. În cazul reuniunii, solidul rezultat va conține părțile necomune ale celor doi operanzi și partea comună luată o singură dată. În cazul intersecției solidul rezultat va conține părțile comune ale operanzilor, iar în cazul diferenței, partea necomună a primului operand. Conform definiției operațiilor cu mulțimi, s-ar putea ca multimea rezultat să nu poată reprezenta un solid corect din punct de vedere topologic. De aceea, în unele situații, efectuarea operației cerute s-ar putea să nu furnizeze nici un rezultat [Sav94][Mu194][Mu294][MV294].

7.2. STRUCTURILE DE DATE UTILIZATE ÎN PROGRAMUL PENTRU EFECTUAREA OPERATIILOR BOOLEENE ÎNTRE SOLIDE

În multimea structurilor de date ale pachetului de programe care stă la baza sistemului CAD utilizat, există o serie de tipuri care stau la baza descrierii

topologiei solidelor. Pe langa acestea, programul care implementează algoritmul pentru efectuarea operatiilor booleene definește structurile proprii necesare. Din prima categorie fac parte structurile *Volume*, *Poly* si *Vertex*.

Structura *Volume* cuprinde pe lângă altele, câmpuri ce pot contine informatii care interesează în problema modelarii unui solid: un pointer la o listă de blocuri ce contin pointeri la structurile de tip *Vertex* corespunzătoare vârfurilor prin care este definit modelul solidului; un pointer la o listă de blocuri ce contin pointeri la structurile de tip *Poly* corespunzătoare poligoanelor asociate fetelor din care este alcătuit volumul; un pointer la un tablou de structuri de tip *BPoly* care contine informatiile necesare modelării prin operatii booleene, precum si dimensiunea acestui tablou.

Structura *Poly* încapsulează date ce definesc un poligon: normala sa, distanta față de originea sistemului de coordonate; un număr pentru identificarea sa în lista de poligoane ale volumului; numărul unui vârf al său notat *f_point* de la care plecând se poate stabili secventa vârfurilor ce formează conturul poligonului; informatii despre găurile existente în poligon.

Structura *Vertex* este asociată fiecărui vârf al solidului. Ea contine câmpul *number* în care se păstrează numărul vertexului si câmpul *Form* ce pastrează într-un tablou informatii legate de topologia solidului: vertexii de care este legat prin muchii vertexul curent, precum si fetele din care fac parte acestea (ambele tipuri de informatii sunt reprezentate prin numerele de ordine ale vertexilor, respectiv ale poligoanelor asociate fetelor, numărul vertexilor se află la indici pari ai tabloului, iar numărul poligoanelor corespunzătoare la indici impari din tablou).

Câmpurile *coord* si *pers* păstrează coordonatele în sistemul de coordonate al modelului prin structura de tip *Vector* (tablou de trei valori reale), respectiv coordonatele corespunzătoare proiectiei punctului în planul de perspectivă prin structura de tip *Perspective* (tablou de două valori reale), numite coordonate de perspectivă.

Structurile specifice implementarii modelarii prin operatii booleene sunt prezentate mai jos.

Structura *BPoly* este o structură ce descrie o fata a solidului. Ea contine pointerul la structura *Poly* corespunzător fetei si pointerul la structura *Volume* a solidului. Exista deasemenea un tablou indicat de câmpul *bedge* de dimensiune

egala cu valoarea memorata în câmpul *nrc* care pastreaza secventa de muchii ce formeaza conturul fetei. În cazul în care fata contine gauri, se completeaza câmpul *gauri* ce indica un tablou de pointeri la structuri de tip *StrHole*, tablou având dimensiunea memorată în câmpul *hbox*.

Pe parcursul operatiei booleene, pe lângă muchiile initiale ale poligonului, apar segmente de tăiere și atingere introduse în structură în ambele sensuri. Pentru fiecare dintre aceste tipuri există câte un pointer la un tablou de muchii și câte un câmp care păstrează dimensiunea tabloului (*ext*, *inter*, *fext*, *fint*, *cbox*, *ibox*, *febox*, *fibox*).

Câmpul *pl* păstrează pointerul la o structură de tip *PlanB* corespunzătoare planului în care se găsește fata.

În plus, structura contine patru fanioane care sunt folosite pentru diferite operatii și indică de exemplu tipul poligonului din punct de vedere al operatiei booleene, numărul lui, etc.

Structura **Muchie** corespunzătoare unei laturi a unui poligon contine următoarele informatii: punctul de început și punctul de sfârșit ca pointeri la structurile *PVertex* corespunzătoare; poligonul din stânga, respectiv din dreapta muchiei ca pointeri la structuri de tip *BPoly*, linia de intersecție pe care se găsește această muchie, ca pointer la o structură de tipul *LinieB*; lista segmentelor în care este divizată o muchie prin câmpul *cedge*, pointer la un tablou de pointeri la structura de tip *PVertex*, de dimensiune precizată în câmpul *nrc*, patru fanioane utilizate în diferite momente ale prelucrării booleene.

Structura **StrHole** contine un pointer la un tablou cu elemente de tip *Muchie* (*conturg*) și un întreg ce reprezintă dimensiunea acestui tablou (*gbox*).

Elementele tabloului corespund secvenței de muchii care formează conturul găurii.

Structura **PlanB** poate păstra informațiile ce descriu planele care la rândul lor contin fețele solidelor operanzi în operațiile booleene.

Această structură de date reprezintă elementul de bază al unei liste înlănțuite. În afara câmpurilor ce contin informația utilă, există un câmp de tip pointer care asigură înlănțuirea elementelor din listă.

Informațiile păstrate în structura *PlanB* necesare în procesul de intersecție a volumelor ce intervin într-o operație booleană sunt următoarele: parametrii ecuației planului în câmpul *normal* (cosinuzii directori) și *D* (termenul liber);

poligoanele aflate în plan referite prin câmpul *bpoly*, pointer la un tablou de pointeri de tip *BPoly* de dimensiune specificată în câmpul *nipo*.

Structura de date **LinieB** descrie o linie de intersecție dintre două sau mai multe plane. Ea corespunde elementelor ce alcătuiesc lista înlăntuită a tuturor liniilor de intersecție formate între planele ce conțin fețele solidelor ce intervin în operația booleană dorită. De aceea, pe lângă informația referitoare la o astfel de linie, structura mai conține și pointerul de înlăntuire.

Informațiile referitoare la linia de intersecție sunt următoarele: caracteristicile geometrice ale liniei (direcția ei și un punct prin care trece, păstrate în câmpuri de tip *Vector*, *dir* și *pct*); un pointer la un tablou de pointeri la structuri de tip *PlanB* (*plane*) și un întreg ce reprezintă dimensiunea acestui tablou (*npl*), plane care se intersectează după linia curentă; un pointer la un tablou cu elemente de tip *McPol* (*mcpol*) și un întreg ce reprezintă dimensiunea lui (*nmp*), tablou ce conține muchiile situate pe această linie de intersecție.

Structura **McPol** conține un pointer la un tablou de pointeri la muchii (*mc*) și un întreg care reprezintă dimensiunea acestui tablou (*mcbbox*). Muchiile indicate prin pointerii conținuți în tablou au proprietatea că se găsesc pe aceeași linie de intersecție dintre două sau mai multe plane.

Structura **LBEde** este folosită pentru păstrarea informației referitoare la punctele de intersecție dintre o linie și muchiile a două poligoane. Linia este determinată de intersecția planelor în care se găsesc cele două poligoane. Ea va mai fi referită ca linie infinită.

Aceste informații trebuie să asigure stabilirea porțiunilor de pe linie care se vor marca în cele două poligoane ca muchii de tăiere (intersecție) sau de atingere (muchii care se sprijină pe o față).

Pentru a reține toate punctele de intersecție, se crează o listă de elemente de tipul **LBEde**. În această listă, elementele sunt ordonate în funcție de coordonatele punctului de intersecție dintre o muchie a unui poligon și linia de intersecție.

Informațiile conținute într-un element de tip **LBEde** sunt următoarele: coordonatele punctului de intersecție; pointer la muchia din primul poligon cu care s-a intersectat linia infinită în acest punct; pointer la muchia din al doilea poligon cu care s-a intersectat linia infinită în acest punct; primul poligon care a intervenit în operația de intersecție; al doilea poligon care a intervenit în operația de intersecție; câte un fanion care specifică faptul că linia de intersecție intră sau

iese din primul, respectiv al doilea, poligon; câte un fanion care indică faptul că muchia din primul, respectiv al doilea, poligon se găsește pe linia infinită.

Pentru muchiile aflate pe linia de intersecție, vor exista, în listă, două elemente: un element corespunzător punctului de început și un element corespunzător punctului de sfârșit al muchiei.

Structura **IntExtL** este folosită pentru crearea unei liste de muchii sau segmente de muchii ce pot forma conturul unui poligon. Astfel de contururi sunt necesare în diferite etape ale algoritmului. Muchiile pot fi muchii initiale, segmente de muchii initiale, muchii de tăiere interioare sau exterioare și muchii de atingere interioare sau exterioare sau segmente ale acestora.

Fiind folosită într-o structură dinamică de listă înlântuită, conține un pointer pentru a indica elementul următor.

Câmpurile acestei structuri sunt următoarele: un pointer la o structură de tip *Muchie* corespunzătoare muchiei considerate sau corespunzătoare muchiei căreia îi aparține segmentul considerat; doi pointeri la structuri de tip *PVertex* care corespund punctelor de început și de sfârșit ale muchiei sau segmentului de muchie considerat; fanionul *poz* care conține numărul de ordine al segmentului de muchie care interesează; câmpul *tip* care este folosit pentru a specifica tipul muchiei sau al segmentului de muchie (tăietură sau atingere, interioară sau exterioară).

Structura **TabPol** este folosită la crearea unei liste înlântuite de poligoane de tip *BPoly*, poligoane din care în final se va obține solidul rezultat al operației booleene.

Structura *TabPol* are ca elemente un pointer la o structură de tip *BPoly* corespunzătoare unui poligon (*pol*) și un câmp de înlântuire spre următorul element din listă (*next*).

Structura **ListPol** este necesară în procesul de stabilire a poziției relative a două unghiuri diedre. Ea este utilizată la crearea unei liste de vectori care să corespundă amplasării spațiale a celor patru poligoane care formează fețele a două diedre cu muchia comună.

Unul din diedre este format din poligoane sau porțiuni de poligoane din primul volum, iar al doilea diedru din poligoane sau porțiuni de poligoane din al doilea volum.

Cunoașterea poziției relative a acestor fețe ale diedrului este esențială în procesul de selecție a poligoanelor care vor forma diedrul sau diedrele

rezultante, în funcție de operația booleană cerută. Odată creată această listă se poate fixa și tipul poligoanelor (exterioare, interioare sau de frontieră).

Printr-o convenție se stabilește poligonul stâng și poligonul drept al fiecărui diedru și se asociază câte un vector fiecărei fețe. Rezultă astfel patru vectori numiți prin convenție: stânga moale (*SM*), stânga tare (*ST*), dreapta moale (*DM*), dreapta tare (*DT*), în funcție de solidul din care provin. Vectorii se aleg perpendicular pe muchia diedrului, incluși în poligonul căruia îi sunt asociați. Ordonarea se face plecând într-un anumit sens de la vectorul stânga moale și luând în ordine toți ceilalți vectori întâlniți.

Structura *ListPol* conține informații referitoare la fețele care se sprijină pe două muchii suprapuse: vectorul corespunzător fiecărei fețe; tipul acestui vector (din ce volum face parte și de care parte a muchiei se găsește: *SM* - fata din stânga din volumul moale, *ST* - fata din stânga din volumul tare, *DM* - fata din dreapta din volumul moale, *DT* - fata din dreapta din volumul tare); poligonul căruia îi este asociat vectorul; pointer spre următorul element al listei; pointer spre un eventual element al listei corespunzător unui poligon coplanar poligonului curent.

Există posibilitatea ca două poligoane să fie coplanare (de tip *FRONTIERA*), caz în care vectorii corespunzători lor sunt identici. În această situație lista se ramifică pe o a doua direcție cu ajutorul celui de-al doilea pointer la o structură de tip *ListPol*. Muchia comună în astfel de situații se spune că este de tip "atingere" și poate fi interioară (dacă normalele poligoanelor sunt în același sens) sau exterioară (dacă normalele sunt în sensuri opuse).

Structura *CutLine* este necesară în stabilirea liniei de separație dintre două volume. Ea este folosită la crearea unei liste formate din muchii care delimitează două volume.

În afara de câmpul pentru înlănțuire, structura de tip *CutLine* conține următoarele informații: un pointer la o listă ce conține muchiile ce formează linia de separație în elemente de tip *IntExtL*; un număr asociat fiecărei linii de separație, care va fi utilizat în operația de identificare a volumelor finale; un câmp care indică faptul că linia a fost sau nu tratată.

Structura de date *Class* este folosită la crearea unei liste ce conține întregi care reprezintă numerele de ordine ale liniilor de separație echivalente. Liniile de separație determină împărțirea volumului inițial în mai multe volume. Se spune că două linii de separație sunt echivalente dacă pe ele se sprijină poligoane din același volum.

La construirea liniilor de separatie, se atribuie fiecăreia un număr de ordine. Initial, numărul corespunzător unei linii va fi asociat tuturor poligoanelor care au cel puțin o muchie pe acea linie. În etapa următoare numărul asociat unui poligon va fi atribuit și poligoanelor vecine lui, astfel că, din aproape în aproape, toate poligoanele vor ajunge să fie asociate unei anumite linii de separatie.

Dacă prin acest procedeu de propagare, se întâlnesc două poligoane vecine care au numere diferite, corespunzând la linii de separatie diferite, aceste numere se trec în aceeași clasă, fiind echivalente. O astfel de listă de numere echivalente va conduce în final la un volum unic.

Structura de date *Class* contine doar un câmp de tip întreg corespunzător unui număr de linie de separatie și un pointer de înlântuire.

Structura *EchClass* contine pointerul la un tablou cu elemente de tip *Class* și un întreg ce reprezintă dimensiunea acestui tablou.

În final, dimensiunea acestui tablou reprezintă numărul de volume rezultate în urma operatiei booleene efectuate [Mu294].

7.3. IMPLEMENTAREA ALGORITMULUI DE EFECTUARE A OPERATIILOR BOOLEENE INTRE SOLIDE

În continuare se face o descriere a principalelor operații efectuate de programul ce implementează operațiile booleene pentru solide [Mu294].

Odata selectate corpurile operanzi și operația de efectuat, se considera pe rând câte o pereche de solide. Pentru acești doi operanzi se completează structurile de date necesare și se stabilesc și bounding-box-ul fiecărei fețe și a solidului. Operația booleană se efectuează numai dacă bounding-box-urile celor două corpuri se intersectează.

Se construiește lista tuturor planelor care conțin fețele celor două corpuri și lista tuturor liniilor de intersecție dintre aceste plane. Aceste linii de intersecție vor fi referite și ca linii infinite.

Odată stabilite datele initiale necesare, se trece la următoarea etapă a algoritmului, efectuarea intersecției celor două solide, stabilirea muchiilor și poligoanelor atomice și alegerea acelor care vor face parte din volumele rezultat, în funcție de operație. Dacă operația este de reuniune se aleg poligoanele *EXTERIOARE* de la ambele corpuri, dacă operația este de intersecție se aleg poligoanele *INTERIOARE* din ambele corpuri, iar dacă operația este de diferență

se aleg poligoanele *EXTERIOARE* de la corpul moale si poligoanele *INTERIOARE* de la corpul tare.

Prin operatia de intersectie se obtin segmente de tăietură sau atingere pe poligoane, în functie de pozitia lor față de poligoanele celuilalt corp. Dacă două poligoane se intersecteaza printr-un segment aflat în interiorul lor, segmentul se numeste de tăietură. Dacă poligoanele se intersecteaza de-a lungul unei muchii a unuiu sprijinită în interiorul celuilalt, segmentul se numeste de atingere. Obținerea acestor segmente se face prin intersectia fiecărei linii din lista liniilor de intersectie cu perechi de poligoane din solide diferite situate în planele care au determinat linia de intersectie curentă. Pentru reducerea calculului, intersectia se face doar dacă bounding-box-urile poligoanelor se intersectează.

Intersectia dintre un poligon cu o linie infinită se efectuează prin intersectia cu linia infinită a tuturor muchiile poligonului, inclusiv muchiile de gaură. Punctele de intersectie determină niste segmente, care în functie de pozitia lor relativa la poligoanele pereche considerate, vor fi memorate într-un anumit tablou din structura *BPoly*.

Când procesul de intersectie este încheiat, se trece la stabilirea poligoanelor atomice ce se formează tinând seama de muchiile initiale si muchiile noi apărute pe fiecare poligon. În functie de tipul muchiilor care formează fiecare poligon, se stabileste tipul poligonului (*EXTERIOR*, *INTERIOR*, *NEUTRU* sau *GAURA*). Dacă dintr-un poligon initial rezultă mai multe poligoane, se stabilesc caror poligoane li se asociaza găurile.

O atentie specială se acordă cazurilor de suprapunere a doua sau mai multe muchii. În această situatie este util să se cunoască tipul muchiei, din punct de vedere a tipului diedrului format de poligoanele învecinate muchiei. Un diedru ascutitunghic dă tipul muchiei *HILL*, unul obtuzunghic dă tipul *VALLEY*, iar unul de 180 grade dă tipul *FISSURE*.

În cadrul functiilor de tratare a acestor cazuri, în functie de operatie si de pozitia relativa a semiplanelor care formeaza diedrele, se stabileste diedrul sau diedrele care vor face parte din volumul rezultat, si deci elementele diedrelor care trebuie eliminate (ambele muchii si deci toate patru poligoanele ce se sprijina pe muchii sau o muchie si poligoanele corespunzatoare ei sau cate un poligon de la fiecare muchie).

În vederea procesului de selectie a poligoanelor care vor face parte din volumul rezultat, se utilizeaza un algoritm de propagare a tipului poligoanelor. În acelasi scop se efectuează testul de interior, care poate detecta cavitatile.

În cazul diferenței a două corpuri, poligoanele din lista de poligoane care au tip *INTERIOR* vor fi inversate, adică li se va inversa sensul muchiilor și al parametrilor ecuației planelor în care se găsesc.

Pentru a stabili dacă rezultatul operației booleene este reprezentat de unul sau mai multe volume, este necesar să se stabilească existența sau inexistența unor linii de separație. Acestea pot fi formate din secvențe de segmente de tăietură, dar și din secvențe de segmente de atingere. În afară de aceste linii de separație se încearcă închiderea unor linii pe muchiile multipluconexe. Dacă există astfel de muchii se generează două linii formate doar din două muchii pentru fiecare muchie de tip multipluconex.

Tot printr-un algoritm de propagare, plecând de la poligoanele care au muchii pe liniile de separație, se stabilește mulțimea poligoanelor care formează un volum rezultat. Pentru o astfel de mulțime, este necesar să se stabilească dacă în același plan există poligoane care au segmente comune, caz în care cu ajutorul unui algoritm de selecție a muchiei celei mai din dreapta, se va forma un nou poligon ca reuniune a poligoanelor inițiale. Pentru astfel de cazuri este necesar să se verifice existența muchiilor coliniare și înlocuirea lor cu o singură muchie.

Ultima operație ce trebuie efectuată constă în completarea structurilor *Volume*, *Poly* și *Vertex* corespunzătoare volumelor rezultate, pe baza informațiilor conținute în structurile *BPoly*, *Muchie* și *PVertex*, ale poligoanelor atomice generate prin algoritmul de efectuare a operațiilor booleene.

7.4. FUNCȚIA PRINCIPALĂ CARE IMPLEMENTEAZĂ ALGORITMUL DE EFECTUARE A OPERAȚIILOR BOOLEENE

Funcția **BooleanOp** asigură apelul funcțiilor care implementează principalele etape ale algoritmului pentru efectuarea operațiilor booleene dintre două solide [Mu294].

Funcția primește ca parametru un tablou cu doi pointeri la structurile *Volume* ale solidelor între care se va efectua operația booleană. Primul pointer corespunde solidului moale, iar al doilea celui tare. Funcția returnează 0 pentru caz de eroare, 1 pentru operație executată corect sau 2 pentru operație imposibilă, când solidele nu au puncte comune. Cazul de eroare poate fi stabilit în diferite etape ale algoritmului și de aceea se folosește variabila globală *bool_err*, a cărei setare va provoca întreruperea execuției programului.

Prin apelul funcției `InitBook()` se initializează lista care va conține liniile de intersecție între plane precum și lista planelor volumelor.

Se apelează apoi funcția `MakeBPoly()` cu argument volumul moale, funcție care creează tabloul structurilor de tip *BPoly* corespunzătoare tuturor fetelor volumului. Urmează apelul funcției `GetRightPoly()` care completează pointerii la poligoanele din stânga și dreapta fiecărei muchii a volumului moale. Poligonul stâng este poligonul care conține muchia respectivă cu convenția parcurgerii conturului fetei cu materialul la stânga, respectiv poligonul drept este poligonul care conține aceeași muchie însă parcursă în sens invers.

În continuare se completează lista planelor celor două volume, prin apelul funcției `MakePlaneList()`, precum și lista liniilor de intersecție dintre toate planele celor două volume cu ajutorul funcției `MakeLineList()`.

Se crează lista cu antet *tabpol* care va conține în final toate poligoanele ce vor forma volumul rezultat.

Apelul funcției `PolyInter()` va rezolva marea majoritate a problemelor legate de intersecția poligoanelor și construcția poligoanelor ce vor forma noul volum. Dacă această funcție se termină cu succes, se continuă cu următoarele operații:

Se stabilesc liniile de separație, contururi închise formate din segmente de tăiere, cu ajutorul funcției `CloseInterLine()`.

Se apelează funcția `GetDrPoly` care determină poligonul drept al muchiilor tuturor poligoanelor de tip *FRONTIERA*.

Funcția `ExtractPolyPlan()` elimină din *tabpol* poligoanele ce nu vor face parte din noul volum.

Se apelează funcția `RemakePoly()` care la nivelul fiecărui plan formează poligoanele atomice și determină care dintre ele sunt găuri și căror poligoane le aparțin. Dacă este cazul, se apelează funcția `Comasare()` care formează o singură muchie din mai multe muchii coliniare.

În final, prin funcția `RemakeVolumes()` se construiește noul volum plecând de la poligoanele acestuia, completând structurile de date referitoare la virfurile și fețele solidului rezultat.

7.5. FUNCTIILE CARE IMPLEMENTEAZA ALGORITMI DIN CAPITOLUL 6

7.5.1. Functii care implementează algoritmi pentru testele de bounding-box

Functia **Test** stabileste dacă două bounding-box-uri tridimensionale au puncte comune. Dacă acest lucru nu se întâmplă, operațiile de intersecție dintre elementele ale căror bounding-box-uri au fost testate, nu mai trebuie efectuate. Functia este utilizată pentru bounding-box-urile solidelor și ale fetelor.

7.5.2. Implementarea algoritmului pentru aflarea unui punct situat pe un segment dat când se cunoaște raportul în care punctul împarte segmentul

Acest algoritm a fost implementat prin intermediul macroinstrucției **GET_POINT** pentru cazul în care se lucrează în spațiul modelului.

Prin argumentele ei, se dau următoarele informații: numele variabilei de tip *Vector* care va conține coordonatele punctului căutat, segmentul specificat printr-un punct și direcția lui, de asemenea, în spațiul modelului, precum și raportul în care punctul căutat trebuie să împartă segmentul, raport exprimat printr-un număr real, subunitar.

Macroinstrucția conține operațiile specificate în paragraful 6.2 care efectuează calculele pentru determinarea coordonatelor spațiale ale punctului căutat.

7.5.3. Implementarea algoritmului pentru calculul distanței de la un punct la o dreaptă

Functia **Dist** implementează algoritmul pentru calculul distanței de la un punct la o dreaptă specificată prin două puncte. Aceste date sunt transmise funcției prin argumentele ei de tip *Vector*. Primul argument corespunde punctului dat prin coordonatele lui spațiale, iar următoarele argumente corespund coordonatelor spațiale a doua puncte prin care trece dreapta față de care se calculează distanța.

Funcția efectuează calculul distanței prin intermediul relațiilor prezentate în paragraful 6.3.1 pentru cazul lucrului în 3D.

7.5.4. Funcția care implementează algoritmul pentru determinarea poziției relative a unui punct față de un poligon dat

Funcția **TestOnPoly** primește ca argumente un pointer la structura corespunzătoare unui poligon și un pointer la structura *Vector* corespunzătoare unui punct. Funcția verifică dacă punctul se găsește pe vreuna din muchiile poligonului. Valoarea returnată este pointerul la muchia care conține punctul specificat sau pointerul NULL când punctul nu se găsește pe nici o muchie.

Funcția **TestOnLineB** stabilește dacă punctul se găsește pe o muchie dată. Ea are ca argumente pointerul la structura punctului și pointerul la structura muchiei. Dacă punctul este pe muchie, returnează valoarea 1, altfel valoarea returnată este 0.

7.5.5. Funcția care implementează algoritmul pentru determinarea poziției relative a două segmente

Funcția **Verificare** implementează algoritmul prezentat în paragraful 6.4.6 pentru cazul în care cele două segmente sunt precizate prin coordonate spațiale ale capetelor lor.

Parametrii funcției sunt coordonatele spațiale a patru puncte prin care sunt determinate cele două segmente de dreaptă.

Funcția determină poziția relativă a două segmente de dreaptă, mai concret care este poziția unei muchii față de o linie de intersecție.

Funcția determină distanțele de la capetele muchiei (primii doi parametri) la linia infinită (ultimii doi parametri) și returnează o valoare întreagă în funcție de poziția lor relativă. Funcția va returna -1 dacă segmentele de dreaptă nu se intersectează, 0 dacă există un punct de intersecție a celor două segmente, 3 dacă cele două segmente se găsesc pe același suport, 1 dacă muchia se sprijină cu punctul de început pe linie și 2 dacă muchia se sprijină cu punctul de sfârșit.

7.5.6. Implementarea algoritmului pentru determinarea liniei de intersecție dintre două plane

Funcția InterLine are ca parametri de intrare doi pointeri la elemente din lista *planeb* corespunzătoare la două plane și doi parametri de ieșire elemente de tip *Vector*.

Funcția are rolul de a determina linia de intersecție dintre cele două plane care au fost transmise ca parametri. Linia va fi returnată funcției apelante prin cei doi parametri de ieșire care reprezintă direcția ei și un punct prin care trece.

Valoarea returnată de funcție este un short care indică dacă operația de intersecție a decurs normal (valoare returnată 1) sau dacă planele nu au putut fi intersectate (valoare returnată 0).

7.5.7. Implementarea algoritmului pentru selecția unei muchii în procesul de stabilire a conturului unui poligon atomic

Funcția **ChooseNext** implementează algoritmul pentru selecția unei muchii în procesul de stabilire a conturului unui poligon atomic descris în paragraful 6.6.1.

Funcția primește ca argumente o listă de muchii în care se va insera muchia aleasă ca fiind cea mai la stânga, o listă cu muchiile dintre care se va alege muchia cea mai la stânga, poligonul în cauză și punctele de început și sfârșit ale muchiei față de care se face alegerea.

7.5.8. Implementarea algoritmului pentru selecția unei muchii în cazul stabilirii conturului unui poligon obținut prin reuniunea mai multor poligoane

Funcția **ChooseRightNext** implementează algoritmul prezentat în paragraful 6.6.2.

Funcția alege din mai multe muchii, muchia situată cea mai la dreapta față de o muchie dată. Implementarea este asemănătoare cu cea din funcția **ChooseNext**().

Funcția primește ca argumente o listă de muchii în care se va insera muchia aleasă ca fiind cea mai la dreapta, o listă cu muchiile dintre care se va alege muchia cea mai la dreapta, poligonul în cauză și punctele de început și sfârșit ale muchiei față de care se face alegerea.

7.5.9. Implementarea algoritmului pentru determinarea pozitiei relative a unui punct fata de un poligon

Funcția **PointInter** implementeaza algoritmul descris in paragraful 6.7.1, pentru cazul in care punctul si poligonul sunt specificate in spatiul 3D.

Funcția primește ca argumente pointerul la structura *BPoly* corespunzătoare unei fete si pointerul la structura unui punct si testează dacă punctul respectiv se găsește în interiorul poligonului.

Dacă punctul se găsește în interiorul poligonului se returnează valoarea 1, iar dacă punctul se găsește în exterior se returnează valoarea 0.

7.5.10. Implementarea algoritmului de clasificare

Funcțiile **InfIntersect** si **ProcessList** implementeaza algoritmul de clasificare prezentat în paragraful 6.12. Prima funcție stabilește punctele de intersecție dintre o linie infinită si două poligoane si poziția relativă a fiecărui segment al liniei fata de fiecare poligon, iar a doua funcție stabilește poziția relativă a fiecărui segment fata de ambele poligoane.

Funcția **InfIntersect** inserează în lista punctelor de intersecție informația referitoare la punctul de intersecție dintre o muchie si o linie de intersecție, în cazul în care acesta există.

Parametrii funcției sunt: pointerii la structura muchiei si liniei între care se caută punctul de intersecție; pointerul la structura corespunzătoare poligonului din care face parte muchia; pointerul la lista *l* în care se memorează punctele de intersecție; coordonata după care se ordonează punctele pe linia de intersecție; sensul liniei infinite în raport cu coordonata de ordonare; un fanion prin care se precizează dacă muchia face parte din volumul moale sau tare; un punctul *P* de pe linia infinită.

Tipul de intersecție este furnizat de funcția **Verificare()**.

Dacă muchia nu se intersectează cu linia infinită, se părăsește funcția.

Pentru celelalte situații se determină distanțele *d1* si *d2* de la extremele muchiei la linia infinită. Dacă cele două drepte sunt suprapuse, distanțele sunt nule. Pentru cazul de intersecție, distanțele sunt calculate cu funcția **Dist()**.

În funcție de aceste distanțe apar mai multe cazuri distincte.

1. Dacă muchia se sprijină cu punctul de început pe linia infinită ($d1 = 0$, $d2 \neq 0$) se execută următoarea secvență de operații:

Se determină muchia anterioara muchiei în discutie cu funcția `GetPrevEdge()` și se testează poziția acestei muchii față de linia infinită și față de muchia în discutie. Pentru aceasta se calculează produsul mixt între linia de intersecție, muchia găsită și normala planului care le conține, respectiv produsul mixt dintre linia de intersecție, muchia în discutie și normala planului. Produsul mixt este calculat cu ajutorul macroinstructiei `MIXTPRD`. Dependent de valorile celor două produse apar mai multe cazuri.

Dacă muchia anterioara muchiei curente este de-a lungul liniei de intersecție (primul produs mixt este zero) și dacă muchia care se sprijină pe linia de intersecție nu este nici prima, nici ultima muchie din lista de muchii a poligonului, se trece la următoarea muchie din lista și se revine din funcție.

Dacă cele două produse mixte au același semn, ceea ce înseamnă că cele două muchii ale poligonului se află de o parte și de alta a liniei infinite și dacă sunt și negative atunci linia de intersecție intra în poligon (se poziționează variabila *inout* pe *IN*), iar dacă sunt pozitive linia de intersecție iese din poligon (*inout* = *OUTB*).

Dacă însă cele două produse au semne contrare, deci cele două muchii se află de aceeași parte a liniei infinite și se sprijină cu punctul lor comun pe aceasta, se calculează produsul mixt și între cele două muchii și normala planului în care se află. Dacă produsul este negativ, *inout* este poziționat pe *IN* (linia infinită se află în interiorul poligonului, fiind în partea stânga a celor două muchii după sensul de parcurgere al acestora), iar dacă este pozitiv *inout* = *OUTB* (linia de tăiere este în exteriorul poligonului, acesta sprijinându-se cu un vârf pe ea).

Ultima operație o constituie inserarea în lista punctelor de intersecție a punctului în care se sprijină muchia testată pe linia de intersecție. Inserarea se face cu funcția `InsLBEde()`.

2. Dacă ambele distanțe *d1* și *d2* sunt diferite de zero, caz în care punctul de intersecție se află între punctele *P1* și *P2*, se procedează în modul următor:

Se calculează produsul mixt între linia infinită, muchia în discutie și normala planului ce conține aceste drepte. Dacă produsul este negativ înseamnă că linia infinită intra în poligon tăind muchia în discutie. În caz contrar linia infinită iese din poligon. Dacă muchia nu este segmentată, coordonatele punctului de intersecție se determină cu funcția `GET_POINT()`, iar apoi punctul va fi inserat în lista de puncte / corespunzătoare liniei infinite. În schimb, dacă muchia este segmentată, este necesar să stabilim care este segmentul pe care va fi poziționat noul punct de intersecție. Pentru aceasta se ia pe rând fiecare segment al muchiei din tabloul indicat de câmpul *cedge* al muchiei și se testează poziția lui față de linia infinită folosind funcția `Verificare()`. Apar din nou mai multe situații:

segmentul se sprijină cu unul din vârfuri pe linie, caz în care funcția `InsLBEde()` va primi ca parametru vârful corespunzător; capetele segmentului se află de o parte și de alta aliniei infinite, deci punctul de intersecție este în interiorul segmentului. Pentru această situație se calculează distanțele de la capetele segmentului la linia infinită cu funcția `Dist()` și apoi se determină punctul de intersecție cu `GET_POINT()`. Acesta apoi este inclus în lista *l*.

3. Dacă ambele distanțe *d1* și *d2* sunt nule, ceea ce înseamnă că muchia se suprapune peste linia infinită, câmpul *li* al muchiei va primi valoarea pointerului la linia infinită. Se indică în acest mod că muchia este suprapusă peste o linie de intersecție.

Dacă sensul muchiei este contrar sensului liniei infinite, se caută muchia care o precede pe aceasta folosind funcția `GetPrevEdge()` și se determină poziția muchiei găsite în raport cu linia infinită. Pentru aceasta se face produsul mixt între direcția liniei infinite, muchie și normala planului care le conține. Dacă produsul este negativ, linia infinită intră în interiorul poligonului (este în partea stângă a celor două muchii) și înout primește valoarea *IN*. În caz contrar linia se află în exteriorul poligonului, acesta s-a sprijinit doar cu o muchie pe linie (*inout* = *OUTB*). Apoi, atât punctul de început cât și cel de sfârșit al muchiei sunt inserate în lista de puncte *l* corespunzătoare liniei de intersecție.

Dacă sensul muchiei este identic cu cel al liniei, se caută următoarea muchie din contur cu funcția `GetNEde()`. Apoi, în mod similar situației anterioare, se cercetează poziția noii muchii găsite în raport cu linia de tăiere.

Punctele de început și de sfârșit ale muchiei vor fi inserate în lista *l* a liniei infinite. La inserarea punctelor în lista *l* se precizează că ele sunt capetele unei muchii ce se suprapune peste linia infinită. Acest lucru se face poziționând pe *ON* un parametru al funcției `InsLBEde()`. Funcția primește tot ca parametru și variabila *inout* setată de către funcția `InfIntersect()`.

Funcția **ProcessList** determină toate segmentele comune rezultate în urma intersecției dintre două poligoane și le inserează în tabelele de muchii ale poligoanelor.

Parametrii funcției sunt pointerii la cele două poligoane care au fost intersectate și pointerul la lista ce conține punctele de intersecție.

Dacă primul element din lista nu corespunde unui punct care aparține ambelor poligoane, adică nu are completate ambele câmpuri *po1* și *po2*, se parcurge lista până când se va găsi un punct care să aparțină de un poligon, altul decât cel în care este inclus primul punct din lista sau până este găsit un punct care să aparțină ambelor poligoane. În cazul în care nici un punct de intersecție nu

îndeplinește una din aceste condiții, se revine în funcția apelantă, deoarece poligoanele nu au segmente comune. Se verifică în acest mod dacă pe linia de intersecție există puncte din ambele poligoane.

Dacă una din condiții a fost verificată, se parcurge din nou lista de la început. Dacă primul punct nu aparține ambelor poligoane, se stabilește poligonul în care este inclus. Dacă aparține poligonului din volumul moale, se caută în lista un punct care face parte din cel de-al doilea poligon. În cazul în care nu există nici un punct de intersecție din poligonul al doilea se părăsește funcția. Analog se tratează și situația în care primul punct din lista aparține volumului tare.

Dacă însă punctele de pe linia infinită sunt grupate unele dintr-un poligon și altele din celalalt, înseamnă că poligoanele nu se intersectează și deci procesarea listei nu mai are rost.

Următorul pas îl constituie verificarea existenței unei muchii a poligonului moale pe linia de intersecție. Pentru aceasta se testează câmpul *on1* al fiecărui punct. În cazul în care există o astfel de muchie, pentru toate punctele de intersecție situate în interiorul muchiei, câmpul *on1* va primi valoarea câmpului *on1* al punctului din capatul muchiei (valoarea *ON*).

Se parcurge din nou lista pentru a stabili care segmente de pe linia de intersecție se află în interiorul poligonului moale. Pentru toate punctele situate între punctul care are câmpul *inout1* poziționat pe *IN* (punctul în care linia de intersecție patrunde în poligonul moale) și punctul al cărui câmp *inout1* are valoarea *OUTB* (punctul în care linia de intersecție iese din poligonul moale), se poziționează câmpul *inout1* pe *IN*. Se marchează astfel toate segmentele din linia infinită care sunt incluse în poligonul moale.

Ultimele două operații se repetă și pentru cel de-al doilea poligon, poligonul ce aparține volumului tare. Se găsesc toate muchiile care sunt suprapuse peste linia de tăiere precum și toate segmentele din linia de intersecție care sunt în interiorul poligonului.

Se caută apoi în lista punctele care se află atât în interiorul poligonului moale cât și în interiorul poligonului tare (puncte pentru care câmpurile *inout1* și *inout2* au valoarea *IN*). Primul punct ce îndeplinește aceste condiții este punctul de început al unui segment de intersecție dintre cele două poligoane. Segmentul determinat de acest punct și de punctul care îi succede în lista, va fi înscris în ambele poligoane. Inserarea este realizată cu ajutorul funcției *CalcIntExt()*. Parametrii cu care este apelată funcția diferă în funcție de faptul că punctul în discuție aparține sau nu unei muchii de frontieră (situată de-a lungul liniei de intersecție). Vor exista trei moduri de apel al funcției:

1. pentru cazul când punctul aparține și unei muchii de frontieră din volumul moale;
2. pentru cazul când punctul aparține unei muchii de frontieră din volumul tare;
3. cazul când punctul nu aparține nici unei muchii de frontieră.

Procesul continuă căutându-se în lista / alte segmente de intersecție dintre poligoane. Operația ia sfârșit când toate aceste segmente au fost incluse în poligoanele în care au fost create.

Dacă în lista există puncte cu câmpurile *inout1*, *inout2*, *on1* și *on2* setate, se apelează funcția *CutSupr()*. Aceasta determină poziția relativă a celor două muchii suprapuse și le taie în funcție de caz [Sav94] [Mu194] [Mu294] [Mu394].

7.6. FUNCȚIILE CARE IMPLEMENTEAZĂ CREAREA STRUCTURILOR DE DATE NECESARE PENTRU EFECTUAREA OPERAȚIILOR BOOLEENE

Funcția *InitBool*

Funcția *InitBool()* crează lista cu antet *linii*, care va conține informațiile referitoare la liniile de intersecție dintre plane și lista cu antet *planeb*, care va conține informațiile referitoare la toate planele care conțin fețele solidelor.

Variabila externă *l_linii* indică ultimul element al listei liniilor de intersecție, iar variabila externă *l_planeb*, indică ultimul element din lista *planeb*.

Funcția *MakeBPoly*

Funcția are rolul de a completa structurile de date ce trebuie să conțină informația referitoare la fețele unui volum, în vederea efectuării operațiilor booleene. Aceste date necesare apar ca și câmpuri în structura *BPoly* care va fi asociată fiecărui poligon al volumului.

Funcția primește ca argument un pointer la un volum. Pentru acest volum se completează câmpul *polygon* care va indica un tablou cu elemente de tip *BPoly*, fiecare element corespunzând câte unui poligon al volumului. Pentru fiecare element de tip *BPoly* se vor completa câmpurile *bedge* și *bbox*. Pointerul *bedge* va indica un tablou cu elemente de tip *Muchie*, iar câmpul *bbox* va

reprezenta dimensiunea acestui tablou. Tabloul va păstra muchiile poligonului în ordinea în care apar plecând din vârful indicat de câmpul *f_point* al structurii *Poly* corespunzătoare poligonului curent.

Functia începe prin a verifica dacă câmpul *polygon* al volumului este completat sau nu. În caz afirmativ se paraseste functia, deoarece volumul a mai intervenit într-o operatie booleană anterioară si informatia referitoare la poligoanele lui a fost deja completată.

Se parcurg toate poligoanele volumului si pentru fiecare poligon se insereaza un nou element în tabloul indicat de câmpul *polygon* al volumului, apelând functia *InsertPolyB()* si se modifica campul *nnp* care indica dimensiunea tabloului. Se parcurge fiecare contur al poligonului (contur propriu-zis sau contur de gaură), determinand muchiile care il formeaza si completand cite o structura de tip *Muchie* pentru fiecare din ele. Dacă un contur este de tip *GAURA*, se insereaza un nou element in tabloul indicat de cimpul *găuri* din structura *BPoly*, si se incrementează contorul care indică numărul găurilor (câmpul *hbox*).

Aceasta functie utilizeaza o serie de functii care efectueaza gestiunea datelor pentru efectuarea operatiilor de inserare a noilor elemente, cautari in tablouri sau liste in vederea completarii diferitelor informatii necesare.

Functia MakePlaneList

Functia primeste ca parametri pointerii la cele două volume operanzi ai operatiei booleane.

Functia are drept scop introducerea în lista *planeb* a câte unui element corespunzător fiecarui plan in care se gaseste cel puțin o față a solidelor operanzi.

Daca la un moment dat se doreste introducerea unui element corespunzator unui poligon al carui plan care exista deja in lista, se efectueaza doar completarea elementului respectiv cu informatia referitoare la poligonul curent.

Se parcurge tabloul indicat de câmpul *poligon* al structurii *Volume* corespunzătoare celor două volume date ca parametrii. Pentru fiecare element al tabloului care corespunde unui poligon al volumului respectiv se apelează functia *InsertPlan()*.

Functia MakeLineList

Functia completează lista liniilor de intersectie dintre toate planele ce contin fete ale celor două volume.

Se ia pe rând fiecare plan din lista *planeb*. Se determină liniile de intersecție dintre acest plan și toate celelalte plane din lista *planeb*, aflate însă în listă după planul curent. Acest lucru are drept scop evitarea efectuării intersecției între două plane deja intersectate. Pentru determinarea liniei de intersecție între două plane se apelează funcția `GetLine()`.

Funcția nu returnează nimic, deoarece rezultatul execuției ei se va regăsi în lista globală de linii unde se vor afla toate liniile de intersecție între plane.

Funcția `GetLine`

Funcția primește ca parametri doi pointeri la cele două plane între care se dorește să se găsească linia de intersecție.

Prima etapă constă în testarea normalelor planelor pentru a se vedea dacă planele nu sunt paralele. Dacă sunt paralele, funcția își încheie execuția. În caz contrar se apelează funcția `PlanInter()` care va determina linia de intersecție dintre plane obținută prin funcția `InterLine()` și va verifica dacă în lista există sau nu un element cu aceleași caracteristici. În primul caz se actualizează informația relativă la planele care prin intersecție generează linia, iar în al doilea se înserează în lista liniilor de intersecție un nou element corespunzător liniei găsite.

7.7. FUNCTIILE CARE IMPLEMENTEAZA OPERATIILE DE INTERSECȚIE DINTRE CELE DOUA SOLIDE

Intersecția dintre cele două volume se face la nivel de poligoane. Poligoanele intersectate la un moment dat se aleg din tabelele de poligoane atasate la două plane care se intersectează. Practic se efectuează intersecția dintre un poligon și linia de intersecție dintre planele ce conțin cele două poligoane. După ce punctele de intersecție au fost găsite și au fost memorate în ordine într-o structură de date specială, se stabilesc segmentele situate în interiorul poligoanelor și tipul lor (segmente pe care poligoanele se intersectează sau se ating).

Funcția principală care realizează intersecțiile, `PolyInter()`, împreună cu alte funcții necesare în acest proces sunt prezentate în continuare.

Functia PolyInter

Această funcție efectuează intersecțiile dintre elementele componente ale celor două solide, inserând informația în structurile de date corespunzătoare.

Functia are ca parametrii de intrare pointerii la structurile corespunzătoare celor două volume care intervin în operația booleană selectată. Prin intermediul primului parametru de ieșire, funcția returnează pointerul la lista *tabpol*, iar prin al doilea parametru de ieșire semnalează dacă operația booleană se poate face sau nu. Funcția semnalează prin intermediul valorii întregi returnate apariția unei eventuale erori.

Pentru efectuarea intersecției dintre cele două solide, se parcurge lista liniilor de intersecție dintre plane și pentru fiecare linie se iau pe rând toate planele asociate ei. Fiecare poligon dintr-un asemenea plan se intersectează cu toate poligoanele celorlalte plane asociate liniei de intersecție curente, cu condiția ca ele să nu fie din același solid.

Pentru fiecare pereche de poligoane ce trebuie intersectate se verifică dacă bounding-box-urile lor se intersectează, folosind funcția *Test()*. Dacă intersecția este posibilă, se apelează funcția *PolyLiInt()* care va realiza intersecția efectivă dintre linia de intersecție și cele două poligoane. Ca urmare a acestei operații, unele structuri de tip *BPoly* asociate fetelor solidelor vor conține noi muchii. Este apelată apoi funcția *Remake()*, care formează noile poligoane atomice ce au la baza muchiile inițiale și muchiile noi rezultate prin intersecție, poligoane pe care le introduce în lista *tabpol*.

Pentru fiecare muchie a fiecăruia dintre poligoanele nou create se determină poligonul din stânga și cel din dreapta muchiei, folosind funcția *GetRPolyTab()* și tipul ei (*VALLEY*, *FISSURE* sau *HILL*) folosind funcția *SetEdgeType()*.

Următorul pas îl constituie apelul funcției *ReconstrLinie()* care înserează într-un tablou asociat fiecărei linii infinite de intersecție, muchiile din poligoanele nou create care se suprapun pe ea, eliminând acele linii pe care nu se găsește nici o muchie.

Functia *ProcessListGlobal()* analizează două câte două muchiile suprapuse, în scopul determinării poziției relative a poligoanelor din care fac parte. În funcție de aceasta precum și de operația booleană cerută (intersecție, reuniune sau diferență) se determină care din poligoanele celor două diedre vor fi eliminate și care vor fi păstrate în structura finală a volumelor rezultate.

Muchiile care formeaza un singur diedru sunt luate in considerare in functia `ProListGlobal()`, care are drept scop stabilirea tipului unui poligon vecin al muchiei in functie de tipul cunoscut al celui alt.

In functie de tipul poligoanelor si de operatia booleana ceruta, functia `ChoosePolygon()` stabileste care din poligoane vor fi eliminate din lista poligoanelor finale. În lista *tabpol* vor fi păstrate doar acele poligoane din care se vor construi volumele rezultate.

Pentru a stabili tipul poligoanelor rămase fără tip, se verifică dacă acestea sunt plasate în interiorul celui alt volum, prin functia `IsCavitate()`. In functie de operatia booleana curenta si tipul unor poligoane, se incearca stabilirea tipului celor ramase fara tip.

În cazul în care operatia booleana aleasa este diferenta, functia `InverseSenseB()` schimba sensul de parcurgere a muchiilor poligoanelor de tip *INTERIOR*, atit pentru contururi cât si pentru gaurile asociate lor.

Funcția PolyLiInt

Aceasta functie este apelata de `PolyInter()` in vederea efectuării intersecției dintre doua poligoane si linia de intersectia dintre planele in care se gasesc.

Parametrii functiei sunt: pointerul la structura unei linii de intersectie si pointerii la structurile corespunzătoare a două poligoane.

Funcția returnează un număr întreg care semnalează functiei apelante dacă operatia de intersectie a reusit sau nu.

Se intersecteaza linia dată ca parametru cu muchiile fiecarui poligon, inclusiv muchiile ce formeaza conturul gaurilor, apelând functia `InfIntersect()`. Aceasta va determina punctele de intersectie dacă există sau va stabili dacă exista muchii care se suprapun pe linia infinită. Punctele de intersectie gasite se inserează ordonat într-o lista *l* cu elemente de tip *LBEdge*.

Pasul urmator îl reprezinta prelucrarea informatiei continute în lista *l*. Aceasta este realizată de functia `ProcessList()`. Se determina toate segmentele de pe linia infinită care apartin ambelor poligoane. Aceste segmente vor fi inserate în listele de segmente ale fiecărui poligon.

Dacă s-a depistat vreo eroare, functia `PolyLiInt()` returnează 0, iar în caz contrar returnează 1. Eroarea este marcată prin valoarea variabilei *bool_err*.

Funcția IsCavitate

Funcția primește ca argumente un pointer la un poligon, doi pointeri la volume și un pointer la un element de tipul *PVertex*.

Funcția testează dacă poligonul primit ca argument se găsește în interiorul unui alt volum decât volumul din care face parte.

Se aproximează un punct de la infinit, alegându-l în afara bounding-box-urile celor două volume.

Se ia pe rând fiecare plan din lista de plane *planeb* diferit de planul poligonului specificat și din acest plan se iau în discuție toate poligoanele care nu aparțin volumului poligonului care se testează.

Punctul de la infinit, împreună cu punctul primit ca argument (care este punctul de început al primei muchii care aparține poligonului testat) formează o semidreaptă. Se intersectează această semidreaptă cu planul curent din lista *planeb*. Această intersecție se realizează cu ajutorul funcției *InterSemidrPlan()*. Dacă valoarea *is* returnată de această funcție este 0, se trece la următorul plan din *planeb*, deoarece semidreapta nu poate intersecta acest plan.

Dacă *is* are valoarea -1, se schimbă panta semidreptei prin modificarea coordonatelor punctului de la infinit și se reia testul pentru toate planele din lista *planeb*.

Dacă punctul de început al semidreptei este conținut în planul curent din *planeb*, se alege prin intermediul funcției *NextPoint()* un alt punct din poligonul pentru care se face testul de cavitate și se reia testul cu toate planele din *planeb*.

Dacă funcția *NextPoint()* nu returnează un punct, se alege un punct din interiorul poligonului și se face același test pentru acest punct. Dacă nici pentru acesta nu s-a ajuns la nici o concluzie, se verifică dacă poligonul în discuție are vreun punct comun cu vreun alt poligon din același plan, și dacă are, atunci i se pune tipul *NEUTRU*. Altfel rămâne *EXTERIOR*. În acest punct de program, funcția își încheie execuția și returnează valoarea 0, deoarece poligonul nu este cavitate.

Dacă valoarea returnată de funcția *InterSemidrPlan()* este 1, se incrementează contorul care păstrează numărul de intersecții ale semidreptei cu poligoanele aparținând planelor testate și se trece la următorul plan din *planeb*.

După ce au fost analizate toate planele din *planeb*, se testează dacă numărul de intersecții este un număr par, caz în care funcția returnează valoarea 0 (nu este cavitate). Dacă acest număr este impar se returnează 1 (poligonul este cavitate).

Funcția ProcessListGlobal

Funcția primește ca parametrii un pointer la structura de date a unei linii de intersecție, pointerul la lista poligoanelor nou create, precum și pointerii la structurile celor două volume supuse operației booleene.

Funcția este apelată pentru fiecare linie de intersecție în parte.

Se parcurg pe rând toate tabelele de muchii asociate liniei date, pentru a lua în considerare muchiile suprapuse. În cadrul aceluiași tablou, se tratează două câte două din muchiile lui. Dacă două astfel de muchii fac parte din volume diferite, se apelează funcția CazMuchieMuchie(). În funcție de poziția relativă a poligoanelor adiacente celor două muchii și de operația booleană cerută, această funcție apelează la rândul ei funcția de tratare a cazului particular corespunzător. Dacă cele două muchii nu sunt din volume diferite, sunt marcate ca fiind de tip multiplu conex.

La încheierea tratării perechilor de muchii dintr-un tablou, se verifică existența muchiilor multiconexe. Pentru acestea se setează variabila multiplucon pe 1.

7.8. FUNCTII PENTRU TRATAREA CAZURILOR PARTICULARE MUCHIE/MUCHIE

Aceste funcții folosesc noțiunile și notațiile prezentate în paragraful 5.4 și în plus se tratează în mod distinct cazul în care unul din diedrii sau ambii sunt de π rad (tip *FISSURE*).

Funcțiile efectuează prelucrările corespunzătoare operațiilor booleene, asupra celor doi diedrii aflați în discuție. Datorită formelor pe care le pot lua cei doi diedrii (*HILL*, *VALLEY* sau *FISSURE*) pot să apară noua situații distincte (*HILL-HILL*, *HILL-VALLEY*, etc), fiecare fiind rezolvată de către o funcție *TratareCaz* specială.

Fiecare funcție *TratareCaz* ia în considerare o anumită formă particulară a celor doi diedrii (în numele funcției se precizează care este aceasta).

Funcția analizează pe rând toate cazurile posibile de poziționare a celor doi diedrii unul față de celălalt. Aceste cazuri au fost stabilite anterior cu funcția *DetCaz()*, obținându-se 13 posibilități. Pentru fiecare caz, se cercetează mai întâi tipul poligoanelor care definesc cei doi diedrii. Dacă există poligoane al căror tip nu este precizat (*NEUTRU*) se încearcă găsirea tipului lor ținând seama de tipul celorlalte poligoane din diedre. Dependent de operația booleană cerută,

va fi executată o anumită secvență de instrucții. Fiind cunoscute în acest moment forma diedrelor și poziția lor relativă, în funcție de operația booleană cerută se determină care din poligoanele celor două diedre vor fi eliminate pentru că nu vor face parte din volumele rezultate. (Felul în care se procedează în fiecare caz este prezentat în tabelele de modelare matematică a relațiilor muchie-muchie). Eliminarea efectivă din lista poligoanelor noi este realizată de funcția `EliminPoly()`.

În urma acestor operații apar situații care necesită modificarea tipurilor muchiilor ce stau la baza celor două diedre (muchiiile pot deveni de tipul *FISSURE*), eliminarea lor totală în cazul în care poligoanele lor stâng și drept au fost eliminate, apare posibilitatea ca acestea să devină multipluconexe (vor aparține la mai mult de două poligoane) sau se va forma un nou diedru (poligoanele din dreapta și stânga muchiei vor fi schimbate). Prelucrările efectuate asupra muchiilor se vor resfrînge și asupra muchiilor identice cu acestea și care sunt situate în poligoanele din dreapta muchiilor în discuție. Obținerea acestor muchii se face la începutul funcțiilor cu ajutorul lui funcției `SearchREdge()`. Indicatorul `flagdraw` al muchiilor supuse prelucrarilor va fi poziționat la valoarea 1 precizînd prin acesta că muchia a fost luată în considerare.

Funcția MuchieSuprap

Funcția primește ca parametrii pointerii la poligoanele ce urmează a fi intersectate precum și pointerul la linia infinită după care se realizează intersecția dintre planele ce conțin cele două poligoane. Cele două poligoane aparțin aceluiași volum.

Funcția parcurge lista de muchii de pe conturul primului poligon și pentru fiecare muchie care nu are actualizat câmpul *li*, se cercetează dacă punctele de început și de sfârșit ale muchiei aparțin și celui de-al doilea plan. Dacă coordonatele celor două puncte verifică ecuația planului al doilea, înseamnă că muchia aparține și acestui plan, deci ea nu se poate afla decât pe linia de intersecție dintre cele două plane. În acest caz câmpul *li* al muchiei va primi ca valoare adresa structurii de date corespunzătoare liniei de intersecție.

Aceeași verificare se face și pentru muchiile care formează contururile gaurilor poligonului, în cazul în care acesta conține gauri.

Funcția SetEdgeType

Funcția primește ca parametru pointerul la lista de poligoane nou create.

Funcția returnează un număr întreg care semnalează succesul sau eșecul operațiilor efectuate.

Prin intermediul acestei funcții muchiilor de tip *UNDEF* li se dă unul din tipurile *VALLEY*, *FISSURE* sau *HILL*.

Se parcurge lista de poligoane ce a fost primită ca parametru și se consideră pe rând fiecare poligon. Interesează doar muchiile din conturul poligonului și din contururile gaurilor care sunt de tip *UNDEF*. În acest caz se calculează produsul mixt între normala poligonului de care aparține muchia, normala poligonului aflat în dreapta muchiei și vectorul muchiei respective. Se determină în poligonul din dreapta muchia opusă apelând funcția *SearchRedge()*. Muchiei și opusei ei li se completează tipul în funcție de valoarea produsului mixt. Dacă produsul mixt este negativ, tipul muchiilor este *VALLEY*. Dacă este pozitiv muchiile vor fi de tip *HILL*, iar dacă produsul este zero atunci muchiile sunt de tip *FISSURE*.

Dacă vreunei muchii nu i s-a putut stabili muchia opusă, funcția returnează valoarea 0. Dacă operațiile s-au executat corect funcția returnează 1.

Funcția CazMuchieMuchie

Parametrii funcției sunt pointerii la structurile de date a două muchii și pointerul la lista poligoanelor nou create.

Funcția returnează un număr întreg pentru a semnală succesul sau eșecul operațiilor efectuate.

Funcția stabilește cazul particular corespunzător poziției relative a poligoanelor adiacente muchiilor și apelează funcția corespunzătoare care să stabilească în funcție de operația booleană cerută, care muchii și care poligoane vor rămâne în componenta volumelor rezultate.

Este necesar să se creeze o listă ordonată a celor patru poligoane adiacente muchiilor, conformă cu poziția lor în spațiu. Se stabilește dacă între cele patru poligoane există suprapuneri și dacă da, câte din normalele aflate pe aceeași direcție au același sens și câte au sens opus.

Pentru aceasta se calculează produsul vectorial între normalele planelor ce conțin cele două muchii. Dacă produsul este zero, adică cele două normale au aceeași direcție, se va calcula și produsul lor scalar pentru a se stabili dacă normalele sunt de același sens sau nu. Deoarece interesează care poligoane

apartin aceluiași plan, se va folosi un tablou de patru întregi, *vpr*, ale cărui elemente iau valoarea 1 dacă poligoanele corespunzătoare sunt coplanare și valoarea 0 în caz contrar. Elementele tabloului corespund în ordine perechilor: (SM, ST) , (SM, DT) , (DM, ST) , (DM, DT) . Numărul poligoanelor cu normalele în același sens este păstrat în variabila *q1*, iar numărul poligoanelor cu normale în sens contrar în *q2*.

Se apelează funcția *OrdonareMuchii()* care folosește aceste variabile pentru a crea lista ordonată a poligoanelor. Funcția atașează câte un vector fiecărui poligon ce formează diedrele și îi inserează în lista *edg* în ordinea în care sunt plasati în spațiu. În funcție de tipul celor două muchii apar nouă situații distincte, rezultate din combinațiile posibile ale tipurilor celor două muchii, fiecare muchie putând avea unul din tipurile *HILL*, *VALLEY* sau *FISSURE*. În funcție de aceasta, variabila *hv* va primi unul din tipurile *HH*, *HV*, *VH*, *VV*, *HF*, *FH*, *VF*, *FV* sau *FF*.

Dacă numărul de elemente din lista *edg* este patru, deci poligoanele se află în plane distincte se apelează funcția *DetOrdabcd()*. Această funcție determină poziția în care se află cele două diedre unul în raport cu celălalt (vezi figura 5.13). Pentru fiecare din cele nouă situații pot apare patru cazuri: diedrul moale include în interiorul său diedrul tare, cazul invers, diedrele sunt exterioare având doar muchia comună și situația în care diedrele se intersectează (au o porțiune comună). Dacă *DetOrdabcd()* returnează -1 înseamnă că a fost detectată o eroare și aceasta duce la întreruperea funcției.

Pe lângă cele patru cazuri generale, pentru fiecare din cele nouă situații, pot apare și cazuri particulare datorită faptului că două poligoane în diedre diferite se pot afla în același plan. Astfel numărul total de cazuri ce pot apare este 13. Identificarea cazului se realizează cu ajutorul funcției *DetCaz()* care primește ca parametrii variabilele *q1*, *q2* și ord determinate anterior precum și numărul de elemente din lista *edg* și forma particulară pe care o au cei doi diedri (exprimată prin variabila *hv*).

Este eliberată memoria alocată pentru lista *edg* (funcția *FreeEdg*), iar dacă funcția *DetCaz()* returnează valoarea -1, ceea ce înseamnă că a aparut o eroare, se va întrerupe execuția funcției.

În funcție de valoarea variabilei *hv* (forma pe care o au cei doi diedri) se va apela una din cele nouă funcții de mai jos: *TratareCazHH*, *TratareCazHV*, *TratareCazVH*, *TratareCazVV*, *TratareCazHF*, *TratareCazFH*, *TratareCazVF*, *TratareCazFV*, *TratareCazFF*, funcția primind ca parametru și o valoare prin care se indică poziția relativă a celor doi diedri. În funcție de aceste date și ținându-se

cont și de operația booleană ce se dorește a fi realizată, urmează tratarea cazurilor.

În final funcția va returna valoarea 1 dacă operațiile au fost executate corect.

Funcția OrdonareMuchii

Parametrii de intrare ai funcției sunt pointerul la lista *edg* cu elemente de tip *ListPol*, pointerii la structurile a două muchii, *m1* și *m2*, un tablou de întregi, *vpr* și doi întregi *q1* și *q2*.

Funcția stabilește ordinea în care se succed poligoanele ce se sprijină pe muchiile date ca parametri, începând cu poligonul drept al muchiei din volumul moale și mergând în sens invers trigonometric. În final returnează numărul elementelor din lista.

În lista vor exista elemente distincte pentru poligoane aflate în plane distincte. Două poligoane situate în același plan vor forma o sublistă al cărui cap este un element din lista *edg*.

Funcția calculează la început vectorii pe care îi asociază fiecărui poligon, vectori obținuți prin produsul vectorial dintre muchie și normala poligoanelor care se sprijină pe ea (vezi figura 5.4).

Primul element inserat în lista este cel corespunzător poligonului din dreapta al muchiei din volumul moale. Se alocă apoi o zonă de memorie pentru un element de tip *ListPol* în care se memorează pointerul la poligonul aflat în dreapta primei muchii, vectorul asociat acestui poligon și valoarea *DM* (dreapta moale), după care elementul este inserat în lista *edg*.

Operațiile continua diferentiat în funcție de numărul poligoanelor aflate în același plan, informații transmise prin parametrii *vpr*, *q1* și *q2*.

Dacă poligoanele *SM* și *ST* se află în același plan, este apelată funcția *InsertListPol()* pentru a crea un element de tip *ListPol* corespunzător primului poligon. Acest element se inserează în lista după elementul corespunzător lui *DM*. În lista deci vor fi memorate toate informațiile legate de diedrul moale. Este apelată apoi funcția *InsertListPol* pentru crearea elementului corespunzător poligonului stâng din diedrul tare (*ST*). Se stabilește dacă normalele acestor poligoane sunt de același sens calculând produsul scalar între vectorii asociați poligoanelor. Dacă produsul este pozitiv, cele două poligoane sunt de tip frontieră și al doilea element va fi inserat în sublistă primului, folosind câmpul *ndown* al nodului *SM*. Tipul poligoanelor este setat la valoarea *FRONTIERA* apelând funcția *SetEdg()*.

Într-un tablou de întregi numit *place* se memorează poligoanele pentru care a fost creat un element în lista *edg*.

Dacă poligonul *SM* și *DT* se află în același plan se crează la fel ca și în cazul anterior elementul de tip *ListPol* corespunzător primului poligon, dacă acesta nu a fost creat deja. În situația în care acesta există în lista *edg*, el este căutat cu ajutorul funcției *SearchInPlace()*. Se crează apoi elementul corespunzător poligonului *DT*. În funcție de valoarea produsului scalar dintre vectorii corespunzători celor două poligoane, se face inserarea în lista ca în cazul anterior, cu completarea tipului *FRONTIERA*.

Procedeeul se repetă și pentru perechile (DM, ST) și (DM, DT) .

Dacă în urma operațiilor anterioare în lista nu apar toate elementele corespunzătoare celor patru poligoane, acestea sunt incluse în lista *edg* la locul potrivit. Mai întâi se va crea pentru poligonul în cauza un element de tip *ListPol* cu funcția *InsertListPol*, iar apoi noul element creat este inserat în lista apelând funcția *InsertInPlace*.

Dacă nici una din nu sunt situate în același plan se procedează în felul următor:

Elementul *DM* fiind inserat în lista, se construiește un nou element corespunzător poligonului *SM*, ce va fi apoi inclus și el în lista. Astfel toate informațiile legate de diedrul moale sunt inserate în *edg*. Se crează apoi elemente de tip *ListPol* și pentru poligoanele *DT* și *DT*. Crearea noilor elemente se face prin apelul funcției *InsertListPol*. Acestea vor fi incluse în lista în pozițiile corespunzătoare determinate cu ajutorul funcției *InsertInPlace*.

Ultima operație realizată de funcție este de a închide lista *edg* formând o lista circulară. Ultimul element al listei trebuie să indice spre primul element din lista.

Funcția returnează numărul de elemente aflate în lista *edg*.

Funcția *SetEdg*

Funcția primește ca parametrii doi pointeri la structuri de date de tip *ListPol*.

Funcția completează în structurile date informații referitoare la poligoanele specificate în ele.

Poligoanele păstrate în aceste două elemente sunt poligoane de tip frontieră, adică se suprapun unul peste altul. Câmpul *tip* al acestor două poligoane se marchează ca fiind *FRONTIERA*. Câmpul *vpoly* al fiecărui poligon se completează în așa fel încât să indice spre celălalt poligon. Acest câmp are rolul

de a indica faptul ca poligonul este de tip frontiera, specificându-se totodată si poligonul peste care este suprapus.

Se calculează apoi produsul scalar al normalelor celor două poligoane, pentru a se stabili dacă au sau nu același sens, completând corespunzător câmpul *sens* cu valoarea 1, respectiv -1.

Funcția DetOrdabcd

Funcția primește ca parametrii pointerul la lista *edg*, pointerii la structurile a două muchii și un număr întreg care precizează tipul celor două muchii (perechi de *HILL*, *VALLEY*, *FISSURE*).

Funcția returnează un număr întreg cuprins între 0 și 3 care precizează poziția relativă a celor două diedre corespunzătoare muchiilor parametru. În cazul detectării unei erori, funcția returnează -1.

Pentru fiecare din cele nouă cazuri ce pot apărea în funcție de tipul celor două muchii, tratarea se face în mod distinct. Selecția se face în funcție de variabila primită ca parametru.

Procedeul urmat în unul din aceste cazuri este următorul:

Se parcurge lista *edg* urmărindu-se ordinea în care apar poligoanele ce formează cele două diedre. În funcție de aceasta se completează tipul poligoanelor ce constituie cele două diedre (*INTERIOR*, *EXTERIOR* sau *NEUTRU*) și se returnează numărul întreg corespunzător uneia din următoarele situații (vezi figura 5.13):

a) - Diedrul moale este inclus în interiorul diedrului tare. Poligoanele diedrului moale în acest caz sunt de tip interior, iar cele ale diedrului tare sunt exterioare. În lista *edg* elementele *DM* și *DT* trebuie să se afle unul după altul. Funcția returnează 0.

b) - Diedrul tare este inclus în interiorul diedrului moale. Poligoanele ce constituie diedrul tare sunt de tip *INTERIOR*, iar cele ale diedrului moale au tipul *EXTERIOR*. Funcția returnează 1.

c) - Diedrele se intersectează, fiecare diedru având un poligon de tip *INTERIOR* și unul de tip *EXTERIOR*. Funcția returnează 2.

d) - diedrele sunt exterioare unul altuia, singurul element comun reprezentându-l muchiile suprapuse. Pentru acest caz toate cele patru poligoane au tipul *EXTERIOR*. Funcția returnează 3.

Funcția DetCaz

Funcția primește ca parametrii: lista *edg*, numărul de elemente aflate în lista, doi parametrii întregi *q1* și *q2* care indică câte perechi de poligoane aflate în același plan au normalele în același sens (*q1*) respectiv în sens contrar, o variabilă întregă ord care reprezintă valoarea returnată de funcția DetOrdabcd() și un întreg *hv* prin care se precizează tipul celor două muchii comune diedrelor.

Folosind informațiile transmise prin intermediul parametrilor, funcția stabilește situația concretă ca fiind una din 13 posibile (vezi figura 5.10).

Plecând de la tipul indicat de parametrul *hv* (*HH* pentru ambele muchii *HILL*, *HV* pentru prima muchie *HILL* și a două *VALLEY*, *HF* pentru prima muchie *HILL* și a două *FISSURE*, etc.) și în funcție de valorile celorlalte patru variabile primite ca parametrii, funcția va returna un număr întreg ce caracterizează situația particulară întâlnită. În acest scop vor fi apelate și funcțiile DetCaz1011() și DetCazNepart(). În funcția DetCaz1011 care diferențiază cazurile 10 și 11, se ține cont și de poziția elementelor în lista *edg*. Pot să apară 13 cazuri pentru fiecare din cele nouă situații ce definesc forma diedrelor.

1. Fiecare poligon al primului diedru se află în același plan cu un poligon al diedrului al doilea, o pereche de astfel de poligoane având normalele de același sens, iar cealaltă de sens contrar.
2. Există tot două perechi de poligoane fiecare aflându-se în câte un plan, dar atit poligoanele din prima pereche cât și cele din a două pereche au normalele de același sens.
3. Diedrele au două perechi de poligoane aflate în câte un plan, dar pentru fiecare pereche poligoanele au normalele de sens contrar.
4. Cele două diedre nu se intersectează însă au două poligoane aflate în același plan cu normalele având același sens.
5. Caz similar cu 4. doar ca poligoanele au normalele de sens contrar.
6. Corespunde cazului general d) când cele două diedre sunt distincte intersectându-se doar pe muchiile suprapuse.
7. Cele două diedre se intersectează având două poligoane în același plan și normalele de același sens.
8. Corespunde cazului de intersecție c).
9. Cele două diedre au două poligoane frontiera în același plan cu normalele de sens contrar.
10. Diedrul tare se află în interiorul diedrului moale și două din poligoanele lor sunt de tip frontiera interioară (se află în același plan și normalele au același sens).

11. Cazul invers cazului 10, când diedrul moale se află în interiorul diedrului tare.
12. Diedrul tare se află în interiorul diedrului moale corespunzător cazului b).
13. Diedrul moale se află în interiorul diedrului tare (cazul a).

7.9. FUNCTIILE CARE SELECTEAZA POLIGOANELE CE TREBUIE ELIMINATE

Funcția ProListGlobal

Parametrii funcției sunt un pointer la o linie de intersecție, pointerul la lista poligoanelor nou create precum și pointerii la cele două volume supuse operației booleene.

Funcția elimină din lista poligoanele care îndeplinesc anumite condiții legate de tipul lor, de volumul din care provin și de operația booleană cerută.

Funcția ia în considerare muchiile simple de pe linie de intersecție, muchii care fac parte doar din două poligoane.

Pentru acestea funcția stabilește tipul poligonului stang sau drept în funcție de cel cunoscut și elimita unul din ele sau ambele.

Pentru aceasta se parcurg tablourile de muchii corespunzătoare liniei primite ca parametru și se iau în considerare doar acele tablouri care contin o singura muchie. Pentru fiecare muchie dintr-un astfel de tablou se verifica mai dacă tipul poligonului stang și drept este *NEUTRU*. În acest caz se trece la urmatorul tablou ce contine doar o muchie. Dacă însă pentru muchia curenta unul din cele două poligoane are tip diferit de neutru, în timp ce celalalt este neutru sau exterior, tipul primului este transferat și celuiilalt.

Apoi pentru fiecare astfel de muchie este apelată funcția ChoosePolygon() prin intermediul căreia sunt eliminate din lista acele poligoane care contin muchia respectiva și care în același timp satisfac anumite condiții impuse de operația booleană aleasă (reuniune, intersecție sau diferență).

Funcția ChoosePolygon

Parametrii funcției sunt un pointer la structura unei muchii, pointerul la lista poligoanelor noi și pointerii la cele două volume ce intervin în operația booleană.

Funcția elimină din lista poligoanelor noi pe acelea care îndeplinesc o anumită condiție legată de tipul lor interior sau exterior, în funcție de operația booleană cerută.

Muchia transmisă ca parametru se găsește pe o linie de intersecție și apare doar în două poligoane. Condițiile care trebuie îndeplinite de aceste poligoane pentru a fi eliminate sunt următoarele:

- la reuniune (*UNI*) se aleg poligoanele care sunt de tip *INTERIOR*;
- la intersecție (*INT*) se aleg poligoanele sunt de tip *EXTERIOR*;
- la diferență (*SUB*) se aleg poligoanele care sunt din volumul tare și sunt de tip *EXTERIOR* și poligoanele care sunt din volumul moale și sunt de tip *INTERIOR*.

Poligoanele alese vor fi eliminate din lista poligoanelor mici apelând funcția *EliminPoly()*.

Funcția TestInt

Parametrul funcției este lista *tabpol* în care se păstrează toate poligoanele nou create în urma intersecției dintre cele două volume.

Funcția testează dacă între poligoanele noi există un poligon interior, caz în care returnează 1. Altfel returnează 0.

Se caută în lista poligoanelor noi unul care are tipul *INTERIOR*. Dacă un astfel de poligon a fost găsit, funcția returnează valoarea 1. Dacă a fost parcursă întreaga listă de poligoane și nu a fost găsit nici un poligon de tip *INTERIOR* funcția returnează valoarea 0.

Funcția InverseSenseB

Funcția primește ca parametru pointerul la lista poligoanelor nou create în urma intersecțiilor celor două volume.

Funcția inversează sensul de parcurgere a muchiilor poligoanelor de tip interior, precum și sensul normalei.

Funcția este apelată doar dacă operația booleană aleasă este diferența.

Se parcurge lista poligoanelor noi. Pentru fiecare poligon din lista care este de tip *INTERIOR* se schimbă sensul de parcurgere al laturilor poligonului.

Pentru aceasta se schimbă între ei cei doi vertexi care definesc începutul și sfârșitul muchiei.

Același lucru se face și pentru muchiile ce formează gaurile poligonului. Se modifică de asemenea parametrii din ecuația planului din care face parte poligonul, schimbând semnul cosinusilor directori ai normalei și valoarea termenului liber (D).

7.10. FUNCTIILE CARE IMPLEMENTEAZA OPERATIILE DE CONSTRUIRE A POLIGOANELOR REZULTATE

Plecând de la muchiile inițiale ale poligoanelor și folosind muchiile noi de tăiere sau de atingere, se construiesc secvențele de muchii care vor forma noile poligoane. Funcția care realizează acest lucru este funcția `Remake()`.

După ce se elimină din tablourile asociate planelor din lista *plane* acele poligoane care nu vor exista în volumele finale, se verifică dacă există poligoane coplanare care au muchii comune. În acest caz, din două poligoane trebuie construit unul singur. Acest lucru este stabilit și efectuat de funcția `RemakePoly()`. Pentru aceste cazuri se apelează funcția `Comasare()` care infocuieste două sau mai multe muchii coliniare cu una singură.

Funcția `Remake`

Funcția are ca parametrii de intrare un pointer la un plan și un pointer la lista finală de poligoane - *tabpol*. Parametrul de ieșire este un pointer la un fanion care va indica dacă operația booleană este imposibilă sau nu. O operație imposibilă apare când se încearcă să se construiască un poligon format din mai puțin de trei muchii.

Funcția determină toate poligoanele noi care se găsesc în planul specificat ca parametru.

Se ia pe rând în discuție fiecare poligon din plan. Dacă poligonul curent nu are tăieturi sau atingeri interioare, se înserează în lista *tabpol*, prin apelul funcției `InsPolygonTabpol()`.

Dacă însă poligonul are atingeri sau tăieturi interioare, se construiesc poligoanele atomice, alegând din două sau mai multe muchii cu început comun pe cea situată cel mai la stânga. Alegerea acestei muchii se face cu ajutorul funcției `ChooseNext()`.

După închiderea fiecărui poligon, se apelează funcția `MakePolygon`, care pe baza listei de muchii, crează structura corespunzătoare unui poligon. Dacă noul poligon are toate muchiile de tip *ATINGERE* se apelează funcția `MakePolygonFiss`.

Poligoanele astfel create se vor introduce într-o listă temporară de poligoane - *tabpol1*.

După ce au fost create toate poligoanele atomice corespunzătoare unui poligon inițial, se apelează funcția `ProcessPolygon()` care, pe baza listei temporare *tabpol1*, completează listă finală de poligoane *tabpol*. Completarea se face ținând cont și de posibilitatea ca un poligon să fie gaură pentru alt poligon

La sfârșit, se inserează poligoanele din *tabpol* în tabloul de poligoane corespunzător planului specificat ca și argument.

Funcția returnează valoarea 1 în cazul în care a apărut o eroare, iar în caz contrar returnează 0.

7.11. FUNCȚIILE CARE IMPLEMENTEAZĂ OPERAȚIILE PENTRU CONSTRUIREA SOLIDELOR REZULTATE

După ce au fost construite noile poligoane, trebuie stabilit numărul volumelor rezultate și poligoanele ce vor aparține fiecăruia din acestea. Pentru aceasta se stabilesc liniile de separație dintre cele două volume prin intermediul funcției `CloseInterLine()`. Pe baza acestor linii se stabilesc toate poligoanele care vor aparține unui anumit volum.

Operațiile necesare sunt rezolvate în funcția `RemakeVolumes()` și în funcțiile apelate de ea.

Liniile de separație dintre volume sunt secvențe închise de muchii de tăiere sau muchii de atingere. În continuare se prezintă funcția `CloseInterLine` care găsește aceste linii și funcțiile care sunt apelate de ea.

Funcția `CloseInterLine`

Funcția realizează închiderea liniilor de separație dintre volumele ce rezultă din operația booleană.

Funcția este apelată indiferent de operație deoarece chiar și operația de reuniune poate genera mai multe volume (cazul în care două volume se ating pe o muchie comună).

Funcția primește ca parametri un pointer la volumul moale, un pointer *clin* la lista în care se vor păstra liniile de separatie, un pointer *tabpol* la lista poligoanelor atomice obtinute în urma intersecțiilor și tipul liniei de separatie (linii de separatie determinate de muchii de tăiere, de atingere sau multipluconexe).

Lista *clin* este o listă simplu înlantuită, fiecare nod indicând începutul unei liste cu elemente de tip *IntExtL* care va include toate muchiile ce aparțin unei linii de separatie. Liniile de separatie formeaza bucle inchise.

O muchie poate apartine unei linii de separatie dacă pe linia de intersecție pe care se găsește acea muchie există cel puțin două muchii suprapuse provenind de la volume diferite. De aceea căutarea muchiilor ce ar putea forma linia de separatie se face doar în tablourile de tip *McPol* care contin mai multe muchii.

Dacă este găsită o astfel de muchie, se înserează un nou element în lista *clin* a liniilor de separatie, iar muchia va fi inserată în lista care va forma o linie de separatie. Stabilirea secvenței complete de muchii ce va forma linia de separatie curentă se face prin apelul funcției *SearchBlin()*.

Procedeu se repetă ciclic pana cand nu se mai gaseste nici o muchie care sa poata apartine unei linii de separatie.

Funcția CloseMultipluCon

În cazul în care există muchii multiplu conexe, se consideră ca linii de separatie și liniile închise formate de cele două muchii multiplu conexe de sens contrar. Crearea lor are loc în felul următor.

Se parcurge lista liniilor de intersecție dintre plane și se caută pe aceste linii o porțiune comună mai multor muchii (numărul de muchii dintr-un tablou de muchii de tip *McPol* mai mare decât 1), dar nu toate aparținând volumului moale. Se caută printre aceste muchii dacă există vreuna care să nu aibă câmpul *flagdraw* poziționat pe 1, poligonul din stânga muchiei să aparțină volumului moale și care să fie de tip *MULTCON*. În cazul în care s-a găsit o astfel de muchie se retine muchia și linia infinită de care aparține, se setează câmpul *flagdraw* al acesteia pe 1 și apoi se înserează un nou nod în lista liniilor de separatie. În nod va fi inserată noua linie a cărei prima muchie o reprezintă muchia recent găsită. Crearea elementului de tip *Cutline* pentru linia de separatie se realizează cu funcția *InsertClin()*.

Se înserează muchia apelând funcția *InsertEdgeLine()* în lista de muchii a liniei de separatie, iar apoi, apelând funcția *SRightSoftVol()* se caută în volumul moale muchia care este identica cu ea dar de sens contrar, deasemenea de tip

MULTCON. Dacă nu s-a găsit o astfel de muchie înseamnă ca s-a detectat o eroare și se iese din funcție cu returnarea valorii 0. Dacă muchia este găsită, i se poziționează și acesteia câmpul *flagdraw* pe 1 și se înserează în lista liniei de separatie.

Procedeul se repeta până la epuizarea elementelor listei *linii*, apelând funcția `SearchLinLeftFissure()` care determină existența unei muchii cu caracteristicile prezentate anterior. Dacă este găsită o astfel de muchie, se înserează un nou element în lista de linii de separatie *clin* corespunzătoare muchiei recent determinate. Numărul noii linii de separatie este incrementat cu doi față de numărul liniei de separatie găsite anterior. Câmpul *flagdraw* al muchiei este și el poziționat pe 1, iar muchia va fi și ea inserată în noua linie de separatie (funcția `InsertEdgeLine`). Se reia algoritmul căutându-se și pentru această muchie corespondența ei ce are sensul opus, pentru a fi inserată în linia de separatie. Procesul continuă până când funcția `SearchLinLeftFissure()` nu va mai găsi nici o muchie, deci nu mai există nici o nouă linie de separatie.

Funcția `RemakeVolumes`

Funcția primește ca argumente pointerul *tabpol* la lista finală de poligoane, pointerul la lista liniilor de separatie și pointerul la volumul moale.

În cadrul acestei funcții se construiesc volumele rezultate în urma operației booleene.

Dacă nu există linii de taiere, se înserează vertexii și poligoanele finale în volumul inițial. Această inserare se face prin intermediul funcțiilor `InsVertNewVol()` (pentru vertexi) și `InsPolyNewVol()` (pentru poligoane). Se realizează legăturile dintre vertexi prin intermediul funcției `ConnVertNewVol()` și legăturile dintre poligoane prin intermediul funcției `LinkPolygons()`.

Dacă însă există cel puțin două linii de separatie, atunci se completează pentru fiecare muchie din fiecare poligon existent în *tabpol* câmpul corespunzător poligonului din dreapta. Această completare se realizează prin apelul funcției `GetRPolyTabtyp()`.

În funcție de *tabpol* și lista liniilor de separatie *clin*, poligoanele se împart în clase de echivalență. Această împărțire este făcută de funcția `PropagareB()`. Fiecare clasă de echivalență, va conduce la crearea unui volum.

Se ia apoi pe rând fiecare clasă de echivalență. Se alocă memorie pentru volumul corespunzător acestei clase de echivalență și se înserează acest nou volum (cu ajutorul funcției `InsertBOList`) în lista volumelor finale.

Pentru volumul corespunzător clasei de echivalență curente, se înserează în cadrul acestei structuri de volum vertexii și poligoanele corespunzătoare lui (prin intermediul funcțiilor *InsVertNewVol* respectiv *InsPolyNewVol*). Se completează câmpurile *Form* pentru acești vertexi cu ajutorul funcției *ConnVertNewVol()* și se realizează legăturile dintre poligoane, prin intermediul funcției *LinkPolygons()*.

Funcția PropagareB

Funcția primește ca argumente tabloul claselor de echivalență, lista poligoanelor rezultate în urma operației booleene și lista liniilor de separatie.

Operația executată de funcție este aceea de numerotare a fiecărui poligon plecând de la liniile de separatie, pentru a se stabili în funcție de aceste numere volumul final din care va face parte.

Se ia pe rând fiecare linie de separatie din lista de linii primită ca argument. Dacă prima muchie a sa este multipluconexa, atunci poligoanelor din stânga și din dreapta acestei muchii li se atasează numărul liniei de separatie, iar pentru următoarea muchie din această linie (muchie care e inversa primeia) poligoanelor din stânga și din dreapta ei li se atribuie un număr mai mare cu 1 decât numărul liniei de separatie. În acest caz, linia de separatie e marcată ca și *MULTCON*.

Dacă prima muchie a liniei de separatie nu are marcat tipul *MULTCON*, se verifica prin intermediul funcției *VerifCutLine()* dacă există vreo muchie în cadrul liniei de separatie care a fost marcată ca fiind multipluconexa în procesul de tratare a cazurilor prin intermediul câmpului *pers[0]* al punctului de început și sfârșit. Dacă există o asemenea muchie, câmpului *tratat* al acestei linii de separatie i se atribuie valoarea -1 și se părăsește tratarea acestei linii de separatie. Dacă nu există o asemenea muchie, atunci pentru fiecare muchie a liniei de separatie se apelează funcția *SearchMTabPol()*.

Accastă funcție caută în lista de poligoane, acele poligoane care contin muchia curentă (parcursa în orice sens) și le atribuie numărul liniei de separatie, în cazul în care acesta nu este completat.

Pe baza numărului atribuit poligoanelor care au muchii pe liniile de separatie are loc un proces de propagare, pentru stabilirea numărului celorlalte poligoane, număr care de fapt stabilește volumul din care vor face parte. Propagarea() este realizată de apelul recursiv al funcției *FindNumarB()*, care prin căutare la dreapta în lista poligoanelor pentru fiecare muchie, completează câmpul *numar* al tuturor poligoanelor.

Se face apoi o trecere prin lista poligoanelor. Se completează tabloul claselor de echivalență prin apelul funcției *BuildEchClassB()* și apoi se

prelucrează lista claselor de echivalență prin intermediul funcției `ProcessEchClass`. Această funcție elimină partile comune din cadrul unei clase de echivalență.

După ce a fost construită și prelucrată fiecare clasă de echivalență, se apelează funcția `VerifEchclassB()`, care realizează legătura între liniile de separație și clasele de echivalență, determinându-se astfel numărul final de volume.

Funcția SearchMTabPol

Funcția primește ca argumente doi pointeri la structurile *PVertex* a două puncte, un pointer la lista finală de poligoane rezultate în operația booleană, un număr care va indica clasa de echivalență din care va face parte volumul și un pointer la o structură de tip *EchClass*.

Funcția caută în lista de poligoane, pe acelea care conțin muchia dată prin punctele transmise ca parametru și le atribuie numărul liniei de separație, în cazul în care acesta nu este completat.

Primele două argumente al funcției (cele două puncte) reprezintă extremitățile unei muchii.

Se caută în listă acele poligoane care conțin muchia dată sau inversa ei și se completează câmpul *numar* al acestor poligoane în cazul în care nu este completat. Dacă însă poligonul are câmpul *numar* completat (adică una din muchiile sale a fost găsită și pe o altă linie de separație), atunci se înserează în tabloul claselor de echivalență un nou element. Această operație de inserare se realizează prin apelul funcției `BuildEchClassB()`. Se apelează apoi funcția `ProcessEchClassB()` pentru prelucrarea acestui tablou al claselor de echivalență.

Dacă muchia respectivă nu e găsită în nici un poligon, atunci ea este căutată și pe conturul gaurilor poligoanelor, după care se execută aceleași operații specificate mai sus.

Funcția FindNumarB

Funcția primește ca argument un pointer la un poligon și realizează atribuirea unui număr poligonului curent.

Atribuirea unui număr unui poligon se face prin propagare, în următorul mod: se parcurg muchiile poligonului curent și dacă se găsește una pentru care poligonul din dreapta ei are un număr diferit de *TEMP*(1000), atunci acest număr este atribuit poligonului dat.

Dacă însă nici una din muchiile poligonului nu verifica această condiție, atunci se parcurg din nou muchiile poligonului în cauza, iar dacă poligonul din dreapta muchiei curente nu are un număr se apelează recursiv funcția `FindNumarB` cu argument poligonul din dreapta muchiei curente.

Deci pentru a da un număr unui poligon când nici una dintre muchiile lui nu are în dreapta un poligon cu un număr diferit de *TEMP*, se merge din aproape în aproape tot timpul pe poligonul din dreapta al unei muchii, până când se întâlnește o muchie care are poligonul din dreapta cu număr diferit de *TEMP*. În acest moment, prin procesul de propagare înapoi, toate poligoanele prin care s-a trecut pentru a ajunge la acel poligon cu număr diferit de *TEMP*, vor primi numărul acestui poligon.

Acest proces de atribuire a unui număr unui poligon se repeta pentru toate poligoanele din lista poligoanelor ce vor constitui rezultatul final, care nu au număr. Deci, în final, toate poligoanele vor avea asociat un număr.

Funcția returnează numărul pe care îl va primi poligonul specificat ca parametru.

Funcția `BuildEchClassB`

Funcția primește ca argumente un pointer la o clasă de echivalență, numărul poligonului din stânga și numărul poligonului din dreapta muchiei curente.

Funcția construiește o clasă de echivalență din altele două, în cazul în care poligonul din dreapta unei muchii are număr și acest număr e diferit de numărul poligonului stâng.

Operațiile efectuate sunt următoarele:

Se verifica dacă poligonul curent are număr. Dacă nu, se alocă memorie pentru încă un element din clasă de echivalență specificată. Elementele sunt păstrate în clasă de echivalență într-un tablou. Tot în cazul în care poligonul stâng nu are număr, acesta va primi numărul poligonului din dreapta, număr primit ca argument în funcția `BuildEchClassB` (ultimul argument).

Dacă poligonul stâng are număr, dar în clasă de echivalență nu există elemente, se introduc numerele celor două poligoane în această clasă de echivalență și se revine în funcția apelantă.

Dacă poligonul stâng are număr și în clasă de echivalență există elemente, atunci se caută numerele poligoanelor stâng și drept în această clasă. Dacă se găsesc, se încheie execuția funcției. Dacă se găsește doar un număr din cele două, se inserează cel de-al doilea număr în clasă.

Dacă nu este găsit nici unul dintre numere, se inserează amândouă în clasa de echivalență curentă.

Funcția ProcessEchClassB

Funcția primește ca argument tabloul claselor de echivalență pentru a-l reorganiza, în cazul în care în timpul procesului de propagare s-a constatat că s-au atribuit numere diferite poligoanelor din aceeași clasă.

Pentru fiecare clasă de echivalență se verifică dacă are părți comune cu vreuna din celelalte. Dacă există clase de echivalență cu părți comune, atunci aceste părți se comasează.

După comasare, se verifică dacă în cadrul unei clase se găsește de mai multe ori numărul unei linii de separație. Această verificare se face prin apelul funcției DelDoubleNrB(), funcție care, dacă găsește un număr de mai multe ori într-o clasă, șterge toate aparițiile multiple ale acestui număr, așa încât în final să avem într-o clasă numai un element care să aibă un anumit număr.

La sfârșitul execuției funcției, nu vor exista părți comune între oricare două clase de echivalență.

CAPITOLUL 8**ALGORITM ORIGINAL PENTRU
ELIMINAREA LINIILOR SI
SUPRAFETELOR ASCUNSE****8.1. INTRODUCERE**

În procesul de proiectare în sistemul DICAM - mediu avansat de proiectare și fabricație asistată de calculator în domeniul construcțiilor în lemn - a apărut necesitatea reprezentării corpurilor cu eliminarea liniilor și suprafețelor ascunse. Reprezentarea proiectelor mari, formate dintr-un număr foarte mare de corpuri, este deosebit de încărcată dacă corpurile apar cu toate muchiile ce delimitează fețele lor. Se preferă o reprezentare cât mai apropiată de imaginea percepută de ochiul omului, imagine care în cazul corpurilor opace, nu conține porțiunile ascunse de fețe ale aceluiași sau ale altui corp [Emm94] [MV194] [MV394][Ada89].

Pentru rezolvarea acestei probleme au fost implementate mai multe variante de algoritmi, în scopul rezolvării generale și a unor situații particulare deosebite și a îmbunătățirii performanțelor fiecăruia [Mic87].

Algoritmii pentru eliminarea liniilor și suprafețelor ascunse au drept scop stabilirea părților ascunse ale fețelor corpurilor de reprezentat și furnizarea reprezentării lor pe ecranul monitorului sau la plotter numai prin fețele sau porțiunile de fețe vizibile. Corpurile ce formează proiectul sunt corpuri cu fețe plane. Din mulțimea lor se poate selecta doar o parte, pentru a fi reprezentate [Art85][Arv91][Gla90][Kir92].

8.2. ETAPELE PARCURSE ÎN DEZVOLTAREA ALGORITMULUI

1. Prima variantă a algoritmului se baza pe o metodă de ordonare a poligoanelor ce descriau fiecare corp și funcționa corect doar în situația în care toate corpurile erau convexe. În afara acestei limitări, un alt dezavantaj îl reprezenta faptul că era foarte lent din cauza numeroaselor operații efectuate pentru stabilirea părților vizibile. Corpurile se tratau două câte două, ca și cum doar ele ar fi trebuit reprezentate. În această situație fiecare poligon ajungea să contină porțiuni ascunse, chiar suprapuse, datorate diferitelor poligoane ale celorlalte corpuri care le puteau acoperi. Astfel, un poligon ce era complet ascuns de un altul, putea ascunde la rândul lui alte poligoane sau porțiuni de poligoane. În această situație, în procesul de stabilire a poligoanelor ascunse se efectuau multe operații inutile.

2. În scopul creșterii vitezei de execuție a fost proiectat și implementat algoritmul suprafețelor ascunse, denumit "algoritmul picturului". Acesta constă în reprezentarea fețelor corpurilor în ordinea depărtării de punctul de vedere, fețele mai depărtate fiind reprezentate mai întâi. Obținerea rezultatului dorit se baza pe faptul că poligoanele situate mai aproape de punctul de vedere acopereau pe cele mai îndepărtate, deoarece interiorul lor era colorat cu o nuanță ce depindea de unghiul de vedere.

3. O variantă îmbunătățită a algoritmului liniilor ascunse s-a obținut prin modificări pentru admiterea corpurilor concave. În cazul acestor corpuri, anumite fețe sau porțiuni de fețe pot fi ascunse de alte fețe ale aceluiași corp și în plus poate să apară problema intercalării corpurilor, când anumite fețe ale unuia pot ascunde porțiuni ale altuia și anumite porțiuni ale celui de-al doilea pot să ascundă porțiuni ale primului. În figura 8.1 este reprezentat un corp concav, atât prin toate fețele care îl alcătuiesc - *wireframe* (a), cât și prin utilizarea algoritmului de eliminare a liniilor ascunse (b). Se observă aglomerarea de linii din primul caz și dificultatea examinării corpului în reprezentarea respectivă. Ne putem imagina complexitatea reprezentării în acest mod a corpului din figura 8.2.

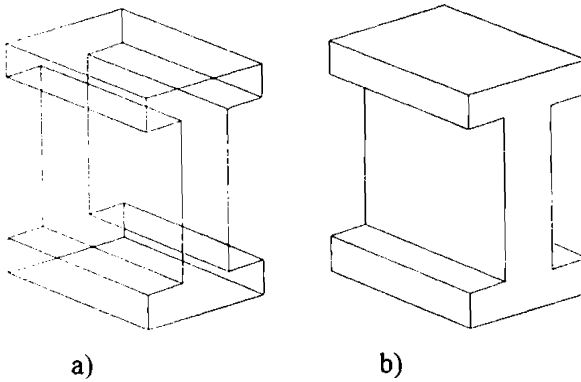


Figura 8.1.Reprezentări ale unui corp concav

Acest algoritm se bazează pe faptul că singurele muchii care pot să delimiteze zonele vizibile de cele ascunse, sunt muchiile de pe conturul (silueta) unui corp. Suprafetele pe care pot avea loc aceste delimitări sunt cele mai apropiate de muchia de contur în cauză.

Pe lângă faptul că se elimină restricția relativă la tipul corpurilor ce pot fi reprezentate, algoritmul a câștigat în viteză prin faptul că pleacă de la o simplă observare a realității: oricare punct al unei fete (deci toată fata sau o porțiune a ei) nu poate fi umbrit de mai multe fete; singura față care îl poate umbri este fata cea

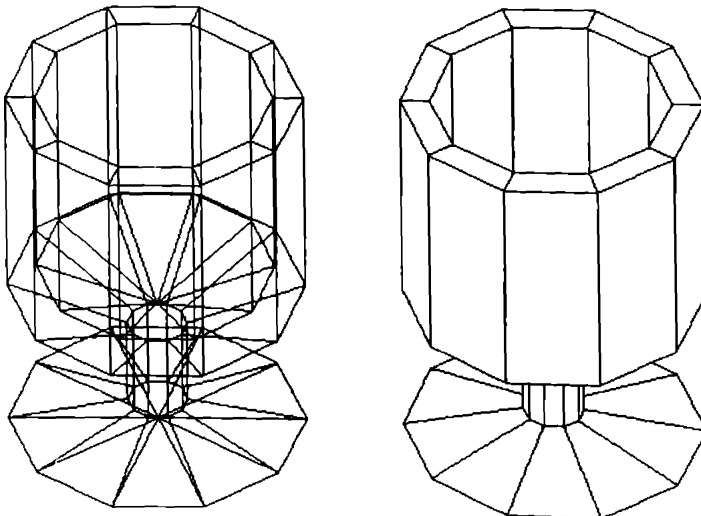


Figura 8.2.Corp complex

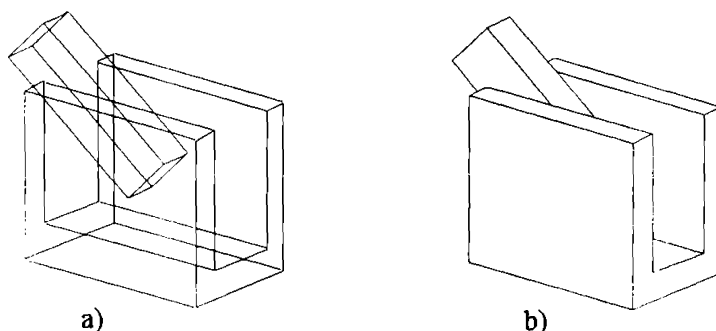


Figura 8.3.Reprezentări ale unui ansamblu de corpuri

mai apropiată de punctul de vedere și care are proiecția în planul de perspectivă suprapusă (total sau parțial) proiecției feței umbrite.

În figura 8.3 sunt reprezentate două corpuri, unul convex și unul concav. Figura 8.3a nu furnizează informație suficientă care să permită stabilirea poziției lor relative, poziție care în figura 8.3b este evidentă. Acesta este un exemplu în care un corp concav ascunde atât părți proprii cât și părți ale altui corp. Cazul corpurilor concave cu părți întrepătrunse apare în figura 8.4.

4. O variantă a acestui algoritm a dus la transformarea lui în algoritmul de suprafețe ascunse. Plecând de la rezultatul generat de algoritmul precedent, se face reprezentarea poligoanelor vizibile colorate cu o anumită nuanță. Aceasta se stabilește în funcție de înclinarea planului poligonului în raport cu direcția razei vizuale. Corpurile ce vor fi realizate din lemn se colorează în nuanțe de maro, iar cele din metal în nuanțe de gri.

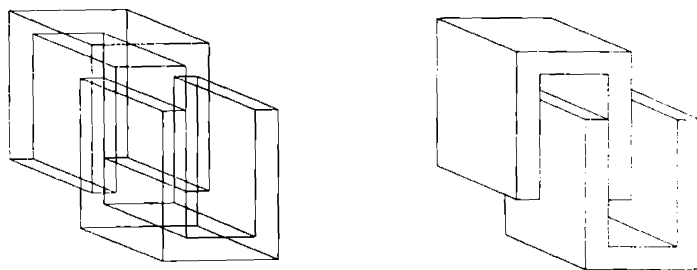


Figura 8.4.Corpuri concave întrepătrunse

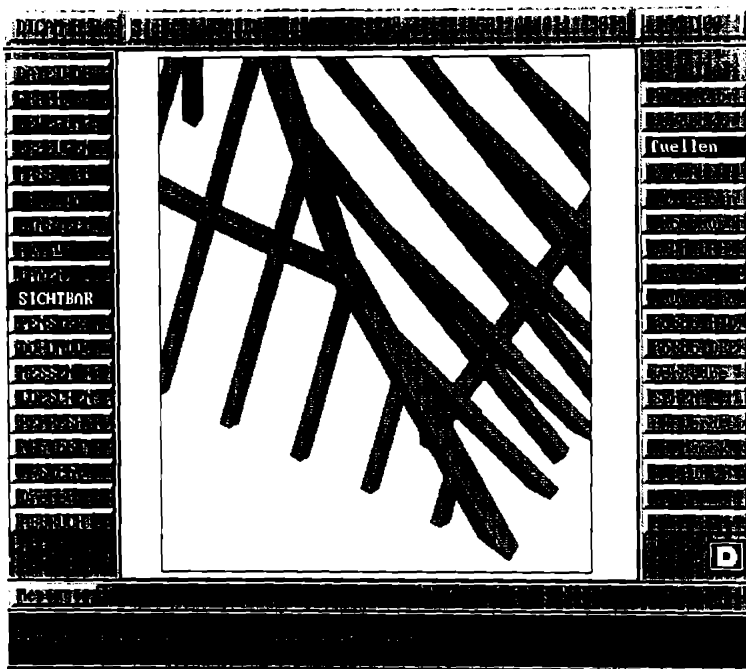


Figura 8.5.Reprezentare nuantată

O imagine rezultată prin executia programului ce implementează acest algoritm este prezentată în monocrom în figura 8.5. Se observă claritatea acestei reprezentări comparativ cu reprezentările anterioare.

5. Algoritmii prezentați funcționează în ipoteza că ansamblul de corpuri de reprezentat este real, adică nu există puncte din spațiul 3D în care să existe mai mult de un corp. În procesul de proiectare însă apare necesitatea reprezentării în 2D și a unui ansamblu de corpuri virtuale (ocupând același loc în spațiu). Astfel de corpuri s-ar transforma în corpuri reale dacă asupra lor s-ar efectua operațiile booleene (de reuniune, intersecție sau diferență), în funcție de ceea ce urmărește proiectantul. Pentru a se permite reprezentarea și în astfel de situații, a fost proiectat algoritmul denumit "no_bool_hidden_lines". Ca o etapă premergătoare celei de stabilire a suprafețelor ascunse datorită intercalării unui corp pe direcția razei vizuale, are loc procesul de stabilire a muchiilor sau porțiunilor de muchii situate în interiorul altor corpuri.

O reprezentare obținută cu acest algoritm apare în figura 8.6.

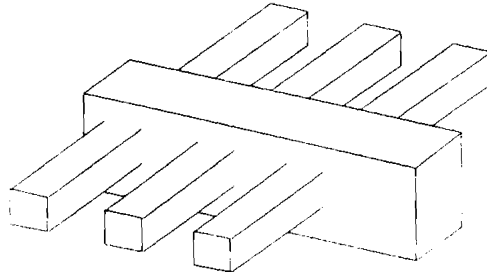


Figura 8.6.Reprezentare "no_bool_hidden_lines"

6. Ca o variantă a reprezentării corpurilor cu eliminarea liniilor ascunse, există posibilitatea trasării cu linie continuă a liniilor vizibile și cu linie punctată a celor ascunse. Fetele invizibile, adică acelea aflate în plane a căror normală nu este îndreptată spre punctul de observație, nu sunt reprezentate. Imaginea rezultată furnizează mai multe informații legate de forma corpurilor, fără însă a aglomera prea mult imaginea. Un exemplu este prezentat în figura 8.7.

8.3. PRINCIPIUL DE BAZĂ AL ALGORITMULUI PENTRU ELIMINAREA LINIILOR ȘI SUPRAFETELOR ASCUNSE PENTRU MODELE DE SOLIDE [MV194][MV294][MV394]

Algoritmul determină, pentru un ansamblu de corpuri, modul în care se ascund unele pe altele. În urma desenării ansamblului la plotter sau pe ecranul monitorului, se obține o imagine asemănătoare cu cea reală, așa cum este văzută

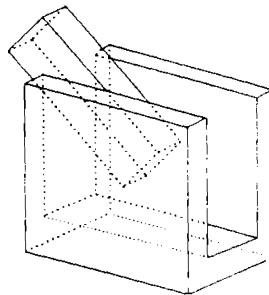


Figura 8.7.Reprezentare cu evidențierea liniilor ascunse

dintr-un anumit punct.

Algoritmul a fost proiectat în ideea ca în anumite situații utilizatorul să poată cere reprezentarea ansamblului de corpuri privit dintr-un punct diferit de punctul în care se găsește sursa de lumină, caz în care pe lângă porțiuni ascunse pot să apară și porțiuni umbrite. În cele ce urmează se face referire la situația în care punctul din care se privește este identic cu punctul în care se găsește sursa de lumină.

Algoritmul a impus structurarea datelor referitoare la un corp în felul următor:

Fiecare corp este descris prin poligoanele asociate fiecărei fețe. Fiecare poligon este descris prin planul în care se găsește și prin lista laturilor lui. Fiecare latură (muchie) este descrisă prin capetele ei, doi vertexi de coordonate date atât în 3D cât și în 2D, în planul de proiecție. Muchiile pot fi muchii duble dacă fac parte din două poligoane vizibile, sau muchii de contur (muchii exterioare) dacă fac parte dintr-un poligon potențial vizibil și unul invizibil.

Ascunderea fetelor sau porțiunilor de fețe ale unui corp poate fi datorată propriilor fețe (vezi fig.8.1) sau fetelor altor corpuri (vezi fig. 8.3).

Principiul de bază al algoritmului constă în faptul că porțiunile ascunse sunt căutate ca fiind delimitate de liniile de umbră lăsate de muchiile de contur ale corpurilor.

Întâi se stabilesc fețele potențial vizibile și cele invizibile, calculând unghiul format de direcția razei vizuale cu direcția normalei fiecărei fețe.

Întregul proces care urmează se referă la fețele potențial vizibile. Dintre acestea unele sunt complet vizibile, unele sunt complet ascunse de alte fețe, iar altele sunt parțial vizibile, parțial ascunse. Algoritmul are rolul de a determina porțiunile ascunse, pentru ca în final, reprezentând fețele vizibile și porțiunile de fețe vizibile, să se obțină o imagine asemănătoare cu cea reală.

Pentru a stabili muchiile ce pot lăsa linii de umbră, trebuie determinate liniile de contur ale fiecărui corp, adică secvențele închise de muchii de contur. O linie de contur conține bucle (anumite muchii se pot intersecta) în cazul în care corpul este concav. Pentru un corp se pot obține mai multe contururi în cazul în care acesta conține găuri.

Pentru ca în procesul de autoascundere să se lucreze cu segmente atomice (segmente care să nu mai poată fi divizate printr-o operație de intersecție), se efectuează intersecția tuturor muchiilor de contur ale unui corp. Prin intersecția a două muchii se înțelege de fapt intersecția proiecțiilor lor în planul de perspectivă. Se intersectează întâi muchiile aceluiași contur, după care se intersectează muchiile din contururi diferite. Punctele de intersecție determinate în acest proces

sunt marcate pe muchii și sunt memorate de asemenea într-o structură de date de tip listă înlântuită împreună cu perechea de muchii care le-au determinat. Această listă va fi utilizată într-o etapă ulterioară a algoritmului.

Pe lângă intersecția muchiilor de contur între ele, se efectuează și intersecția muchiilor de contur cu muchiile duble ale aceluiași volum, deoarece în procesul de stabilire a porțiunilor ascunse, intervin și aceste muchii.

În etapa următoare se iau în considerare toate solidele ce trebuie reprezentate. Principiul este același ca în cazul unui singur corp, dar pentru a reduce timpul de calcul al punctelor de intersecție se face o selecție prealabilă a poligoanelor potențial suprapuse în planul de perspectivă. Se partajează porțiunea utilă din planul de perspectivă într-un număr de dreptunghiuri, și se stabilesc corespunzător fiecărui dreptunghi, poligoanele ce se proiectează în porțiunea respectivă. Cu aceste poligoane se construiește o structură de date de tip listă înlântuită. În acest mod, operația de intersecție se va face numai între muchiile poligoanelor aflate în aceeași listă.

Pentru contururile ale căror bounding-box-uri se suprapun, se realizează intersecția proiecțiilor muchiilor de contur ale fiecărui volum cu proiecțiile tuturor muchiilor de contur ale celorlalte volume, precum și intersecția cu proiecțiile muchiilor duble ale tuturor volumelor. Intersecția are loc după ce în prealabil s-a stabilit că bounding-box-urile proiecțiilor celor două muchii se suprapun. Punctele de intersecție obținute vor fi marcate pe muchii și memorate în lista punctelor de intersecție împreună cu muchiile care le-au determinat.

În acest moment toate muchiile volumelor sunt descrise prin segmente atomice și se poate trece la procesul de stabilire a segmentelor de umbră. Se va ține seama de faptul că un segment de contur poate lăsa un singur segment de umbră, pe fața cea mai apropiată în partea opusă ochiului. Porțiunile de fețe delimitate de astfel de segmente vor fi ascunse. Pentru a putea delimita porțiunile rămase vizibile, fiecărui segment de umbră i se va asocia un segment opus, numit segment de lumină.

În acest scop, trebuie luate în considerare toate muchiile de contur ale tuturor volumelor pentru a stabili dacă pot lăsa linii de umbră și în caz afirmativ, care este poligonul pe care lasă această umbră. În această etapă se folosesc listele de poligoane proiectate într-o anumită porțiune a planului de perspectivă. Odată stabilită muchia care lasă umbră și poligonul pe care apare această umbră, se calculează proiecțiile capetelor muchiei ce lasă umbră pe poligonul în cauză și segmentul determinat de aceste puncte este memorat în structura de date corespunzătoare poligonului umbrat. Totodată se memorează ca segment de lumină în același poligon, segmentul opus celui de umbră.

În finalul acestui proces, poligoanele vor putea conține în structura lor de date, pe lângă muchiile inițiale, toate muchiile datorate procesului de autoascundere și ascundere. Astfel dintr-un singur poligon inițial ar putea rezulta mai multe poligoane noi, formate din muchiile inițiale, porțiuni de muchii inițiale și muchii noi. Cunoșcând tipul muchiilor care formează un astfel de poligon nou, se poate stabili tipul fiecărui poligon nou, poligon ascuns sau poligon vizibil. Porțiunile ascunse dintr-un poligon inițial sunt referite ca poligoane de umbră, iar porțiunile ce rămân vizibile, ca poligoane de lumină. Dacă în multimea tuturor poligoanelor rezultate există și poligoane al căror tip nu este încă cunoscut (vizibil sau ascuns), atunci, prin intermediul unui algoritm de propagare, se stabilește și tipul acestora. Odată cunoscute poligoanele vizibile și cele ascunse, ansamblul tuturor corpurilor poate fi reprezentat prin cele vizibile, furnizând astfel imaginea corpurilor așa cum ar fi ele văzute în realitate, cu porțiuni vizibile, fără porțiunile invizibile sau ascunse.

8.4. VARIANTE ALE ALGORITMULUI PREZENTAT

8.4.1. Algoritmul liniilor ascunse pentru corpuri suprapuse în spațiu

În procesul de proiectare apare necesitatea reprezentării corpurilor în 2D, înainte ca procesul de modelare să fie încheiat. Acest lucru nu exclude posibilitatea ca două sau mai multe corpuri sau porțiuni de corpuri să fie situate în același loc în spațiu. În această situație algoritmul prezentat nu mai funcționează corect, deoarece el se bazează pe ipoteza că se reprezintă doar ansambluri de corpuri care pot exista în realitate. Pentru a satisface nevoia proiectantului de a-și verifica munca, a fost generată o variantă a algoritmului, care admite ca în ansamblul de corpuri de reprezentat să fie și corpuri ce ocupă porțiuni comune din spațiu (vezi fig.8.6).

Această variantă a algoritmului stabilește în primul rând muchiile sau porțiunile de muchii ale fetelor potențial vizibile care sunt situate în interiorul altor corpuri. Fetele formate în întregime din astfel de muchii sunt fete ascunse.

În final se reprezintă acele porțiuni de muchii ale fetelor ce nu sunt complet ascunse, porțiuni care nu au fost marcate ca situate în interiorul altui volum.

În această reprezentare nu există doar contururi închise ca în cazul algoritmului anterior. Doar fetele complet vizibile vor apărea ca și contururi

închise. Fetele care pătrund în interiorul altui volum vor fi reprezentate printr-o linie frântă deschisă.

8.4.2. Algoritmul liniilor ascunse cu colorarea fetelor vizibile

Această variantă a algoritmului are la bază rezultatul furnizat de primul algoritm prezentat, rezultat ce constă din multimea poligoanelor vizibile date prin muchiile lor.

Fetele și porțiunile de fete vizibile sunt colorate în nuanțe de maro sau gri. Nuanțele sunt stabilite în funcție de unghiul format cu direcția punctului de vedere de către normala fiecărei fete vizibile. Cu cât planul în care se află fata este mai înclinat, cu atât nuanța este mai închisă la culoare.

În procesul de reprezentare în 2D, se trasează pe rând contururile închise corespunzătoare poligoanelor vizibile și se declanșează procesul de umplere cu culoare a suprafeței delimitate de fiecare contur, plecând de la un punct interior determinat prin calcul.

8.5. PRINCIPALELE PROBLEME ALE ALGORITMILOR LINIILOR ASCUNSE

1. O parte importantă a algoritmilor originali creați pentru ascunderea liniilor o ocupă tratarea cazurilor topologice particulare. Probleme deosebite a ridicat reprezentarea corpurilor cu fete, muchii sau vârfuri suprapuse, muchii aflate pe fete, cu vârfuri pe fete sau muchii, precum și reprezentarea corpurilor care în proiecția de perspectivă se aflau în una din aceste situații.

În figura 8.8 este prezentat cazul a două corpuri care au două fete identice suprapuse spațial. Aici, suprafața ascunsă a unuia din corpuri este delimitată chiar de muchiile ei.

Figura 8.9 scoate în evidență situația în care două muchii ale aceluiași corp sunt suprapuse în spațiu, și deci implicit apare situația de vârf pe vârf, precum și suprapunerea muchiilor în proiecția prespectivă.

2. O altă problemă care a trebuit să fie tratată în mod special a fost cea a corpurilor cu găuri. În acest caz, pe lângă faptul că au trebuit prevăzute modalități speciale de păstrare a informației relative la găuri, s-au efectuat adaptări în multe părți ale algoritmilor. Un exemplu este prezentat în figura 8.10.

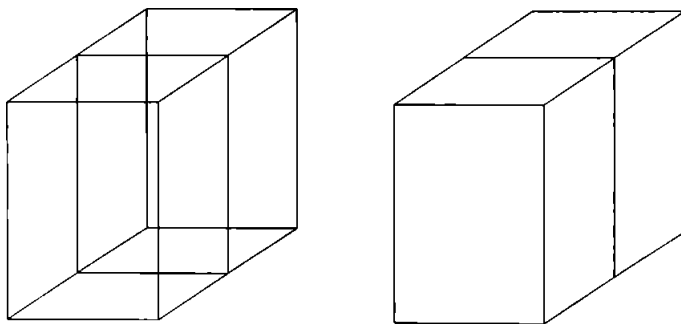


Figura 8.8. Corpuri cu fete suprapuse

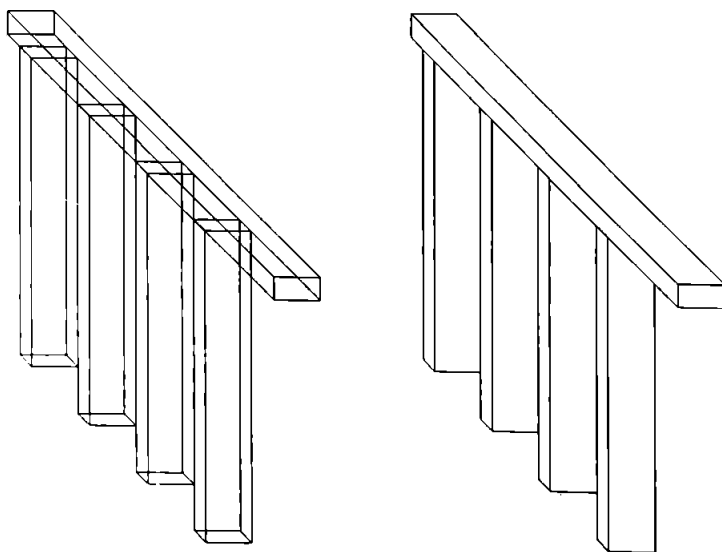


Figura 8.9. Corp cu muchii suprapuse

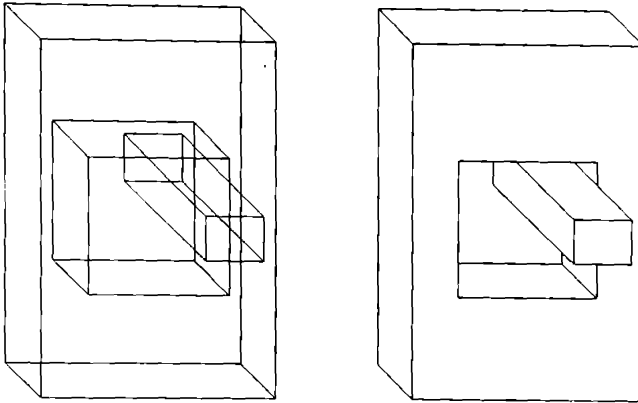


Figura 8.10. Corp cu gaură

8.6. STRUCTURILE DE DATE UTILIZATE ÎN PROGRAMELE DE LINII ASCUNSE

Structurile de date utilizate în programele ce implementează algoritmi pentru eliminarea liniilor și suprafețelor ascunse au fost create în scopul păstrării informației necesare temporar sau pe toată durata execuției programului.

Structura denumită *Window* definește tipul fereastră. Fereastra este o porțiune din ecran ce poate fi creată de utilizator și ea reprezintă spațiul de lucru efectiv. Se pot crea mai multe ferestre, dar doar una dintre ele este activă la un moment dat, doar asupra elementelor din cadrul ei pot fi executate operații de prefucrare. Din punctul de vedere al programului pentru eliminarea liniilor și suprafețelor ascunse, structura cuprinde tablouri cu volumele aflate în fereastră și câmpurile "teta" și "fi" care indică unghiul din care se privește întregul ansamblu de corpuri din fereastră.

Structura *Volume* se referă la datele unui solid și cuprinde pe lângă altele, câmpuri ce pot conține informații care interesează în problema modelării unui solid: un pointer la o listă de blocuri ce conțin pointeri la structurile de tip *Vertex* corespunzătoare vârfurilor prin care este definit modelul solidului; un pointer la o listă de blocuri ce conțin pointeri la structurile de tip *Poly* corespunzătoare poligoanelor asociate fețelor din care este alcătuit volumul; un pointer la o listă cu elemente de tip *PVertex* corespunzătoare punctelor prin care se va face reprezentarea solidului; un pointer la o listă cu elemente de tip *PictPoly*

corespunzătoare poligoanelor prin care se va face reprezentarea solidului: un pointer la un tablou cu elemente de tip *ConturList* corespunzătoare conturilor solidului.

Structura *PVertex* este asociată fiecărui punct prin care solidul va fi reprezentat în planul de perspectivă. Câmpurile *coord* și *pers* au aceeași semnificație ca în cazul structurii *Vertex*.

Tipul de dată *PictPoly* definit tot ca structură, se referă la poligoanele corespunzătoare fetelor potențial vizibile ale unui volum. Cuprinde informații despre muchiile unui poligon, volumul din care face parte precum și structura de tip *Poly* corespunzătoare acestuia (cărei fete a solidului îi corespunde). Prezintă ca și câmpuri pointeri la tablouri de tip *PEdge* în care sunt grupate muchiile exterioare (*extcontur*), muchiile duble ale poligonului (*doubt*), muchii noi datorate liniilor (segmentelor) de umbră (*shadowcut*) și de lumină (*lightcut*).

În structura *PEdge* sunt păstrate date despre o muchie a unui poligon: pointeri la structura *PVertex* corespunzătoare punctului de început și sfârșit al acesteia (*fv* și *sv*), un pointer la un tablou cu segmentele în care ea poate fi divizată de alte laturi în procesul de intersecție (*cedge*), segmente date prin punctele lor de început și sfârșit, precum și un câmp ce păstrează dimensiunea acestui tablou (*cbox*). Punctul de sfârșit al unui segment este identic cu punctul de început al următorului segment. Orice tăietură în latură conduce la inserarea punctului de tăiere de două ori în tabloul de segmente al laturii. Dacă latura nu prezintă nici o tăietură, în tablou nu vor exista decât punctul de început și de sfârșit al acesteia. Se păstrează numărul tăieturilor din latură.

Structura de tip *PairEdge* prin care se implementează o listă simplu înlănțuită, este creată pentru a păstra toate punctele de intersecție dintre proiecțiile muchiilor ce intervin în procesul de reprezentare a solidelor. Intersecția se datorește proiectării în planul de perspectivă a tuturor volumelor active (selectate). Pentru fiecare punct de intersecție din planul de perspectivă se memorează muchiile ale căror proiecții l-au determinat, poligoanele din care acestea fac parte precum și punctele de pe aceste muchii care corespund prin proiecție punctului de intersecție. În cazul în care muchiile se suprapun în perspectivă, vor exista două puncte prin care se delimitează segmentul comun și deci patru puncte reale pe cele două muchii.

Pentru a construi și utiliza conturile unui volum s-au definit tipurile de date *ConturEdge*, *ConturPoly*, *ConturList* și *Contur*.

Structura denumită *ConturEdge* păstrează date despre segmentele unei laturi a conturului, segmente obținute în urma intersecției laturii cu alte laturi.

Pentru fiecare segment se păstrează punctele lui de început și de sfârșit și un fanion v care indică vizibilitatea sa (0 - vizibil, -1 - ascuns).

ConturPoly este o structură corespunzătoare unei laturi a conturului. Prin intermediul ei sunt stocate informații privitoare la aceasta, precum și poligonul din care face parte, vertexii de început și de sfârșit ai laturii și un tablou de elemente de tip *ConturEdge* în care se păstrează toate segmentele în care se divizează latura în urma intersecțiilor.

Structura *ConturList* este atașată unui contur al volumului. Contine un pointer la un tablou de elemente *ConturPoly*, în care se află în ordine laturile ce definesc conturul, un câmp pentru memorarea numărului de laturi și bounding-box-ul proiecției conturului.

Tipul de dată *Contur* va conține toate contururile unui volum. Structura memorează numărul de contururi pe care le posedă volumul, un pointer la tabloul cu elemente de tip *ConturList* și bounding-box-ul proiecției solidului.

Structura denumită *Tabl* a fost creată pentru a introduce un criteriu în selecția elementelor ce intervin în diferitele etape ale procesului de intersecție. Planul de perspectivă este împărțit ca și tabla de sah, dar în 8×8 dreptunghiuri. Această împărțire are drept scop gruparea proiecțiilor poligoanelor în funcție de poziția lor în acest plan. Structura va conține un tablou bidimensional de pointeri la liste de pointeri la structuri *PictPoly*. Fiecare listă va conține pointerii la toate poligoanele care sunt proiectate în dreptunghiul corespunzător. Structura mai conține și valorile extreme care definesc tabla de sah. Prin utilizarea partitionării tip "tablă de sah" se reduce numărul de operații, prelucrările fiind făcute pe segmente de imagine.

8.7. FUNCȚIILE CARE IMPLEMENTEAZĂ ALGORITMI PREZENTAȚI ÎN CAPITOLUL 6

8.7.1. Funcții care implementează algoritmi pentru testele de bounding-box

Funcția *TestVolBoundBox*() stabilește dacă proiecțiile în planul de perspectivă a două solide specificate prin parametri de tip pointer la structurile de volum corespunzătoare ar putea să se suprapună sau nu. Funcția este utilă în stabilirea perechilor de solide care în planul de perspectivă nu au proiecții

suprapuse. În această situație nu se mai pune problema intersecției conturilor lor, deci se evită o serie de calcule inutile.

Funcția TestBoundingBox() stabilește dacă două contururi transmise ca parametrii ar putea să se suprapună în planul de proiecție. Cele două contururi pot fi ale aceluiași solid sau a două solide distincte. Intersecția conturilor este necesară în procesul de determinare a segmentelor atomice de muchii.

Funcția TestEdgeBBox() stabilește dacă proiecțiile în planul de perspectivă a două muchii specificate prin parametri de tip pointer la structurile *PEdge* corespunzătoare ar putea să se intersecteze sau nu. Acest test este util în algoritmul pentru stabilirea poziției relative a două segmente, pentru ca în final să se găsească un eventual punct de intersecție.

Funcția TestPctPolyBBox() stabilește dacă proiecția în planul de perspectivă a unui punct specificat prin parametrul de tip *Perspective* corespunzător ar putea să se găsească în interiorul bounding-box-ului proiecției unei fețe vizibile transmisă ca parametru prin intermediul pointerului la structura de tip *PictPoly* corespunzătoare. Funcția va fi apelată în cea care stabilește dacă un punct dat este în interiorul unui poligon dat.

8.7.2. Implementarea algoritmului pentru aflarea unui punct situat pe un segment dat când se cunoaște raportul în care punctul împarte segmentul

Acest algoritm a fost implementat prin intermediul macroinstructiei **PGET_POINT** pentru cazul în care se lucrează în planul de perspectivă. Prin argumentele ei, se dau următoarele informații: numele variabilei de tip *Perspective* care va conține coordonatele punctului căutat, segmentul specificat printr-un punct și direcția lui, de asemenea, în planul de perspectivă, precum și raportul în care punctul căutat trebuie să împartă segmentul, raport exprimat printr-un număr real, subunitar.

Pentru cazul în care se lucrează în spațiul modelului, acest algoritm a fost implementat prin intermediul macroinstructiei **GET_POINT**. Prin argumentele ei, se dau următoarele informații: numele variabilei de tip *Vector* care va conține coordonatele punctului căutat, segmentul specificat printr-un punct și direcția lui, de asemenea, în spațiul modelului, precum și raportul în care punctul căutat trebuie să împartă segmentul, raport exprimat printr-un număr real, subunitar.

8.7.3. Funcții care implementează algoritmi pentru calculul distanțelor

8.7.3.1. Funcția care implementează algoritmul pentru calculul distanței dintre două puncte

În cazul algoritmului pentru eliminarea liniilor ascunse, este necesară cunoașterea distanței dintre punctul de privire (ochi) și anumite puncte din spațiul modelului, cu scopul de a realiza o ordonare a punctelor în funcție de această distanță.

Dacă coordonatele punctului de privire sunt (ox, oy, oz) , iar ale punctului în cauză sunt (px, py, pz) , atunci distanța se calculează cu relația:

$$d = \sqrt{(px - ox)^2 + (py - oy)^2 + (pz - oz)^2}$$

Pentru a reduce timpul de calcul precum și erorile ce pot să apară, se renunță la extragerea radicalului, deoarece funcția radical fiind monotonă pe domeniul de interes păstrează relația de ordine dintre argumente și la nivelul valorilor funcției.

De aceea funcția `Distance()` calculează pătratul distanței:

$$l = (px - ox)^2 + (py - oy)^2 + (pz - oz)^2$$

Funcția primește ca parametru un pointer la structura `PVertex` atașată punctului față de care trebuie calculată distanța de la ochi și returnează valoarea expresiei de mai sus.

8.7.3.2. Implementarea algoritmului pentru calculul distanței de la un punct la o dreaptă

Funcția `PDIST` implementează algoritmul pentru calculul distanței de la un punct la o dreaptă dată prin două puncte în cazul în care acestea se găsesc în planul de perspectivă.

Funcția returnează o valoare reală care reprezintă distanța de la un punct dat ca argument prin coordonatele sale în cadrul structurii `Perspective` și o dreaptă dată prin două puncte ale sale specificate de asemenea prin intermediul

structurilor corespunzătoare de tip *Perspective*. Operațiile pe care le efectuează funcția sunt precizate în descrierea algoritmului.

Funcția **Dist()** implementează algoritmul pentru calculul distanței de la un punct dat prin coordonatele lui spațiale la o dreaptă specificată prin două puncte în cazul în care acestea sunt date prin coordonatele lor în sistemul de referință al modelului solidului.

8.7.4. Funcții pentru implementarea algoritmilor pentru determinarea poziției relative a două figuri geometrice

8.7.4.1. Funcția care implementează algoritmul pentru determinarea poziției relative a unui punct față de un plan

Funcția **SPlan** implementează acest algoritm în condițiile în care trebuie să se cunoască poziția relativă a unui punct dat prin coordonatele lui din sistemul de referință al modelului solidului față de planul în care se găsește o anumită față.

Funcția primește ca argumente punctul specificat prin pointerul la structura *PVertex* corespunzătoare și planul față de care trebuie stabilită poziția punctului, prin pointerul la structura *PictPoly* corespunzătoare unei fețe.

Este folosită macroinstrucțiunea **POS_P_PL** care calculează expresia obținută prin înlocuirea în ecuația planului a coordonatelor punctului dat. Argumentele macroinstrucțiunii sunt cele ale funcției. Funcția returnează una din valorile întregi 1, 0 sau -1, după cum semnul expresiei este pozitiv, nul sau negativ, respectiv după cum punctul se găsește de o parte a planului (indicată de sensul normalei), în plan, sau de cealaltă parte a lui.

8.7.4.2. Funcția care implementează algoritmul pentru determinarea poziției relative a două segmente

O astfel de funcție este necesară în situația în care se verifică dacă două muchii din planul de perspectivă se intersectează sau nu.

Funcția **GetIntP()** determină poziția relativă a două segmente de dreaptă date prin coordonatele capetelor lor în planul de perspectivă. În funcție de poziția lor relativă funcția returnează o anumită valoare întregă.

Stabilirea poziției relative se face în funcție de valorile calculate pentru distanța de la fiecare capăt al unui segment la suportul celuilalt.

Dacă capetele segmentelor sunt notate cu P_1 , P_2 , respectiv P_3 și P_4 și distanțele de la aceste puncte la suportul corespunzător celui alt segment sunt d_1 , d_2 , respectiv d_3 și d_4 , pot exista următoarele situații:

1. Segmente neintersectate în cazurile în care:

- $d_1 * d_2 > 0$ și $d_3 * d_4 > 0$ (suporturile segmentelor se intersectează în afara segmentelor);
- $d_1 * d_2 < 0$ și $d_3 * d_4 > 0$ (suporturile segmentelor se intersectează în interiorul primului segment dar în afara celui de al doilea);
- $d_1 * d_2 > 0$ și $d_3 * d_4 < 0$ (suporturile segmentelor se intersectează în afara primului segment dar în interiorul celui de al doilea);
- $d_1 = 0$ sau $d_2 = 0$ și $d_3 * d_4 > 0$ (primul segment se sprijină cu unul din cele două capete pe suportul celui de al doilea, dar în afara segmentului);
- $d_3 = 0$ sau $d_4 = 0$ și $d_1 * d_2 < 0$ (al doilea segment se sprijină cu unul din cele două capete pe suportul primului, dar în afara segmentului);
- $d_1 = d_2$ și nenule (suporturile celor două segmente sunt paralele).

În toate cazurile de mai sus funcția returnează valoarea -1.

2. Segmente intersectate în cazurile în care:

- $d_1 * d_2 < 0$ și $d_3 * d_4 < 0$ cu un punct de intersecție situat în interiorul ambelor segmente, punct ce poate fi calculat folosind algoritmul de intersecție; funcția returnează 0;
- $d_1 = 0$ sau $d_2 = 0$ și $d_3 * d_4 < 0$ cu punctul de intersecție P_1 sau P_2 ; funcția returnează 1 respectiv 2;
- $d_3 = 0$ sau $d_4 = 0$ și $d_1 * d_2 < 0$ cu punctul de intersecție P_1 sau P_2 ; funcția returnează 3 respectiv 4;

3. Segmente situate pe același suport în cazul în care

- $d_1 = d_2 = 0$ cu cazurile distincte tratate de algoritmul pentru determinarea poziției relative a două segmente coliniare; funcția returnează o valoare întreaga din intervalul 5 - 14 (inclusiv).

8.7.4.3. Funcția care implementează algoritmul pentru determinarea poziției relative a două segmente coliniare

În procesul de stabilire a segmentelor atomice de muchii, este necesar să se cunoască modul în care sunt situate relativ unul la celălalt două segmente coliniare, adică dacă au sau nu o porțiune comună.

Funcția **OrdSegSupr()** implementează algoritmul pentru determinarea poziției relative a două segmente coliniare.

Parametrii funcției sunt punctele extreme a două muchii, precum și doi pointeri la întregi în care se vor returna sensurile segmentelor, relativ la un sens conventional de ordonare după una din cele două coordonate de perspectivă. Funcția returnează o valoare întreagă corespunzătoare cazului stabilit.

Sensul unei muchii se determină comparând valorile coordonatei alese pentru ordonare ale capetelor fiecărui segment. Dacă coordonata corespunzătoare primului capăt al segmentului este mai mică decât cea a celui alt capăt, atunci variabila care va returna sensul va primi valoarea 1. În caz contrar valoarea va fi -1.

În raport cu coordonatele plane ale celor patru puncte se disting următoarele cazuri:

- Muchiile se află pe aceeași direcție, dar nu se suprapun sau cel mult au câte un capăt comun; funcția va returna -1.

- Muchiile sunt de aceeași dimensiune și se suprapun perfect; funcția va returna 14.

- Punctele de început ale celor două muchii (orientate) coincid, existând două cazuri distincte: prima muchie o include pe a doua și situația inversă; funcția va returna 6 respectiv 9.

- Punctele de sfârșit ale celor două muchii coincid, existând două cazuri în funcție de care muchie o include pe cealaltă; funcția va returna 8 respectiv 10.

- Segmentul comun al celor două muchii este delimitat de vertexul primei laturi care are perspectivele cele mai mici și vertexul laturii a doua cu perspectivele cele mai mari; funcția va returna 5.

- Muchia a doua este complet inclusă în prima muchie; funcția va returna 7.

- Prima muchie este complet inclusă în muchia a doua; funcția va returna 11.

- Segmentul comun al celor două muchii este delimitat de vertexul celei de-a doua laturi care are perspectivele cele mai mici și vertexul primei laturi cu perspectivele cele mai mari; funcția va returna 12.

În plus, funcția stabilește un sens relativ exprimat prin valorile 1 sau -1, dacă extremitățile fiecărui segment sunt sau nu date în ordinea crescătoare a coordonatei luate în considerare pentru studiul cazului de suprapunere.

8.7.5. Implementarea algoritmului pentru determinarea punctului de intersecție dintre două segmente

Deoarece determinarea punctului de intersecție se face pe baza distantelor de la fiecare capăt al unui segment la suportul celuilalt, valori folosite și în algoritmul pentru determinarea poziției relative a două segmente, algoritmul nu este implementat ca o funcție de sine stătătoare, ci printr-o secvență de instrucții care calculează raportul în care punctul de intersecție împarte unul din segmente și care determină punctul prin intermediul macroinstrucțiunii `PGET_POINT`.

8.7.6. Implementarea algoritmului pentru selecția unei muchii în cazul stabilirii conturului unui poligon atomic

Funcția `SelectNextEdge`

Funcția `SelectNextEdge()` stabilește acea muchie dintr-o listă de muchii ce pleacă din același punct, pe cea care este situată cel mai la stânga în raport cu o muchie ce are sfîrșitul în punctul comun al muchiilor din listă.

În cazul în care funcția nu poate identifica o astfel de muchie, se returnează -1, ca semn de eroare.

8.7.7. Implementarea algoritmului pentru testul de interior

Funcția `PInterTest1` stabilește dacă un punct se găsește în interiorul proiecției unui poligon în planul de perspectivă.

Funcția primește ca parametri de intrare structura corespunzătoare punctului de testat, pointerul la structura muchiei al cărei început este punctul dat și pointerul la structura poligonului față de care se stabilește poziția punctului.

Funcția returnează o valoare întreagă care specifică poziția relativă a punctului față de poligon: 1 dacă punctul este în interior, 0 dacă punctul este exterior.

8.7.8. Implementarea functiilor pentru calculele de adâncime

Funcția **pVisibilityTest** determină un punct dintr-un plan dat, atunci când se cunosc coordonatele lui de perspectivă.

Ca parametrii de intrare, funcția are un pointer la structura *PVertex* corespunzătoare unui punct și un pointer la structura *PictPoly* corespunzătoare unui poligon.

Funcția returnează un pointer la structura *PVertex* care conține punctul determinat, prin coordonatele spațiale și cele de perspectivă.

Funcția **pVisibilityTest()** stabilește punctul din planul poligonului transmis ca parametru care are aceeași proiecție în planul de perspectivă cu punctul transmis ca parametru.

Pentru aceasta folosește macroinstrucțiunile **VECTOR**, **VECTADD**, **VECTSUB**, **GET_POINT** și **VECTCOPY** care rezolvă practic intersecția dintre planul poligonului dat și dreapta determinată de ochi și punctul dat ca parametru.

Funcția **mVisibilityTest** are rolul de a determina două puncte din spațiul modelului aflate pe două muchii, atunci când se cunoaște proiecția lor comună din planul de perspectivă. Ea utilizează algoritmul pentru determinarea coordonatelor spațiale ale unui punct atunci când se cunosc coordonatele proiecției perspective și planul în care se găsește punctul.

Această funcție are ca parametrii de intrare următoarele date:

- coordonatele de perspectivă ale unui punct ;
- pointeri la poligoanele în care se găsesc muchiile pe care sunt situate punctele căutate.

Parametrii de ieșire sunt pointeri la structurile de tip *Vector* care vor conține coordonatele spațiale ale punctelor căutate.

Funcția folosește o serie de macroinstrucții pentru crearea unui vector (**VECTOR**), adunarea (**VECTADD**) și scăderea (**VECTSUB**) a doi vectori, calculul produsului scalar a doi vectori (**SCALPRD**) și determinarea unui punct de pe o dreaptă dată atunci când se cunoaște poziția sa relativă la capetele segmentului dat pe acea dreaptă (**GET_POINT**).

8.7.9. Implementarea algoritmului pentru determinarea fetelor potential vizibile

Funcția **HPolyVisibility** implementează algoritmul pentru determinarea fetelor potential vizibile.

Parametrii funcției sunt un pointer la structura corespunzătoare unui volum și un pointer la structura corespunzătoare unui poligon al volumului.

Funcția returnează un număr întreg în funcție de gradul de vizibilitate al poligonului, relativ la punctul din care este privit corpul.

Se construiește vectorul ce unește un vârf al poligonului cu punctul din care se privește corpul. În funcție de valoarea produsului scalar dintre acest vector și vectorul normal fetei, se obține gradul de vizibilitate a fetei în raport cu ochiul.

Dacă produsul este mai mic ca zero poligonul se află în partea invizibilă a corpului și funcția va returna -1.

Dacă produsul este mai mare ca zero poligonul se află în partea vizibilă a corpului și funcția va returna o valoare pozitivă dependentă de înclinatia fetei în raport cu ochiul. Această înclinatie este invers proporțională cu cosinusul unghiului format de cei doi vectori.

8.7.10. Implementarea algoritmului pentru determinarea conturilor unui solid

Funcția **GetContur()** implementează algoritmul pentru determinarea conturilor unui solid. Ea stabilește conturile volumului primit ca parametru. Conturile găsite se păstrează într-o zonă de memorie special rezervată, atașată structurii de tip *Volum* a solidului considerat.

Se alocă dinamic memorie pentru un tablou de elemente de tip *ConturPoly* în care se copiază toate laturile exterioare ale poligoanelor vizibile din volum (se parcurge tabloul de *pictpoly-uri* al volumului și se copiază listele de laturi exterioare ale fiecărui poligon). Se creează un al doilea tablou asemănător cu primul dar neinitializat. În această situație se vor construi conturile volumului. Din tabloul de bază este copiată o latură în cel de al doilea tablou. Se parcurge lista de laturi exterioare și se determină succesoarea primei laturi (primul vertex al acestei laturi este identic cu ultimul vertex al laturii anterioare). Este memorată și această latură în cel de al doilea tablou. Secvența se repetă până în momentul în care lanțul de laturi s-a închis, ultima latură găsită având punctul de sfârșit identic cu punctul de început al primei laturi. Pentru acest contur obținut se creează o

dată de tip *ConturList* în care se va păstra conturul. În cazul în care nu toate laturile exterioare ale volumului sunt incluse în conturul găsit, se reiau operațiile pentru a se determina un alt contur. Toate contururile vor fi incluse în structura de tip *Contur* corespunzătoare volumului.

8.8. FUNCȚIILE NECESARE IMPLEMENTĂRII ALGORITMULUI PENTRU ELIMINAREA LINIILOR SI SUPRAFETELOR ASCUNSE

8.8.1. Principalele funcții care stau la baza implementării[Mic87]

Funcția *HiddenList*

Funcția principală a programului este denumită **HiddenList** și are ca unic parametru o variabilă de tip *short* prin care se precizează opțiunea de desenare a ansamblului de corpuri selectate de utilizator.

Ca ieșire, funcția furnizează reprezentarea corpurilor într-o imagine asemănătoare cu cea reală în care liniile ascunse nu sunt desenate.

În mediul pentru care s-a făcut implementarea, corpurile care vor fi reprezentate sunt cele corespunzătoare volumelor active din fereastra activă.

Funcția folosește valorile unghiulare *teta* și *fi*, definiții pentru punctul din care se privește.

Pentru reducerea duratei de execuție a programului, structurile de date utilizate care dau informații referitoare la liniile ascunse sunt memorate într-un fișier. În cazul în care se solicită opțiunea pentru linii ascunse fără modificarea unghiurilor sub care sunt privite corpurile, nu se mai refac calculele, ci se extrag informațiile din fișier. De aceea, prima operație efectuată este compararea unghiurilor curente cu cele memorate în tablourile statice în locația corespunzătoare ferestrei. În caz de identitate și în cazul în care operația a mai fost făcută (fanionul *Hidden_Lines* are valoarea *TRUE*), se execută secvența de desenare a volumelor fără a se mai repeta calculele.

Procesul propriu-zis de ascundere a liniilor începe prin apelul ciclic al funcției *VolHidden()* pentru fiecare din volumele care interesează (selectate). Funcția stabilește liniile de contur ale volumului dat ca parametru. Conturul unui corp reprezintă o înălțuire de muchii exterioare așezate în ordinea succesiunii lor

astfel încât să formeze un lant închis. Pentru un corp se pot obtine mai multe contururi în cazul în care volumul este concav. O eroare apărută în timpul acestui proces va determina reprezentarea solidului respectiv prin toate muchiile sale, vizibile si invizibile.

Pe lângă aceasta, funcția VolHidden() determină intersecțiile în planul de perspectivă dintre muchiile unui contur precum si cele dintre muchiile a două contururi prin funcția CutContur(), în cazul în care un anumit volum are mai multe contururi. Tot aici se stabilesc intersecțiile în planul de perspectivă dintre muchiile conturului si muchiile duble (dintre două fete potential vizibile).

Cu ajutorul funcției CreateTable() planul de reprezentare se împarte în mici dreptunghiuri, ca o tablă de sah. Fiecărui dreptunghi i se asociază o listă simplă înlântuită care cuprinde pointeri la toate poligoanele ce au proiectia în acea portiune a planului de perspectivă, indiferent de volumul de care apartin.

Cu ajutorul funcției CutConturTwoVol() se determină punctele de intersecție dintre proiecțiile conturilor tuturor volumelor luate în considerare precum si cele dintre muchiile de contur si muchiile duble.

Pentru fiecare volum din lista de volume active se parcurg toate contururile sale, latură cu latură, apelându-se funcția SearchPoly(). Această funcție returnează poligonul pe care segmentul din contur lasă umbră. Dacă acest poligon există, este apelată funcția InterPol(). Aceasta introduce în poligon segmentul lăsat ca linie de umbră si un segment opus lui ca linie de lumină. Astfel, pentru fiecare poligon se va obtine o listă cu segmente de umbră si de lumină. Funcția RemakeVol() construiește poligoanele vizibile si invizibile ale fiecărui volum, determinând care poligoane sau portiuni din ele vor fi reprezentate.

După fiecare etapă a funcției HiddenList() există o secvență de program prin care se permite întreruperea executiei programului. În cazul în care se dorește întreruperea se tastează ESC, se eliberează memoria alocată dinamic pentru variabilele din program, se pozitionează indicatorul Hidden_Lines pe FALSE (operatia de ascundere a liniilor nu s-a realizat) si se revine în funcția apelantă.

Funcția VolHidden

Funcția are rolul de a pregăti informatiile referitoare la volumul curent în vederea operatiilor necesare în procesul de eliminare a liniilor si suprafetelor ascunse.

Functia primeste ca parametri un pointer la structura de date corespunzătoare unui volum si un pointer la o listă simplu înlântuită de tip *PairEdge*.

Functia returnează o valoare întreagă pentru a preciza succesul sau esecul operatiilor pe care le-a efectuat.

În această functie se apelează functia *SelectVisiblePolygons()* care stabileste fetele potential vizibile ale corpului si functia *MakePictPolyTable()* care completează structurile de date ale acestora. Odată cunoscute muchiile fiecărei fete si tipul lor, se poate trece la determinarea conturilor solidului. În acest scop se apelează functia *GetContur()*.

Deoarece în cazul corpurilor concave conturile pot forma bucle, este necesar să se efectueze eventualele intersectii dintre proiectiile muchiilor fiecăru contur.

Se stabileste bounding-box-ul proiectiei volumului prin apelul functiei *GetVolBoundingBox()*.

În cazul corpurilor cu găuri care pot avea mai multe contururi, există posibilitatea suprapunerii proiectiilor conturilor în planul de perspectivă. Deoarece în procesul de stabilire a liniilor ascunse este necesar să se lucreze cu segmente atomice, se apelează functia *CutContur()* care efectuează intersectiile dintre muchiile diferitelor contururi ale solidului precum si dintre muchiile de contur si muchiile duble ale volumului.

Functia SearchPoly

Functia *SearchPoly()* are rolul de a stabili pe ce poligon lasă umbră un segment al unei muchii de contur. Poligonul stabilit este returnat functiei apelante.

Functia are ca parametrii de intrare pointerul la structura corespunzătoare unei muchii de contur si la cea a unui segment al ei precum si pointerul la lista punctelor de intersectie.

Dacă portiunea de muchie aflată în continuarea celei transmise ca parametru se află în spatele a cel puțin unui poligon, functia o marchează ca ascunsă si returnează 0, semn că ea nu poate lăsa umbră pe nici un poligon. În caz contrar însă, trebuie determinat poligonul cel mai apropiat pe care se va marca linia de umbră.

Pentru a stabili acest lucru se apelează functiile *PInterTest1()* si *SPlan()*. Functia *PInterTest1()* determină dacă sfârșitul segmentului de muchie următor se proiectează în planul de perspectivă în interiorul unui poligon dat. Functia *SPlan()*

stabilește dacă acest punct este de aceeași parte cu punctul de vedere relativ la un poligon dat sau este în partea opusă.

În cazul în care muchia nu este ascunsă, ea poate lăsa o umbră. Pentru a determina poligonul pe care lasă umbră, se caută în lista punctelor de intersecție muchiile cu care se intersectează muchia curentă și care fac parte din poligoanele situate în aceeași porțiune a planului de perspectivă. Aceste poligoane se determină pe baza coordonatelor de perspectivă ale punctului de sfârșit al muchiei următoare și a tabloului de 64 de liste. Aceste poligoane se ordonează într-o listă în funcție de distanța lor față de punctul de privire. Umbra va fi lăsată pe poligonul cel mai apropiat care are proprietatea că sfârșitul porțiunii de muchie care lasă umbră se proiectează în planul de perspectivă în interiorul poligonului.

8.8.2. Funcții care implementează crearea bazei de date necesare algoritmului de eliminare a liniilor și suprafețelor ascunse

Funcția `SelectVisiblePolygons`

Funcția primește ca parametru un pointer la structura de tip *Volume* corespunzătoare unui corp și stabilește care sunt fețele lui potențial vizibile.

Funcția ia în considerare fiecare poligon al volumului dat ca parametru și testează dacă este o față potențial vizibilă sau invizibilă, cu ajutorul funcției `HPolyVisibility()`. În cazul în care fața este potențial vizibilă, ea este inserată în tabloul cu elemente de tip *PictPoly* al volumului și gradul de vizibilitate este marcat într-un câmp al structurii *PictPoly*. Această valoare este folosită ulterior în cazul în care se dorește reprezentarea colorată a fețelor vizibile, pentru a stabili nuanța corespunzătoare fiecărui poligon.

Fiecărei fețe potențial vizibile îi va corespunde un element al tabloului. Crearea tabloului se face cu funcția `InsertPictPoly()`. Fețele invizibile nu vor avea un corespondent în acest tablou, ci doar vor fi marcate ca fiind de acest tip.

Funcția `MakePictPolyTabel`

Această funcție are drept scop completarea câmpurilor din structura *Volume* corespunzătoare modelului unui solid, cu informațiile referitoare la poligoanele potențial vizibile. Acestea sunt legate de conturul poligonal al fiecărei fețe, tipul fiecărei muchii și calculul parametrilor ce definesc bounding-box-ul proiectiei fiecărei muchii și fiecărei fețe.

Funcția parcurge tabloul poligoanelor vizibile ale volumului dat ca parametru. Pentru fiecare poligon în parte se porneste de la un vârf al său (vertexul cu numărul indicat de câmpul f_point din structura *Poly* corespunzătoare poligonului). Se testează prin funcția *SearchPictVertex()* dacă vârful se află în lista de blocuri de vertexi indicată de câmpul f_pvtx al volumului. Dacă nu este, se inserează în listă prin funcția *InsertPictVertex()*. Prin intermediul funcției *StartPolyRead()* se determină vecinul primului vertex din poligonul respectiv. Cei doi vertexi reprezintă extremitățile unei muchii a poligonului. Se verifică dacă această muchie este dublă sau exterioară. Cu funcția *GetRightPolyNumber()* se obține poligonul aflat în dreapta muchiei. Dacă acest poligon este potential vizibil latura va fi inserată în lista de muchii duble, iar în caz contrar în lista de muchii exterioare. Aceste liste sunt indicate de câmpurile *doubl* și *extcontur* ale structurii *PictPoly* corespunzătoare poligonului.

Se determină următorul vertex al poligonului cu ajutorul funcției *GetNextPolyVertex()*, iar muchia determinată de acesta și vertexul anterior lui este supusă aceleiași secvențe de operații ca cea precedentă pentru stabilirea tipului ei și a poligonului din dreapta.

Aceste operații se reiau până la închiderea conturului poligonal al feței. Inserarea lor în tablourile de muchii se face prin funcția *InsertDoubSegment()*, respectiv prin funcția *InsertExtSegment()*.

În cazul în care poligonul prezintă găuri, întreaga operație trebuie reluată pentru determinarea conturului acestora, a tipului fiecărei muchii și a poligonului din dreapta fiecărei muchii. Vertexii pe baza cărora se determină secvența de muchii a fiecărei găuri se găsesc precizați tot în structura *Poly* corespunzătoare feței curente.

Fiecare vârf al fiecărei fețe vizibile este supus testului prin care se verifică dacă structura de tip *PVertex* corespunzătoare este inserată în lista indicată de câmpul f_pvtx din structura de tip *Volume* asociată volumului. Testul se face prin funcția *SearchPictVertex()*. Dacă nu este, se inserează în listă prin funcția *InsertPictVertex()*.

În final fiecare poligon vizibil al volumului va avea în structura *PictPoly* corespunzătoare o listă ordonată a muchiilor sale exterioare precum și o listă a muchiilor duble.

Funcția CreateTabl

Funcția are rolul de a stabili lista poligoanelor ale căror proiectii se găsesc

în fiecare din cele $8*8 = 64$ de dreptunghiuri în care a fost divizat planul de proiectie.

Funcția determină mai întâi coordonatele extreme ale porțiunii din planul de perspectivă ocupate de proiecțiile modelelor solidelor de reprezentat. Pentru aceasta se compară valorile bounding-box-urilor proiecțiilor tuturor volumelor, astfel încât să se obțină valorile extreme pentru punctele de perspectivă. Aceste valori notate cu $xmin$, $ymin$, $xmax$, $ymax$ vor fi memorate în structura de tip *Tabl* corespunzătoare ansamblului de corpuri de reprezentat. Divizarea planului de proiectie în cele 64 dreptunghiuri se face pe baza acestor valori maxime și minime.

Pentru fiecare volum din ansamblul de corpuri, se parcurge tabloul corespunzător fetelor potential vizibile. Pe baza bounding-box-ului fiecăruia se vor stabili dreptunghiurile în care se găsesc porțiuni ale proiecției sale și în listele atasate acestor dreptunghiuri se vor insera elemente care să indice poligonul curent.

Astfel în urma parcurgerii tuturor poligoanelor se obține gruparea lor în funcție de poziția proiecțiilor lor în planul de perspectivă, independent de volumele din care fac parte.

8.8.3. Funcții care implementează operațiile de intersecție

Funcția CutContur

Funcția are rolul de a stabili posibilele puncte de intersecție dintre proiecțiile muchiilor a două contururi ale aceluiași volum, precum și dintre proiecțiile muchiilor de contur și proiecțiile muchiilor duble.

Funcția are ca argument pointerul la structura corespunzătoare volumului în cauză. Efectul operațiilor continute în această funcție se va regăsi în lista punctelor de intersecție calculate, precum și în structura muchiilor de contur și a muchiilor ce definesc conturul fiecărui poligon.

Pentru realizarea obiectivului funcției se apelează funcția *GetIntContur()* care în cazul în care i se transmit ca parametri pointerii la structurile de tip *ConturList* corespunzătoare la două contururi, efectuează intersecția dintre muchiile acestora, iar în cazul în care i se transmite un singur astfel de pointer, efectuează intersecția dintre muchiile acestui contur și muchiile duble ale volumului.

Funcția GetIntContur

Funcția poate fi apelată pentru intersecția a două contururi, sau intersecția unui contur cu muchiile duble ale unui volum. Alegerea între cele două variante se face în funcție de valoarea unui argument (1 sau 0).

În primul caz, parametrii funcției sunt doi pointeri la tablouri de elemente de tip *ConturList* corespunzătoare celor două contururi ce urmează a fi intersectate și un pointer la lista în care se păstrează punctele de intersecție.

În al doilea caz, parametrii funcției sunt un pointer la tabloul de elemente de tip *ConturList* corespunzător unui contur, un pointer la structura *Volume* a solidului cu are cărui muchii trebuie intersectate muchiile conturului, precum și pointerul la lista punctelor de intersecție. Deoarece muchiile duble apar de două ori în ansamblul muchiilor care definesc contururile fetelor vizibile și pentru ca să nu se efectueze de două ori aceleași operații, fiecare muchie dublă este verificată dacă a fost sau nu luată deja în considerare.

Perechile de muchii din cele două categorii sunt tratate în vederea intersecției cu ajutorul funcției *TwoEdgeInt()*.

Funcția TwoEdgeInt

Funcția asigură introducerea în structurile de date corespunzătoare a informațiilor referitoare la eventuala intersecție a proiecțiilor celor două muchii precizate în lista de argumente a funcției.

Muchiile care sunt considerate în vederea operației de intersecție pot fi două muchii de contur sau o muchie de contur și o muchie dublă. Alegerea variantei se realizează în funcție de parametrii primiți de funcție. Parametrii formali ai funcției sunt pointerii la structurile corespunzătoare muchiilor de intersectat, pointerul la structura poligonului căruia îi aparține muchia dublă și un pointer la lista simplu înlăntuită în care se vor păstra punctele de intersecție.

Pentru operația de intersecție dintre proiecțiile a două muchii de contur, parametrii efectivi vor fi cei doi pointeri la structurile muchiilor de contur, iar pointerii la structura corespunzătoare muchiei duble și a poligonului sunt poziționați pe *NULL*. La intersecția între proiecția unei muchii de contur și proiecția unei muchii duble parametrii efectivi vor fi pointerul la structura unei muchii de contur și a unei muchii duble, pointerul la structura poligonului în care se găsește această muchie dublă, iar cel de al doilea pointer la structura de muchie de contur este poziționat pe *NULL*.

Prin apelul funcției `Intersect()` se stabilește poziția relativă a două segmente, proiecțiile celor două muchii. În funcție de valoarea returnată de această funcție, adică de poziția relativă a celor două segmente, tratarea problemei va urma unul din următoarele cazuri:

- Dacă laturile nu se intersectează se părăsește funcția, returnându-se valoarea -1.
- Dacă segmentele se intersectează, se determină punctele de pe muchii care au proiecția în punctul de intersecție a proiecțiilor muchiilor, cu ajutorul funcției `mVisibilityTest()`. Depinde de tipul muchiilor ce operații se fac în continuare și ce informație se introduce în lista punctelor de intersecție. În cazul a două muchii de contur, în listă se introduce un element ce conține pointeri la cele două muchii, la poligoanele din care fac parte, precum și la structurile `PVertex` corespunzătoare noilor puncte găsite. De asemenea, aceste puncte sunt folosite la divizarea muchiilor pe care se află. Deoarece muchiile de contur apar și în structurile de tip `ConturEdge` și în `PEdge`, este necesar ca divizarea unei muchii să fie reflectată în ambele. Pentru aceasta se apelează funcțiile `CutConturPoly()` și `CutEdge1()`.
 - ◊ Dacă punctul de intersecție este între P_1 și P_2 și între Q_1 și Q_2 , iar Q_1Q_2 este latură a conturului, se execută următoarea secvență de program cunoscând proiecțiile de perspectivă ale punctului de intersecție, prin intermediul funcției `mVisibilityTest()` se vor determina coordonatele punctelor reale de pe cele două laturi care se "intersectează"; pentru fiecare din puncte, se apelează funcția `InsertVer()` care creează un vertex având coordonatele determinate cu funcția `mVisibilityTest()` și proiecțiile identice cu ale punctului de intersecție; acest punct este introdus atât în lista de segmente a laturii din contur căreia îi aparține cât și în lista de segmente a laturii exterioare corespunzătoare, din tabloul de laturi exterioare a poligonului din care face parte latura. Cele două operații sunt realizate de funcția `CutConturPoly()`, respectiv funcția `CutEdge1()`; apoi cei doi vertexi astfel obținuți sunt introduși în elementul din lista punctelor de intersecție corespunzător acestui punct de intersecție.
 - ◊ Dacă latura Q_1Q_2 este latură dublă, secvența de program este puțin diferită: pentru punctul determinat de intersecție pe latura dublă se calculează coordonatele sale reale cu funcția `mVisibilityTest()`; se creează vertexul acestui punct; se calculează distanța de la ochi la punct și se compară cu distanța de la ochi la punctul de intersecție pe cealaltă latură, testându-se în

acest mod care din cele două laturi este mai apropiată de ochi. Dacă latura dublă este deasupra, tăietura provocată de intersecție pe latura din contur nu va mai fi memorată în lista de segmente a acesteia și nici în lista de segmente a laturii exterioare corespunzătoare acestei laturi, iar punctul de pe latura dublă va fi păstrat în ambele câmpuri q_1 și q_2 ale structurii *PairEdge* care îi corespunde acestui punct de intersecție. În schimb dacă latura din contur este deasupra, tăietura va fi memorată în listele de segmente ale laturii de contur, punctul de pe latura dublă va fi păstrat doar în câmpul q_1 al structurii *PairEdge*; se va determina în poligonul din dreapta laturii duble latura care îi corespunde acesteia și se va memora atât în lista de segmente a acesteia cât și în cea a laturii duble punctul de tăietură obținut. Dacă P_1 sau P_2 se sprijină în interiorul muchiei Q_1Q_2 , iar aceasta aparține conturului, cu ajutorul funcțiilor *mVisibilityTest()* și *InsertVer()* se obține punctul de pe muchia Q_1Q_2 care va avea aceleași perspective ca și punctul P_1 sau P_2 . Pentru acest punct se apelează apoi funcțiile *CutConturPoly()* și *CutEdge1()* care actualizează lista de segmente a muchiei respective, apoi se completează informația și în elementul din tabloul punctelor de intersecție corespunzător acestui punct de intersecție.

- ◊ Dacă însă muchia Q_1Q_2 este muchie dublă vor apare din nou două situații: muchia dublă este deasupra muchiei de contur sau invers. Pentru prima situație tăietura de pe latura dublă va fi inclusă atât în câmpul q_1 cât și în câmpul q_2 al elementului corespunzător acestui punct de intersecție din lista *el*, dar nu va fi păstrată și în lista de segmente a laturii duble. Pentru situația a doua, în poligonul din dreapta laturii duble se determină latura identică cu aceasta dar de sens contrar, tăietura fiind inclusă în lista de segmente a ambelor laturi. Se completează informația și în elementul din lista punctelor de intersecție (lista *el*). Latura identică cu latura dublă dar de sens invers, este obținută cu ajutorul funcției *FindRDoub()*.
- ◊ Dacă Q_1Q_2 este latura de contur și Q_1 sau Q_2 se sprijină în interiorul muchiei P_1P_2 se reia întreaga secvență de operații pentru punctul de pe muchia P_1P_2 ce corespunde, la intersecție, punctului Q_1 sau Q_2 de pe muchia Q_1Q_2 . Dacă însă cea de a doua muchie este dublă și este deasupra muchiei de contur, tăietura de pe latura de contur nu va fi memorată în lista de segmente a acestei laturi realizându-se doar inserarea informației în lista *el*. Pentru situația inversată tăietura datorată intersecției este inclusă și în listele de segmente ale laturii de contur folosind funcțiile *CutConturPoly()* și *CutEdge1()*. Dacă cele două muchii se suprapun având ca zonă comună

unul din segmentele: $P_1Q_2, P_1Q_1, P_2Q_1, P_2Q_2$ și punctele corespondente fiecărei extremități a segmentului comun pe latura opusă nu se cunosc, plecând de la perspectivele extremităților se vor determina aceste puncte, fiind supuse aceleiași secvențe de operații ca orice punct real de intersecție necunoscut. În cazul în care latura Q_1Q_2 este latură dublă, se include tăietura și pe muchia corespunzătoare laturii duble din poligonul aflat în dreapta acesteia.

- ◇ Dacă zona comună celor două muchii este unul din segmentele de la cazul anterior la care se adaugă situațiile în care muchia Q_1Q_2 este complet inclusă în interiorul primeia și doar unul din cele patru puncte care caracterizează situațiile de suprapunere este necunoscut; acest punct este cel de pe latura P_1P_2 corespunzător uneia din extremitățile laturii Q_1Q_2 . Punctul este supus întregului lanț de operații deja cunoscute fără a exista cazuri distincte dacă Q_1Q_2 este latură de contur sau latură dublă.
- ◇ Cazul simetric celui precedent: pentru aceleși segmente comune la care se adaugă situațiile în care muchia P_1P_2 este inclusă în interiorul muchiei Q_1Q_2 . Punctul necunoscut este punctul de pe latura Q_1Q_2 corespunzător unuia din vârfurile P_1 sau P_2 (în funcție de sensul de suprapunere al celor două muchii). Plecând de la proiectiile de perspectivă ale unuia din vârfuri, după caz și urmând întreaga secvență de operații prezentată, punctul va fi găsit și va fi inclus unde este necesar. Dacă Q_1Q_2 este muchie dublă, tăietura va fi inclusă și pe latura corespunzătoare laturii duble din poligonul aflat în dreapta acesteia.
- ◇ Dacă muchia Q_1Q_2 se află în interiorul muchiei P_1P_2 , iar punctele de pe prima muchie corespunzătoare vertexilor Q_1 și Q_2 sunt necunoscute, se determină aceste puncte plecând de la proiectiile de perspectivă ale punctelor Q_1 și Q_2 . Se procedează asemănător cazurilor anterioare.
- ◇ Muchia P_1P_2 se află în interiorul muchiei Q_1Q_2 . Situația este similară celei precedente, rezolvarea urmând aceeași cale. În plus dacă muchia Q_1Q_2 este muchie dublă, cele două puncte de tăietură vor trebui să fie incluse și pe muchia corespunzătoare muchiei duble aflate în poligonul din dreapta muchiei duble.
- Dacă muchiile care se intersectează sunt tocmai laturile vecine ale unui poligon, punctul de intersecție fiind vârful poligonului, elementul din lista punctelor de intersecție care memorează acest punct va fi sters.

La sfârșitul funcției sunt eliberate toate zonele de memorie alocate dinamic pentru variabilele utilizate în funcție.

Funcția returnează tocmai valoarea returnată de funcția `Intersect()` apelată în interiorul ei.

Funcția Intersect

Funcția **Intersect** are drept scop stabilirea existenței unui punct de intersecție între proiecțiile în planul de perspectivă a două muchii și memorarea informațiilor corespunzătoare într-un element al unei liste destinate special unor astfel de situații, adică muchiile ale căror proiecții se intersectează precum și coordonatele spațiale ale punctelor de pe muchii corespunzătoare punctului de intersecție.

Funcția folosește algoritmul pentru determinarea poziției relative a două segmente, iar în cazul în care cele două segmente se intersectează folosește algoritmul pentru determinarea punctului de intersecție.

Funcția primește ca parametri pointerii la structurile de date corespunzătoare a două muchii, a poligoanelor din care fac parte aceste muchii, și un pointer la lista în care se memorează eventualul punct de intersecție.

Prima operație în vederea stabilirii unui eventual punct de intersecție constă în efectuarea testului de bounding-box, prin apelul funcției `TestEdgeBoundB()`. Dacă această funcție indică faptul că bounding-box-urile celor două muchii nu au nici un punct comun, este sigur că nici muchiile nu se intersectează.

Dacă funcția pentru stabilirea poziției relative a celor două muchii găsește faptul că cele două segmente nu au nici un punct comun, funcția `Intersect()` este părăsită. În caz contrar, elementele care dau informații referitoare la punctul de intersecție sunt memorate într-un element al listei special destinate acestui scop.

În cazurile în care punctul de intersecție este unul din capetele celor două segmente, se testează cu funcția `PtSearch()`, dacă pe muchia pe care are loc sprijinul există deja un punct ale cărui perspective sunt identice cu perspectivele punctului de intersecție. În funcție de rezultatul testului funcția `InsList()` va fi apelată cu sau fără acel punct ca parametru.

Dacă punctul de intersecție este în interiorul celor două segmente, coordonatele proiecției perspective ale acestui punct sunt determinate în funcție de perspectivele extremităților celor două muchii, prin intermediul macroinstructiei `PGET_POINT`. Și în acest caz se apelează funcția `InsList()` pentru introducerea în listă a informațiilor referitoare la punctul de intersecție.

În cazul în care muchiile se găsesc pe același suport, funcția `OrdSegSupr()` va determina cazul concret de plasare a lor. Un capăt al unei muchii situat în interiorul celeilalte determină un nou punct pe aceasta și el poate fi considerat un punct de intersecție. De aceea și în acest caz trebuie efectuat testul asupra existenței acestui punct pe muchia respectivă, apelând funcția `PtSearch()`. Dacă muchiile se suprapun perfect, având și capetele suprapuse, toate cele patru puncte reale care corespund celor două puncte care delimitează segmentul comun sunt cunoscute. Și în acest caz se apelează funcția `InsList()` pentru a completa un element al listei cu informațiile referitoare la punctele de intersecție.

8.8.4. Funcții care implementează testele de vizibilitate

Funcția `SegCPVisib`

Această funcție determină dacă proiecția unei muchii date patrunde în interiorul proiecției poligonului din care face parte muchia de contur dată, iese din acesta sau se suprapune cu proiecția muchiei de contur în planul de perspectivă.

Funcția este folosită apoi la determinarea porțiunilor ascunse ale muchiei, ascundere datorată poligonului din care face parte muchia de contur dată. Funcția are ca parametri pointeri la structura asociată muchiei de contur și a muchiei de analizat.

Funcția returnează 0 în cazul suprapunerii în planul de perspectivă a dreptelor pe care se găsesc cele două muchii, -1 în cazul în care muchia are sensul spre interiorul poligonului și 1 când are sensul spre exteriorul acestuia.

Cele trei situații distincte sunt determinate de semnul produsului vectorial efectuat între vectorii asociați celor două muchii transmise ca parametri.

Funcția `GetVisib`

Funcția este folosită în cadrul funcției `SearchPoly()` care implementează algoritmul prin care se determină poligonul pe care o anumită muchie de contur lasă umbra.

Funcția stabilește dacă o pereche de muchii consecutive patrunde în interiorul proiecției unui poligon dat printr-o muchie a sa de contur. În acest caz, poligonul ce conține muchiile consecutive este introdus într-o listă ordonată după distanța față de punctul de privire. Această listă este folosită pentru a determina poligonul cel mai apropiat de ochi, poligon pe care muchia de contur lasă umbra.

Functia are ca parametri pointeri la structurile asociate muchiei de contur si muchiilor consecutive de analizat.

Stabilirea pozitiei celor doua muchii relativ la interiorul poligonului in care se gaseste muchia de contur se bazeaza pe rezultatul furnizat de functia `SegVisib()`.

Functia returneaza *IN* in cazul in care ambele muchii consecutive patrund in interiorul proiectiei poligonului ce contine muchia de contur. In caz contrar returneaza *OUT*.

Functia SegVisib

Aceasta functie calculeaza produsul vectorial a doi vectori specificati prin origine si virf, puncte din planul de perspectiva.

Pentru a se putea efectua produsul vectorial a doi vectori bidimensionali, se genereaza a treia dimensiune ca fiind zero. Pentru acest calcul se foloseste macroinstructia `PVECTPRD`. Vectorul rezultat este perpendicular pe planul de perspectiva, iar sensul lui specifica directia (intra sau iese din plan). Daca vectorul rezultat intra in planul de proiectie, primul vector intra in interiorul poligonului delimitat de al doilea vector. Daca vectorul rezultat iese din planul de proiectie, primul vector iese din interiorul poligonului delimitat de al doilea vector.

Deoarece intereseaza doar sensul acestui produs, functia returneaza o valoare intreaga: -1 daca sensul este negativ, 0 daca rezultatul este nul si 1 daca este pozitiv.

Functia SegScal

Functia `SegScal()` calculează produsul scalar a doi vectori corespunzatori unor muchii.

Functia `SegScal()` primeste ca parametri de intrare pointerii la structura *ConturPoly* corespunzătoare unei muchii de contur si la structura *PEdge* corespunzătoare unei muchii si returnează valoarea produsului scalar calculat.

Pentru a construi cei doi vectori se foloseste macroinstructia `PVECTCOPY` care crează vectorii corespunzători proiectiilor în planul de perspectivă ale punctelor de început si de sfârșit ale muchiilor date ca parametri si macroinstructia `PVECTSUB` care crează vectorii corespunzători celor două muchii, de asemenea proiectate în planul de perspectivă. Acești doi vectori sunt

transmiși ca parametrii macroinstrucției PSCALPRD care calculează produsul lor scalar.

8.8.5. Funcții care implementează stabilirea poligoanelor atomice și tipul lor

Funcția *RemakeVol*

Funcția are drept scop stabilirea noilor poligoane umbrite respectiv vizibile, formate pe baza informației introduse în structura fiecărui poligon vizibil inițial.

Pentru volumul V transmis ca parametru, se obține mulțimea de poligoane noi de tip *PictPoly* rezultate din cauza ascunderii unora de către altele. Dintre acestea unele au tipul *tLIGHT* - poligoane vizibile, iar altele au tipul *tSHADOW* - poligoane ascunse (umbrite).

Aceste poligoane se obțin ca succesiuni de muchii care au început identic cu sfârșitul muchiei anterioare. Determinarea unui astfel de contur închis este referită ca închiderea unui poligon.

În cazul în care operația de închidere a acestor poligoane noi esuează, funcția returnează -1. Pentru tratarea acestei situații este necesar ca tabloul cu noile poligoane și dimensiunea lui să fie transmise ca parametri.

Funcția *RemakeVol* execută următoarele operații:

Completează câmpul *type* al poligoanelor care nu sunt ascunse cu *tUNDEF*.

Apelează funcția *MoveVolShadLight()* care efectuează de fapt închiderea noilor poligoane și completarea tipului, dacă acest lucru este posibil. În cazul în care operația de închidere esuează la unul din poligoane, funcția returnează -1 pentru a semnala eroarea.

Apelează funcția *GetNewRPictp()* care determină poligonul din dreapta fiecărei muchii a fiecărui poligon nou. Pe baza informației stabilite aici se va putea face distincție între muchii exterioare (cu câmpul ce indică poligonul din dreapta nul) și muchii duble (cu câmpul corespunzător poligonului din dreapta completat).

Se eliberează memoria ce conține informația referitoare la poligoanele inițiale apelând funcția *FreeTp()* și se completează structura volumului cu noile poligoane.

Se apelează funcția *GetPictPType()* cu scopul de a completa câmpul *type* al tuturor poligoanelor rămase încă fără tip. Stabilirea tipului se face propagând

tipul completat cu *tLIGHT* sau *tSHADOW* al unor poligoane peste muchiile lor duble la poligoanele din dreapta lor. Astfel fiecare poligon nou va fi cunoscut ca poligon vizibil (de tip *tLIGHT*) sau poligon ascuns (de tip *tSHADOW*).

Funcția MoveVolShadLight

Această funcție are rolul de a determina noile poligoane formate din muchiile poligoanelor initiale și liniile de umbră și lumină stabilite anterior. În plus, completează tipul acestor poligoane în cazul în care acest lucru este posibil.

Închiderea noilor poligoane se face la nivelul fiecărui poligon initial. Toate operațiile se vor repeta pentru fiecare poligon al volumului.

Pentru determinarea poligoanelor de un anumit tip, se introduc într-o listă muchiile de la care plecând se pot închide contururile lor. În cazul poligoanelor ascunse, acestea sunt muchiile de umbră și muchiile exterioare care s-a stabilit că sunt ascunse (au vizibilitatea marcată în câmpul v egală cu -1). În cazul celorlalte poligoane sunt muchiile de lumină, exterioare și duble, care nu au fost folosite în cazul poligoanelor de umbră. Pe măsură ce muchiile sunt folosite la închiderea unui contur, ele sunt eliminate din listă. În acest fel, când lista este goală, se știe că s-a terminat procesul de închidere a poligoanelor de acel tip. Muchiile care formează un contur începând cu o muchie din listă sunt introduse într-o listă și marcate pentru a nu mai fi folosite și în cazul altor poligoane.

Poligoanelor care contin muchii de umbră precum și poligoanelor ce provin dintr-un poligon având acest tip li se dă tipul *tSHADOW*. Celelalte vor primi tipul *tUNDEF*.

Funcția tratează separat cazul poligoanelor cu muchii exterioare și cazul celor fără muchii exterioare, pentru a reduce numărul de căutări de muchii.

În primul caz se execută următoarele operații:

Se apelează funcția *ShadLightList()* care construiește lista tuturor muchiilor de umbră și muchiilor exterioare ascunse.

În cazul în care lista nu este goală se apelează funcția *MoveShadLight()* care va găsi poligoanele noi pornind de la elementele listei *shl*. Acestor poligoane li se dă tipul *tSHADOW*. În cazul în care lista este goală dar poligonul curent este de tip *tSHADOW*, se apelează funcția *ShadLightList()* care va construi lista din muchiile exterioare și duble. Poligoanele noi se vor obține apelând *MoveShadLight()*. Acestora li se va da tipul *tSHADOW*.

După închiderea poligoanelor de umbră se trece la închiderea celorlalte poligoane. Funcția *ShadLightList()* va construi lista cu muchiile de lumină și

muchiile exterioare si duble care nu au fost încă folosite, iar functia `MoveShadLight()` va închide poligoanele pornind de la elementele acestei liste.

În cazul în care poligonul curent nu are muchii exterioare tratarea este similară cazului poligoanelor cu muchii exterioare, cu deosebirea că nu mai are loc căutarea lor.

Funcția `MoveShadLight`

Plecând de la elementele listei *shl* primite ca parametru, functia închide toate contururile posibile. În cazul în care unei muchii îi urmează mai multe, se alege aceea care este situată cel mai la stânga. În acest fel se închid poligoanele cele mai mici posibile.

Pentru a evita ciclurile infinite în cazul în care un contur nu poate fi închis, se folosește, ca variabilă de control al ciclului, numărul segmentelor din care sunt formate muchiile poligonului initial.

Numărul de repetări ale ciclului de închidere a unui contur nu este cunoscut initial.

Operatiile efectuate în acest ciclu sunt următoarele:

Se transferă primul element din lista *shl* în lista *el* care va contine muchiile ce formează conturul închis. Restul operatiilor se vor repeta pentru fiecare muchie ce va face parte din contur.

Se stabilesc toate muchiile care pornesc din punctul în care se termină ultima muchie introdusă în el si se introduc în lista *sl*.

Se apelează functia `SelectNextEdge()` pentru a stabili acea muchie din *sl* care este situată cel mai la stânga în raport cu ultima muchie din *el*. În cazul în care nu s-a putut identifica o astfel de muchie, se părăsește functia returnând -1. semn de eroare. Muchia aleasă este eliminată din *shl*, dacă există aici, si este marcată în câmpul *pos* pentru a nu fi reutilizată la închiderea unui alt contur.

Odată ce conturul a fost închis, noul poligon se inserează în tabela poligoanelor noi apelând functia `InsertNewPictp()`. I se completează tipul *tSHADOW* dacă este cazul. Apelând functia `MakeNewPictp()`, i se completează muchiile pe baza listei *el* în *extcontur* si *doubl* după cum muchiile au câmpul referitor la poligonul din dreapta nul sau nu.

Funcția ShadLightList

Funcția `ShadLightList()` are rolul de a construi lista muchiilor de la care pornind se vor închide contururile noilor poligoane. Elementele acestei liste se determină pe baza parametrilor transmiși.

Funcția trebuie să cunoască poligonul ce se descompune în poligoane noi, volumul din care face el parte, dacă contururile ce se vor închide trebuie să plece de pe linii de umbră sau nu și dacă poligonul inițial are muchii exterioare sau nu. Toate acestea sunt transmise prin lista de parametrii.

Funcția execută următoarele operații:

Dacă conturul trebuie să plece de pe o muchie de umbră, se vor introduce în lista *shl* toate acele segmente din *shadowcut*. Introducerea în listă se face cu ajutorul funcției `InEdgeList()`. În cazul în care poligonul are muchii exterioare, se mai introduc și acelea dintre ele care sunt marcate ca fiind ascunse. Acest lucru este rezolvat de funcția `FindConturEdge()`.

Dacă nu este vorba de un contur ce pleacă de pe muchii de umbră, se vor insera în lista *shl* muchiile de lumină, duble și exterioare care nu au fost marcate ca folosite deja în alte contururi.

Funcția GetPictPType

Prin această funcție se stabilește tipul poligoanelor noi care nu au câmpul *type* completat la crearea lor. Problema se rezolvă printr-un algoritm de propagare a tipului cunoscut al unor poligoane peste muchiile lor duble la poligoanele din dreapta. Acest algoritm are la bază principiul potrivit căruia schimbarea tipului poligoanelor de la vizibil la ascuns sau invers are loc doar pe muchiile de umbră, respectiv de lumină.

CAPITOLUL 9

CONCLUZII

Aceasta lucrare reprezintă finalizarea unei activități desfășurate pe o perioadă de aproape patru ani. Fiecare variantă a celor două programe a fost succesiv îmbunătățită și satisfacția beneficiarului de a avea un produs performant l-a determinat să achiziționeze și sisteme de calcul tot mai performante pentru implementarea aplicațiilor. Progresele realizate în dezvoltarea algoritmilor, atât în partea de concepție, cât și în cea de implementare, au fost vizibile prin complexitatea proiectelor realizate prin modelarea geometrică folosind operații booleene și prin corectitudinea reprezentării lor prin eliminarea liniilor și suprafețelor ascunse.

Analizând multimea de algoritmi prezentați în literatura de specialitate, am putut evidenția limitările algoritmilor respectivi și, încercând rezolvarea principalelor probleme ridicate, am reușit să obținem rezultate remarcabile.

Ca o concluzie, se poate afirma cu certitudine că produsele realizate sunt originale, de la concepție până la realizare practică. Dacă unii din algoritmi utilizați sunt originali chiar prin modul în care rezolvă o anumită problemă, alții sunt originali prin modul în care au fost implementați.

Rezultatele obținute prin utilizarea programelor originale create în cadrul tezei au confirmat justetea soluțiilor adoptate și corectitudinea modului de aplicare în practică.

9.1. CONCLUZII ASUPRA PROGRAMULUI DE IMPLEMENTARE A ALGORITMULUI PENTRU EFECTUAREA OPERATIILOR BOOLEENE INTRE SOLIDE

Pe parcursul procesului de implementare și testare a algoritmului, au fost efectuate o serie de îmbunătățiri care să conducă la reducerea timpului de

executie, îmbunătățiri atât la nivelul concepției, cât și la nivelul tehnicilor de programare folosite. În situația în care numărul solidelor ce intervin în operații booleene poate ajunge să fie de ordinul zecilor, este de înțeles dorința utilizatorilor de a avea un produs performant din punct de vedere al vitezei de execuție. Din acest motiv au fost preferate acele metode de implementare care păstrau în structurile de date o cantitate mai mare de informații necesare în mai multe etape ale algoritmului, deși sunt consumatoare de memorie, în locul celor care refac calculele oricând este nevoie de anumite date.

Utilizarea programului într-o perioadă lungă de timp a scos în evidență faptul că funcționează corect într-un procent foarte apropiat de 100%. Rarele situații în care operația nu reușește sunt datorate cazurilor în care nu au putut fi evitate erorile cauzate de precizia limitată. Corectitudinea se referă inclusiv la situațiile în care apar ambiguități topologice.

În afara faptului că execuția programului furnizează rezultate corecte, un alt avantaj îl reprezintă viteza cu care este executat chiar și în cazurile cele mai complexe, când trebuie efectuate operații booleene având mai mulți operanți. Pe măsură ce un solid intervine în mai multe operații, numărul de fețe crește și deci timpul de efectuare a operațiilor crește. Acest lucru se întâmplă în cazul în care un solid considerat moale ("tăbiabil") trebuie deformat de mai multe solide considerate tari.

Prin măsurările efectuate, s-a constatat că operația de construire a poligoanelor care vor forma noul volum este o mare consumatoare de timp. Din acest motiv s-a ajuns la implementarea unei variante a algoritmului prezentat, variantă care să amâne procesul de formare a poligoanelor noi, până în momentul în care solidul moale a suferit toate operațiile de intersecție cu solidele tari. Avantajul acestei metode este important în situațiile în care un solid trebuie să fie deformat de mai multe alte solide. Altfel, economia de timp de execuție nu este evidentă.

Concluzia la care s-a ajuns în urma efectuării de măsurări la nivelul diferitelor variante ale algoritmului asupra diferitelor tipuri de proiecte, este faptul că performanțele algoritmului sunt dependente de genul de operații care trebuie efectuate asupra solidelor ce alcătuiesc proiectul.

9.2. CONCLUZII ASUPRA PROGRAMULUI DE IMPLEMENTARE A ALGORITMULUI PENTRU ELIMINAREA LINIILOR SI SUPRAFETELOR ASCUNSE

Programul pentru eliminarea liniilor si suprafetelor ascunse a fost testat si pus la punct pentru o mare varietate de situatii, modificând atât configuratia proiectului de reprezentat, ordinea de selectare a obiectelor de reprezentat cât si pozitia punctului de privire. O problemă deosebită a reprezentat-o tratarea cazurilor particulare, când solidele se ating prin muchii sau chiar suprafete sau când proiectiile muchiilor lor se suprapun.

De mare folos în procesul de punere la punct a programului a fost optiunea de modificare a punctului pe privire si cea de desenare cu linie punctată a muchiilor invizibile. Deplasând punctul de privire, utilizatorul are impresia că proiectul este cel care se rotește. Reprezentarea proiectului în pozitii consecutive apropiate permite sesizarea cu mai multă ușurință a posibilelor erori (absenta unor segmente vizibile sau prezenta unora ascunse).

Pe parcursul punerii la punct a programului a fost necesară utilizarea diferitelor tehnici de depanare care să scoată în evidență eventuale blocări în cicluri infinite, esecuri în operatiile de alocare dinamică a memoriei, continuarea utilizării unor zone de memorie după eliberarea lor. Cauza cea mai frecventă a ciclurilor infinite a reprezentat-o imposibilitatea găsirii unei muchii care să permită închiderea unui contur de poligon. Pentru a evita terminarea anormală a programului, a fost necesară includerea în aproape fiecare functie a unei secvente de tratare a erorilor depistate. Cu tot dezavantajul faptului că acestea au mărit semnificativ codul sursă, au fost păstrate si în varianta finală a programului.

În procesul de implementare a acestui algoritm a fost necesară luarea în considerare a preciziei calculului efectuate. Au apărut numeroase situatii în care calculul unui punct de intersectie dintre două drepte furniza rezultate diferite, ca si cum operatia nu ar fi comutativă. Pentru evitarea acestui tip de eroare s-au introdus o serie de măsuri la nivelul functiilor ce efectuează calculul matematic. Comparatiile dintre două valori reale reprezentate în virgulă flotantă au fost făcute cu aceeași precizie, aleasă ca fiind 10^{-6} . Valorile calculate au fost rotunjite cu aceeași precizie. În situatiile în care nici în acest mod nu s-a putut asigura functionarea corectă a algoritmului, s-au introdus măsuri suplimentare. Acestea au constat în crearea unei baze de date care să fie mentinută pe toată perioada de efectuare a operatiilor de intersectie si utilizarea ei înainte de executia altei

operatii. Avantajul oferit de eliminarea erorilor de calcul anihilează dezavantajul suplimentării cantității de memorie utilizate și a timpului necesar operației de căutare în baza de date.

Timpul de execuție de ordinul minutelor necesar în cazul proiectelor mari, formate din zeci de solide, a impus o căutare a mijloacelor de îmbunătățire a acestui parametru, atât la nivel de organizare a operațiilor din cadrul algoritmului, cât și în procesul de implementare.

O primă modalitate prin care s-a putut obține creșterea vitezei a fost reducerea numărului operațiilor de intersecție. Pentru aceasta au fost folosite testele de *bounding-box* la toate nivelele și algoritmul pentru stabilirea poziției relative a două elemente geometrice. Astfel, timpul necesar pentru efectuarea calculului ce furnizează punctul de intersecție este înlocuit cu timpul necesar efectuării unor comparații, eliminând calculul intersecțiilor în cazul muchiilor cu vârf comun, sau în cazul muchiilor plasate în planul de proiecție în zone distincte.

Îmbunătățirea timpului de execuție în faza de implementare a impus modificări în sensul păstrării pe tot parcursul procesului de prelucrare a unor date în structurile folosite, chiar dacă aceasta ducea la creșterea memoriei ocupate. Astfel s-a redus timpul de calcul al datelor necesare și implicit timpul total de execuție. Este vorba de introducerea în structurile de date corespunzătoare solidului, conturilor solidului, fetelor și chiar muchiilor, a informațiilor legate de *bounding-box*-ul fiecărui element geometric.

9.3. REZULTATE SI MASURATORI

Deoarece aplicația cea mai des utilizată în cadrul sistemului DICAM o reprezintă proiectarea structurii din lemn a acoperisurilor, măsurările au fost efectuate în astfel de cazuri.

În cazul primului program, măsurările au fost efectuate pentru două variante. Prima variantă efectuează operațiile booleene asupra perechilor de solide, în timp ce a doua variantă ia în considerare un singur solid ce trebuie deformat împreună cu toate solidele care îl deformează.

În cazul proiectelor de acoperis există anumite tipuri de bare care sunt deformat de altele, ambele categorii fiind fixate chiar din momentul proiectării. Prima variantă alege pe rând câte două solide, unul din lista celor care se deformează și unul din lista celor care deformează, după care se apelează programul de efectuare a operațiilor booleene având ca parametri pointerii la structurile acestei perechi de solide. Prelucrarea barelor ce formează un acoperis este încheiată în momentul în care au fost tratate toate aceste perechi de solide. În

urma efectuării operatiei booleene asupra unei perechi de operanzi rezultă solide cu structură corectă din toate punctele de vedere. O astfel de bară din acoperis nu este deformată de obicei decât de câteva bare și de aceea performanțele acestei variante sunt suficient de bune.

În cazul aplicațiilor în care o bară este deformată de mai multe alte bare este mai convenabilă varianta a doua. Dacă operația booleană s-ar efectua o dată pentru fiecare solid tare cu cel deformabil, numărul elementelor geometrice ale acestuia din urmă crescând de fiecare dată, și operațiile s-ar efectua tot mai lent. Construcția solidului rezultat în urma fiecărei operații consumă tot mai mult timp pe măsură ce acesta are tot mai multe fețe. Varianta a doua asigură efectuarea operației de construcție a rezultatului o singură dată, după ce au fost stabilite elementele noi datorate tuturor solidelor care deformează operandul comun.

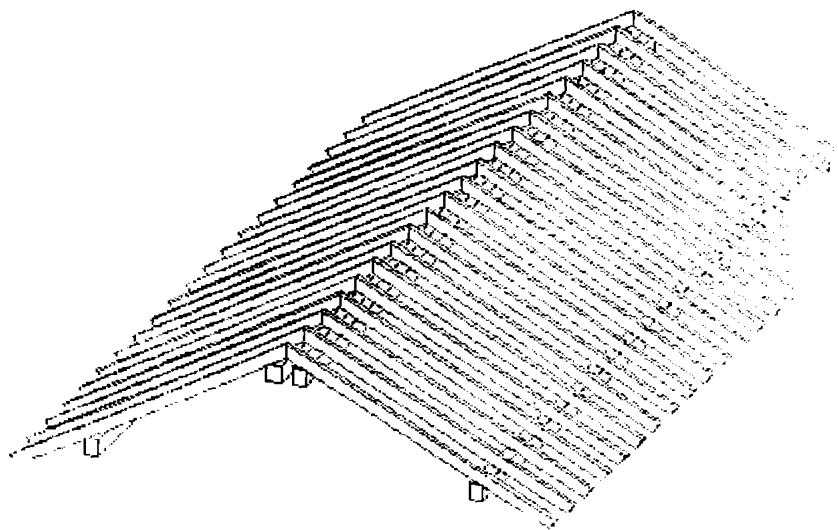


Fig.9.1. Acoperisul asupra căruia s-au efectuat măsurătorile

Pentru proiectul de acoperis din figura 9.1 s-au efectuat măsurătorile reprezentate în graficul din figura 9.2 pentru cazul în care una din barele orizontale deformează barele ce se sprijină pe ea, folosind prima variantă a algoritmului pentru efectuarea operațiilor booleene dintre solide. Măsurătorile s-au efectuat pe două tipuri de calculatoare, unul cu procesor 486DX la 33 Mhz și altul cu procesor Pentium la 60 Mhz.

În figura 9.3 sunt reprezentate măsurătorile efectuate pentru cazul în care una din barele orizontale este deformată de celelalte bare care se sprijină pe ea, utilizând a doua variantă a algoritmului.

Execuția programului de eliminare a liniilor și suprafețelor ascunse a fost testată prin măsurarea timpului de calcul pentru perechi de bare din acoperisul din figura 9.1. S-a constatat o creștere exponențială a timpului relativ la o creștere

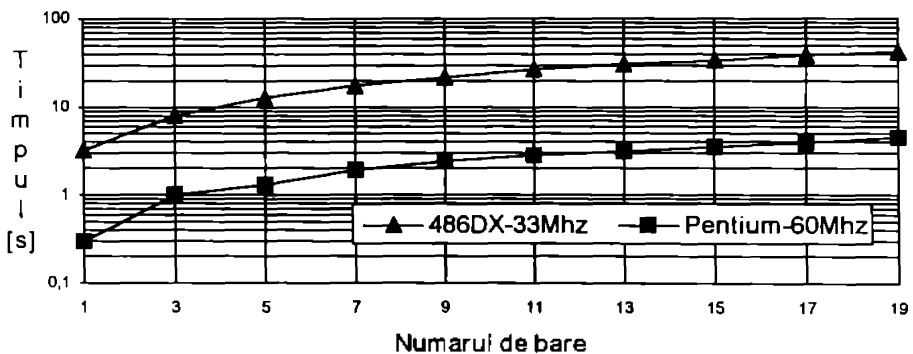


Figura 9.2. Dependența duratei calculului de complexitatea proiectului și tipul procesorului pentru prima variantă de algoritm

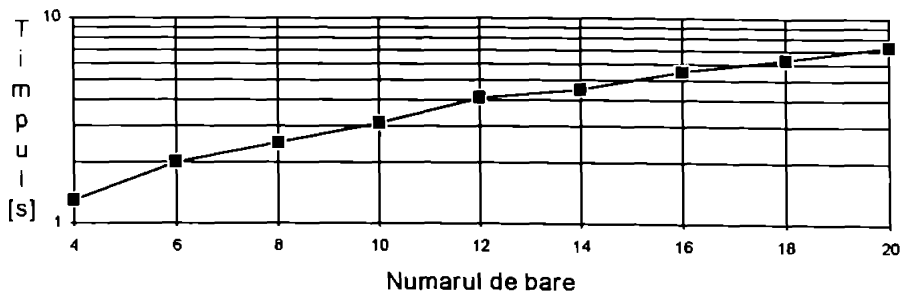


Figura 9.3. Dependența duratei calculului de numărul barelor care deformează, pentru a doua variantă de algoritm

liniară a numărului de perechi de bare considerate în reprezentare.

Comparatia făcută între durata de execuție a programului pentru eliminarea liniilor și suprafețelor ascunse și programul pentru reprezentarea nuanțată (vezi fig.9.4, unde timpul este reprezentat logaritmic, pentru o mai ușoară apreciere relativă a valorilor) arată că diferențele (relative/procentuale) sunt mai importante în cazul unor numere mai reduse de perechi de bare, în timp ce devin aproape insesizabile în cazul reprezentării mai multor solide.

Rezultă că timpul necesar calculelor de nuanțare crește mai lent decât cel necesar pentru ascunderea liniilor și suprafețelor, ceea ce confirmă previziunile teoretice (dependentă patrică la ascundere și lineară la nuanțare).

În figurile 9.2, 9.3 și 9.5 s-a dorit scoaterea în evidență a influenței mari pe care o are tipul procesorului calculatorului folosit asupra duratei de execuție a unor operații identice. Sunt prezentate rezultatele obținute pe un calculator cu procesor 486DX la 33 Mhz și pe un calculator cu procesor Pentium la 60 Mhz. Se observă că avantajul procesorului mai puternic este mai important la număr mare de elemente prelucrate.

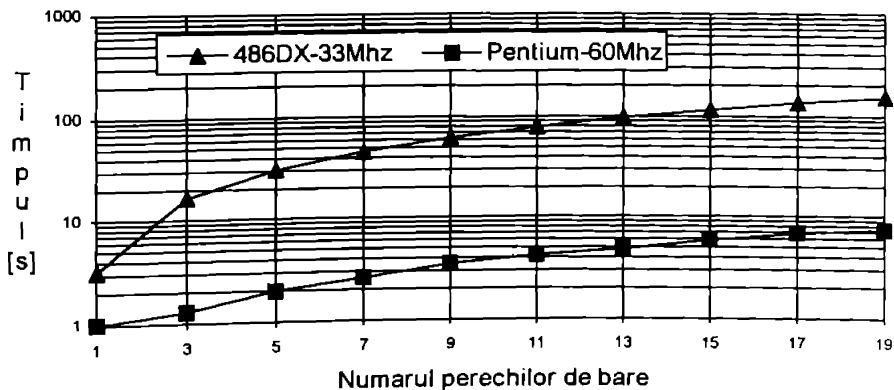


Figura 9.4. Dependentă duratei calculelor de complexitatea proiectului

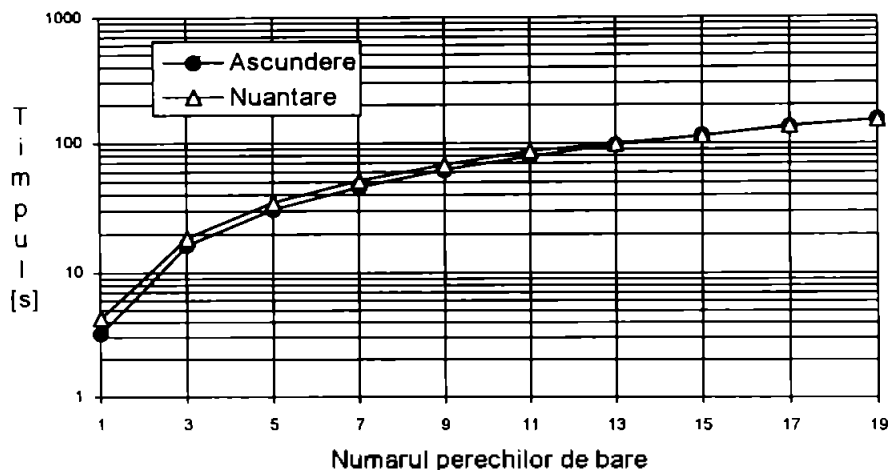


Figura 9.5. Dependenta duratei calculului de procesorul calculatorului

9.4.PERSPECTIVE

Rezolvarea celor două probleme, cea a modelării solidelor prin operații booleene și cea a eliminării liniilor și suprafețelor ascunse, a scos în evidență numeroase elemente comune. Printre acestea se pot enumera: generarea structurilor de date cu informații asemănătoare corespunzătoare fețelor și muchiilor, necesitatea utilizării testelor de bounding-box, operațiile de intersecție dintre diferite elemente geometrice, determinarea pozițiilor relative dintre acestea, problemele de clasificare sau de obținere de contururi poligonale pornind de la un set de muchii date. Acest lucru a condus la ideea unei unificări a structurilor de date și a funcțiilor care efectuează operații similare, sau chiar la cea a unei implementări a algoritmilor într-un limbaj orientat pe obiecte, cum ar fi C++. Avantajele deosebite ale definiției tipurilor de date abstracte, ale ascunderii datelor și polimorfismului, ar contrabalansa efortul proiectării orientate pe obiecte și implementarea noii versiuni. În situația în care se dorește standardizarea descrierilor operațiilor ce trebuie efectuate pe mașinile unelte, crearea unei baze de date care să conțină o serie de informații referitoare la prelucrările suferite de fiecare solid, proiectarea orientată pe obiecte ar fi chiar necesară.

9.5. CONTRIBUTII ORIGINĂLE

Principalele contributii originale aduse în cadrul tezei sunt:

1. Sintetizarea rezultatelor cercetărilor pe plan mondial în domeniul abordat de teză, astfel încât să se realizeze o unealtă utilă celor ce doresc să abordeze în continuare acest domeniu.
2. Analiza avantajelor și limitelor diferitelor algoritmi prezentați în literatura de specialitate, în scopul conceperii unor algoritmi superiori, care să funcționeze corect fără restricții aplicate solidelor operanți.
3. Analiza avantajelor și limitelor diferitelor metode de modelare a solidelor prezentate în literatura de specialitate, din punct de vedere al problemelor de rezolvat, efectuarea operațiilor booleene și reprezentarea cu eliminarea liniilor și suprafețelor ascunse, cu enunțarea unor concluzii cu privire la oportunitatea utilizării.
4. Abordarea sistematică și unitară a celor două aspecte din cadrul tezei: eliminarea liniilor și suprafețelor ascunse și realizarea operațiilor booleene între solide, ceea ce a condus inclusiv la o organizare superioară a programelor din punct de vedere structural și al eficienței.
5. Analiza unitară a subalgoritmilor necesari în diferitele etape de rezolvare a problemei operațiilor booleene și a eliminării liniilor și suprafețelor ascunse. Încă din etapa de concepție a algoritmilor au rezultat similitudinile dintre modalitățile de rezolvare a celor două probleme la primul nivel de subprobleme, cum ar fi crearea bazei de date specifice problemei plecând de la informațiile disponibile referitoare la solidele operanți, determinarea elementelor pe baza cărora se va obține rezultatul dorit și construcția bazei de date corespunzătoare rezultatului care să permită integrarea acestuia în oricare alt proces al sistemului CAD utilizat.
6. Determinarea și alegerea reprezentării modelelor solidelor celei mai convenabile, din punctul de vedere al prelucrărilor de efectuat, cunoscut fiind faptul că nu orice fel de reprezentare permite orice fel de manipulare a obiectelor reprezentate.
7. Alegerea structurilor de date cele mai convenabile pentru stocarea informațiilor ce descriu un model de solid, structuri care să asigure accesul simplu, cât mai direct la oricare informație necesară, în oricare moment al execuției algoritmilor.
8. Analiza datelor necesare algoritmilor și a modalităților de organizare a informației, în scopul asigurării eficienței procesului de prelucrare a lor. Această etapă a procesului de proiectare a fost necesar să fie efectuată de mai multe ori, o dată pentru fiecare mod de abordare a rezolvării problemelor, lucru care a evidențiat dezavantajul utilizării metodei de proiectare structurate comparativ cu cea orientată pe obiect.

9. Abordarea sistematică și unitară a metodelor de rezolvare a problemelor geometrice de intersecție dintre diferitele elemente (plane, poligoane, drepte, semidrepte, segmente de dreaptă) în spațiul 2D și în cel 3D.
10. Abordarea sistematică și unitară a metodelor de rezolvare a problemelor geometrice de clasificare a segmentelor de dreaptă relativ la un poligon (în spațiul 2D), relativ la două poligoane (în spațiul 3D) și relativ la un corp.
11. Analiza unitară a cazurilor particulare de contacte dintre solide în spațiul 3D, respectiv dintre proiecțiile solidelor în 2D. A fost necesară tratarea acestor situații cu o atenție deosebită, deoarece abordarea generală nu furniza rezultate corecte.
12. Luarea în considerare în toate etapele de proiectare a influenței pe care poate să o aibă existența concavităților sau a găurilor asupra modului de evoluție a algoritmilor utilizați. Admiterea solidelor concave sau cu găuri în lista operanzilor a dus la o complicare importantă a subalgoritmilor, dar a fost necesară pentru a putea prelucra toate tipurile de corpuri reale.
13. Abordarea sistematică și unitară a căilor de evitare a erorilor datorate preciziei de calcul în cazul reprezentării datelor în virgulă flotantă. Deoarece solidelor rezultate prin operații booleene trebuie să li se poată efectua aceleași prelucrări ca și solidelor inițiale, inclusiv operația de reprezentare cu eliminarea liniilor și suprafețelor ascunse, a fost necesar ca în procesul de identificare a diferitelor elemente geometrice să se lucreze cu aceeași precizie în ambele programe.
14. Conceperea algoritmului de clasificare pentru determinarea fețelor ce vor face parte din solidul sau solidele rezultate în urma operației booleene. Din mulțimea acestor fețe trebuie să se poată stabili submulțimile corespunzătoare fiecărui solid rezultat, în situația în care rezultatul nu este format dintr-un singur solid.
15. Conceperea algoritmului de propagare a proprietății unor fețe de a aparține unui solid rezultat, spre fețele învecinate cu apartenență necunoscută, în scopul clasificării lor relativ la solidele rezultate.
16. Conceperea algoritmului de clasificare pentru determinarea fețelor și porțiunilor de fețe vizibile prin care se vor reprezenta solidele selectate pentru operația de vizualizare cu eliminarea liniilor și suprafețelor ascunse.
17. Conceperea algoritmului de propagare a proprietății unui poligon atomic de a fi vizibil spre poligoanele vecine, în scopul stabilirii vizibilității, respectiv invizibilității tuturor poligoanelor atomice determinate prin procesul de intersecție a elementelor geometrice în planul de perspectivă.
18. Stabilirea algoritmului de determinare a vizibilității unui segment de muchie relativ la o față a unui solid.
19. Stabilirea strategiei optime pentru modul de alegere a operanzilor în cazul operațiilor booleene care contin mai mult de doi termeni. Criteriul luat în considerare este cel al timpului de execuție minim.

20. Implementarea algoritmilor pentru intersecția diferitelor elemente geometrice, în spațiul 2D pentru proiecțiile acestora în planul de perspectivă, respectiv în spațiul 3D pentru efectuarea operațiilor booleene dintre solide.
21. Implementarea algoritmilor pentru obținerea conturilor de poligoane formate dintr-un set de muchii coplanare, în cazul în care se dorește determinarea poligoanelor cele mai mici sau cele mai mari.
22. Implementarea algoritmului pentru asocierea conturilor găurilor la conturul poligonului căruia îi aparțin.
23. Implementarea algoritmilor pentru stabilirea poziției relative a unui punct față de un poligon, respectiv față de un volum.
24. Implementarea algoritmilor pentru clasificarea segmentelor unei drepte relativ la un poligon, respectiv relativ la un volum.
25. Implementarea algoritmului pentru stabilirea poziției relative a două segmente coliniare date prin capetele lor exprimate prin coordonate în planul de proiecție, respectiv prin coordonate în spațiul modelului solidului.

BIBLIOGRAFIA

- [3DC] *3D-Calc Software for IBM-PC And Compatibles*, Markt & Technik
- [Ada89] Adams, L. - *High Performance CAD Graphics*, Windcrest, 1989
- [Ada91] Adams, L. - *Lec Adams' Visualisation Graphics in C*, Windcrest, 1991
- [Ada92] Adams, T. - *Writing DOS Device Drivers In C*, Academic Press, 1992
- [Ang90] Angell, I.O.: *High Resolution Computer Graphics Using C*, Macmillan, London, 1990
- [Art85] Artwick, Bruce A. - *Microcomputer Displays, Graphics and Animation*, Prentice - Hall, Inc, Englewood Cliffs, New Jersey, 1985
- [Arv91] Arvo, J. - *Graphics Gems II*, Academic Press, Inc, 1991
- [Bar191] Barkakati, N. - *Macro Assembler Bible*, The Waite Group Inc, 1991
- [Bar192] Barkakati, - *Microsoft Macro Assembler Bible*, Academic Press, 1992
- [Bar291] Barkakati, N. - *Object Oriented Programming In C++*, Sams, 1991
- [Bar292] Barkakati, N. - *Object-Oriented Programming In C++*, Academic Press, 1992
- [Bar90] Barkakati, N. - *Microsoft C Bible*, Sams Publishing, 1990
- [Ben94] Benouamer, M.O., Mechelucci, D., Peroche, B. - Error-Free Boundary Evaluation Based On A Lazy Rational Arithmetic: A Detailed Implementation, *Computer-Aided Design*, Butterworths, Volume 26, Number 6 June, 1994
- [Boe92] Boersma - *Inside Autocad For Windows*, Academic Press, 1992
- [Bor91] Borland - *Borland C++*, Kosel GmbH, 1991
- [Bou92] Bousquet, H. - *Autocad 3D Design And Presentation*, Academic Press, 1992
- [Bou94] Bouma, W.J., Vanecek Jr, G. - Modelling contacts in a physically based simulation, *Computer-Aided Design*, Butterworths, Volume 26, Number 6 June, 1994
- [Bow88] Bowerman, R.G. - *Putting Expert Systems Into Practice*, Van Nostrand Reinhold Company, 1988

- [Coh93] Cohen, Michael F. si Wallace, John R. - *Radiosity and Realistic Image Synthesis*. Academic Press Professional, Harcourt Brace & Company, Boston, 1993
- [Com94] *Computer Aided Design Report*. CAD/CAM Publishing, Vol.14, No.7, July 1994
- [Con92] Conner - *Autocad Student Workbook*, Academic Press, 1992
- [Cox94] Cox, E. - *The Fuzzy Systems Handbook* Academic Press, 1994
- [Cre89] Cretu, V.I. - *Structuri de date si tehnici de programare avansate* UTT, 1989
- [Cun92] Cunningham, St. - *Computer Graphics Using Object-Oriented Programming*. Wiley & Sons, 1992
- [Dav91] Davies, B.L.; Robotham, A.J.; Yarwood, A. - *Computer Aided Drawing and Design*. Chapman & Hall, 1991
- [DeS89] De Silva, C.W. - *Knowledge Based/Control With Application To Robots*, Springer Verlag, 1989
- [Dit91] Dittrich, K. - *On Object Oriented Database Systems*, Springer Verlag, 1991
- [Dog88] Dogaru, Dorian - *Elemente de grafica 3D*, Editura stiintifică si enciclopedică, Bucuresti, 1988.
- [Don93] Donikian, S., Hegron, G.: A Declarative design method for 3D Scene Sketch Modelling. In: *Computer Graphics Forum*, vol.12, no.3, 1993, pag C223.
- [Elb94] Elber, G., Cohen, E. - Toolpath generation for freedom surface models, *Computer-Aided Design*, Butterworths, Volume 26, Number 6 June, 1994
- [Emm94] Emmer, U., Gerner, W., Muresan, V. - DICAM - Wood-manufacturing CAD. *International Conference on Technical Informatics-Conti '94*, Technical University of Timisoara, 1994
- [Ele91] Eles, P. - *Programarea concurrentă în limbaje de nivel înalt*, Editura Stiintifică si Enciclopedică, Bucuresti, 1991
- [Fai92] Faison - *Borland C++ 3 Object Oriented Programming*, Academic Press, 1992
- [Fer93] Fernando, T., Fa, M., Dew, P.M.: Direct 3D Manipulation Techniques for Interactive Constraint-Based Solid Modelling. In: *Computer Graphics Forum*, vol.12, no.3, 1993, pg C237
- [Fla87] Flaquer, J.; Carbajal, A. si Mendez, M.A. - Edge - Edge Relationships in Geometric Modelling, *Computer-Aided Design*, Butterworths, Volume 19, Number 5 June, 1987

- [Fol90] Foley, J.D.: *Computer Graphics: Principles and Practice*. 2nd ed. Addison-Wesley, Reading, 1990.
- [Fog90] Foger, M.L. - *Using Intergraph MicroStation PC*. Delmar, 1990
- [Geh85] Gehani N. - *C For Personal Computers*, Computer Science Press, 1985
- [Ges92] Gestner - *Maximizing Autocad Vol.I*, Academic Press, 1992
- [Gla89] Glassner A.S. - *An Introduction To Ray Tracing*, Academic Press, 1989
- [Gla90] Glassner, A.S. - *Graphics Gems*, Academic Press, Inc., 1990
- [Gui94] Gui, J., Mäntylä, M. - Functional Understanding Of Assembly Modelling, *Computer-Aided Design*, Butterworths, Volume 26, Number 6 June, 1994
- [Hel94] Hel-Or, Rappoport, A., Werman, M. - Relaxed Parametric Design With Probabilistic Constraints, *Computer-Aided Design*, Butterworths, Volume 26, Number 6 June, 1994
- [Hal92] Halliday - *The First Book Of The Norton Desktop For Windows*, Academic Press, 1992
- [Har92] Harley H. - *Assembler Inside And Outside*, McGraw Hill, 1992
- [Hea92] Head - *Autocad 3D Book*, Academic Press, 1992
- [Hof87] Hoffman, Cristiph M. si Hopcroft, John E. - Geometric Ambiguities in Boundary Representations, *Computer-Aided Design*, Butterworths, Volume 19, Number 3 April, 1987
- [Hol192] Holzner, C. - *With Assembly Language*, Academic Press, 1992
- [Hol292] Holzner, - *Quick C For Windows*, Academic Press, 1992
- [Hol90] Holtz, F. - *Expert Systems In Engineeing*, Springer Verlag, 1990
- [HP75] HP7475a Graphics Plotter - *Interfacing And Programming Manual*, Rs-232-C/Cci
- [HuD89] Hu D. - *C/C++ For Expert Systems*, MIS Press, 1989
- [IBM190] IBM - *Getting Started With PS/1 Printer*, International Business Machines, 1990
- [IBM290] IBM - *User's Reference For PS/1 Printer*, International Business Machines, 1990
- [Ion90] Ionescu, T.C. - *Structuri arborescente cu aplicatiile lor*, Editura Tehnica, Bucuresti, 1990
- [Jur92] Juncă, - I. *Programarea orientată pe obiecte în limbajul C++*, Eurobit, 1992

- [Ken93] Kent, - *Autocad Reference Guide*, Academic Press, 1993
- [Kir92] Kirk, D. - *Graphics Gems III*, Academic Press, Inc., 1992
- [Kre92] Kreite, A. - *Visualisation In Biomedical Microscopies, 3-D Imaging And Computer Applications* Vch, 1992
- [Kri87] Kripac, Jiri - Algorithm for Splitting Planar Faces, *Computer-Aided Design*, Butterworths, Volume 19, Number 6 July/Aug., 1987
- [Maz94] Mazzetti, M., Ciminiera, L. - Computing CSG-Tree Boundaries as Algebraic Expressions, *Computer-Aided Design*, Butterworths, Volume 26, Number 6 Juni, 1994
- [Kus88] Kussiak, A. - *Artificial Intelligence. Implications For CIM*, Springer Verlag, 1988
- [Lat91] Latham, R. - *Dictionary of Computer Graphics Technology and Applications*, Springer, 1991
- [Law90] Lawrence, B. - *Using Novell Nctware*, Que Corporation, 1990
- [Lei93] Leigh - *Solid Modeling With Autocad*, Academic Press, 1993
- [Mag93] Maguire S. - *Writing Solid Code*, Microsoft Press, 1993
- [Mar87] Marinescu, Gh. - *Probleme de analiza numerica rezolvate cu calculatorul*, Editura Academiei, 1987
- [Mic187] Microsoft - *Microsoft C Optimizing Compiler For MS-DOS Operating System*, Vol.1 Microsoft Corporation, 1987
- [Mic193] Microsoft - *Microsoft MASM - Environment And Tools*, Microsoft Corporation, 1993
- [Mic287] Microsoft - *Microsoft C Optimizing Compiler For MS-DOS Operating System*, Vol.2 Microsoft, 1987
- [Mic293] Microsoft - *The Programmer's PC Book*, Academic Press, 1993
- [Mic387] Microsoft - *Microsoft C Optimizing Compiler For MS-DOS Operating System*, Vol.3 Microsoft, 1987
- [Mic393] Microsoft - *Excel Software Development Kit*, Academic Press, 1993
- [Mic487] Microsoft - *C for the MS-DOS Operating System*, Language Reference, 1984-1987
- [Mic91] Microsoft - *C++ Tutorial*, Microsoft Corporation, 1991
- [Mic92] Microsoft - *Microsoft C/C++ Run-Time Library Reference* Microsoft Press, 1992

- [Mor90] Mortenson, M.E. - *Computer Graphics Handbook: Geometry and Mathematics*. Industrial Press, 1990
- [Mu194] Muresan, I. - Solid modeler for CAD, *International Conference on Technical Informatics-Conti '94*, Tehnical University of Timisoara, 1994
- [Mu294] Muresan, I., s.a. - Roof Structure CAD, *International Conference on Technical Informatics-Conti '94*, Tehnical University of Timisoara, 1994
- [Mu195] Muresan, I., Savii G. - *Abordari moderne in integrarea sistemelor CAD/CAM*, Presa Universitară Română, 1995
- [Mu295] Muresan, I., Savii, G. - *Concepte grafice in CAD/CAM. Tehnici interactive*, Presa Universitară Română, 1995
- [Mu395] Muresan, I., Savii, G. - *Fundamentele CAD/CAM. Principii si metode*, Presa Universitară Română, 1995
- [Mu495] Muresan, I., Savii, G. - *Grafica 3D*, UTT, 1995
- [Mu595] Muresan, I., Marchis, D. - *Sisteme fuzzy bazate pe cunoastere*, Presa Universitara Româna, 1995
- [Mu695] Muresan, I., Muresan, V.- *Umbre si siluete in grafica 3D*, Presa Universitara Româna, 1995
- [Mu795] Muresan, I. - *Tehnici pentru dezvoltarea de programe fără erori in limbajul C*. Presa Universitară Română, 1995
- [Mur394] Muresan, I. - *Ingineria cunoastcrii*, UTT, 1994
- [MV194] Muresan, V. - Fast Hidden Lines Algorithm for CAGD, *International Conference on Technical Informatics-Conti '94*, Tehnical University of Timisoara, 1994
- [MV294] Muresan, V. - *Sisteme expert cu aplicatii in CSG*, Referat nr.1, Universitatea Tehnică Timisoara, 1994
- [MV394] Muresan, V. - *Metasisteme expert cu aplicatii in rendering*, Referat nr.2, Universitatea Tehnică Timisoara, 1994
- [MV494] Muresan, V., Muresan, I. - *Inteligenta artificială*, UTT, 1994
- [MV594] Muresan, V. - *Limbaje de nivel inalt orientate pe obiect*, UTT, 1994
- [MV95] Muresan, V. - *Inteligenta artificiala*, Indrumător UTT, 1995

- [Nie95] Nielsen, K. - *Software Development With C++*, Academic Press, Profesional, 1995
- [Ono90] Onodera, T; Kawai, S. - A Formal Model of Visualisation in Computer Graphic Systems. In: *Lecture Notes in Computer Science*. Springer, Berlin, 1990.
- [Ove93] Oven, Jon: Computer Graphics and Computer-Aided Design Literature: A Keyword-indexed Bibliography for the year 1992. In: *Computer Graphics Forum*, vol.12, no.4, oct. 1993, pg.231-242.
- [Per74] Pearson, C.E., - *Handbook of applied mathematics*, Van Nostrand Reinhold Company, Litton Educational Publishing, Inc., 1994
- [Pha191] Pharlap - *286/DOS Extender Configuration Guide And Release Notes*. Pharlap Software Inc., 1991
- [Pha291] Pharlap *386/Asm Reference Manual*, Pharlap Software Inc., 1991
- [Pha391] Pharlap - *C/C++ User's Guide To Tnt DOS-Extender*, Pharlap Software Inc , 1993
- [Pha90] Pham, D.T. - *Expert Systems In Engineering*, Springer Verlag, 1990
- [Pit93] Pitter - *Application Software Tutorial*, Academic Press, 1993
- [Pla93] Pla-Garcia, N. -Boolean Operations and Spatial Complexity of Face Octrees In *Computer Graphics Forum*, vol.12, no.3, 1993, pag.C153.
- [Pra93] Pratt - *Pascal-An Intro To Computer Science*, Academic Press, 1993
- [Que193] Que - *1-2-3 Beyond The Basics*, Academic Press, 1993
- [Que293] Que - *C Programmer's Tool Kit*, Academic Press, 1993
- [Que393] Que - *Upgrading To Windows 3.1*, Academic Press, 1993
- [Que493] Que - *Using Animator*, Academic Press, 1993
- [Que593] Que - *Using Autocad*, Academic Press, 1993
- [Que693] Que - *Using Microsoft Windows*, Academic Press, 1993
- [Que793] Que - *Using PC Tool 7.1*, Academic Press, 1993
- [Rak94] Raker, R. - *Inside Autocad*, Academic Press, 1994
- [Req92] Requicha, A.A.G., Rossignac, J.R.: Solid Modelling and Beyond. In: *IEEE Computer Graphics and Applications*, 12 (5), pp.31-44, Sept.1992
- [Rhe91] Rheingold, H. - *Virtual Reality*. Summit Books, 1991

- [Riv94] Rivest, L. Fortin, C., Morel, C. - Tolerancing a Solid Model With a Kinematic Formulation, *Computer-Aided Design*, Butterworths, Volume 26-Number 6 Juni, 1994
- [Roc88] Rochkind M. - *Advanced C Programming For Displays* Prentice Hale, 1988
- [Rog88] Rogers, D.F. - *Procedural Elements for Computer Graphics*, McGraw-Hill International Editions, 1988
- [Ros89] Rosenblum, L. s.a.(editori) - *Scientific Visualisation. Advances and Challenges*. Academic Press Professional, Harcourt Brace & Company, Boston, 1993
- [Ros92] Rossignac, J., Megahed, A., Schneider, B.D.: Interactive Inspection of Solids: Cross-sections and Interferences. In: *Computer Graphics 26* (2), pp.353-360, July 1992.
- [Sal87] Salmon, Rod; Slater, Mel - *Computer Graphics. Systems & Concepts*, Addison - Wesley Publishing Company, 1987
- [Sam90] Samet, H. - *Application of Spatial Data Structures: Computer Graphics, Image Processing and GIS*. Addison-Wesley, 1990
- [Sav94] Savii, G., Ogărcin, G., - Solid Boolean Operations Implementation on Microstation Shell, *International Conference on Technical Informatics-Conti '94*, Tehnical University of Timisoara, 1994
- [Sch188] Schildt H. - *C - The Pocket Reference*, Mcgraw Hill , 1988
- [Sch189] Schildt H. - *Borne To Code In C*, Osborne Mcgraw Hill, 1989
- [Sch288] Schildt H. - *C Power User's Guide*, Osborne Mcgraw Hill, 1988
- [Sch289] Schnupp P - *Expert Systems Lab Course*, Springer-Verlag, 1989
- [Sch87] Schildt H. - *Artificial Intelligence Using C*, Osborne Mcgraw Hill, 1987
- [Sha85] Shafer S. - *Shadows And Silhouettes In Computer Vision*, Kluwer-Academic Publishers, 1985
- [Shi92] Shirley, R.S. - *Computer Graphics for Industrial Applications*. Prentice Hall, 1992
- [Smi94] Smith - *Advanced Turbo C*, Academic Press, 1994
- [Sny92] Snyder, J.M. - *Generative Modeling for Computer Graphics and CAD*, Academic Press, Inc , 1992
- [Som94] Sommerson - *DOS Power Tools*, Academic Press, 1994
- [Ste92] Stevens R. - *The C Graphics Handbook* Academic Press, 1992

- [Ste94] Stevens R. - *Object-Oriented Graphics Programing In C++*, Academic Press, 1994
- [Tan89] Tănăsescu, A, Marinescu, I.D. - *Grafică asistată. Programe FORTRAN pentru reprezentări geometrice*, Editura tehnică, București, 1989
- [Tha90] Thalmann, D. - *Scientific Visualisation and Graphics Simulation*. Wiley, Chichester, 1990.
- [Tha91] Thalmann, N.M. - *New Trends in Animation and Visualisation*. Wiley, 1991
- [Wac94] Waco, D.L., Kim, Y.S. - Geometric Reasoning for Machining Decomposition, *Computer-Aided Design*, Butterworths, Volume 26, Number 6 Juni, 1994
- [Web94] *Webster's dictionary*, Academic Press, 1994
- [Wei91] Weiskamp, K.; Heiny, L.: *Power Graphics Using Turbo C*. Wiley & Sons, New York, 1991.
- [Wri94] Write - *The Best Book Of Autocad*, Academic Press, 1994
- [Yam93] Yamaguchi, F. Niizeki, M.: A New Paradigm for Geometric Processing. In: *Computer Graphics Forum*, vol. 12, no. 3, 1993, pag. C177.
- [Yan85] Yankee, H.W. - *Engineering Graphics*, PWS Engineering, 1985
- [Zeid91] Zeid, Ibrahim - *CAD/CAM Theory and Practice*, McGraw-Hill, 1991